



SAIO
Sociedad Argentina de Investigación Odontológica
International Association for Dental Research

División
Argentina



XLVII

Reunión Anual

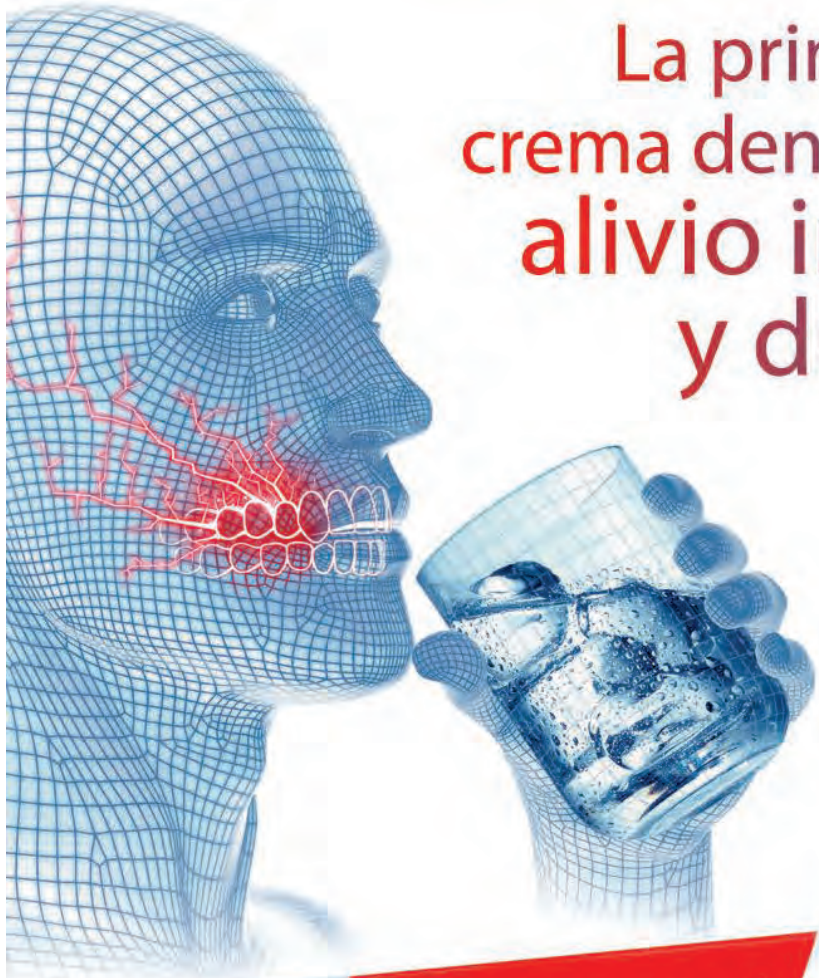
Rosario (SF), República Argentina
13 al 15 de noviembre de 2014

Colgate®

Sensitive Pro-Alivio™

FÓRMULA PRO-ARGIN™ clínicamente comprobado

La primera y única
crema dental que te brinda
alivio instantáneo
y duradero



Colgate®  LA MARCA #1 RECOMENDADA POR ODONTÓLOGOS



Sociedad Argentina de Investigación Odontológica

División Argentina

International Association for Dental Research

Centro de Eventos y Convenciones Ariston Hotel

Pueyrredón 762 – Rosario (Santa Fe)

República Argentina

13 al 15 de noviembre de 2014



XLVII Reunión Anual
Sociedad Argentina de Investigación Odontológica



Está prohibida la reproducción total o parcial de esta obra por cualquier método: fotográfico, fotocopia, mecánico, reprográfico, óptico, magnético o electrónico.

Sociedad Argentina de Investigación Odontológica - XLVII Reunión Anual/
Coordinado por Esteban Rodolfo Funosas. 1ª ed. Rosario.
208 p. ; 29,7 x 21 cm.

ISBN 978-987-33-6306-1

1. Odontología Investigación. I. Funosas Esteban R, coord.

Fecha de catalogación: Noviembre de 2014

ESTE EJEMPLAR SE IMPRIMIÓ EN
EL MES DE NOVIEMBRE DE 2014
EN GRÁFICA AMALEVI SRL
Mendoza 1851, Rosario
grafica_amalevi@yahoo.com.ar



Sociedad Argentina de Investigación Odontológica
División Argentina
International Association for Dental Research

Comisión Organizadora

PRESIDENTE	ESTEBAN R. FUNOSAS
VICEPRESIDENTE	GUSTAVO FESER
RESPONSABLES DE SECRETARIA	Secretario GONZALO RODRIGUEZ Prosecretario EDUARDO ZIMMERMANN
RESPONSABLE DE TESORERIA	ROBERTO CARAMES
COMITÉ CIENTIFICO	Coordinadora General: ADRIANA B. MARTINEZ Colaboradores: EDGARDO LOPEZ ANA SALAS NORBERTO ARANCEGUI
COMISION DE APOYO	MARIA VIRGINIA CORNAGLIA VIRGINIA CIARLO MARIA VIRGINIA ANTUÑA IVETTE DULONG MARIANA GULINO ILEANA BOCCIO
COMISION EDITORA	AGUSTINA C. REYNOSO LIVIA ESCOVICH SUSANA AZCONA
PREMIOS Y SUBSIDIOS	PABLO SPOLETI





Sociedad Argentina de Investigación Odontológica
División Argentina
International Association for Dental Research

Comisión Directiva

PRESIDENTE	MARIANA PICCA
PRESIDENTE SALIENTE	PATRICIA M. MANDALUNIS
VICEPRESIDENTE	DANIEL OLMEDO
SECRETARIA	CARLA MASOLI
PROSECRETARIA	ANALÍA GARROFÉ
TESORERA	MARIA ANABEL LAMA
PROTESORERA	LUCIANA D'ERAMO
VOCALES	ALDO SQUASSI MARIA ISABEL BRUSCA TAMMY STEIMETZ
RELACIONES INTERNACIONALES	GABRIEL SÁNCHEZ
CONSEJERO CIENTIFICO	ROMULO L. CABRINI





Sociedad Argentina de Investigación Odontológica
División Argentina
International Association for Dental Research

Órgano de Fiscalización

MIEMBROS TITULARES

Silvina Gabriela CORTESE
Ana María MORASSO
Osvaldo Rodolfo COSTA

MIEMBROS SUPLENTE

Angela ARGENTIERI
Aníbal José COBANERA
Raquel DOÑO

Tribunal de Honor

Ricardo MACCHI

Noemí BORDONI

María Beatriz GUGLIELMOTTI

María Elina ITOIZ

Ángela Matilde UBIOS

Delegados Provinciales / Zonales

LA PLATA

Pablo MANCUSO

TUCUMÁN

Sofía TORRES
Juan GARAT
Susana ROMERO

MENDOZA

María de los Ángeles GIAQUINTA
Graciela PEÑA

CORRIENTES

María Mercedes GONZÁLEZ
Susana FINTEN

ROSARIO

Esteban FUNOSAS

CÓRDOBA

Sebastián FONTANA

ZONA PATAGÓNICA

Mariana PRELIASCO
Mario Ricardo DAVISON





Sociedad Argentina de Investigación Odontológica
División Argentina
International Association for Dental Research

Auspicios y Adhesiones

La Comisión Directiva de la Sociedad Argentina de Investigación Odontológica y la Comisión Organizadora de la XLVII Reunión Anual agradecen los Auspicios, Adhesiones y Declaraciones de Interés Institucional brindados para esta Reunión a:

- Facultad de Odontología – Universidad Nacional de Rosario (Res. 137/14-D).
- Facultad de Odontología– Universidad de Buenos Aires (Res. 437/14-CD)
- Facultad de Odontología – Universidad Nacional de Córdoba (Res. 87/14-CD).
- Facultad de Odontología – Universidad Nacional de Cuyo (Res. 173/14-CD).
- Facultad de Odontología – Universidad Nacional del Nordeste (Res. 284/14-CD).
- Facultad de Odontología – Universidad Nacional de Tucumán (Res. 373/14-CD).
- Universidad Nacional de Río Negro (Res. 213/14)
- Universidad Abierta Interamericana (Res. 4332/14).
- Escuela de Odontología – Universidad Maimónides
- Academia Nacional de Odontología
- Sociedad Argentina de Farmacología Experimental
- Asociación Odontológica Argentina (Nota 55/14).
- Asociación Odontológica de Rosario



Sociedad Argentina de Investigación Odontológica
División Argentina
International Association for Dental Research

Agradecimientos

La Comisión Directiva de la Sociedad Argentina de Investigación Odontológica y la Comisión Organizadora expresan su agradecimiento a las instituciones y personas, que con su apoyo económico e intelectual, han colaborado para llevar a cabo la XLVII Reunión Anual:

- Facultad de Odontología de la Universidad de Buenos Aires por el apoyo económico recibido para promover la participación de los investigadores al evento y por el sostenimiento de la Sede de la SAIO.
- Facultad de Odontología de la Universidad Nacional de Rosario por el otorgamiento de becas para fomentar la participación de docentes-investigadores y por autorizar el uso de sus instalaciones para el dictado del taller "Investigación clínica basada en la evidencia", dictado por los Dres. Esteban Funosas y Gustavo Feser el 15 de octubre de 2014.
- A los docentes dictantes del taller de "Confección de resúmenes científicos" el día 7 de junio de 2014 en la Facultad de Odontología de la Universidad de Buenos Aires.
- A la Facultad de Odontología de la Universidad Nacional de Córdoba por autorizar el uso de sus instalaciones para el dictado del curso "Modelos experimentales y confección de resúmenes en investigación odontológica" y a sus dictantes Dres. Viviana Centeno, Rosana Morelatto, Daniel Gigena, Gustavo Molina, Raquel Gallará y Alejandra Bojanich; el 19 de junio de 2014.



- A la Facultad de Odontología de la Universidad Nacional de Cuyo por autorizar el uso de sus instalaciones para el dictado del curso “¿Qué pensar y qué decidir para comenzar a investigar?” y a su dictante el Dr. Ricardo L. Macchi realizado el 19 de junio de 2014.
- A la Dra. María Fidela de Lima Navarro por el dictado de la conferencia “Innovaciones en el tratamiento restaurador atraumático (TRA)” durante la Reunión.
- Al Dr. Ambrosio Bermejo Fenoll por el dictado del curso “Liquen plano oral, el cáncer y el virus del papiloma humano” durante la Reunión.
- Al Quinteto Municipal de Cuerdas de la Municipalidad de Rosario.
- Al Consejo Nacional de Investigaciones Científicas y Técnicas (CONICET) por el Subsidio entregado (Res. 4594/13)
- A la Agencia de Promoción Científica y Tecnológica por el Subsidio entregado (RC-2014-0005)

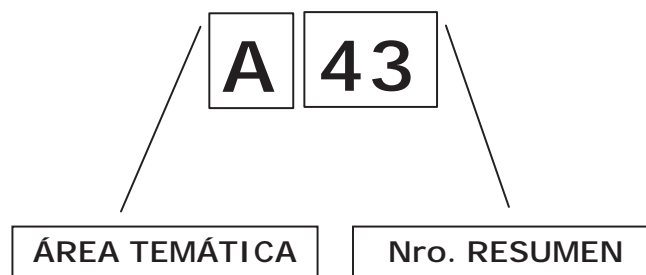
A las siguientes empresas, sociedades y grupos:

- Laboratorio Colgate
- Instituto Gamma
- Federa Implantes Dentales
- Grupo Cariología – Salud Pública SAIO
- Grupo Periodoncia e Implantes SAIO
- Centro de Imágenes Odontológicas Rosario (CIOR)
- Postersíntesis
- Gus-Dent
- Top Dental



Sociedad Argentina de Investigación Odontológica
División Argentina
International Association for Dental Research

CÓMO INTERPRETAR LA IDENTIFICACIÓN ALFANUMÉRICA DE LOS RESÚMENES



ÁREAS TEMÁTICAS

- A** Patología Clínica, Anatomía Patológica, Radiología
- B** Materiales Dentales y Odontología Restauradora
- C** Anatomía e Histología
- D** Fisiología, Farmacología, Bioquímica, Biofísica
- E** Microbiología e Inmunología
- F** Periodoncia e Implantes
- G** Cariología, Epidemiología y Salud Pública
- H** Ortodoncia
- I** Educación Odontológica
- J** Cirugía y Farmacología Clínica
- K** Endodoncia



PROGRAMA DE ACTIVIDADES – MAÑANA

JUEVES 13		VIERNES 14				SABADO 15	
	LOBBY ORION	ORION	PERSEO	EGEO	PERSEO		
8.00	CONFERENCIA CARIOLOGIA Y EDUCACION Dra.Noemí Bordoni "Cariología y currículum de grado: estado actual del conocimiento y tendencias futuras"	PERIODONCIA E IMPLANTES	PATOLOGIA CLINICA - ANATOMIA PATOLOGICA – RADIOLOGIA ORALES A10 a A15	MATERIALES DENTALES- ODONTOLOGIA REHABILITADORA	PATOLOGIA CLINICA- ANATOMIA PATOLOGICA- RADIOLOGIA (A16 a A42)	8.00	
8.15				ORALES		8.15	
8.30				ORALES		8.30	
8.45				ORALES		8.45	
9.00	ENDODONCIA ORALES K01-K03-K04	ORALES F01 a F13	ORALES A10 a A15	B01 a B04 - B06	ANATOMIA E HISTOLOGIA (C02 a C11)	9.00	
9.15				ORALES		9.15	
9.30				ORALES		9.30	
9.45				ORALES		9.45	
10.00	REUNION GRUPO MEDICINA ORAL Y PATOLOGIA	ANATOMIA-HISTOLOGIA ORAL - C01	G48 G10 a G14 G16	MATERIALES DENTALES- ODONTOLOGIA REHABILITADORA	FISIOLOGIA – FARMACOLOGIA – BIOQUIMICA – BIOFISICA (D11 a D30)	10.00	
10.15				ORALES		10.15	
10.30				ORALES		10.30	
10.45				ORALES		10.45	
11.00	ACREDITACION	MICROBIOLOGIA E INMUNOLOGIA ORALES E01 a E03	G15- G17 a G20	CIRUGIA Y FARMA- COLOGIA CLINICA ORALES J01-J02	MICROBIOLOGIA E INMUNOLOGIA (E04 a E13)	11.00	
11.15				ORALES		11.15	
11.30				ORALES		11.30	
11.45				ORALES		11.45	
12.00	REUNION AOL	EDUCACION ODONTOLOGICA ORALES I01 a I05 I12	CARIOLOGIA - EPIDEMIOLOGIA - SALUD PUBLICA	EDUCACION ODONTOLOGICA	CIRUGIA Y FARMACOLOGIA CLINICA (J03 - J04)	12.00	
12.15				ORALES		12.15	
12.30				ORALES		12.30	
12.45				ORALES		12.45	
13.00	ALMUERZO					DESARMADO DE POSTERS	13.00

PROGRAMA DE ACTIVIDADES – TARDE

		JUEVES 13				VIERNES 14				SABADO 15		
	FOYER ORION	ORION	PERSEO	EGEO	FOYER ORION	ORION	PERSEO	EGEO	PERSEO	DAFNE		
14.30	REUNION G. ORTODONCIA		PATOLOGIA CLINICA - ANATOMIA	FISIOLOGIA FARMACOLOGIA BIOQUIMICA BIOFISICA			Curso Dr. Ambrosio Bermejo Fenoli:		ARMADO DE POSTERS		14.30	
14.45			PATOLOGIA RADIOLOGIA				"Liquen plano oral, el cáncer y el virus del papiloma humano" (España)		PRESENTACIONES EN POSTERS		14.45	
15.00		CARIOLOGIA - EPIDEMIOLOGIA - SALUD PUBLICA							MATERIALES DENTALES - ODONTOLOGIA REHABILITADORA (B12 a B31)		15.00	
15.15	REUNION G. MATERIALES										15.15	
15.30											15.30	
15.45		ORALES G01 a G09	ORALES A01 a A09								15.45	
16.00	REUNION G. PERIODONCIA E IMPLANTES			ORALES D01 a D10 D22						Mesa redonda: "Estado actual y líneas de investigación de la osteonecrosis de maxilar asociado a bifosfonatos"	16.00	
16.15											16.15	
16.30	Conferencia Dra. A. Matejic	REUNION G. CARIOLOGIA - SALUD PUBLICA							CARIOLOGIA - EPIDEMIOLOGIA - SALUD PUBLICA (G21 a G47) (G49 a G62)		16.30	
16.45											16.45	
17.00											17.00	
17.15									ORTODONCIA (H02 a H09)		17.15	
17.30			Conferencia Dra. María Fidela de Lima Navarro (Brasil)		PREMIO Ma L. RINS DE DAVID	PREMIO RODOLFO ERAUSQUIN	PREMIO COLGATE PROFESIONAL Cs. BASICAS	PREMIO SUZEL SCOZZARRO	EDUCACION ODONTOLOGICA (I06 a I23)	Presidente: Dr. RL Cabrini	17.30	
17.45											17.45	
18.00					PREMIO ACADEMIA NACIONAL DE ODONTOLOGIA		PREMIO COLGATE PROFESIONAL Cs. CLINICAS	PREMIO SALUD BUCAL			18.00	
18.15									DESARMADO DE POSTERS		18.15	
18.30	REUNION G. EDUCACION										18.30	
19.00											19.00	
19.15					SUBSIDIO RODOLFO ERAUSQUIN	PREMIO OMAR TUMILASCI	PREMIO COLGATE ESTUDIANTES	SUBSIDIO COTTA RAMUSINO		ASAMBLEA	19.15	
19.30											19.30	
20.00			ACTO INAUGURAL								20.00	
21.00					CENA							21.00
22.00										CENA CLAUSURA		22.00

JUEVES 13 DE NOVIEMBRE

PRESENTACIONES ORALES

SALON ORION

CARIOLOGIA – EPIDEMIOLOGIA – SALUD PUBLICA (G01 a G09)

Presidente: Ana M Biondi

Secretario: Luciana D'Eramo

Encargado de sala: Melina Noier

14.30 a 14.45

G01 ESTADO DENTAL Y PRIORIZACIÓN DE PROBLEMAS EN POBLACIÓN INFANTIL DE RIESGO SOCIAL

Fernandez CN*, Arias SC, Calatayud L, Dolonguevich E, Martín M, Nafissi C, Salinas D, Ruggeri S

14.45 a 15.00

G02 SALUD BUCAL Y CALIDAD DE VIDA EN PACIENTES VIH-VHC+

Farias MA*, Medici SA, Squassi AF, Sánchez GA

15.00 a 15.15

G03 CONDICIONANTES DE LA DEMANDA DE ATENCIÓN DE SALUD BUCAL DE PACIENTES VIH+

Medici SA*, D'Eramo L, Squassi AF, Sánchez GA

15.15 a 15.30

G04 SISTEMAS DE INFORMACIÓN GEOGRÁFICA DE LESIONES ORALES EN LA CIUDAD DE CÓRDOBA

Nieto A*, Brunotto M, Lazos J, Zarate AM

15.30 a 15.45

G05 DISEÑO Y VALIDACIÓN DE UN INSTRUMENTO PARA EVALUAR LA PERCEPCIÓN DE LOS MÉDICOS RESPECTO DE LA SALUD BUCAL

Alfonsín A*, Salgado P, Squassi A

15.45 a 16.00

G06 COMPARACIÓN DE NECESIDAD DE TRATAMIENTO ORTODÓNCICO EN ESCOLARES EN UNA COMUNIDAD RURAL

Marchi R*, Fernandez C, Furci N, Diaz C, Salgado P, Squassi A, Capuano C, Masoli C

16.00 a 16.15

G07 COMPARACIÓN DEL CEPILLADO DENTAL DE ESCOLARES RESIDENTES EN ÁREAS RURALES Y URBANAS

Rossi G, Masson Moline G*, Ferrarini S, Lazzati R, Sorazabal A, Salgado P, Squassi A

16.15 a 16.30

G08 PERCEPCIONES DE SALUD BUCAL DE DOCENTES PERTENECIENTES A ESCUELAS URBANAS Y RURALES

Rossi G*, Sorazabal A, Serra Capo T, Culacciati C, Fernandez C, Salgado P, Squassi A

16.30 a 16.45

G09 IMPACTO DEL ESTADO DE SALUD BUCODENTAL SOBRE LA VIDA DIARIA DE ESCOLARES

Sorazabal AL*, De Cesare A, Ferello A, Tomaszuc R, Rossi G, Squassi A

SALON PERSEO

PATOLOGIA CLÍNICA – ANATOMIA PATOLOGICA - RADIOLOGIA (A01 a A09)

Presidente: Eduardo Santini Araujo

Secretario: Romina Aromando

Encargado de sala: Alex Nieto

14.30 a 14.45

A01 TRATAMIENTO CRONICO CON ALTAS DOSIS DE ZOLEDRONATO Y SU EFECTO SOBRE EL METABOLISMO ÓSEO EN OVEJAS OVARIECTOMIZADAS: MODELO EXPERIMENTAL DE OSTEONECROSIS MAXIMAR ASOCIADA AL USO DE AMINOBISFOSFONATOS (ONMBPS)

Davison MR*, Lyardet L, Rufolo C, Preliasco M, Yaful G, Torres P, Pellegrini GG, Zeni SN

14.45 a 15.00

A02 EXPRESIÓN INMUNOHISTOQUÍMICA DE ATM (ATAXIA TELANGIECTASIA MUTADO) EN EL LÍQUEN PLANO Y EN LA LEUCOPLASIA

Gandolfo M*, Pérez MA, Lanfranchi Tizeira HE, Paparella ML, Itoiz ME

15.00 a 15.15

A03 EFECTOS TEMPRANOS DEL CROMO HEXAVALENTE EN LA ERUPCIÓN DENTARIA

Sánchez LM*, Ubios AM

15.15 a 15.30

A04 CAPTURA NEUTRÓNICA EN BORO-SECUENCIAL: EFECTO TERAPÉUTICO EN UN MODELO DE PRECANCER BUCAL

Monti Hughes A*, Pozzi ECC, Thorp S, Curotto P, Garabalino MA, Heber EM, Farías R, Gonzalez S, Itoiz ME, Aromando RF, Nigg DW, Trivillin VA, Schwint AE

1530 a 15.45

A06 EXPRESIÓN DE CICLINA D1 Y PCNA EN LA CARCINOGENESIS QUÍMICA DE LA LENGUA MURINA CON O SIN DELECCIÓN DE KLF4

Paparella ML.; Cozzarin ME.; Bal de Kier Joffe E; Raimondi AR*

15.45 a 16.00

A07 EXPRESIÓN DE NHERF1 EN CARCINOMAS ESCAMOSOS DE CAVIDAD BUCAL
Brandizzi D*, Giacco CA, Demacopulo B, Gandolfo M, Acosta Haab G, Vornetti S, Cabrini RL
Kreimann EL

16.00 a 16.15

A08 EXPRESIÓN INMUNOHISTOQUÍMICA DE CD68 Y CD1A EN LIQUEN PLANO Y LEUCOPLASIA BUCALES
Masquijo Bisio PA*, Gandolfo MS, Lanfranchi HE, Itoiz ME, Paparella ML

16.15 a 16.30

A09 PRESENCIA DE LINFOCITOS CD45RO+ Y BIOFILM EXTRARRADICULAR EN GRANULOMAS APICALES PERSISTENTES ASOCIADOS A CONDUCTOS FRACASADOS
Aromando RF*, Giménez del arco ML, García Puente C, Paparella ML, Itoiz ME

SALON EGEO

FISIOLOGIA – FARMACOLOGIA – BIOQUIMICA – BIOFISICA (D01 a D10 – D22)

Presidente: Raquel Gallará

Secretario: Betina Orman

Encargado de sala: Ma Eugenia Antona

14.30 a 14.45

D01 MODIFICACIONES DE ALGUNOS COMPONENTES DE SALIVA EN PACIENTES SOMETIDOS A TRASPLANTE DE MÉDULA ÓSEA
Bachmeier E*, Mazzeo MA, López MM, Linares JA, Wietz FM, Jarchum G, Finkelberg AB

14.45 a 15.00

D02 ACTIVIDAD FUNCIONAL Y ANTIOXIDANTE DE GLÁNDULA SUBMANDIBULAR (GSM) DE RATAS TRATADAS CON CICLOFOSFAMIDA (CF)
Mazzeo MA*, López MM, Bachmeier E, Linares JA, Wietz FM, Dubersarsky C, Finkelberg AB

15.00 a 15.15

D03 EXPRESIÓN DE ERK EN ASTROCITOS DEL SUBNÚCLEO CAUDAL DEL TRIGÉMINO INDUCIDO POR UN TRATAMIENTO ENDODÓNTICO EXPERIMENTAL
Canzobre MC*, Ríos H

15.15 a 15.30

D04 TÉCNICA DE SEDACIÓN CONSCIENTE CON MIDAZOLAM VÍA ORAL PARA TRATAMIENTO ODONTOLÓGICO EN PACIENTES ADULTOS CON SÍNDROME DE DOWN
Binicki, R*, Alvarez, M, Armada, M, Calvano C, Echaide M, Martínez D, Monod S, Bianchi L, Ferrary T, Orman B

15.30 a 15.45

D05 ANÁLISIS MORFOMÉTRICO Y BIOMECÁNICO DEL HUESO MANDIBULAR EN DISTINTAS CONDICIONES DE HIPOXIA

Terrizzi AR*, Lee CM, Fernandez Solari J, Bozzini C, Conti MI, Martínez MP

15.45 a 16.00

D06 RECEPTORES DE CANNABINOIDES TIPO 2 COMO BLANCO TERAPÉUTICO PARA PERIODONTITIS. MODELO EN RATA

Ossola CA*, Surkin PN, Elverdin JC, Fernández Solari J

16.00 a 16.15

D07 EFECTO DE LA INYECCIÓN DE PARATHORMONA RECOMBINANTE HUMANA (TERIPARATIDE) SOBRE LA PERIODONTITIS EXPERIMENTAL. ESTUDIO PRELIMINAR

Gonzales Chaves M*, Rufolo C, Friedman S, Mandalunis P, Zeni SN

16.15 a 16.30

D08 EFECTO DEL CONSUMO DE UNA MEZCLA GOS/FOS® SOBRE EL CRECIMIENTO DE TIBIA Y MANDÍBULA DURANTE LA RECUPERACIÓN NUTRICIONAL

Gonzales Chaves M*; Bryk G; Rufolo C; Zeni Coronel M; Mandalunis P; Pita Martín de Portela ML; Zeni SN

16.30 a 16.45

D09 ESTIMULACIÓN ADRENÉRGICA DE LA SECRECIÓN DE NANOVESÍCULAS CON ACTIVIDAD NUCLEOTIDÁSICA EN GLÁNDULA SUBMANDIBULAR DE RATA

Balcarcel NB*, Barbieri van Haaster MM, Ostuni MA, González DA

16.45 a 17.00

D10 PERIODONTITIS EXPERIMENTAL EN RATAS HIPERCOLESTEROLÉMICAS: ESTUDIO HISTOMORFOMÉTRICO A 4 SEMANAS

Antona ME*, Gonzales Chaves, MC, Zago V, Costa O, Friedman SM, Mandalunis PM, Macri EV

17.00 a 17.15

D22 INGESTA LIPÍDICA INMEDIATA Y CONCENTRACIÓN DE ÁCIDOS GRASOS EN FLUIDOS Y TEJIDOS DE RATA

Escandriolo Nackauzi JD*, Gallará R, Repossi G, Williner MR, Bernal C, Actis A

SALON PERSEO

19.30 hs

ACTO INAUGURAL

VIERNES 14 DE NOVIEMBRE

PRESENTACIONES ORALES

FOYER ORION

ENDODONCIA (K01 a K04)

Presidente: Pablo Spoleti

Secretario: María E. Sapienza

Encargado de sala: Jazmín Romero

10.00 a 10.15

K01 IDENTIFICACIÓN DEL COMPLEJO ROJO EN LA INFECCIÓN ENDODÓNTICA CON PCR

De Schant M E*, Chiappe VB, Dejean CB, Martínez AB, García Puente C

10.15 a 10.30

K03 TOPOGRAFÍA DEL ÁPICE RADICULAR DE LOS PRIMEROS MOLARES SUPERIORES

Schneider R*, Migueles A, Gualtieri A, Labarta A, Rodriguez P, Sierra L

10.30 a 10.45

K04 REMOCIÓN DEL BARRO DENTINARIO CON ÁCIDO FOSFÓRICO Y RC PREP. ESTUDIO CON MEB

Loiacono R*, Gualtieri A, Labarta A, Sierra L

12 a 13 hs – REUNIÓN ACTA ODONTOLÓGICA LATINOAMERICANA

SALON ORION

PERIODONCIA E IMPLANTES (F01 a F13)

Presidente: María A. Giaquinta

Secretario: Jorge Pascucci

Encargado de sala: Ramiro Ubertone

8.00 a 8.15

F01 IMPLANTES EN SENO MAXILAR CON HUESO BOVINO ANORGÁNICO. EVALUACIÓN A 43 MESES

Aguilar J*, Labandeira A, Renou SJ, Piloni MJ, Gulgielmotti MB

8.15 a 8.30

F02 ESTADO PERIODONTAL DE EMBARAZADAS EN EL AÑO 2001 Y 2013

Calafell C*, Moreno de Calafell M

8.30 a 8.45

F03 ESTUDIO MOLECULAR DE MICROORGANISMOS PERIODONTOPATICOS EN PACIENTES VIH+ NAIVE Y BAJO TRATAMIENTO

Gliosca L*, Soken L, D'Eramo L, Bozza F, Squassi A, Molgatini S

8.45 a 9.00

F04 COLONIZADORES OPORTUNISTAS DEL BIOFILM SUBGINGIVAL EN PACIENTES VIH+ NAIVE Y BAJO TRATAMIENTO

Bozza F*, D'Eramo L, Stoppani N, Soken L, Fedelli L, Gliosca L Squassi A, Molgatini S

9.00 a 9.15

F05 COMPARACIÓN DE TÉCNICAS ANESTÉSICAS TRONCULAR E INFILTRATIVA EN CIRUGÍAS IMPLANTOLÓGICAS: RESULTADOS PRELIMINARES

García Blanco M*, Gualtieri AF, Puia SA

9.15 a 9.30

F06 INDICADORES CLÍNICOS, SOCIODEMOGRÁFICOS Y RIESGO PERIODONTAL EN PACIENTES RESIDENTES EN 3 PROVINCIAS ARGENTINAS

Morello F, Fusterl, Viviani I, Gomez S, Loha C, Herrera M, Ribotta de Albera E*

9.30 a 9.45

F07 RELACIÓN DE LA ENFERMEDAD PERIODONTAL CON PARÁMETROS DE RIGIDEZ ARTERIAL

Rubio MC*, Lewin PG, Rudzinski JJ, Pompeo M, Guanca F, Rodríguez P, Nicolosi LN

9.45 a 10.00

F08 TERAPIA FOTODINÁMICA EN EL TRATAMIENTO DE LA ENFERMEDAD PERIODONTAL SEVERA. INFORME PRELIMINAR

Boccio I*, Feser G, Gulino M, Quintero A, Antuña MV, Dulong I, Lebié A, Funosas ER

10.00 a 10.15

F09 IMPACTO DEL ESTADO Y EL TRATAMIENTO PERIODONTAL (EP) SOBRE LA CALIDAD DE VIDA(CV)

Pedreira P*, Bordoni N

10.15 a 10.30

F10 PREVALENCIA DE MICROORGANISMOS PERIODONTOPATICOS EN PACIENTES CON PERIODONTITIS AGRESIVAS

Gliosca L*, Soken L, Carena G, Vargas A, Montes de Oca J, Molgatini S

10.30 a 10.45

F11 CRONODINAMIA DE LA RESPUESTA TISULAR A UN NUEVO BIOCOSMETICO PARA INGENIERÍA DE TEJIDO ÓSEO

Martínez C*, Fernández CA, Prado M, Olmedo D, Ozols A

10.45 a 11

F12 SÍNTESIS DE PARTÍCULAS Y MICROESFERAS BIOCERÁMICAS PARA IMPLANTOLOGÍA Y CIRUGÍA MAXILOFACIAL

Martínez C*, Putņinš A, Locš J, Ozols A

11.00 a 11.15

F13 PREPARACION DE MEMBRANAS REABSORBIBLES DE GELATINA DE WHARTON

Martínez C*, Fernández A, Ozols A

INTERVALO

ANATOMIA - HISTOLOGIA (C01)

Presidente: Angela M. Ubios

Secretario: Natalia Escudero

Encargado de sala: Luciana Sánchez

11.30 a 11.45

C01 EFECTO DE MELATONINA SOBRE LA ERUPCIÓN DENTARIA EN RATAS PRENATALMENTE ESTRESADAS

Fontanetti PA*, Mandalunis PM, Vermouth NT

INTERVALO

MICROBIOLOGIA E INMUNOLOGIA (E01 a E03)

Presidente: Susana Molgatini

Secretario: Laura Gliosca

Encargado de sala: Lei, Alejandra

12.00 a 12.15

E01 BACTERIAS FILTRABLES COMO MATRIZ DE BIOFILM. TEORIA GENERAL DEL BIOFILM COMO CONGLOMERADO COLOIDAL

Palacios NP*, Turcot LG, Bernat Mi, Vilotta SM, Dominguez SA, Bozano P, Rosmino MF, Gliosca LA, Molgatini SL, Somaglia L

12.15 a 12.30

E02 EFECTIVIDAD DEL PROPOLEO COMO DESINFECTANTE DE PREPARACIONES CAVITARIAS

Muñiz Acosta A, Mendoza González FJ, Torres Reyes P*

12.30 a 12.45

E03 MICROORGANISMOS CARIOGÉNICOS Y SU RELACIÓN CON EL ESTADO NUTRICIONAL EN NIÑOS PREESCOLARES

Rodríguez PN, Iglesias MV, Mateo MT, Levin B*, Martínez Reinoso J, Molgatini S, Argentieri AB

SALON PERSEO

PATOLOGIA CLÍNICA – ANATOMIA PATOLOGICA - RADIOLOGIA (A10 a A15)

Presidente: Tammy Steimetz

Secretario: Sebastián Fontana

Encargado de sala: Ignacio González Segura

8.00 a 8.15

A10 ESTUDIO DEL PERFIL INMUNOHISTOQUÍMICO DE METÁSTASIS BUCALES EN PACIENTES CON ANTECEDENTES ONCOLÓGICOS

Villalba L*, Cabrini RL, Keszler A

8.15 a 8.30

A11 MITOS Y REALIDADES: LA ANSIEDAD EN LA ATENCIÓN ODONTOLÓGICA

Saiegh J*, Lewin PG, Stolbizer F, Lenarduzzi A, Rodríguez P Rubio MC, Nicolosi LN

8.30 a 8.45

A12 HIPERTENSIÓN ARTERIAL: IMPACTO DEL ODONTÓLOGO EN SU DIAGNÓSTICO Y TRATAMIENTO

González NN*, Saiegh J, Lewin PG, Stolbizer F, Lenarduzzi A, Rubio MC, Rodríguez P, Nicolosi LN

8.45 a 9.00

A13 FULL-MOUTH DISINFECTION COMO TRATAMIENTO ELECTIVO EN PACIENTES DE ALTO RIESGO DE INFECCIÓN ODONTOGÉNICA

Lewin PG*, Rudzinski J, Lazzati R, Pompeo M, Cruz M, Tomasetti V, Monod MS, Lama A, Rubio M, Nicolosi LN

9.00 a 9.15

A14 ESTUDIO TOMOGRÁFICO DE LAS VARIANTES ANATÓMICAS DEL CONDUCTO NASOPALATINO

Estevez A*, Subiran B, Vazquez D, Scheneider E, Osende N, Ramírez MJ, Hetch P, Carbajal E

9.15 a 9.30

A15 OSTEONECROSIS MAXILAR ASOCIADA A BIFOSFONATOS. ESTUDIO DE PREVALENCIA Y MARCADORES BIOQUÍMICOS

Fontana S*, Rocamundi M, Douthat W, Corominas O

INTERVALO

CARIOLOGIA – EPIDEMIOLOGIA – SALUD PUBLICA (G48, G10 a G14, G16)

Presidente: Gabriel Sánchez

Secretario: Eduardo Zimmermann

Encargado de sala: Matías García Blanco

9.45 a 10.00

G48 ALTERACIONES POSTURALES COMO FACTOR DE RIESGO PARA TRASTORNOS TÉMPOROMANDIBULARES (TTM) EN NIÑOS

Mondello A*, Galarza R, Fridman D, Biondi A, Cortese S

10.00 a 10.15

G10 ESTADO DENTARIO Y CARACTERÍSTICAS SOCIODEMOGRÁFICAS DE ESCOLARES DE 12 AÑOS DE LA CIUDAD DE AVELLANEDA

Fuks J*, Pazos X, Napoli A, Fort A, Palomba S., Salgado P, Squassi A

10.15 a 10.30

G11 INCIDENCIA DE CARIES EN DENTICIÓN PERMANENTE DE ESCOLARES DE UNA COMUNIDAD RURAL

Capuano C*, Masoli C, Fernandez C, Lazzati MR, Pepe MB, Torres M, Salgado P, Squassi A

10.30 a 10.45

G12 VARIABLES ASOCIADAS A LA INFECCIÓN CARIOGÉNICA TEMPRANA EN INFANTES DE 6 MESES

Cornejo C*, Pacheco R, Culacciati C, Rossi G, Lazzati R, Ventura F, Tacca F, Gliosca L, Klemonsks G, Squassi A

10.15 a 11.00

G13 ESTUDIO COMPARATIVO: REMINERALIZACIÓN EN DE MANCHA BLANCA EN PACIENTES CON ORTODONCIA

Borjas MI*, Fernández CN, Vuoto I

11.00 a 11.15

G14 COMPARACIÓN DE DENSIDAD MINERAL APLICANDO FOSFOPÉPTIDO-FOSFATO DE CALCIO AMORFO EN HIPOMINERALIZACIÓN MOLAR INCISIVA

Fridman D*, Cortese S, Biondi AM

11.15 a 11.30

G16 ESTUDIO DE SALUD BUCAL EN CÓRDOBA. CARACTERÍSTICAS DE LA POBLACIÓN ADULTA. INFORME PARCIAL.

Zapata M, Bolesina N*, Nuñez R, Liandro F, Meloni N, Barembaum S, López de Blanc S

INTERVALO

CARIOLOGIA – EPIDEMIOLOGIA – SALUD PUBLICA (G17,G15, G18 a G20)

Presidente: Silvia López de Blanc

Secretario: Angela Argentieri

Encargado de sala: Alejandra Trojan Cotamucci

11.45 a 12.00

G17 HÁBITOS Y FACTORES DE RIESGO PARA LA SALUD BUCAL DE LA POBLACIÓN DE CÓRDOBA

Belardinelli P*, Criscuolo MI, Caciva R, Sauchelli V, Azcurra A, Morelatto R, López de Blanc S

12.00 a 12.15

G15 PRESENCIA DE CANDIDA EN VOLUNTARIOS ADULTOS DE LA CIUDAD DE CÓRDOBA

Barembaum SR*, Scatena MG, Castillo GV, Azcurra AI, Belardinelli PA, López de Blanc SA

12.15 a 12.30

G18 SALUD BUCAL DE ADULTOS CON PATOLOGÍAS PSIQUIÁTRICAS AGUDAS Y CRÓNICAS

Morasso AM*, Pérez-Meyer ML, Marseillan M, Müller Davies B, Cobanera A

12.30 a 12.45

G19 ANÁLISIS DE TRASTORNOS TÉMPOROMANDIBULARES (TTM) EN NIÑOS DE 10 A 15 AÑOS

Guitelman I*, Farah C, Fridman D, Mondello A, Biondi A, Cortese S

12.45 a 13.00

G20 DETERMINANTES DE RIESGO CARIOGÉNICO EN INFANTES: ANÁLISIS DE VARIABLES DISTALES Y PROXIMALES

Pacheco R*, Cornejo C, Culacciatti C, Rossi G, Lazzati R, Ventura F, Toledo M, Gliosca L, Klemonsks G, Squassi A

SALON EGEO

MATERIALES DENTALES – ODONTOLOGIA REHABILITADORA (B01 a B04 - B06)

Presidente: Mariana Picca

Secretario: Analía Garrofé

Encargado de sala: Rocío Fajardo

8.00 a 8.15

B01 CONTROL BIANUAL DE SOBREVIDA ACUMULADA DE RESTAURACIONES TRA Y CONVENCIONALES EN PACIENTES CON DISCAPACIDAD

Molina GF*, Mazzola I, Brain L, Cabral RJ, Frencken JE

8.15 a 8.30

B02 RESISTENCIA A LA TRACCIÓN DE DISTINTOS POSTES EN CONDUCTOS AMPLIOS Y NO CIRCULARES

Gigena C*, Visvisián C, Julián S

8.30 a 8.45

B03 EVALUACIÓN CLÍNICA MULTIVARIADA DE FACTORES RELACIONADOS A LESIONES CERVICALES DENTARIAS

Busleimán FJ*, Brunotto M, Spadiliero MM

8.45 a 9.00

B04 SISTEMA DE APOYO CENTRAL ÚNICO CON PLATINAS CURVAS Y RECTAS PARA REGISTROS EN DESDENTADOS

Aredes JE*, Fassina NA, Macchi RL

9.00 a 9.15

B06 PIGMENTACIÓN POR CAFÉ Y YERBA MATE SOBRE COMPOSITES CON DIFERENTES MANEJOS EN LA MANIPULACIÓN

Lei MA*, Kaplan AE

INTERVALO

MATERIALES DENTALES – ODONTOLOGIA REHABILITADORA (B07 a B11)

Presidente: Andrea Kaplan

Secretario: Patricia Pelossi

Encargado de sala: Florencia Bozza

9.30 a 9.45

B07 ESTUDIO COMPARATIVO DE UN BETA-TCP ARGENTINO Y EL BETA-TCP ODONTIT® (USA)

Garcés MA*, Calvo Guirado JL, Malberti AI, Granados D

9.45 a 10.00

B08 PREPARACIÓN Y EVALUACIÓN DE UN MONÓMERO TIPO ACRILATO-URETANO OBTENIDO DEL ISOSORBIDE (ISUDMA) COMO FUENTE NATURAL COMPARADO CON DIFERENTES MONÓMEROS EMPLEADOS EN RESINAS DENTALES

Berlanga Duarte ML, Reyna Medina LA, Torres Reyes P*, González Pérez SE

10.00 a 10.15

B09 ANÁLISIS DE SUPERFICIE DE TRES TIPOS DE CIRCONIA

Capusotto A*, Tamini EliceGUI LE, Abate PF

10.15 a 10.30

B10 DESPLAZAMIENTO ÁPICO-CORONAL DEL POSTE UTILIZANDO DIFERENTES TÉCNICAS DE INSERCIÓN DEL CEMENTO

Thompson L*, Kokubu S, Tamini EliceGUI LE y Abate PF

10.30 a 10.45

B11 EFICACIA DE DISPOSITIVOS LEDS PARA EL CURADO DE UN COMPOSITE PARA ORTODONCIA

Pelossi PL*, Kaplan AE

INTERVALO

CIRUGIA Y FARMACOLOGIA CLINICA (J01 – J02)

Presidente: María Anabel Lama

Secretario: Roberto Caramés

Encargado de sala: Diego Díaz

11.00 a 11.15

J01 MATERIALES DE TERCERA GENERACIÓN EN ALVÉOLOS POSTEXTRACCIÓN CON LESION RADIOGRAFICAMENTE VISIBLE. (ESTUDIO PRELIMINAR)

Basovich GJ*, Adá GA, Giorgio AO, Lama MA, Maresca BM

11.15 a 11.30

J02 RESOLUCIÓN QUIRÚRGICA DE DIENTES RETENIDOS EN NIÑOS CON EL USO DE ANESTESIA LOCAL SIN SEDACIÓN CON MUSICOTERAPIA COMO PSICOPROFILAXIS QUIRÚRGICA

Manterola ER*

EDUCACION ODONTOLOGICA (I01 a I05)

Presidente: Noemí Bordoni

Secretario: Ana Salas

Encargado de sala: Martín Garritano

11.30 a 11.15

I01 ASOCIACIÓN ENTRE EL TRABAJO Y LA REGULARIZACIÓN DE HISTOLOGÍA Y EMBRIOLOGÍA, 2013

Sánchez LM*, Coria SH, Gualtieri, AF, Mandalunis PM

11.45 a 12.00

I02 PERCEPCIÓN DE ESTUDIANTES DE ODONTOLOGÍA REFERIDO AL CONOCIMIENTO DE MEDIDAS PREVENTIVAS

Valdez A*, Medici S, Salgado P, Argentieri A

12.00 a 12.15

I03 APRENDIZAJES PREVISTOS Y NO PREVISTOS EN LA ASIGNATURA ARTICULACIÓN DOCENCIA-SERVICIOS DE SALUD

Probe C, Pedemonte Z*

12.15 a 12.30

I04 CLINICAS INTEGRADAS. TRIANGULACIÓN ANALÍTICA PARA LA VALIDACIÓN DE INVESTIGACIONES DE RÉPLICA EN EDUCACIÓN ODONTOLÓGICA

Argentieri A*, Salgado P, Bordoni N

12.30 a 12.45

I05 EVALUAR LA EFICIENCIA DE LAS ESTRATEGIAS UTILIZADAS EN UN PROGRAMA ESCOLAR EDUCATIVO-PREVENTIVO

Manzano M, Brasca N*, Girardi M, Santillán ME, Herrera A, Porta J, Larghi C, Calvimonte C

12.45 a 13

I12 CONCEPCIONES EPISTEMOLÓGICAS PRESENTADAS EN LIBROS DE TEXTO UNIVERSITARIOS

Escandriolo Nackauzi JD*, Peme C, Actis AB

SABADO 15 DE NOVIEMBRE

PRESENTACIONES EN POSTERES

SALON PERSEO

Sesión mañana 9 a 12 hs

Colocación de Posters (8.30 a 9.00)

Retiro de Posters (12.00. a 12.30)

Encargados de sala: Débora Burna – Ana Sorazábal

Pablo Fontanetti – Alan Agüero Romero

POSTERS PATOLOGIA CLINICA – ANATOMIA PATOLOGICA – RADIOLOGIA

Veedores:

María E Itoiz - Beatriz Guglielmotti - Livia Escovich - Liliana Nicolosi - Sandra Renou

A16 LA HIPOXIA PERINATAL NO AFECTA EL FENOTIPO DE CRECIMIENTO DE LA MASA CORPORAL EN NORMOXIA

Bozzini CE*, Picasso EO, Champin GM, Alippi RM, Bozzini C

A17 EVALUACIÓN DE LA PORTACIÓN DE CANDIDA EN PRÓTESIS BUCALES DE PACIENTES EN UTI

Ubertone R*, Gaffuri S, Flores S, Benegas R, Briselli V, Brusca L, Luna I, Olavegogeoascoechea P, Brusca MI, Grandinetti JA

A18 ESTUDIO DE FACTORES DE RIESGO ASOCIADOS AL CANCER ORAL EN UNA POBLACION DE ROSARIO

Zaragoza A*, Fachile JC, Cogliati G, Calamari C, Giral N, Escovich L

A19 EVOLUCIÓN DE LA REPARACIÓN TISULAR ALVEOLAR POST-EXODONCIA EN CONDICIONES DE HIPOSIALIA

Mohn C*, Steimetz T, Fernandez-Solari J, Elverdin J, Guglielmotti B

A20 CONSUMO DE MICRONUTRIENTES Y CARCINOMAS ORALES ESPINOCELULARES

Galíndez F*, Secchi DG, Aballay L, Brunotto M, Lanfranchi H

A21 DEPÓSITO DE NANOPARTÍCULAS DE TITANIO EN PULPA, LIGAMENTO PERIODONTAL Y MÉDULA ÓSEA

Domingo M*, Steimetz T, Guglielmotti MB, Olmedo DG

A22 DETERMINACIÓN DE LA ACCIÓN TÉRMICA DEL MATE COMO FACTOR PREDISPONENTE DEL CÁNCER BUCAL

Fernández ER*, González MM

A23 CORRELACIÓN ENTRE LA DEXA Y LAS IMÁGENES DE LA TOMOGRAFÍA COMPUTARIZADA (CONE BEAM) EN MUJERES CON OSTEOPOROSIS

Paz M*, Mailand M, Mailand D, Vitulli I, Hernán A, Amatti L, Peña G, Lopez E, Escovich L

A24 ALTERACIONES DEL ÁREA METAFISIARIA TIBIAL EN RATONES NOD CON SÍNDROME DE SJÖGREN

Busamia B*; Guglielmotti MB; Fontana S; Mariani M; Rhys K; Gobbi C; Albiero E; Yorio M

A25 ESTUDIO DEL METABOLISMO DEL BORO EN ALTAS DOSIS EN HUESO

Brandizzi D*, Oliviera MS, Cabrini RL

A26 ATENCIÓN ODONTOLÓGICA INTERDISCIPLINARIA EN PACIENTES CON CARDIOPATÍAS CONGENITAS DEL ADULTO. PRELIMINAR

Winter GA*, Lama MA, Morós CG, Rubio MC, Nicolosi LN

A27 CINÉTICA DE LA INTERLEUQUINA 1? EN SALIVA Y SU ASOCIACIÓN CON BIOMARCADORES DE STRESS OXIDATIVO, EN EL INFARTO AGUDO DE MIOCARDIO

Ramos C*, Rubio MC, González PM, Puntarulo S, Álvarez E, Friedman S, Nicolosi L

A28 EFECTO ANTIOXIDANTE DE N-ACETIL CISTEINA (NAC) EN MACRÓFAGOS DE DIFERENTES GRUPOS ETARIOS EXPUESTOS A NANOPARTÍCULAS DE DIÓXIDO DE TITANIO

Bruno M*, Sittner M, Guglielmotti MB, Olmedo DG, Tasat D

A29 ESTUDIO PRELIMINAR DE LA COMBINACIÓN DE VITAMINAS Y BISFOSFONATOS EN HUESO MAXILAR DE RATAS

Moro C, Aguzzi A, Virga C, Romero S*, Basualdo MM

A30 EVALUACIÓN DE LA PRESENCIA DE CÁNDIDA EN PACIENTES DIABÉTICOS PORTADORES DE PROTESIS DENTALES

Ochoa Salazar C*, Vertiz Felix K, Torres Reyes P

A31 ALTERACIONES HISTOMORFOMÉTRICAS DEL HUESO PERILESIONAL EN QUISTES Y TUMORES ODONTOGÉNICOS

Baró MA, Rocamundi MR*, Viotto JO, Asis Onell G, Ferreyra de Prato RS

A32 ANÁLISIS MORFOLOGICO Y MICROMINERAL DE HUESO PERIQUISTICO (HP) EN MAXILARES HUMANOS POR MICROSCOPIA ELECTRONICA DE BARRIDO (MEB)

Rocamundi MR*, Kaplan R, Corominas Ruiz O, Vilchez J, Ferreyra de Prato RS

A33 SALUD BUCAL EN PACIENTES HOSPITALIZADOS: RELEVAMIENTO EFECTUADO POR ALUMNOS DE ODONTOLOGÍA

Cruz ME*, González NN, Módena JC, Rubio MC, Nicolosi LN

A34 ESTUDIO PRELIMINAR. PRESUNCIÓN CLÍNICA DE LESIONES ESTOMATOLÓGICAS RELACIONADAS A LA INFECCIÓN POR HPV EN MUJERES, CON HPV EN EL TRACTO GENITAL INFERIOR.

Verdu S*, Nalli G, Tatti S, Lanfranchi H

A35 EFECTO INMEDIATO DEL USO DE COLUTORIOS SOBRE LA MUCOSA BUCAL. ESTUDIO PRELIMINAR.

Zapata M*, Allende A, Piñeiro Varini R, Robledo G, Arriaga A, Morelato R

A36 INFLUENCIA DE LA OBESIDAD EN ESTIMACIÓN DE LA EDAD CRONOLÓGICA

Aimo A*, Avellaneda RV, Aragón HN, Gordillo ME, López ME

A37 ESTUDIO COMPARATIVO DE VARIABLES RADIOGRÁFICAS ENTRE PACIENTES CON CANINOS SUPERIORES RETENIDOS Y NORMALES

Wuscovi LF*, Aragón HN, Jorrat M, Brito G, Medina JA, Rodríguez N. ME, López ME

A38 CAMBIOS EN LA EVOLUCIÓN CLÍNICA DE PACIENTES CON SIDA, DESDE LO ESTOMATOLÓGICO

Allende A*, Piccioni O, Fabbro A, Hernandez S

A39 ESTUDIO COMPARATIVO SOBRE EL COMPORTAMIENTO Y LA DISTRIBUCIÓN DE LAS TENSIONES EN IMPLANTES DENTALES CORTOS E IMPLANTES DENTALES ESTÁNDARES EN LA REGIÓN POSTERIOR DEL MAXILAR SUPERIOR. UN ESTUDIO EN ELEMENTOS FINITOS

Loyola González P*, Torassa D, Dominguez A

A40 SÍNDROME DE WILLIAMS-BEUREN. ESTUDIO PRELIMINAR

Mercado G, Gili J, Giardini A, Castro Y, Alurralde P, Pavan V*

A41 EFECTO DEL ISOPROTENEROL Y DE LA IGG ANTI BETA 1 PERIODONTAL EN EL MIOCARDIO AURICULAR AISLADO DE RATA

Ganzinelli S*, Borda E

A42 EFECTO ANTIMICROBIANO DE SOLUCIONES DE PROPÓLEOS EN STREPTOCOCCUS SANGUINIS

Vaculik PA*, Rosende RO, Cardozo B, Perez SR, Lozina L

POSTERS ANATOMIA E HISTOLOGIA

Veedores: Patricia Mandalunis – Carola Bozal

C02 CAMBIOS ODONTOBLASTICOS POR DIETA CARIOGENICA EN GERMENES DENTALES Y MOLARES DE RATAS

Dávila H; Zapata N; Zaffaroni M; Kohli A*

C03 CARACTERIZACIÓN DE LA TOPOGRAFÍA OCLUSAL DEL TERCER MOLAR

Grifo MB*, Trinks P, Pari F, Amer M, Sánchez GA

C04 DESARROLLO DE UN MODELO DE ANÁLISIS POR ELEMENTO FINITO DEL TERCER MOLAR

Trinks P*, Grifo MB, Pari F, Amer M, Sánchez GA

C05 EVALUACIÓN DE MASTOCITOS Y OSTEOCLASTOS EN ANIMALES OVARIECTOMIZADOS TRATADOS CON ALENDRONATO

Díaz DH*, Rodas JA, Mandalunis PM, Escudero ND

C06 ANÁLISIS DE BIOCOMPATILIDAD DE NANOPARTÍCULAS MAGNÉTICAS PARA SU USO EN INGENIERÍA TISULAR

Ximenes Oliveira AC*, López-López MT, Scionti G, Duran JDG, Gómez de Ferraris ME, Campos A, Rodriguez IA

C07 ESTUDIO DE LOS RESTOS EPITELIALES DE MALASSEZ EN UN DISEÑO EXPERIMENTAL DE PERIODONTITIS

Goya JA*, Benedí D, Pulitano Manisagian GE, Mandalunis PM

C08 PARÁMETROS HISTOMORFOMÉTRICOS DE LOS OSTEOCITOS DEL HUESO ALVEOLAR EN UN MODELO DE DESUSO EN MAXILARES DE RATA

Trojan-Cotumacci AE*, Ubios AM, Bozal CB

C09 CONTROL DE CALIDAD DE DIFERENTES SILICATOS DE CALCIO MEDIANTE DISTINTOS ANÁLISIS DE VIABILIDAD CELULAR

Rodriguez MA*, Ximenes Oliveira AC, Rozas CA, Sakalian C, Campos A, Uribe Echevarría J, Ferraris ME, Rodriguez IA

C10 YERBA MATE: ¿TIENE EFECTO PROTECTOR SOBRE LA PÉRDIDA ÓSEA EN ANIMALES OVARIECTOMIZADOS?

Nervegna MT*, Lewicki M, Rodriguez J, Bozzini C, Mandalunis PM

C11 ESTANDARIZACIÓN DE UNA TÉCNICA DE CULTIVO CELULAR DE FIBROBLASTOS

Gili MA*, Aguirre MV, Almirón MS

POSTERS FISILOGIA – FARMACOLOGIA – BIOFISICA – BIOQUIMICA

Veedores:

Betina Orman – Delia Takara – Ana Azcurra

D11 DEXAMETASONA AFECTA LA BIOMECANICA MANDIBULAR MEDIANTE EFECTOS NEGATIVOS CELULARES Y TISULARES EN LA RATA EN CRECIMIENTO

Bozzini C*, Champin GM, Bozzini CE, Alippi RM

D12 RESPUESTA BIOMECANICA FEMORAL EN RATAS ENTRENADAS A CORRER

Bozzini CE, Viscor Carrasco G, Ríos Kristjánsson, Pagés T, Alippi RM, Bozzini C*

D13 LIGANDOS A RECEPTOR HISTAMINA 4 MEJORA EL DAÑO PRODUCIDO POR LA ENFERMEDAD PERIODONTAL EN RATAS

Rios CE*, Prestifilippo JP, Mohn C, Fernández-Solari J, Medina V, Elverdin JC

D14 EFECTO DE LAS NANOPARTÍCULAS DE SELENIO SOBRE LA ENFERMEDAD PERIODONTAL EXPERIMENTAL

Rios CE*, Tancredi P, Fernandez Solari J, Medina V, Socolovsky LM, Elverdin JC, Prestifilippo JP

D15 EFECTO DIFERENCIAL DE CARTICAÍNA SOBRE LA SERCA DE MÚSCULO PTERIGOIDEO INTERNO

de la Cal C*, Trinks PW, Corti S, Sánchez GA

D16 REGULACIÓN DE tp53 POR PUFAs ω -6 Y ω -3 EN GLÁNDULAS SALIVARES INOCULADAS CON DMBA

Scherma ME, Silva RA, Madzuduli G, Brunotto M*, Pasqualini ME

D17 LA INTOXICACION CRONICA POR PLOMO ALTERA LA BIOMECANICA OSEA EN RATAS OVARIECTOMIZADAS

Lee CM*, Terrizzi AR, Bozzini C, Piñeiro AE, Conti MI, Martínez MP

D18 NIVELES SALIVALES DE MUCINA, AMILASA Y PROTEÍNAS EN PERIODONTITIS CRÓNICA Y AGRESIVA

Sánchez GA, Capurro A, De Couto Pita A*, Méndez CF

D19 RELACIÓN ENTRE INGESTA CRÓNICA DE ETANOL DE ALTA GRADUACIÓN Y ENFERMEDAD PERIODONTAL

Mohn C*, Perez HV, Ossola CA, Surkin PN, Elverdin JC, Fernandez-Solari J

D20 PARTICIPACIÓN DE MEDIADORES DE LA RESPUESTA INMUNE EN LA RESORCIÓN DEL HUESO ALVEOLAR Y FEMORAL EN RATAS RCCN

Lezón CE, Pintos PM*, Tasat DR, Astort F, Agüero Romero A, Champin G, Bozzini C, Friedman SM, Boyer PM

D21 CAMBIOS HISTOLÓGICOS EN EL ESQUELETO AXIAL Y APENDICULAR EN UN MODELO ANIMAL DE DESNUTRICIÓN ARMÓNICA TRATADO CON PROPRANOLOL

Agüero Romero A*, Lezón ChE, Pintos P, Chiarenza A, Mandalunis P, Alippi RM, Friedman SM, Boyer PM

D23 EVALUACIÓN DE LA ACTIVIDAD PROTEOLÍTICA DE MICROPARTÍCULAS ESFÉRICAS DE PAPAÍNA SOBRE COLÁGENO

Ventura F*, Barsanti A, D'Eramo L, Chiaramoni N, Mendez C, Alonso S, Santos J, Squassi A

D24 LA INGESTA DE NaF DURANTE LA LACTANCIA AFECTA EL CRECIMIENTO MANDIBULAR DE LAS CRÍAS

Interlandi V*, Fontanetti P, Ponce RH, Bojanich A, Tirao G, Gallará R, Centeno V

D25 NaF ALTERA LA EXPRESIÓN DE CLAUDINA1 Y OCLUDINA EN ESTÓMAGO E INTESTINO DE RATA

Gonzales Segura I*, Ponce RH, Interlandi V, Gallará R., Centeno VA

D26 IDENTIFICACION DE CANALES CATIONICOS CALCIO-DEPENDIENTES EN ODONTOBLASTOS DE RATA

Pérez PL*, Smoler M, Velázquez IF, Rodríguez Santos IP, Cantiello HF, Cantero MR

D27 ESTUDIO RETROSPECTIVO DEL USO RACIONAL DE MEDICAMENTOS EN LA FASE PRE-IMPLANTE

Steeman R, Reynoso A*, Martínez A, Lapalma M

D28 EXPRESIÓN DE PROTEÍNAS Y MINERALIZACIÓN DENTINARIA EN INCISIVOS DE RATA CON FLUOROSIS

Gallará RV*, Fontanetti PA, Bojanich MA, Ponce RH, Centeno VA

D29 LA SECRECIÓN DE AMILASA EN LA GLÁNDULA SUBMANDIBULAR DE LA RATA Y SU ESTIMULACIÓN POR HISTAMINA

Quinteros Villarruel E*, Rosa A, Orman B

D30 DETECCIÓN DE CREATINA Y GUANIDINOACETATO EN LA SALIVA DE SUJETOS SANOS

Martínez LD*, Dodelson de Kremer R

D31 EFECTO ACTIVADOR E INHIBIDOR DE PRILOCAÍNA DEPENDIENTE DE MAGNESIO SOBRE LA CA-ATPASA

Di Croce DE*, de la Cal C, Richard SB, Sánchez GA, Takara D

POSTERS MICROBIOLOGIA E INMUNOLOGIA

Veedores: Norberto Arancegui - Liliana Turcot

E04 PRESENCIA DE AGGREGATIBACTER ACTINOMYCETEMCOMITANS EN PLACA SUBGINGIVAL DE PACIENTES CON NIVELES DE COLESTEROLEMIA NORMALES Y ELEVADOS

Vilotta SM*, Somaglia L, Bernat MI, Palacios N, Rosmino M F, Molgatini S, Turcot L

E05 ACRECIÓN IN VITRO DE COLESTEROL SÉRICO HUMANO A COLONIAS DE MYCOPLASMA ORALE

Vilotta SM*, Palacios N, Turcot L, Rosmino MF, Bernat MI, Molgatini S, Somaglia L

E06 BIOFILM SOBRE CRESTAS Y VALLES EN IMPLANTES DENTARIOS DE ZIRCONIO CON ROSCA

Butler TA*, Basal RL, Lazo G, Lazo S, Escudero E, Viscovik C, Cucchetti D, Pazos F, Belloni F, Alfaro G, Amaro E, Ivanov M, Bentivenga N, Merlo D

E07 CANDIDA ALBICANS VS. NO ALBICANS: FACTORES DE VIRULENCIA Y RESPUESTA A FÁRMACOS

Barembaum SR*, Scatena MG, Azcurra AI

E08 EVALUACIÓN DE LA SALUD BUCAL DEL PACIENTE PREVIO AL TRATAMIENTO ORTODÓNCICO

Vera Cucchiaro VS, Barembaum SR, Azcurra AI*, Bass Pluer A

E09 METABOLITOS DE BACTERIAS LÁCTICAS ANTAGÓNICOS AL CRECIMIENTO DE MICROORGANISMOS CARIOGÉNICOS

Sin C*, Vasek O, Ortega S

E10 IDENTIFICACIÓN DE AGGREGATIBACTER ACTINOMYCETEMCOMITANS (AA) EN PERIODONTITIS CRÓNICAS DE PACIENTES QUE ASISTEN A LA FOUNNE- CORRIENTES

Ortega SM*, De Biassio MB

E11 RELACIÓN ENTRE ÁCIDOS GRASOS DIETARIOS Y LA CONCENTRACIÓN SALIVAL DE INMUNOGLOBULINA A SECRETORIA

Costantino E*, Escandriolo Nackauzi JD, Bertolotto P, Heinze VM, Pistoiresi MC, Actis AB

E12 CONCENTRACIÓN SALIVAL DE INMUNOGLOBULINA A SECRETORIA SEGÚN LA INGESTA DE FITOQUÍMICOS DIETARIOS

Costantino E*, Escandriolo Nackauzi JD, Bertolotto P, Heinze VM, Pistoiresi MC, Actis AB

E13 LOCALIZACIÓN DE CARIES EN NIÑOS VEILLONELLAS SPP POSITIVOS SEGÚN ESTADO NUTRICIONAL. ESTUDIO PRELIMINAR

Rodríguez PN, Manto MC*, Tejerina D, Martínez Reinoso J, Medici S, Argentieri AB

POSTERS PERIODONCIA E IMPLANTES

Veedores:

Miriam Grenón - María A.Giaquinta - Gustavo Feser

F14 EVALUACIÓN DE LA PORTACIÓN DE CANDIDA SPP EN LOS PACIENTES CON CELIAQUÍA DIAGNOSTICADA EN LA ADULTEZ

Noier M*, Carballo B, Ubertone R, Aguilar P, Mele C, Brusca MI, Grandinetti JA

F15 ESTUDIO DE LA PORTACIÓN DE CANDIDA SPP EN PACIENTES QUE CONSUMEN PACO

Fajardo R*, Luna I, Robles M, Garritano M, Ubertone M, Grandinetti JA, Brusca MI.

- F17 EVALUACIÓN DE LA PORTACIÓN DE CANDIDA SPP EN PACIENTES PERIODONTALES QUE INGIEREN ANTICONCEPTIVOS ORALES COMBINADOS**
 Garritano M*, Mutarelli A., Wygachiewicz D Olavegogeoascoechea P, Ibanez Marino C, Brusca L, Benegas R, Grandinetti JA, Gomez M, Almeida E, Brusca MI
- F18 EVALUACIÓN DE LA PORTACIÓN DE CANDIDA SPP A AROS BUCALES**
 Burna D*, Noier M, Casal M, Carballo B, Virgilito A, Brusca L, Almeida E, Brusca MI, Grandinetti JA
- F19 ESTUDIO DEL ESTADO PERIODONTAL EN MUJERES EN CLIMATERIO**
 Ubertone M*, Mutarelli A. ; Schnell M, Romero J, Lucentini M, Brusca L, Garzón M. ; Almeida E, Grandinetti JA, Brusca MI
- F21 ESTUDIO DE LA ADHERENCIA DE LOS PACIENTES CON PATOLOGÍA A LA FASE DE MANTENIMIENTO DE LA TERAPIA PERIODONTAL**
 Noier M*, Taddeo M, Hansen A, Flores S, Scarpatti N, Brusca L, Carballo B, Grandinetti JA, Brusca MI
- F22 ROL DEL AGREGATIBACTER ACTINOMYCEMCOMITANS (AA) Y LA PORFIROMONAS GINGIVALIS EN PERIODONTITIS AGRESIVA**
 Sánchez GA, De Couto Pita A*, Busch L, Méndez CF
- F23 COMPARACIÓN DE LA RESPUESTA CLÍNICA Y BACTERIOLÓGICA DE PACIENTES CON PERIODONTITIS CRÓNICA Y AGRESIVA GENERALIZADA POST TRATAMIENTO PERIODONTAL NO QUIRÚRGICO**
 Menso J*, Bazzano G, Usin MM, Tabares S, Ribotta de Albera EM, Sembaj A
- F24 RESPUESTA AL TRATAMIENTO PERIODONTAL NO QUIRÚRGICO DE PACIENTES FUMADORES Y NO FUMADORES**
 Musso G*, Menso J, Calafell C, Rosella C, Moyano A, Doro V, Rubio S, Tortolini P, Oviedo JC, Solari N, Usin MM, Moreno de Calafell M
- F25 ANÁLISIS COMPARATIVO DE PARÁMETROS CLÍNICOS DE PACIENTES FUMADORES Y NO FUMADORES CON PERIODONTITIS CRÓNICA**
 Usin MM*, Menso J, Calafell C, Rosella C, Moyano A, Doro V, Rubio S, Tortolini P, Oviedo JC, Solari N, Musso G, Moreno de Calafell M
- F26 IMPLANTES INMEDIATOS A EXODONCIAS DE CANINOS SUPERIORES RETENIDOS. ESTUDIO PRELIMINAR**
 Garcia Blanco M*, Stolbizer F, Pasart J, Puia SA
- F27 ESTUDIO DE LA PREVALENCIA DE ENFERMEDAD PERIODONTAL EN PACIENTES CON INDICACIÓN DE CIRUGÍA CARDIACA**
 Briselli V*, Casal M, Romero J, Grandinetti JA, Brusca MI
- F28 RESPUESTA DEL TEJIDO SUBCUTÁNEO A UN IMPLANTE DE POLIETILENO POROSO. ESTUDIO HISTOLÓGICO**
 Martinez Rodriguez J*, Renou SJ, Guglielmotti MB

F29 ESTUDIO DE LA PREVALENCIA DE PATÓGENOS PERIODONTALES EN MUJERES EN TRATAMIENTO DE FERTILIZACIÓN ASISTIDA

Torrelío J*, Casal M, Echeverría A, Listorti A, Grandinetti JA, Olavegogeoascoechea P, Almeida E, Brusca L, Lucentini M, Brusca MI

F30 ÉXITO IMPLANTOLÓGICO Y ENFERMEDADES PERIIMPLANTARIAS EN PACIENTES INMUNOSUPRIMIDOS TRASPLANTADOS DE ÓRGANO SÓLIDO

Paredes VM*, López Pintor RM, Casañas E, de Andrés A, de Vicente JC, Hernández G

F31 PARESTESIAS DEL NERVI DENTARIO INFERIOR EN CIRUGÍAS IMPLANTOLÓGICAS: ESTUDIO RETROSPECTIVO

García Blanco M*, Gualtieri AF, Puia SA

F32 ANALISIS DE FLUORESCENCIA EN TITANIO GRADO IV Y V: ESTUDIO EN CONEJOS

Miranda AB*, Stancari FH; Cunha VS; Conti PCR; Araujo MAR; Araujo CRP

POSTERS CIRUGIA Y FARMACOLOGIA CLINICA

Veedor: Roberto Caramés

J03 ESTUDIO DE LA PORTACIÓN DE CANDIDA SPP EN TERCEROS MOLARES SEMI-RETENIDOS

Romero J*, Garritano M, Balsamo MF, Puia S, Toranzo S, Lucentini M, Virgilito A, Grandinetti JA, Brusca MI

J04 ESTUDIO COMPARATIVO DE ANESTÉSICOS LOCALES EN ODONTOLOGÍA

Manterola ER*, Agasi R, Barthe D, Corrarelo A, Finlandino G, González L, Herrera G, Ramírez L, Marquievich J, Ochotorena A, Oliveto V, Racioppi M, Rocha C

POSTERS ENDODONCIA

Veedores:

Pablo Spoleti – María E. Sapienza

K02 EVALUACIÓN DE LA INFLUENCIA DE LA LONGITUD Y ÁNGULO DE CURVATURA EN LA FUERZA DE FLEXIÓN DE INSTRUMENTOS PROTAPER UNIVERSAL

Lopreite G*, Basilaki J, Romero M, Severino L, Hecht P

K05 EVALUACIÓN AL MEB DEL DAÑO ESTRUCTURAL SUFRIDO POR INSTRUMENTOS PROTAPER UNIVERSAL LUEGO DE 10 USOS CLÍNICOS

Lopreite G*, Basilaki J, Romero M, Severino L, Hecht P

K06 EVALUACIÓN DE CAMBIOS MORFOLÓGICOS MACROSCÓPICOS DE INSTRUMENTOS PROTAPER UNIVERSAL LUEGO DEL USO CLÍNICO

Lopreite G, Basilaki J*, Romero M, Severino L., Hecht P

K07 EVALUACIÓN DE LA RESISTENCIA FLEXURAL DE INSTRUMENTOS PROTAPER UNIVERSAL NUEVOS Y LUEGO DE SU EMPLEO CLÍNICO

Lopreite G, Basilaki J*, Romero M, Severino L., Hecht P

K08 EVALUACIÓN EX VIVO DE LA MICROFILTRACIÓN DE DOS COMPUESTOS DE TRIÓXIDO MINERAL, EN ÁPICES INMADUROS, CON Y SIN PASTA DE CA (OH)₂

Gutiérrez M*; Cabral RJ; Menis de Mutal L

K09 COMPARACIÓN IN-VITRO DEL SELLADO APICAL DEL IV, MTA Y OZE EN OBTURACIONES RETRÓGRADAS

Dones V, Casadoumecq AC*, Rodriguez P

K10 EFICACIA DE LOS TRATAMIENTOS OSTEO-CONDUCTORES PARA LA REPARACIÓN ÓSEA POST-CIRUGÍA APICAL

Rodriguez PA*, Sierra L, Fernandez-Solari J, Elverdin JC

K11 SEGUNDO CONDUCTO MESIOVESTIBULAR EN LOS PRIMEROS MOLARES SUPERIORES PERMANENTES. ESTUDIO DE FRECUENCIAS

Martinez PA*, Alfie N, Buldo MA, Corominola PL, Lenarduzzi AL, Gualtieri Ariel, Fernández Solari J, Sierra LG, Rodriguez PA

K12 ESTUDIO SOBRE RECONSTRUCCIÓN CORONARIA POST-ENDODONCIA, ESTADO DE SALUD PERIODONTAL Y DOLOR

Arena A, Moreno M, Gioino G, Gómez C, Luján G., Carvajal M, Garofletti J*, Brónstein M, Crohare L

K13 ANÁLISIS COMPARATIVO DE DISTINTOS MÉTODOS DE IRRIGACIÓN EN EL CONDUCTO RADICULAR

Arce Brissón G*, Visvisián C

K14 COMPORTAMIENTO DE LOS INSTRUMENTOS ROTATORIOS ENDODÓNTICOS EN PRÁCTICAS PRECLÍNICAS DE GRADO

Miguel A*, Jutkin C, Casadoumecq AC, Ritacco E, Rodriguez AP, Sierra L

K16 ENTEROCOCUS FAECALIS EN PIEZAS UNIRADICULARES CON DIAGNOSTICO CLÍNICO DE NECROSIS PULPAR ABIERTA

Olivieri D*, Ciolli Ceccato V, Gliosca L, Rodriguez P, Molgatini S

K17 FACTORES QUE INFLUYEN SOBRE LA CONFORMACIÓN APICAL EN CONDUCTOS DE PREMOLARES SUPERIORES

Zampa C*, Croaré L, Gani O

K18 VARIACIONES TÉRMICAS EN LA SUPERFICIE RADICULAR DURANTE LA DESOBTURACIÓN MECÁNICA DEL CONDUCTO

García Cuerva M*, Horvath L, Pinasco L, Ciparelli V, Tartacovsky H, Gualtieri A, Casadoumecaq AC, Rodríguez AP, Gonzalez Zanotto C

K19 REACCIÓN DEL TEJIDO CONECTIVO DE RATAS A LA IMPLANTACIÓN DE SELLADORES EXPERIMENTALES

Cintra LT*, Ferreira LL, Benetti F, Rey MI, Valentim D, Sivieri-Araujo G, Jacinto RC, Dezan-Júnior E, Gomes-Filho JE

SALON PERSEO

Sesión tarde 15 a 18 hs

Colocación de Posters (14.30 a 15.00)

Retiro de Posters (18.00. a 18.15)

Encargados de sala: Germán Tilke Seijo – Verónica Interlandi
Manuel Ubertone – Rocío Lazzati

POSTERS MATERIALES DENTALES – ODONTOLOGIA REHABILITADORA

Veedores:

Ricardo Macchi - Clelia Reynoso - Andrea Kaplan - Nora Brasca

B12 COMPARACIÓN DE LA RESISTENCIA FLEXURAL DE RESINAS ACRÍLICAS ACTUALES PARA PRÓTESIS COMPLETAS

Atala J, Ocampo M*, Brochero G, Luis Croharé, Cabral R, Ibañez C

B13 EFECTO DEL PROCESADO DE LAS RESINAS ACRÍLICAS TERMOPOLIMERIZABLES SOBRE LA RUGOSIDAD SUPERFICIAL

Di Benedetto S*; Galleano, S; Attorresi, B; Noste, J L, Arancegui, N

B14 SILICONAS DE CONDENSACIÓN (SC): CALIDAD DEL TRABAJO FINAL SEGÚN DISTINTAS VARIABLES

Granato M*, Martín A, Valdés C, Arancegui N

B15 ACCIÓN ANTIMICROBIANA DE HEXAMETAFOSFATO ASOCIADO CON CEMENTO DE IONÓMERO DE VIDRIO

Hosida TY*, Silva MER, Favretto CO, Duque C, Delbem ACB, Pedrini D

B16 ADICIÓN DE FOSFATO Y CLORHEXIDINA EN CEMENTO DE IONÓMERO DE VIDRIO

Silva MER*, Silva DF, Pedrini D, Delbem ACB, Hosida TY, Favretto CO, Duque C

B18 COMPARACIÓN CLÍNICA DE SISTEMA ADHESIVO AUTOACONDICIONANTE CON Y SIN ACONDICIONAMIENTO DEL ESMALTE EN PIEZAS PRIMARIAS

Ortolani A*, Cortese S, Biondi AM

B19 INFLUENCIA DE MONTMORILLONITA SILANIZADA NANOMÉTRICA EN LAS PROPIEDADES MECÁNICAS DEL SISTEMA BIS-GMA/TEGDMA

Rivera A, Cuevas C*, Alvarez C, Zamarripa E

B20 EVALUACIÓN DE LA ESTABILIDAD DEL COLOR EN RESINAS COMPUESTAS FRENTE AL ENVEJECIMIENTO ARTIFICIAL ACELERADO

Moraes EP*, Naves CM, Barbosa e Silva CC, Miranda TC, Pereira LCG

B21 EVALUACIÓN DEL GRADO DE LUMINOSIDAD DE DIFERENTES TIPOS DE RESINA COMPUESTA

Maia JPS*, Silva PK, Mello Júnior M, Teixeira IM, Orosco FA, Pereira LCG

B22 ANÁLISIS DEL MÉTODO PARA ELEGIR EL COLOR DE LAS RESINAS COMPUESTAS

Serafim NG*, Rocha SCA, Teixeira RM, Orosco FA, Pereira LCG

B23 EVALUACIÓN DE LA RADIOPACIDAD DE LAS RESINAS COMPUESTAS

Resende NGO, Silva CMA, Oliveira DCG*, Lima AA, Pereira LCG

B24 UTILIZACIÓN DE LOS SISTEMAS ADHESIVOS EN LA PRÁCTICA DIARIA

Santos MG*, Royas RT, Gomes RB, Caixeta BS, Pereira LCG

B25 DESCOLORACIÓN DE CORONAS PRODUCIDA POR CEMENTOS ENDODÓNTICOS DESPUÉS DE SEIS MESES

Costa YC*, Ramos AR, Silva MTF, Abadia MRN, Pereira LCG, Orosco FA

B26 EVALUACION DEL SISTEMA DE BLANQUEAMIENTO USANDO TIRAS DE POLIETILENO CON PERÓXIDO DE HIDROGENO AL 10 % EN PACIENTES QUE CURSAN SU ÚLTIMA ETAPA DEL TRATAMIENTO DE ORTODONCIA

Kohen S*, Tamini Elicequi LE, Lacovino N

B27 CARACTERIZACIÓN DE LAS CRESTAS Y VALLES EN LOS IMPLANTES DE ZIRCONIO

Basal R*, Butler T; Lazo G; Lazo S; Escudero E; Viscovik C; Bentivenga N, Merlo D; Cucchetti D; Pazos F; Belloni D; Alfaro G; Amaro E; Ivanov M

B28 PROBABILIDAD DE SUPERVIVENCIA DE PUENTES DE ZIRCONIA: EFECTO DEL DISEÑOS DE INFRAESTRUCTURA

Pavesi Fardin V*, Bonfante EA, Coelho PG, Bonfante G

B29 ADAPTACIÓN A DENTINA DE UN CEMENTO DE IONÓMERO DE VIDRIO DE ALTA VISCOSIDAD CON DISTINTOS TRATAMIENTOS Y VISUALIZACIONES

Rozas CA*, Uribe Echevarría LJ, Vilchez J, Uribe Echevarría A, Rodriguez IA, Uribe Echevarría J

B30 DETECCIÓN DE CARIES DENTINARIA EN AMALGAMAS CON CARIES SECUNDARIA O RESIDUAL CON MÉTODO FACE

Uribe Echevarría A*, Saravia ME, Nome C, Rozas C, Rodriguez IA, Uribe Echevarría J

B31 EFECTO DEL ETIL-CIANOACRILATO SOBRE BIOFILME DE CANDIDA ALBICANS EN ACRÍLICO PARA REBASADO

Oliveira DG*, Távora FFF, Marcillo OO, Neppelenbroek KH, Porto VC

POSTERS CARIOLOGIA – EPIDEMIOLOGIA – SALUD PUBLICA

Veedores:

Carlos Capuano – Marcela Bella – Gabriel Sánchez – Eduardo Zimmermann
Jorge Uribe Echevarría – Silvia cortese – Pablo Gigena – Mercedes Sánchez Dagum

G21 NIVEL EDUCATIVO, CONSUMO LÁCTEO, ÍNDICE CPO EN PESCADORES DE COSTA E ISLAS

Esteve S, Fournier M, García B, Merello J, Kohli A*

G23 ANÁLISIS DE SUPERVIVENCIA DE RESTAURACIONES CON IONÓMERO VÍTREO EN UN PROGRAMA ESCOLAR

Ferrarini S*; Toral M, Klemonsks G, Salgado Pablo, Squassi A

G24 CARIES PENETRANTE EN PRIMER MOLAR PERMANENTE. FACTORES DE RIESGO ASOCIADOS A LA DERIVACIÓN TERAPÉUTICA

Nannini A*, Garbarino C, Lezcano C, Romero F, Antequera L

G25 RELACIÓN ENTRE CONSUMO DE AZUCARES Y AUTOCUIDADO EN SALUD BUCAL EN UNIVERSITARIOS

Sanchez Dagum M*, Bozzatello J, Elizondo Cassab E, Giligan J, Gosso C

G26 DENTÍFRICO CONVENCIONAL ASOCIADO CON HEXAMETAFOSFATO DE SODIO: ESTUDIO IN SITU

Souza JAS*, Camara DM, Pessan JP, Danelon M, Favretto CO, Percinoto C, Delbem ACB

G27 EFECTO DE BARNIZ FLUORETADO CON TRIMETAFOSFATO DE SODIO SOBRE REMINERALIZACIÓN IN SITU

Nagata ME*, Delbem ACB, Manarelli MM, Binhardi TDR, Hall KB, Cunha RF, Percinoto C, Pessan JP

G28 EXPERIENCIA DE CARIES EN LA APARICIÓN DE LESIONES PROXIMALES EN MOLARES DECÍDUOS

Favretto CO*, Oliveira DC, Silva MER, Hosida TY, Souza JAS, Delbem ACB, Cunha RF

G29 PREVALENCIA DE LESIONES INCIPIENTES DE CARIES A TRAVÉS DEL ICDAS EN DENTICIÓN MIXTA

Iriquin SM, Fernandez R*

G30 EFECTO DE BARNICES FLUORETADOS CON TRIMETAFOSFATO DE SODIO SOBRE REMINERALIZACIÓN IN VITRO

Hall KB*, Delbem ACB, Manarelli MM, Moraes FRN, Nagata ME, Cunha RF, Percinoto C, Pessan JP

G31 HIPOMINERALIZACIONES E HIPOPLASIAS: PREVALENCIA Y POSIBLES FACTORES ASOCIADOS

Crespo M*, Toscano M, Bava E, Ortolani A

G32 FACTORES DE PERSONALIDAD COMO RIESGO PARA TRASTORNOS TÉMPOROMANDIBULARES (TTM) EN NIÑOS

Farah C*, Guitelman I, Fridman D, Bielsa F, Biondi A, Cortese S

G33 HIPOMINERALIZACIÓN MOLAR INCISIVA: FACTOR DE RIESGO DE OPACIDADES EN CANINOS PERMANENTES

Toscano M*, Ortolani A, Cortese S, Biondi AM

G34 VARIACIONES PORCENTUALES DE CALCIO Y FÓSFORO EN DENTINA DESMINERALIZADA POR ADHESIVOS AUTOACONDICIONADORES

Lutri P, Mirotti G*, Magliano R, Caballero A, Crohare L, Sezin M

G35 POLIMORFISMOS GENÉTICOS EN LAS MMPS, TIMPS Y TGFBS Y LA CARIES DENTAL

Antunes L*, Kuchler E, Lopes L, Antunes L, Abreu F, Amorim L, Paixão I

G36 GENES EXPRESADOS EN LA FORMACIÓN DEL ESMALTE Y LA FLUOROSIS DENTAL

Antunes L*, Kuchler E, Granjeiro J, Antunes L

G37 RELACIÓN DE BRUXISMO Y TRASTORNOS TÉMPOROMANDIBULARES CON HIPERTROFIA AMIGDALINA

González N*, Carretoni A, Gancedo A, Grinberg J, Biondi A, Cortese S

G38 ESTADO DE SALUD BUCAL DE PRIMEROS MOLARES PERMANENTES EN PRE-ADOLESCENTES ESCOLARIZADOS

Mandozzi M*, Marega G, Sanchez Dagum M, Sanz A

G39 GEOLOCALIZACIÓN DE ACCESOS A ATENCION ODONTOLÓGICA RELACIONADA A PREVALENCIA DE CARIES

Unamuno V*, Bazález M, Spadiliero M, Brunotto M, Zarate A

G40 PERDIDA EROSIVA EN NIÑOS TRATADOS Y NO TRATADOS CON SALBUTAMOL

Sorazabal AL, Passarini L, Castro M*, Salgado P, Argentieri A

G41 EXPERIENCIA DE CARIES EN DENTICIÓN PRIMARIA COMO PREDICTOR DE CARIES EN PERMANENTES

Lazzati R*, Rossi G, Masoli C, Capuano C

G42 IMPACTO DE UN PROGRAMA ESCOLAR RURAL SOBRE DEMANDA DE ATENCION ODONTOLOGICA FAMILIAR

Fernandez C, Tilke G*, Needleman M, Masoli C, Squassi A, Capuano C

G43 DISOLUCIÓN “IN VITRO” DEL ESMALTE DENTAL POR BEBIDAS DE CONSUMO FRECUENTE

Passarini L*, Castro M, Sorazabal AL, Salgado P, Picca M, Argentieri A

G44 PRESCRIPCIONES DE MEDICAMENTOS POR ODONTÓLOGOS EN UN INSTITUTO DE SERVICIO SOCIAL

Karaben V*, Rea A, Ramírez L. Morales S

G45 ACCESO AL SISTEMA DE SALUD DE TOBAS Y MAPUCHES EN ÁMBITO URBANO

Azcona MS*; Carames R; Brión V

G46 DENTÍFRICO FLUORADO COM NANOPARTÍCULAS DE TRIMETAFOSFATO EN LA DESMINERALIZACIÓN: ESTUDIO IN VITRO

Danelon M*, Pessan JP, Dalpasquale G, Souza Neto FN, Camargo ER, Delbem ACB

G47 ESTUDIO DE LA PREVALENCIA DE UN SERVICIO URGENCIAS. (ESTUDIO PRELIMINAR)

Adá GA*, Tempo D, Basovich JG, Giorgio AO, Lama MA, Maresca BM

G49 MODIFICACIONES EN LA CRONOLOGÍA DE ERUPCIÓN DENTARIA EN NIÑOS DE DIFERENTES SITUACIONES SOCIOCULTURALES

Gosso C*, Sanchez Dagum M

G50 SEROTIPOS DE STREPTOCOCCUS MUTANS Y EXPERIENCIA DE CARIES EN ESCOLARES

Ponce A*, Gigena P, Carletto-Körber FPM, Cornejo LS

G51 RIESGO DE MALAOCLUSIÓN EN ESCOLARES DE COMUNIDADES CON VULNEABILIDAD SOCIOAMBIENTAL

Bella M*, Gigena P, Verduci P, Carletto Korber F, Lucero, MF, Cornejo LS

G52 FACTORES SOCIOCULTURALES Y SALUD BUCAL DE JÓVENES EN SITUACIÓN DE ENCIERRO

Barnetche MM*; Cornejo LS

G53 ESTADO DENTAL Y PARADENCIAL DE POBLACIÓN EN TRATAMIENTO POR CONSUMO DE DROGAS

Rotemberg E*, Salveraglio I, Kreiner M, Piovesán S, Smaisik K, Ormaechea R, Varela A

G54 REPRESENTACIÓN DE PADRES Y LA INFLUENCIA EN CONDUCTA DE SUS HIJOS EN SITUACIÓN DE ATENCIÓN CLÍNICA-ODONTOLÓGICA

Lucero MF; Larghi C; Porta J; Tula M; Gigena PC*

G55 VALIDACIÓN DE RECURSOS HUMANOS PREPROFESIONALES PARA LA DETECCIÓN DE BIOFILM EN ESCOLARES

Toledo M*, Racedo J, Farias M, Mariño G, Laszuk T, Algarin S, Salgado P, Squassi A, Klemonsks G, Cohen S

G56 EVALUACIÓN DE LA VALIDEZ DEL ÍNDICE DE PLACA VISIBLE EN PROGRAMAS ESCOLARES

Orellana Perez C*, Coteló L, Raffaelli C, Arteaga S, Carranza S, Herrera M, Lopez B, Salgado P, Squassi A, Klemonsks G, Cohen S

G57 CONDICIONES GINGIVALES Y MICROBIOLÓGICAS DURANTE EL PROCESO ERUPTIVO DE LA DENTICIÓN PERMANENTE

Martinez MC*, Ochonga G, Tolcachir B, Rubio S, Tortolini P, Castillo G, Scatena G, Lehner E, Miranda S, Barembaum S

G58 ESTUDIO EPIDEMIOLÓGICO DE EXODONCIAS EN PACIENTES RESIDENTES EN BUENOS AIRES

Manterola ER*, Agasi R, Barthe D; Corrarelo A;; Finlandino G, González L; Herrera G ; Ramírez L; Marquievich J; Ochotorena A; Oliveto V; Racioppi M; Rocha C

G59 EFECTIVIDAD DE PROGRAMAS DE APLICACIÓN DE FLUORUROS Y CLORHEXIDINA SOBRE CARIES DENTAL

Zimmermann E*, Cachia A, Díaz A, Maino A, Spoleti MJ, Pisterna G, Spoleti P

G60 USO DE PIERCING EN ESTUDIANTES DE ODONTOLOGÍA

Sebelli PMF*; Ferraro LE; Cortese SG

G61 CARIES DENTAL EN NIÑOS DEL NORDESTE BRASILEÑO SEGÚN LOS CRITERIOS ICDAS

Uemura TF*, Delbem ACB, Valença Neto PF, Pessan JP

G62 PREVALENCIA DE PIEZAS SUPERNUMERARIAS EN NIÑOS

Safuri F*, Guanzini M, Pavan V.

POSTERS ORTODONCIA

Veedores:

Carla Masoli - Alejandra Folco

H02 MODELO EXPERIMENTAL PARA LA APLICACIÓN DE VIBRACIÓN MECÁNICA EN EL TRATAMIENTO ORTODONCICO

Benítez Rogé SC*, Steimetz T, Troncoso GR, Guglielmotti MB, Mateu ME

H03 EVALUACIÓN DE LA CONTAMINACIÓN CON LEVADURAS DE PINZAS ORTODONCICAS POST UTILIZACION

Giraldo Henao KJ*, Calzadilla Bastidas A, Restrepo Ochoa CM, Zapata Puerta JF, Pollo MF, Ucha M, Brusca MI, Labate LM

H04 ESTUDIO DE LA ADHESIÓN DE CANDIDA SPP A LIGADURAS DE ORTODONCIA

Delgado Navas L*, Ospina Cruz ON, Pollo MF, Ucha M, Brusca MI, Labate LM

H05 ESTUDIO DE LA PREVALENCIA DE FACTORES OCLUSALES PREDISPONETES PARA TRASTORNOS temporomandibulares (TTM)

Castillo JJ*, Altamiranda S, Bertolotti C, Folco AA, Mateu ME

H06 VALORACIÓN EN PACIENTES PRE-ORTODÓNCICOS DE LAS CORTICALES ALVEOLARES VESTIBULARES. ESTUDIO PRELIMINAR (CBCT)

Bruno G*, Benítez Rogé S, Iglesias M, Riguero G, Minutolo MC, Hecht P, Folco AA, Mateu ME

H07 ANÁLISIS VERTICAL DE LAS ARCADAS EN DENTICIÓN TEMPORARIA Y MIXTA TEMPRANA

Martínez MC*, Ferraris ME

H08 EVALUACIÓN DEL ESPESOR DE PELÍCULA GENERADO POR TRES MEDIOS DE FIJACIÓN PARA BRACKETS

Garrofé A*, Asueta M, Gonzalez N, Kaplan A

H09 ANÁLISIS PRELIMINARES DE ARCOS RECTANGULARES DE NITINOL: FUERZAS LINEALES

Pedroso RL, Morata M, Pérez Bazán ME, Politi Mattar CM*, Avellaneda RA, Sosa G, Pedroso LE

POSTERS EDUCACION ODONTOLOGICA

Veedores:

Ana Salas - Teresa Butler - Noemí Bordoni

I06 BIOÉTICA ODONTOLÓGICA: INTERVENCIÓN PEDAGÓGICO DIDÁCTICA CON CINE DEBATE EN ALUMNOS DE ODONTOLOGÍA UNCUYO

Giaquinta MA*, Pascucci J, Fracapani M, Pesce E, Conill J

I07 AUSENTISMO EN LAS MESAS EXAMINADORAS DE BIOESTADÍSTICA, PERÍODO 2005-2012

Tomas L*, Medina M M, Coscarelli N, Rueda L, Papel G, Tissone S, Vera Iturriaga J

I08 IMPACTO DEL VINCULO ESTUDIANTE-PACIENTE EN LA PRÁCTICA CLÍNICA. FACULTAD DE ODONTOLOGÍA. U.N.C. 2013

Marega G*, Sanchez Dagùn, M

I09 VOLUNTARIADO UNIVERSITARIO: UN ESPACIO PARA FORMAR PROFESIONALES COMPROMETIDOS CON LA SOCIEDAD

Azcurrea AI*, Rezzónico MS, Barembaum SR, Scatena MG, Lehner Rosales EMP, Rubio S, Tessio Conca A, Giraud M, Bisio CL, Carpentieri AR

I10 MANIFESTACIONES DEL ESTRÉS AUTOPERCIBIDO EN MOMENTOS DIFERENTES DEL CURSADO DE LA ASIGNATURA INTRODUCCIÓN A LA ODONTOLOGÍA

Aramburú G, Berta MJ, Lissera G, Lorenzo M, Osilio M, Rodriguez I, Scherma ME, Zamar A*

I13 EVALUACIÓN DE UN INFORME DE LABORATORIO Y SU RELACIÓN CON LA CALIFICACIÓN EN EL TRABAJO PRÁCTICO DE TENSIÓN SUPERFICIAL

Merletti SM*, Alderete S, Perez L, Nieman N

I14 ESTRATEGIAS PEDAGÓGICAS PARA LA PROMOCIÓN DE LA SALUD FAMILIAR DESDE EL NIVEL INICIAL

Malberti A, Fontana S, Gait MT, Rubio S, Marconi M, Plavnik LM*

I15 PERCEPCIÓN DE LA SALUD BUCAL. EL PERSONAL DE NIVEL INICIAL COMO ACTORES INVOLUCRADOS

Salas A, Copello MN; Gaiteri M*, Condis G

I16 INFLUENCIA DE LA ASISTENCIA A CLASES TEÓRICAS EN EL RENDIMIENTO ACADÉMICO DE LOS ALUMNOS DE BIOFÍSICA DE LA FOUNT

Pérez LI*, Molina PE Catalán PE, Rodríguez N, Juárez TA, Córdoba JE, Merletti SM, Alderete MS

I17 ANÁLISIS COMPARATIVO DE RESPUESTAS INCORRECTAS EN EXÁMENES FINALES Y ACREDITACIÓN DE FARMACOLOGÍA

Jotko C*, Butler T, Gagliardi R, Gimenez G, Iantosca A, Polvora B, Cattaneo M, Serrano V, Mele S, Degaetano S, Pertino MR, Solari E

I18 EL MIEDO EN RELACIÓN A LA ODONTOLOGÍA. USO DE LA SUB ESCALA DEL MIEDO DENTAL (CFSS-DS)

Manterola ER*, Agasi R, Barthe D, Corrarelo A, Finlandino G, Marckievicz J, Rocha C, Morales M, Manterola M

I19 LA ADQUISICIÓN DE COMPETENCIAS EN LA CONCEPCIÓN DE APRENDIZAJE DEL POSTGRADO

Campos-Sánchez A, Rodríguez IA*, Sola M, Sánchez-Quevedo MC, Bregains L, Campos F, Rodriguez MA, Alaminos M

I20 EVALUACIÓN DE LOS RECURSOS PARA LAS MICROLECCIONES. LA PERSPECTIVA DE LOS ESTUDIANTES

Campos-Sánchez A, Rodriguez MA, Campos F, Grunberg K, Alaminos M, Ferraris ME, Rodriguez IA*

I21 CONSTRUCCIÓN DE COMPETENCIAS BIOÉTICAS DURANTE LA EDUCACIÓN ODONTOLÓGICA

Miguel R, Sapienza M*, Zemel M, Cocco L, Pólvora B, Iantosca A, Di Girolamo Pinto G

I22 APLICACIÓN DE RECURSOS VIRTUALES EN LA CONFECCIÓN DE UN INFORME DE LABORATORIO EN BIOFÍSICA DE LA FOUNT

Nieman N, Pérez L*, Catalán P, Merletti S, Alderete S, Juárez T, Córdoba J, Singh F, Molina P

I23 REPRESENTACIONES CONSTRUIDAS POR ESCOLARES SOBRE IMPLEMENTACION DEL KIOSCO SALUDABLE EN LA ESCUELA

Moncunill I*, Gigena P, Agüero N, Bella M

SESIONES ESPECIALES PARA OPTAR A PREMIOS Y SUBSIDIOS

VIERNES 14 DE NOVIEMBRE DE 17 A 20.30 Hs

SALÓN PERSEO

Encargado de sala: Silvana Ferrarini

PREMIOS COLGATE PALMOLIVE

- **Ciencias Básicas**

17.00 hs

BACTERIAS FILTRABLES COMO MATRIZ DE BIOFILM. TEORIA GENERAL DEL BIOFILM COMO CONGLOMERADO COLOIDAL

AUTORES: Palacios NP*, Turcot LG, Bernat MI, Vilotta SM, Dominguez SA, Bozano P, Rosmino MF, Gliosca LA, Molgatini S, Somaglia L

17.20 hs

TRATAMIENTO CRONICO CON ALTAS DOSIS DE ZOLENDRONATO Y SU EFECTO SOBRE EL METABOLISMO ÓSEO EN OVEJAS OVARIECTOMIZADAS: MODELO EXPERIMENTAL DE OSTEONECROSIS MAXIMAR ASOCIADA AL USO DE AMINOBISFOSFONATOS (ONMBPs)

AUTORES: Davison MR*, Lyardet L, Rufolo C, Preliasco M, Yaful G, Torres P, Pellegrini GG, Zeni SN

- **Ciencias Clínicas**

18.00 hs

INCIDENCIA DE CARIES EN DENTICION PERMANENTE DE ESCOLARES DE UNA COMUNIDAD RURAL

AUTORES: Capuano C*, Masoli C, Fernandez C, Lazzati MR, Pepe MB, Torres M, Salgado P, Squassi A

18.20 hs

HIPERTENSIÓN ARTERIAL: IMPACTO DEL ODONTOLÓGO EN SU DIAGNÓSTICO Y TRATAMIENTO

AUTORES: González NN*, Saiegh J, Lewin PG, Stolbizer F, Lenarduzzi A, Rubio MC, Rodríguez P, Nicolosi LN

18.40 hs

ANÁLISIS DE TRASTORNOS TÉMPOROMANDIBULARES (TTM) EN NIÑOS DE 10 A 15 AÑOS

AUTORES: Guitelman I*, Farah C, Fridman D, Mondello A, Biondi A, Cortese S

- **Estudiantes**

19.20 hs

MATERIALES DE TERCERA GENERACIÓN EN ALVÉOLOS POSTEXTRACCIÓN CON LESION RADIOGRAFICAMENTE VISIBLE. (ESTUDIO PRELIMINAR)

AUTORES: Basovich GJ*, Adá GA, Giorgio AO, Lama MA, Maresca BM

19.40 VALIDACIÓN DE RECURSOS HUMANOS PREPROFESIONALES PARA LA DETECCIÓN DE BIOFILM EN ESCOLARES

AUTORES: Toledo M*, Racedo J, Farias M, Mariño G, Laszuk T, Algarin S, Salgado P, Squassi A, Klemonskis G, Cohen S

SALÓN EGEO

Encargado de sala: Juan Torrelio

PREMIO SUZEL M. SCOZZARRO

17.00 hs

RELACIÓN DE LA ENFERMEDAD PERIODONTAL CON PARÁMETROS DE RIGIDEZ ARTERIAL

AUTORES: Rubio MC*, Lewin PG, Rudzinski JJ, Pompeo M, Guanca F, Rodríguez P, Nicolosi LN

PREMIO SALUD BUCAL

17.40 hs

ESTADO DENTAL Y PRIORIZACION DE PROBLEMAS EN POBLACIÓN INFANTIL DE RIESGOSOCIAL

AUTORES: Fernandez CN*, Arias SC, Calatayud L, Dolonguevich E, Martín M, Nafissi C, Salinas D, Ruggeri S

18.00 hs

COMPARACION DE DENSIDAD MINERAL APLICANDO FOSFOPÉPTIDO-FOSFATO DE CALCIO AMORFO EN HIPOMINERALIZACION MOLAR INCISIVA

AUTORES: Fridman D*, Cortese S, Biondi AM

18.20 hs

DETERMINANTES DE RIESGO CARIOGÉNICO EN INFANTES: ANALISIS DE VARIABLES DISTALES Y PROXIMALES

AUTORES: Pacheco R*, Cornejo C, Culacciatti C, Rossi G, Lazzati R, Ventura F, Toledo M, Gliosca L, Klemonskis G, Squassi A

18.40 hs

**ALTERACIONES POSTURALES COMO FACTOR DE RIESGO PARA TRASTORNOS
TÉMPOROMANDIBULARES (TTM) EN NIÑOS**

AUTORES: Mondello A*, Galarza R, Fridman D, Biondi A, Cortese S

SUBSIDIO ALBERTO COTTA RAMUSINO

19.20 hs

**PROYECTO: “RELACIÓN ENTRE MOLÉCULAS INFLAMATORIAS PRESENTES EN EL
LÍQUIDO CREVICULAR DE PACIENTES CON ENFERMEDAD PERIODONTAL Y ARTRITIS
REUMATOIDEA Y SU VINCULACIÓN CON LA MEDICACIÓN”**

AUTORES: Ferrary T*, Orman B

19.40 hs

**PROYECTO: “TRATAMIENTO QUÍMICO DE LA CARIES DENTAL MEDIANTE UN SISTEMA
DE LIBERACIÓN DE ENZIMAS PROTEOLÍTICAS”**

AUTORES: Ventura F*, Barsanti A, D'Eramo L, Santos J, Mendez C, Mandalunis P, Squassi A

SALÓN ORION

Encargado de sala: Daniel Di Croce

PREMIO RODOLFO ERAUSQUIN

17.00 hs

**TÉCNICA DE SEDACIÓN CONSCIENTE CON MIDAZOLAM VÍA ORAL PARA
TRATAMIENTO ODONTOLÓGICO EN PACIENTES ADULTOS CON SÍNDROME DE DOWN**

Binicki R*, Alvarez M, Armada M, Calvano C, Echaide M, Martínez D, Monod S, Bianchi L,
Ferrary T, Orman B

17.20 hs

**IMPACTO DEL ESTADO DE SALUD BUCODENTAL SOBRE LA VIDA DIARIA DE
ESCOLARES**

Sorazabal AL*, De Cesare A, Ferello A, Tomaszuc R, Rossi G, Squassi A

17.40 hs

**EFFECTO DEL CONSUMO DE UNA MEZCLA GOS/FOS® SOBRE EL CRECIMIENTO DE
TIBIA Y MANDÍBULA DURANTE LA RECUPERACIÓN NUTRICIONAL**

Gonzales Chaves M*; Bryk G; Rufolo C; Zeni Coronel M; Mandalunis P; Pita Martín de Portela
ML; Zeni SN

18.00 hs

ESTADO PERIODONTAL DE EMBARAZADAS EN EL AÑO 2001 Y 2013

Calafell C*, Moreno de Calafell M

18.20 hs

MITOS Y REALIDADES: LA ANSIEDAD EN LA ATENCIÓN ODONTOLÓGICA

Saiegh J*, Lewin PG, Stolbizer F, Lenarduzzi A, Rodríguez P Rubio MC, Nicolosi LN

PREMIO OMAR TUMILASCI

19.00 hs

ACTIVIDAD FUNCIONAL Y ANTIOXIDANTE DE GLÁNDULA SUBMANDIBULAR (GSM) DE RATAS TRATADAS CON CICLOFOSFAMIDA (CF)

Mazzeo MA*, López MM, Bachmeier E, Linares JA, Wietz FM, Dubersarsky C, Finkelberg AB

19.20 hs

SISTEMAS DE INFORMACION GEOGRAFICA DE LESIONES ORALES EN LA CIUDAD DE CÓRDOBA

Nieto A*, Brunotto M, Lazos J, Zarate AM

19.40 hs

ANÁLISIS MORFOMÉTRICO Y BIOMECÁNICO DEL HUESO MANDIBULAR EN DISTINTAS CONDICIONES DE HIPOXIA

Terrizzi AR*, Lee CM, Fernandez Solari J, Bozzini C, Conti MI, Martínez MP

20.00 hs

ESTIMULACIÓN ADRENÉRGICA DE LA SECRECIÓN DE NANOVESÍCULAS CON ACTIVIDAD NUCLEOTIDÁSICA EN GLÁNDULA SUBMANDIBULAR DE RATA

Balcarcel NB*, Barbieri van Haaster MM, Ostuni MA, González DA

FOYER ORION

Encargado de sala: Guadalupe Masson Moline

PREMIO MARIA LUISA RINS de DAVID

17.00 hs

EFFECTO DE MELATONINA SOBRE LA ERUPCIÓN DENTARIA EN RATAS PRENATALMENTE ESTRESADAS

Fontanetti PA*, Mandalunis PM, Vermouth NT

17.20 hs

EFFECTO DE LA INYECCIÓN DE PARATHORMONA RECOMBINANTE HUMANA (TERIPARATIDE) SOBRE LA PERIODONTITIS EXPERIMENTAL. ESTUDIO PRELIMINAR

Gonzales Chaves M*, Rufolo C, Friedman S, Mandalunis P, Zeni SN

PREMIO ACADEMIA NACIONAL DE ODONTOLOGIA

18.00 hs

**APRENDIZAJES PREVISTOS Y NO PREVISTOS EN LA ASIGNATURA ARTICULACIÓN
DOCENCIA-SERVICIOS DE SALUD**

Probe C, Pedemonte Z*

SUBSIDIO RODOLFO ERAUSQUIN

18.40 hs

**PROYECTO: “TRANSMISIBILIDAD DE STREPTOCOCCUS GRUPO MUTANS Y
COLONIZACIÓN TEMPRANA EN INFANTES PERTENECIENTES A POBLACIONES
URBANAS CON VULNERABILIDAD SOCIAL A PARTIR DE LOS 6 MESES DE EDAD”**

Cornejo C*, Squassi A, Klemonskis G, Gliosca L, Soken L, Stoppani N, Molgatini S

REUNIONES Y CONFERENCIAS DE GRUPOS DE INVESTIGACION

GRUPO ORTODONCIA

Jueves 13 de noviembre de 14.30 a 15.00 hs – FOYER ORION

GRUPO MATERIALES DENTALES

Jueves 13 de noviembre de 15.15 a 15.45 hs – FOYER ORION

GRUPO PERIODONCIA E IMPLANTES

Jueves 13 de noviembre de 16.00 a 16.30 hs – FOYER ORION

Conferencia:

“Protagonistas de la Respuesta Inmune Periodontal”

Dra. A. Matejic – Jueves 13 de noviembre de 16.30 a 17.00 hs – FOYER ORION

GRUPO CARIOLOGIA – SALUD PUBLICA

Jueves 13 de noviembre de 16.45 a 17.15 hs – SALON ORION

Conferencia conjunta con el Grupo Educación:

“Cariología y curriculum de grado: estado actual del conocimiento y tendencias futuras”

Dra. Noemí Bordoni – Viernes 14 de noviembre de 8.00 a 9.30 hs – FOYER ORION

GRUPO EDUCACIÓN

Jueves 13 de noviembre de 18.30 a 19.00 hs – FOYER ORION

GRUPO MEDICINA ORAL Y PATOLOGIA

Viernes 14 de noviembre de 11.15 a 11.45 hs – FOYER ORION

CURSOS – MESAS REDONDAS – CONFERENCIAS

JUEVES 13 DE NOVIEMBRE DE 17.30 a 18.30 hs

SALÓN PERSEO

“INNOVACIONES EN EL TRATAMIENTO RESTAURADOR ATRAUMÁTICO (TRA)”

María Fiela de Lima Navarro (Brasil)

VIERNES 14 DE NOVIEMBRE DE 14.30 a 16.30 hs

SALÓN PERSEO

“LIQUEN PLANO ORAL, EL CÁNCER Y EL VIRUS DEL PAPILOMA HUMANO”

Ambrosio Bermejo Fenoll (España)

SABADO 15 DE NOVIEMBRE DE 16.00 a 18.00 hs

SALÓN DAFNE

MESA REDONDA “ESTADO ACTUAL Y LINEAS DE INVESTIGACION DE LA OSTEONECROSIS DE MAXILAR ASOCIADO A BIFOSFONATOS”

Presidente: Rómulo L. Cabrini

Secretario: Daniel Brandizzi

Panelistas:

- **Patricia Mandalunis** - “Bifosfonatos en patología ósea experimental”
- **Josefina Pozzo** - “Bifosfonatos en pacientes osteopénicos/osteoporosis”
- **Luciano Piazzoni** - “Bifosfonatos en pacientes oncológicos”
- **Eduardo Santini Araujo** - “Histopatología de la osteonecrosis de maxilar”
- **Silvia López de Blanc** - “Criterios internacionales para el manejo odontológico de pacientes bajo tratamiento con bifosfonatos. Experiencia en el Servicio de Estomatología de la UNC”
- **Daniel Brandizzi** - “Criterios para el diagnóstico de la osteonecrosis de maxilar”

A01

NO SE PRESENTA

A02

EXPRESIÓN INMUNOHISTOQUÍMICA DE ATM (ATAXIA TELANGIECTASIA MUTADO) EN EL LÍQUEN PLANO Y EN LA LEUCOPLASIA

Gandolfo M*, Pérez MA, Lanfranchi Tizeira HE, Paparella ML, Itoiz ME
Facultad de Odontología - UBA

El gen ATM es un supresor de tumor que codifica una proteína de la familia fosfatidil inositol 3-quinasa la cual participa en la reparación del ADN y en el control del ciclo celular. La pérdida de función homocigótica da lugar a la rara enfermedad conocida como ataxia-telangiectasia. Se ha demostrado la inactivación de la proteína ATM en diversas neoplasias malignas incluyendo tumores de cabeza y cuello. La disminución de la expresión se ha correlacionado con el pronóstico y la evolución. Por el contrario, en lesiones premalignas cutáneas y esofágicas y en leucoplasias bucales se ha demostrado un incremento de expresión, y en la mucosa bucal normal se ha detectado moderada reactividad en las células basales. **OBJETIVO:** Evaluar la expresión inmunohistoquímica en biopsias de leucoplasia y líquen plano bucal (LPB). **MÉTODO:** Se analizaron 35 especímenes de biopsias remitidas al Laboratorio de Patología Quirúrgica, 13 casos con diagnóstico de leucoplasia, 4 de ellas con displasia moderada y 9 con hiperplasia e hiperqueratosis, 12 casos de LPB y 10 especímenes de mucosa bucal normal obtenidas durante cirugías de lesiones profundas. Se realizó la detección inmunohistoquímica utilizando un anticuerpo policlonal generado en conejo contra aminoácidos de ATM humana (H-300, Santa Cruz Biotechnology Inc.) y posterior detección con sistema multilink (Biogenex). **RESULTADOS:** Las mucosas normales mostraron reacción nuclear moderada o débil en estrato basal. En el LPB la reacción es irregular, discontinua en la capa basal y de menor intensidad que la observada en mucosas normales. En las leucoplasias la reacción es continua e intensa en las capas basal y parabasal. No se observaron diferencias de reacción en relación a la presencia de displasia. **CONCLUSIÓN:** La expresión de ATM es otra evidencia más de las diferencias en el comportamiento biológico de líquenes y leucoplasias. La falta de correlación entre la expresión de ATM y la presencia de displasia es controversial con respecto a un único dato encontrado en la literatura, hecho que debería aclararse analizando muestras más extensas. Subsidio UBACyT 20020100100841

A03

EFFECTOS TEMPRANOS DEL CROMO HEXAVALENTE EN LA ERUPCIÓN DENTARIA

Sánchez LM*, Ubios AM
Cátedra de Histología y Embriología, FOUBA

La exposición a cromo hexavalente (Cr VI) puede afectar a los niños por vía de la leche materna y a través de la preparación de mamaderas. Estudios morfométricos macroscópicos demostraron que la exposición a dicromato potásico retrasa la erupción dentaria y el crecimiento mandibular. Nuestros posteriores estudios histomorfométricos mostraron menor actividad ósea y formación del ligamento periodontal a los 15 y 23 días de edad en los animales expuestos. **Objetivo:** Determinar las manifestaciones iniciales del efecto del Cr VI en las estructuras relacionadas con la erupción dentaria en el periodo intraóseo. **Metodología:** Se emplearon 16 ratas Wistar de 4 días de edad que recibieron diariamente por sonda: Grupo Experimental (E), una solución de dicromato potásico de 12.5 mg/kg de peso, Grupo Control (C), un volumen equivalente de solución fisiológica. Al día 9, se practicó la eutanasia de todos los animales y se extrajeron las mandíbulas que fueron fijadas y descalcificadas. Los hemimaxilares fueron procesados según la técnica histológica de rutina y las técnicas histoquímicas de TRAP y ALP. Se obtuvieron cortes bucolinguales orientados a nivel del 1° molar inferior. Mediante el Image Pro Plus 4.5 se midieron: grado de erupción dentaria (ED), volumen óseo (VO), ancho periodontal, actividad ósea y superficies cubiertas por osteoclastos (OC TRAP+) y cubiertas por osteoblastos (OB ALP+) en tablas vestibular (TV) y lingual (TL) y en el fondo del alvéolo (F). Los datos fueron analizados con el Test *t* de Student, considerando una $p < 0.05$ como estadísticamente significativa. **Resultados:** ED: C: -2,44mm±0,13; E: -2,79mm±0,06; Ancho periodontal: TV: C: 151,55µm±26,28; E: 80,68µm±10,24 TL: C: 188,17µm±17,26; E: 118,76µm±19,42. VO: C: 30,1%±1,67; E: 21,94%±1,78. Superficies cubiertas por OC TRAP+: TV: C: 50,81%±2,68; E: 36,98%±3,21. F: C: 50,28%±4,55; E: 31,46%±5,52. TL: C: 69,66%±5,81; E: 29,58%±5,81. Superficies cubiertas por OB ALP+: TV: C: 65,55%±2,91; E: 29,07%±2,31. F: C: 44,27%±1,77; E: 26,34%±2,25. TL: C: 60,97%±2,91; E: 30,71%±2,89. **Conclusión:** El efecto del Cr VI se manifiesta muy tempranamente retrasando la erupción dentaria, relacionada con menor formación de los tejidos en desarrollo y menor actividad ósea en el alvéolo en formación. Subsidio UBACyT 2011-2014 20020100100196

A04

CAPTURA NEUTRÓNICA EN BORO-SECUENCIAL: EFECTO TERAPÉUTICO EN UN MODELO DE PRECANCER BUCAL

Monti Hughes A*1, Pozzi ECC1, Thorp S1, Curotto P1, Garabalino MA1, Heber EM1, Farías R1, Gonzalez S1,2, Itoiz ME1,3, Aromando RF3, Nigg DW4, Trivillin VA1,2, Schwint AE1,2 1Comisión Nacional de Energía Atómica (CNEA), Argentina; 2Consejo Nacional de Ciencia y Tecnología (CONICET), Argentina; 3Facultad de Odontología, UBA, Argentina, 4Idaho National Laboratory, USA

Introducción y objetivo: En búsqueda de terapias más efectivas y selectivas para el cáncer de cabeza y cuello, demostramos el éxito terapéutico de la Terapia por Captura Neutrónica en Boro (BNCT) para tratar tumores en el modelo de cáncer bucal en hámster. Se logró aumentar la dosis a tumor sin aumentar la toxicidad mediante el BNCT-Secuencial [Sec-BNCT: BNCT mediado por el compuesto borado BPA (BPA-BNCT) seguido, a las 24hs, por GB-10-BNCT]. Dado que el desarrollo tumoral en el tejido con cancerización de campo que rodea al tumor tratado es causa frecuente del fracaso terapéutico y que la mucositis en este tejido limita la dosis que se puede administrar al tumor, el objetivo del presente trabajo fue estudiar el efecto terapéutico del Sec-BNCT y la mucositis asociada en nuestro modelo de precancer bucal en hámster. **Materiales y métodos:** Bolsas de hamsters cancerizadas con DMBA fueron expuestas a: 1) Sec-BNCT: 9 Gy dosis total; ó 2) Haz solo-Secuencial. Estos grupos fueron comparados con nuestros estudios previos en el mismo modelo con «Single»(GB-10+BPA)-BNCT (SBNCT) (8 Gy), y «Doble»(GB-10+BPA)-BNCT (DBNCT), 4 semanas entre irradiaciones (10 Gy dosis total). Los animales se irradiaron en el RA-3 y se siguieron durante 3 meses. Se evaluó el desarrollo tumoral y la mucositis en los grupos experimentales y en el grupo control (animales cancerizados sin tratar). **Resultados:** Habiendo demostrado que SBNCT induce mucositis severa en el 100% de los animales, se observa una tendencia a la reducción de la mucositis severa por el Sec-BNCT (57%), similar a lo observado previamente en el grupo DBNCT (33%). Además, Sec-BNCT y DBNCT mostraron menores porcentajes de animales con tumores nuevos (29% y 33% respectivamente) versus Haz solo-Secuencial (80%), DHaz solo (83%) y Control (79%). **Conclusión:** Sec-BNCT resultó terapéuticamente efectivo en el modelo de tejido con cancerización de campo, reduciendo la incidencia de mucositis severa. Sec-BNCT podría entregar dosis altas terapéuticamente efectivas a tumores más chicos con solo 24hs entre irradiaciones en pacientes con necesidad de tratamiento abreviado. DBNCT reduciría los tumores grandes en una primera aplicación mejorando la distribución de dosis en tumor para la segunda aplicación.

A05

NO SE PRESENTA

A06

EXPRESIÓN DE CICLINA D1 Y PCNA EN LA CARCINOGENESIS QUÍMICA DE LA LENGUA MURINA CON O SIN DELECCIÓN DE KLF4

Paparella ML.; Cozzarin ME.; Bal de Kier Joffe E; Raimondi AR*
Cátedra de Anatomía Patológica FOUBA, Área de Investigación Instituto Roffo

Introducción: El carcinoma de células escamosas bucal (CCEB) representa más del 95% de los cánceres de la cavidad bucal, siendo uno de los tipos de cáncer más frecuente. Como la mayoría de los cánceres, el CCEB se desarrolla por la acumulación de alteraciones genéticas y epigenéticas progresivas. Previamente hemos descrito la línea K14-CreERTAM /Klf4 flox/flox (ratones Klf4 KO) que desarrolla lesiones displásicas epiteliales en lengua (Abrigo et al, 2014). Luego los ratones KO fueron sometidos a un protocolo de carcinogénesis por 24 semanas, con 4-nitroquinoline-1 óxido (4NQO), carcinógeno subrogante de la exposición al tabaco, para la puesta a punto del sistema. **Objetivo:** analizar si la ausencia del factor de transcripción Klf4 coopera en la carcinogénesis bucal para lo cual combinamos un modelo transgénico bucal, para delectar Klf4, y un modelo de carcinogénesis química caracterizando marcadores de proliferación y diferenciación celular.

Materiales y métodos: Se utilizaron los siguientes grupos de animales: 1-K14-CreERTAM / Klf4 flox/flox (KO), 2- KO + 4NQO; 3- Wild Type + 4NQO, 4- Wild Type (WT). Se analizó en la mucosa de la lengua la expresión inmunohistoquímica de: ciclina D1, PCNA y de citoqueratina 1 (CK1) por inmunofluorescencia (IF). **Resultados:** No se observó expresión para ciclina D1 en el epitelio de las lenguas WT. En el grupo KO el 80% de los casos presentó marcación nuclear, principalmente en el estrato basal. En los grupos restantes el 100% de los casos mostró intensa expresión en CIS y carcinomas infiltrantes en todo el parénquima tumoral. En cuanto a PCNA, el grupo WT presentó marcación basal y el KO reveló marcación basal y suprabasal ($p < 0,05$). Los grupos 2 y 3 presentaron un patrón similar al de ciclina D1. La IF para CK1 mostró positividad en células suprabasales epiteliales del grupo WT; el grupo 3 mostró aumento de la marcación de CK1 a nivel suprabasal, mientras que los grupos 1 y 2 no expresaron CK1. **Conclusiones:** La expresión de ciclina D1, normalmente regulada por Klf4 en forma negativa, en las lesiones potencialmente malignas de los ratones KO podría revelar efectos tempranos de la ausencia de Klf4 en la carcinogénesis bucal. Estos resultados presentan a Klf4 como un posible gen supresor de tumor para el epitelio de la lengua.

A07

EXPRESIÓN DE NHERF1 EN CARCINOMAS ESCAMOSOS DE CAVIDAD BUCAL

Brandizzi D1-3, *Giacco CA2, Demacopulo B4, Gandolfo M1, Acosta Haab G2, Vornetti S2, Cabrini RL1 Kreimann EL5

1 División Patología del Dpto. de Radiobiología de la Comisión Nacional de Energía Atómica (CNEA); 2 Servicio de Anatomía Patológica del Hospital Municipal de Oncología Maria Curié 3 Módulo Ciencias de la Salud Integrada 2 – Medicina Bucal, de la Un

NHERF1 es una proteína adaptadora, que estabiliza complejos macromoleculares en la membrana apical de las células epiteliales en tejidos polarizados. También interactúa con moléculas implicadas en el crecimiento celular y la progresión del cáncer. Su expresión parece jugar un papel importante en la carcinogénesis y la progresión del cáncer y podría ser un nuevo biomarcador de tumores malignos avanzados. Al presente no existen registros sobre el estudio de la expresión de NHERF1 en el cáncer bucal y su potencial role en la carcinogénesis oral. **Objetivo:** En este trabajo presentamos resultados preliminares de la expresión de NHERF1 en carcinomas bucales humanos. **Materiales y Métodos:** Se estudiaron carcinomas de células escamosas de localización bucal (CCEB) obtenidas de tacos de parafina del archivo del archivo de Anatomía Patológica. La identidad del paciente fue preservada siguiendo las reglamentaciones éticas, legales y jurídicas establecidas en las normas bioéticas nacionales-Disposición ANMAT 5330/97 e internacionales como la Declaración de Helsinki.

Resultados: Se estudiaron 6 casos con diagnóstico histológico CCEB. Todas las muestras estudiadas presentaron diferentes niveles de expresión de la proteína NHERF1 en la zona tumoral. Se observó una reacción difusa a nivel citoplasmática que contrastó con la reacción en el borde no tumoral contenidos en material biopsico del carcinomas (modelo de cancerización de campo), la cual mostró una alta intensidad de inmunomarcación (sobreexpresión NHERF1). La reacción de NHERF1 fue positiva en otros tejidos normales como células de glándulas salivales menores. Algunas células del infiltrado inflamatorio en relación al tumor mostraron bajos niveles de expresión de la proteína.

Conclusiones: Hemos presentado resultados preliminares sobre el estudio de la proteína NHERF1 en carcinomas de células escamosas bucales. Los datos obtenidos evidencian expresión en células tumorales y bordes tumoral. La baja expresión de NHERF1 en las células tumorales permitiría plantear un potencial rol como supresor tumoral en el cáncer bucal. Sin embargo, para corroborar dicha hipótesis el estudio debería extenderse en un mayor número de muestras incluyendo tejido normal y precanceroso.

Subsidios: PI UNRN 40-A-316.

A08

EXPRESIÓN INMUNOHISTOQUÍMICA DE CD68 Y CD1A EN LIQUEN PLANO Y LEUCOPLASIA BUCALES

Masquijo Bisio PA*, Gandolfo MS, Lanfranchi HE, Itoiz ME, Paparella ML
Cátedras de Anatomía Patológica y Clínica Estomatológica. Facultad de Odontología. UBA.

Existe consenso sobre el compromiso autoinmunológico en el desarrollo del liquen plano bucal (LPB), si bien su etiopatogenia no está aun totalmente aclarada. Entre las diferentes formas clínicas de la enfermedad, el LPB en placa es el que presenta mayores dificultades en su diagnóstico diferencial con la leucoplasia bucal (LB). La distribución de las células inmunocompetentes en estas lesiones puede contribuir al conocimiento de las diferencias entre ambas entidades.

OBJETIVO: Evaluar la distribución de macrófagos y células de Langerhans en LPB y LB mediante la expresión inmunohistoquímica de CD68 y CD1a.

MATERIALES Y MÉTODOS: Se estudiaron 10 casos de LPB en placa en comparación con 10 casos de LPB reticulares (la forma más común y menos controversial de LPB) y 10 casos de LB homogéneas, procedentes del archivo del Laboratorio de Patología Quirúrgica, FOUBA. Las determinaciones se realizaron utilizando anticuerpos monoclonales comerciales. Se realizó una evaluación semicuantitativa de las células marcadas en el epitelio y tejido conectivo.

RESULTADOS: La cantidad de células marcadas con ambos anticuerpos fue mayor en los LPB que en las LB. El hallazgo más relevante fue que el LPB presentó células CD68+ intraepiteliales además de las marcadas en el tejido conectivo, mientras que en las LB solo se observó positividad en el conectivo. En el LPB, las células CD1a+ se observaron en el epitelio y conectivo. En la LB la positividad mostró solo localización intraepitelial. No se encontraron diferencias entre los LPB reticulares y en placa.

CONCLUSIÓN: Las diferencias en cantidad y localización de las células de estirpe monocítica entre LB y LPB evidencian el diferente comportamiento inmunológico en ambas entidades y contribuyen al diagnóstico diferencial entre las lesiones que pueden manifestarse con cuadros clínicos similares.

A09

PRESENCIA DE LINFOCITOS CD45RO+ Y BIOFILM EXTRARRADICULAR EN GRANULOMAS APICALES PERSISTENTES ASOCIADOS A CONDUCTOS FRACASADOS

Aromando RF1*, Giménez del arco ML2, García Puente C2, Paparella ML1, Itoiz ME1
Cát. de Anatomía Patológica, Facultad de Odontología, UBA y Carrera de Especialización en Endodoncia, Facultad de Odontología, Universidad Maimónides

INTRODUCCIÓN: El fracaso del tratamiento endodóntico se caracteriza por la presencia de procesos apicales que corresponden generalmente a granulomas apicales inespecíficos. La lesión apical persistente puede deberse a infección intrarradicular, reinfección por filtración de restauraciones coronarias o presencia de infección extrarradicular (Nair PNR, 2005). Conductos radiculares bien preparados y obturados resisten la invasión bacteriana coronaria (Ricucci D, 2003). Determinar las causas del fracaso endodóntico permite establecer el tratamiento correcto de la patología, mediante retratamiento endodóntico o cirugía apical (Siqueira JF, 2014). El granuloma apical es una respuesta inmune mediada por distintas poblaciones de linfocitos T tendiente a evitar la diseminación microbiana. **OBJETIVO:** analizar la persistencia de biofilm extrarradicular y la expresión de linfocitos T en procesos apicales asociados a conductos con tratamientos endodónticos fracasados. **MÉTODOS:** se analizaron 17 granulomas apicales: grupo 1: 7 granulomas asociados a piezas extirpadas sin tratamiento endodóntico y sin posibilidad de restauración coronaria (obtenidas mediante extracción dental) y grupo 2: 10 granulomas asociados a piezas con tratamientos endodónticos fracasados con restauraciones coronarias no filtradas y sin indicación de recambio protético (extirpadas por microcirugía apical). Las muestras fueron fijadas en formol 10% y procesadas. Se realizaron cortes adyacentes para coloraciones de H&E para realizar el diagnóstico anatomopatológico, PAS para la determinación de microorganismos en el granuloma apical (biofilm extrarradicular) y para la determinación inmunohistoquímica de linfocitos T CD45RO(+). **RESULTADOS:** el 100% de los granulomas del grupo 1 presentó biofilm extrarradicular y el 71% mostró marcación positiva para linfocitos T. el 60% de los granulomas del grupo 2 mostró presencia de biofilm extrarradicular. Los granulomas del grupo 2 mostraron presencia de linfocitos T en un 50% de los casos. **CONCLUSIÓN:** la persistencia de biofilm extrarradicular, imposible de eliminar con el retratamiento endodóntico y la presencia de linfocitos T CD45RO(+) explicarían la persistencia de granulomas apicales refractarios al tratamiento endodóntico analizados en el presente trabajo.

A10

ESTUDIO DEL PERFIL INMUNOHISTOQUÍMICO DE METÁSTASIS BUCALES EN PACIENTES CON ANTECEDENTES ONCOLÓGICOS

Villalba L*, Cabrini RL, Keszler A
Cátedra de Anatomía Patológica. Facultad de Odontología. UBA

Introducción: Las metástasis representan entre el 1-3 % de las lesiones tumorales bucales. Clínicamente pueden simular otros tipos de patologías, incluyendo algunas de naturaleza no neoplásica, dificultando su correcto diagnóstico presuntivo. En el 25% de los casos representan la primera manifestación de diseminación metastásica.

Objetivo: Evaluar una serie de casos de metástasis bucales en pacientes con antecedentes de tumores primitivos a distancia y determinar el inmunofenotipo con el fin de corroborar su origen.

Materiales y métodos: Se evaluaron 25 casos seleccionados de los archivos del LPQ, Cátedra de Anatomía Patológica, FOUBA. Se analizaron los datos clínicos de sexo, edad, localización y diagnóstico clínico presuntivo obtenidos de los protocolos de biopsia. En 17 de ellos, cuyos tacos de archivo tenían material suficiente, se realizaron técnicas inmunohistoquímicas (peroxidasa avidina-biotina y diaminobencidina) y coloración H, con controles positivos. El panel inicial de anticuerpos utilizados fue: anti CK AE1/AE3, CK7, CK20 y Vim. Según los resultados obtenidos se adicionó R E, TTF1 y PSA.

Resultados: De los 25 casos estudiados 13 fueron varones (52%) y 12 mujeres (48%) con edad media de 62,9 y 60 años respectivamente. La distribución de las lesiones según su localización fue similar en ambos géneros prevaleciendo la intraósea mandibular (V: 76.5%, M: 75%). La ubicación en mucosa fue poco frecuente (V: 7.7%, M: 8.4%). Los diagnósticos clínicos presuntivos fueron: metástasis, 52%, neoplasias malignas no metastásicas, 20%, y lesiones inflamatorias, 20%. El 8% restante no poseía diagnóstico clínico presuntivo. En 13 de los 16 casos en los que se realizaron las técnicas de IHQ confirmó el diagnóstico histomorfológico inicial de compatibilidad con lesión metastásica corroborándose su origen (81,25%). En los 3 casos restantes (18,75%) con el panel de anticuerpos utilizados no se pudo concluir el diagnóstico, siendo necesario adicionar otros marcadores para su definición.

Conclusiones: La utilización de un panel de anticuerpos permitió, en la mayoría de los casos, corroborar el origen del tumor metastásico concordando con los antecedentes del paciente.

A11

MITOS Y REALIDADES: LA ANSIEDAD EN LA ATENCIÓN ODONTOLÓGICA

Saiegh J*, Lewin PG, Stolbizer F, Lenarduzzi A, Rodríguez P Rubio MC, Nicolosi LN
Cátedra de Patología y Clínica Bucodental - CLAPAR II, Servicio de Urgencias –
Guardia y Cátedra de Endodoncia. FOUBA. Hospital Odontológico Universitario

La ansiedad frente al tratamiento odontológico puede predisponer a patrones conductuales tendientes a evitar la consulta odontológica pudiendo repercutir negativamente en la salud bucal. **OBJETIVO:** determinar si existen diferencias en los índices gingivoperiodontales y CPOD de pacientes con ansiedad odontológica. **MATERIALES Y MÉTODOS:** estudio prospectivo observacional efectuado en pacientes (P) que concurren al Servicio de Guardia y CLAPAR II de FOUBA. Todos dieron el consentimiento para su participación. Se analizaron variables demográficas, factores de riesgo y patologías concomitantes. Se determinó el índice CPOD y gingivo-periodontales. Se les cuantificó: presión arterial (PA) y frecuencia cardíaca (FC). El nivel de ansiedad se evaluó mediante la Escala de Ansiedad Dental Modificada de Corah (EADM), tomando 15 como valor de corte para ansiedad. El dolor se valoró con la escala lineal analógica de dolor. **ESTADÍSTICA:** se utilizó con el paquete estadístico SPSS 20: ANOVA y coeficiente de correlación de Pearson. Con $p < 0.05$ e intervalos de confianza del 95%. **RESULTADOS** se evaluaron 348 pacientes, se les determinó la EADM, ingresaron 149. Factores de riesgo: HTA 37(25.5%), diabéticos 15(10.3%), tabaquistas 26(17.9%). Divididos en dos grupos: A: ansioso (43), B: no ansioso (106). Fueron respectivamente: mujeres 30 (71%) vs 73 (69%), edad 42.76 ± 15.24 vs 40.12 ± 15.37 años ($p=NS$); C: 4.36 ± 4.82 vs 2.55 ± 2.56 $p=0.002$ (IC95% 1.02-2.97); P: 10.75 ± 4.82 vs 3.33 ± 4.25 $p=0.0000$ (IC 95% 5.57-8.42); O: 4.04 ± 4.60 vs 3.55 ± 3.12 , $p=0.0000$ (IC95% -1.18-1.18); CPOD 19.70 ± 6.37 vs 9.86 ± 4.71 $p=0.0000$ (IC 95% 8.07-11.92); PS 2.04 ± 1.02 vs 2.38 ± 0.72 $p=0.056$; NIC 2.44 ± 1.98 vs 1.79 ± 1.78 $p=0.0000$ (IC95% 0.55-1.44). Correlación entre: ansiedad y piezas perdidas $r=0.47$ ($p=0.000$), ansiedad y CPOD $r=0.56$ ($p=0.000$), ansiedad y dolor $r=0.99$ ($p=0.000$). No hubo relación entre nivel de ansiedad y los parámetros hemodinámicos. **CONCLUSIONES:** se encontró una moderada correlación entre ansiedad y CPOD. Los pacientes con mayor nivel de ansiedad presentaron índices de CPOD más elevados con diferencias significativas en cada uno de sus componentes, a predominio de piezas perdidas. Registrando un nivel de inserción clínica mayor. Observándose una correlación muy elevada entre dolor y ansiedad.

A12

HIPERTENSIÓN ARTERIAL: IMPACTO DEL ODONTÓLOGO EN SU DIAGNÓSTICO Y TRATAMIENTO

González NN*, Saiegh J, Lewin PG, Stolbizer F, Lenarduzzi A, Rubio MC, Rodríguez P, Nicolosi LN
Cátedra de Patología y Clínica Bucodental, CLAPAR II, Servicio de Urgencias –
Guardia. Cátedra de Endodoncia. FOUBA. Hospital Odontológico Universitario.

El control de la hipertensión arterial (HTA) reduce el riesgo de ACV 40%, Infarto de miocardio 25% e insuficiencia cardíaca 50%. Podría el odontólogo tener un rol protagónico? **Objetivos:** Estimar la prevalencia de HTA conocida y no conocida en pacientes (P) que concurren a la consulta odontológica. **Materiales y Métodos:** Estudio de prevalencia, prospectivo con determinaciones a repetición. Se incorporaron P de ambos sexos, edad ≥ 18 años. Previo a la atención se realizó la encuesta de **Ansiedad Dental Modificada de Corah** y escala de dolor. Se registró antecedentes de HTA, medicación antihipertensiva y Factores de Riesgo Aterogénico. Previo al tratamiento el odontólogo realizó 2 controles de presión arterial (PA) sistólica y diastólica (PAS-PAD) y frecuencia cardíaca (FC) con tensiómetro digital. Los P con PA $\geq 140/90$ fueron controlados por cardiólogos confirmando el diagnóstico de HTA. Estadística: SPSS 20, test aplicados: ANOVA, t Test, Índice de Correlación de Pearson, $p < 0.05$ e IC del 95%. **Resultados:** Incluidos 348 P, edad 40.56 ± 15.71 años, hombres 150 (43.1%). FRA referidos: HTA 19.8%, diabetes 3.4%, hipercolesterolemia 4.6%, tabaquismo 18.1%, obesidad 13.5%. Valores basales y post tratamiento respectivamente: PAS 128.21 ± 18.15 vs 127.01 ± 17.89 ($p=0.05$; $t=1.94$; IC 95% 0.014-2.42); PAD 74.90 ± 11.55 vs 75.44 ± 11.50 ($p=NS$); FC 76.85 ± 11.74 vs 76.28 ± 12.45 ($p=NS$). Se diagnosticó HTA en 25 P (7.2%) y mal control en 26 P (7.5%) hipertensos tratados. La ansiedad y el dolor no se correlacionaron con los niveles de PA y FC. Nivel de ansiedad leve 275 (79.02%), moderada 65 (18.67 %) y severa 8 (2.29%). Hubo correlación positiva entre nivel de dolor y ansiedad ($r=0.995$, $p<0.000$). Los P que fueron diagnosticados como hipertensos o con mal control en HTA tratada fueron evaluados por cardiólogos, siendo medicados el 100%. **Conclusiones:** El control de la PA por el odontólogo permitió diagnosticar HTA en el 15% de los P. La mitad desconocían su patología y el resto, a pesar de estar tratados no tenían un control adecuado de PA. El control sistemático de la PA en la consulta odontológica constituyó una herramienta de alto impacto en la salud al permitir identificar un grupo de pacientes con mayor riesgo en enfermedad cardiovascular y así posibilitar su tratamiento.

A13

FULL-MOUTH DISINFECTION COMO TRATAMIENTO ELECTIVO EN PACIENTES DE ALTO RIESGO DE INFECCIÓN ODONTOGÉNICA

Lewin PG*, Rudzinski J, Lazzati R, Pompeo M, Cruz M, Tomasetti V, Monod MS, Lama A, Rubio M, Nicolosi LN
Cátedra de Patología y Clínica Bucodental, Clínica de Atención de Pacientes de Alto Riesgo (CLAPAR II) – FOUBA

El incremento en la demanda de atención odontológica de pacientes (P) con riesgo médico ASA III-IV, con necesidad de atención urgente y efectiva motivó una modificación del protocolo de atención clínico. Se reformuló el sistema de atención clásico (SAC) basado en diagnóstico odontológico y atención por cuadrantes por un sistema basado en el riesgo de infección odontogénica. Se estableció un modelo de atención intensiva - Full-mouth disinfection (FMD), compuesto de sesiones quirúrgicas y no quirúrgicas. En la sesión quirúrgica se eliminaron todos los focos infecciosos bajo estrictas normas de bioseguridad y cobertura antiséptica- antibiótica. **Objetivo:** Comparar la efectividad del sistema de atención intensivo (FMD) versus el Sistema Clásico (SAC) en P de alto riesgo de infección odontogénica. **Materiales y Métodos:** Estudio clínico abierto (Grupo FMD) con P ASA III-IV de alto riesgo de infección odontogénica incorporados a un protocolo de atención intensiva entre 10/2013 y 08/2014 que ingresaron al CLAPAR II, comparándolos con controles históricos de similares características clínicas, atendidos entre 03/2012 y 08/2013, que recibieron atención con SAC. Se incorporaron 178 P, 89 en cada grupo. Se comparó: cantidad de sesiones para lograr alta básica (AB) y cumplimiento del tratamiento por parte del P (CT). Se consignó la presencia de complicaciones quirúrgicas locales (CL) y sistémicas (CS) post-operatorias. Estadística: paquete estadístico SPSS v.16, se aplicó Prueba de ANOVA, estadísticas descriptivas adecuadas para cada variable según su escala de medición y distribución, intervalos de confianza del 95% y $p < 0.05$. **Resultados:** **AB:** SAC 7.6 ± 1.32 (4–16) sesiones vs FMD 2.8 ± 0.6 (1–5) ($p=0.041$). Sesiones quirúrgicas: SAC 5.8 ± 0.9 (2–9) vs FMD 1.7 ± 0.35 (1–3) ($p=0.046$). Los P del Grupo SAC fueron medicados 3.4 veces más. **CT:** SAC $61.3 \% \pm 13.7$ vs FMD $94.7 \% \pm 9.8$ ($p=0.039$). **CS:** SAC=0 vs FMD= 3 ($p=0.078$). **CL:** SAC=5 vs FMD= 3 ($p=0.085$). **Conclusiones:** El protocolo de atención intensiva permitió reducir significativamente la cantidad de sesiones para alcanzar el AB disminuyendo el abandono del tratamiento. Se redujo la prescripción de antibióticos. El tratamiento intensivo no presentó complicaciones sistémicas relevantes en pacientes con riesgo médico elevado.

A14

ESTUDIO TOMOGRÁFICO DE LAS VARIANTES ANATÓMICAS DEL CONDUCTO NASOPALATINO

Estevez A*, Subiran B, Vazquez D, Scheneider E, Osende N, Ramírez MJ, Hetch P, Carbajal E
Cátedra de Radiología Facultad de Odontología UBA

Objetivo: El objetivo del trabajo es poder determinar las variantes anatómicas del conducto nasopalatino en pacientes edéntulos con respecto a pacientes dentados anterosuperiores en tomografía computada (CBCT) **Métodos:** Se estudiaron 22 tomografías en pacientes edéntulos y 24 en pacientes dentados en el sector anterosuperior de ambos sexos en pacientes desde los 50 hasta los 59 años. El kilovoltaje, miliamperaje y tiempo de exposición fueron adecuados para la contextura, edad y sector a tomografiar de los pacientes. La toma se realizó en posición supina. Realizadas las adquisiciones se editaron en la estación de trabajo a partir del corte oblicuo. En esta se establecieron puntos de control a distancia intermedia generada por el software. Estos son el corte sagital superior que se midió desde la cortical interna hasta la cortical externa de la pared anterior del conducto nasopalatino ubicado en el piso de la fosa nasal, el corte sagital medio ubicado desde la cortical interna hasta la cortical externa de la pared anterior del conducto nasopalatino ubicado equidistante entre el la porción superior e inferior del conducto y el corte sagital inferior ubicado desde la cortical interna hasta la cortical externa de la pared anterior de dicho conducto ubicado en la porción inferior del conducto nasopalatino y la altura del conducto. **Resultados:** En los pacientes edéntulos en promedio la cortical superior midió 2,2 mm, la cortical media 2,2 mm y la inferior 4,56 mm con una altura de 9,25 mm. En los pacientes dentados en promedio la cortical superior midió 1,18 mm, la cortical media 1,26 mm y la inferior 1,71 mm con una altura de 10,73 mm. Se realizó el análisis estadístico y se observaron diferencias significativas entre las corticales inferior media, superior y altura del conducto nasopalatino entre los 2 grupos, también se hallaron diferencias significativas entre sexos. **Conclusión:** Según este estudio se pudo comprobar que el conducto nasopalatino sufre variaciones estructurales y topográficas en maxilares edéntulos, siendo estos más anchos y con una altura menor con respecto a los pacientes dentados que son más estrechos y largos en altura. Estos datos son de importancia para generar posibles cambios quirúrgicos-protéticos que proponen regeneración de la función y la estética del sector mencionado. Asimismo contribuyen a la toma de decisiones en la regeneración ósea guiada para identificar límites vestíbulo palatinos y mejorar el anclaje en la colocación de implantes dentales.

A15

OSTEONECROSIS MAXILAR ASOCIADA A BIFOSFONATOS. ESTUDIO DE PREVALENCIA Y MARCADORES BIOQUÍMICOS

Fontana S*, Rocamundi M, Douthat W, Corominas O

Servicios de Odontología y Metabolismo Oseo-Mineral; Hospital Privado, Centro Médico de Córdoba - Area de Biología Oral; Facultad de Odontología; UNC.

El creciente uso de bifosfonatos (BF) en la última década, ha inducido a la aparición de lesiones óseas en los maxilares. A esta afección se la ha denominado osteonecrosis de los maxilares asociada a bifosfonatos (ONMB). **Objetivos:** 1) estudiar la prevalencia de lesiones de ONMB en un centro hospitalario de la ciudad de Córdoba, 2) determinar la efectividad del teleopéptido C-terminal (CTX) como test predictivo de desarrollo de ONMB y 3) caracterizar histopatológicamente las lesiones de ONMB. **Métodos:** En este estudio participaron pacientes del Hospital Privado, Centro Médico de Córdoba (HPC). Se cuenta con aprobación del comité de ética y consentimiento informado. Se realizó un estudio de la prevalencia (Grupo 1) en pacientes bajo tratamiento con BF derivados por el servicio metabolismo óseo y mineral del HPC. Por otro lado (Grupo 2), se receptaron pacientes derivados al servicio de Odontología del HPC, con ONMB establecida. Se fijaron criterios de inclusión y exclusión. En todos los pacientes se realizó examen clínico, radiográfico y de laboratorio (CTX). En el Grupo 2, además se aplicaron las pautas terapéuticas, propuestas por la Academia Americana de Medicina Oral (AAMO), se realizaron biopsias del secuestro óseo y estudios anátomo-patológicos. **Resultados:** 1) La prevalencia de ONMB en el Grupo 1 (114 pacientes) fue 1,75% (2 pacientes). 2) Se atendieron 9 pacientes del Grupo 2, de los cuales el 89% recibió BF por vía intravenosa 3) El valor medio de CTX fue 225 pg/ml. 36% de los pacientes tuvo valores menores a 150 pg/ml y 64% mayores a 150 pg/ml: De los 11 pacientes con ONMB sólo 1 tuvo valores inferiores a 150 pg/ml. 4) El diagnóstico histopatológico de las biopsias confirmó necrosis ósea. **Conclusiones:** 1- En pacientes tratados con BF orales, la ONMB es de baja incidencia (1,75%). 2- El test CTX no fue predictivo para el desarrollo de ONMB. En enfermedades del metabolismo osteo-cálcico, el manejo de drogas antiresortivas requiere un abordaje interdisciplinario para reducir la incidencia de ONMB y a la vez proteger al esqueleto de sus efectos deletéreos.

*Subsidio SeCyT-UNC:162/12

A16

LA HIPOXIA PERINATAL NO AFECTA EL FENOTIPO DE CRECIMIENTO DE LA MASA CORPORAL EN NORMOXIA

Bozzini CE*, Picasso EO, Champin GM, Alippi RM, Bozzini C
Cátedra de Fisiología, FOUBA

La hipoxia postnatal en la rata reduce el crecimiento de la masa corporal (MaCo). La calidad del ambiente fetal puede influenciar el fenotipo adulto. **Objetivos:** El objetivo de la presente investigación fue determinar si la presencia de hipoxia durante los periodos gestacional y postnatal temprano puede influir negativamente el crecimiento de la MaCo cuando la población así tratada es mantenida en condiciones de normoxia. 2) **Metodología:** El estado de hipoxia hipóxica (HX) fue inducido en cámaras de altura simulada manteniendo el aire en su interior a 380 mmHg (5450 m). Ratas maduras Sprague-Dawley de ambos sexos fueron divididas en *normóxicas* (NX) e *hipóxicas* (HX), siendo las últimas mantenidas a 5450 m durante un mes para su aclimatación. El apareamiento fue entonces permitido bajo condiciones de NX o HX, según el grupo experimental considerado. Las crías fueron, por lo tanto, NX-NX, NX-HX, HX-HX, o HX-NX: el primer término indica NX o HX durante la gestación y primeros 30 días de vida postnatal; el segundo término indica NX o HX durante la vida postnatal comprendida entre los 31 y los 133 días de edad. La MaCo (g) fue estimada periódicamente y su tasa de crecimiento (MaCoGR, g/d) estimada entre los 33 y 65 días de edad. 3) **Resultados:** Los resultados pueden ser resumidos así: I) MaCo fue significativamente mayor en ratas NX que en HX al destete (21 d); II) MaCoGR no mostró diferencias significativas entre animales NX-NX y HX-NX, ni entre HX-HX y NX-HX; y III) MaCo fue significativamente mayor en ratas mantenidas en NX que en HX durante la vida postnatal. 4) **Conclusiones:** Los datos sugieren que la hipoxia hipóxica durante los periodos gestacional y postnatal tempranos no alteran la regulación del crecimiento de la masa corporal en la rata cuando es mantenida en condiciones de normoxia. Por lo tanto, el desarrollo de la masa corporal del animal en normoxia es independiente del hecho de haber sido gestado en condiciones de normoxia o hipoxia.

A17

EVALUACIÓN DE LA PORTACIÓN DE CANDIDA EN PRÓTESIS BUCALES DE PACIENTES EN UTI

Ubertone R*, Gaffuri S, Flores S, Benegas R, Briselli V, Brusca L, Luna I, Olavegogeascoechea P, Brusca MI, Grandinetti JA
Universidad Abierta Interamericana

Introducción: *Cándida spp* es un hongo oportunista de la microbiota indígena accesoria de la cavidad bucal que puede adherirse a las prótesis de acrílico y en condiciones de inmunosupresión diseminarse desde allí al resto del organismo. El Objetivo del presente trabajo fue evaluar la presencia de *Cándida spp* en prótesis parciales de acrílico removibles de pacientes internados en Unidad de Terapia Intensiva (UTI) del Hospital de la Universidad Abierta Interamericana. **Materiales y Métodos:** Fueron seleccionados 50 pacientes de UTI del hospital universitario de la Universidad Abierta Interamericana ubicado en la calle Pórtela 2975 (CABA). Se seleccionaron portadores de prótesis parciales removibles acrílicas internados por politraumatismos y con igual esquema antibiótico, sin intubación. Se consideró edad y tiempo de internación. Se les realizó examen clínico para determinar lesiones en mucosa bucal, tejidos dentarios y evaluación de las condiciones de la prótesis, incluyendo tiempo de uso, hábitos de descanso, hábitos de higiene y adaptación de las mismas. Se les realizó una toma de muestra bucal mediante hisopado en la zona del paladar con hisopo en medio de Stuart y se les tomó una muestra adicional, consistente de hisopado de la prótesis en la zona que contacta con la mucosa palatina. Se realizaron análisis microbiológicos convencionales y estudio microscópico. Se realizó análisis estadístico con prueba Chi 2. **Resultados:** En la cavidad bucal y prótesis se presentaron iguales especies de *Cándida*. Se encontró (92%) de *Cándida albicans* en los pacientes internados hasta 15 días y 12% *Cándida no albicans*. La diferencia fue estadísticamente significativa en aquellos con más de 15 días de internación comparado con los de menos tiempo respecto a *Cándida no albicans* ($P=0.03$). En los de mayor tiempo se encontraron *Cándida albicans* (54%) y de las otras especies la más prevalente fue *Cándida dubliniensis* (33%) luego *Cándida parapsilosis* (10%) y *Cándida krusei* (3%). **Conclusión:** Los pacientes presentan *Cándida* en las prótesis parciales removibles de acrílico. La presencia de *Cándida no albicans* aumenta proporcionalmente al tiempo de internación en UTI.

A18

ESTUDIO DE FACTORES DE RIESGO ASOCIADOS AL CÁNCER ORAL EN UNA POBLACION DE ROSARIO

Zaragoza A*, Fachile JC, Cogliati G, Calamari C, Giral N, Escovich L
Facultad de Odontología de la Universidad Nacional de Rosario

INTRODUCCIÓN: El cáncer oral es el 6º cáncer más frecuente en el mundo. A pesar de los avances en la prevención y tratamiento, aún presenta una baja tasa de supervivencia, relacionada con el diagnóstico tardío de la neoplasia. El conocimiento de las bases moleculares de la carcinogénesis oral ha avanzado significativamente, pero los mecanismos que conducen a la progresión del tumor son desconocidos.

OBJETIVO: Evaluar los factores de riesgo asociados al cáncer oral y relacionar dichas variables en una población sin cáncer que concurrió al Servicio de la Cátedra.

METODOLOGÍA: Período: Enero 2001-Diciembre 2011. Estudio caso-control. Los casos ($n=80$) fueron cánceres confirmados por anatomía patológica. Los controles ($n=2791$) fueron consultas por patologías benignas. Se evaluó la asociación con el cáncer de los siguientes factores: sexo (M y F), edad (? y >40 años), antecedentes de hábito tabáquico y/o alcohol (Sí/No), antecedentes familiares (Sí/No) y personales de cáncer (Sí/No) y diagnóstico confirmado histológicamente (cáncer/no cáncer). Se aplicó un modelo de regresión logística múltiple; las interacciones fueron evaluadas con modelos loglineales, expresadas por las respectivas medidas de odds ratio (OR) y su respectivo intervalo de confianza. En todas las pruebas un valor de $P<0.05$ fue considerado estadísticamente significativo.

RESULTADOS: En la construcción del modelo de regresión logística, exceptuando los antecedentes familiares de cáncer ($P=0.059$); la edad adulta, el hábito de tabaco/alcohol, el sexo masculino y los antecedentes personales de cáncer resultaron ser las variables explicativas significativamente asociadas al cáncer oral. En el estudio de las interacciones, la edad OR: 5.1 (3.3 - 8.1), el sexo OR: 4.4 (2.8-7.1) y el hábito tabáquico OR: 3.9 (2.5-6.2) tuvieron similar magnitud de injerencia sobre el cáncer oral. Pero el riesgo se duplica cuando los tres factores se manifiestan simultáneamente, OR: 10.1 (6.2-16.3)

CONCLUSIÓN: En esta experiencia, la edad adulta, el sexo masculino, el hábito tabáquico/alcohol y los antecedentes personales de cáncer fueron factores significativamente asociados a una mayor frecuencia de cáncer oral. Los antecedentes familiares de cáncer tuvieron significancia borderline en el contexto del análisis multivariado.

A19

EVOLUCIÓN DE LA REPARACIÓN TISULAR ALVEOLAR POST-EXODONCIA EN CONDICIONES DE HIPOSALIA

Mohn *C1,3 Steimetz T2, Fernandez-Solari J1,3, Elverdin J1, Guglielmotti B2,3 Cátedras de Fisiología¹ y Anatomía Patológica² FOUBA, CONICET³.

En trabajos previos hemos demostrado (Mohn y col. 2013) un retraso en las etapas iniciales de la reparación tisular post-exodoncia, en condiciones de hiposalia por submandibulectomía (SMx) en ratas. **Objetivo:** Evaluar bioquímica e histológicamente la reparación post-exodoncia a los 7, 14 y 30 días con SMx. **Métodos:** Se utilizaron 60 ratas Wistar de 21 días, distribuidas en 2 grupos: G SMx y G Sham. El día 7 post SMx se realizó bajo anestesia i.m. la exodoncia bilateral del primer molar inferior (Guglielmotti y col. 1985). Se practicó la eutanasia a los 7, 14 y 30 días post-exodoncia, siguiendo las normas del Comité de Ética FOUBA. Las mandíbulas fueron resecadas, una hemimandíbula fue procesada para su inclusión en parafina, se realizaron cortes a nivel del alvéolo mesial y se colorearon con H-E. A la contralateral se le extrajo el tejido que ocupa el alvéolo con un punch de 2 mm Ø y la muestra se procesó para determinar niveles tisulares de TNF?, PGE2, expresión de ciclooxigenasa II (COX-II) y actividad de óxido nítrico sintasa inducible (NOSi). **Resultados:** La actividad de NOSi fue mayor en el G Sham respecto al G SMx en todos los tiempos ($p < 0.05$). En el G Sham la PGE2 fue menor al G SMx en todos los tiempos experimentales: 7d (8571.8 ± 71.18 vs 877 ± 129 pg/muestra), 14d (72.13 ± 9.5 vs 180.2 ± 17.63 pg/muestra) y 30d (104 ± 17 vs 162.4 ± 18.6 pg/muestra) ($p < 0.001$). La expresión de COX-II aumentó 2.5 veces en el G SMx a los 7 y 14 d respecto al G Sham. El TNF? fue mayor en G SMx a los 7 d y 30 d ($p < 0.05$) no evidenciándose diferencias significativas a los 14 d. Histológicamente, a los 7 d en el G Sham se completó la epitelización y el alvéolo presenta tejido óseo reticular. En el G SMx no se completó la epitelización y el alvéolo presenta menor proporción de tejido óseo reticular que en el G Sham. A los 14 d el G Sham presenta mayor volumen de tejido óseo reticular y una osteogénesis activa respecto al G SMx. A los 30 d el G Sham evidencia mayor volumen y densidad ósea de tejido óseo laminar que el G SMx. **Conclusión:** En este estudio se demuestra una correlación entre los parámetros inflamatorios evaluados y la observación histológica, demostrando un retraso en la osteogénesis en condiciones de hiposalia. CONICET 00117; UBACYT 0657, 0686

A20

CONSUMO DE MICRONUTRIENTES Y CARCINOMAS ORALES ESPINOCELULARES

Galíndez* F1, Secchi DG1, Aballay L2, Brunotto M3, Lanfranchi H4 1 Departamento de Patología Bucal, Facultad de Odontología, Universidad Nacional de Córdoba, Argentina. 2 Escuela de Nutrición, Facultad de Ciencias Médicas, Universidad Nacional de Córdoba, Argentina. 3 Departamento de Biología Bucal, Facultad de O

El cáncer de cavidad oral es un problema creciente y preocupante en regiones del Sur de Asia, Latinoamérica y partes del este y centro de Europa. Entre los factores epigenéticos asociados con el cáncer, la alimentación es considerada un importante factor ambiental vinculado a la ocurrencia de esta patología.

Objetivo. Evaluar si el consumo de micronutrientes incorporados en la dieta puede ser un marcador predictivo de grupos poblacionales de riesgo de desarrollar carcinomas orales de células escamosas (CO).

Métodos. Estudio caso-control 3:1 (90 controles: 30 casos), ambos géneros, edades de 24-80 años, en la provincia de Córdoba, Argentina. Para la valoración de la exposición a factores alimentarios se empleó un cuestionario de frecuencia cuali-cuantitativa de alimentos, y un Atlas fotográfico de Alimentos, ambos validados para estudios epidemiológicos sobre cáncer en la población Argentina. Los datos filiatorios se recolectaron en ficha clínica-médico-odonto-estomatológica. Se realizó prueba de Mann Whitney y de Fisher. Con las variables que presentaron variaciones significativas se construyó un modelo logístico y curvas ROC; fijando un p-valor < 0.05 para significación estadística.

Resultados. En los pacientes con CO se observó un mayor porcentaje significativo de trauma crónico, candidiasis como así también una asociación significativa con el consumo de alcohol y tabaco. La ingesta de hierro (22.44 ± 8.2), fósforo (1761 ± 552.7), vitaminas (V) VB1 (1.35 ± 0.4), VB5 (25.53 ± 99.7), VB6 (1.58 ± 0.6), VE (10.51 ± 8.05), VK (942 ± 355.4) y selenio, incorporados con la dieta, mostraron valores medios de consumo significativamente mayores ($p < 0.05$) en los casos. El modelo construido con los micronutrientes mostró una precisión en clasificar a los casos del 78,18%.

Conclusión. Los resultados indicaron que el consumo de algunos micronutrientes tiene un aporte diferencial en los pacientes con CO y que podrían permitir clasificar a los pacientes con esta patología con elevado grado de certeza. Estos hallazgos concuerdan con un modelo *no genotóxico*, basado en los eventos epigenéticos más que en los cambios estructurales del DNA que son producidos por el efecto de moduladores de riesgo de cáncer como la dieta, obesidad, desequilibrios hormonales y la resistencia a insulina

A21

DEPÓSITO DE NANOPARTÍCULAS DE TITANIO EN PULPA, LIGAMENTO PERIODONTAL Y MÉDULA ÓSEA

Domingo M *§ 1, Steimetz T 1, Guglielmotti MB 1,2, Olmedo DG 1,2
Cátedra de Anatomía Patológica. Facultad de Odontología, UBA 1 - CONICET 2.

Como consecuencia de procesos de tribocorrosión, micro (MPs) y nanopartículas (NPs) (1-100nm) de titanio pueden originarse a partir de implantes de uso biomédico. En trabajos previos hemos descrito el depósito de MPs y NPs de titanio a nivel de encía. Respecto al depósito por vía sistémica de nanopartículas de titanio en pulpa dental, ligamento periodontal y/o médula ósea provenientes de implantes de titanio, no existe información en la literatura. **Objetivo:** evaluar experimentalmente a nivel histológico el depósito de partículas de dióxido de titanio (TiO₂) de diferente granulometría en pulpa dental, ligamento periodontal y médula ósea. **Métodos:** Se utilizaron 30 ratas Wistar inyectadas intraperitonealmente con una suspensión de TiO₂ de diferente granulometría: **GE1:** NPs de 10nm y **GE2:** 5nm. Un grupo fue inyectado con solución fisiológica (**GC**, control). A los 6 y 12 meses se provocó la eutanasia de los animales, se resecaron las hemimandíbulas izquierdas, se fijaron en formol y desmineralizaron en ácido nítrico al 7%. Se obtuvieron cortes histológicos orientados a nivel de la raíz mesial del primer molar inferior en sentido vestíbulo lingual, que fueron coloreados con H-E ó Carmín de Grenacher. Se evaluó histológicamente por microscopía óptica la pulpa dental, el ligamento periodontal y médula ósea. Las muestras fueron además estudiadas mediante luz polarizada y por microscopía electrónica de barrido (MEB) y dispersión de rayos x (EDS). **Resultados:** Histológicamente se observaron abundantes aglomerados de partículas de titanio (EDS) en médula ósea y en menor grado en ligamento periodontal y pulpa dental, sin respuesta inflamatoria asociada. Los depósitos de NPs de 5 nm fueron más abundantes respecto a los de 10 nm, en ambos tiempos experimentales. Los depósitos mostraron birrefringencia con luz polarizada. El estudio por MEB mostró aglomerados de diferentes formas y tamaños, confirmándose la presencia de titanio (EDS). **Conclusiones:** Las NPs de titanio migran sistémicamente y se depositan, además de encía, en otros tejidos bucales como pulpa dental, ligamento periodontal y médula ósea. Las NPs más pequeñas (5 nm) presentarían una mayor capacidad de penetración y biopersistencia. UBACyT 0190 y 0657, CONICET 0117. §Beca Estímulo Vocaciones Científicas (CIN).

A22

DETERMINACIÓN DE LA ACCIÓN TÉRMICA DEL MATE COMO FACTOR PREDISPONENTE DEL CÁNCER BUCAL

Fernández ER*, González MM
Facultad de Odontología - Universidad Nacional del Nordeste

El cáncer bucal es una enfermedad que afecta a un grupo significativo de personas en todo el mundo ocupando el quinto lugar entre las enfermedades estomatológicas. Es una patología que depende del estilo de vida del individuo. El tabaquismo, asociado a otros hábitos como consumo de alcohol, café y otras bebidas estimulantes como el mate, favorecen la aparición de lesiones precursoras y malignas. **OBJETIVO:** determinar la acción térmica del agua del mate y de la bombilla metálica sobre las mucosas bucales como factores de riesgo en la producción de cáncer tanto en individuos fumadores y no fumadores. **MATERIALES Y MÉTODOS:** La investigación es observacional de corte transversal. Se incluyen en la muestra 100 individuos de ambos sexos, de entre 20 y 60 años, consumidores de mate, que residen en las provincias de Corrientes y Chaco. Se formaron dos grupos de trabajo, el primer grupo constituido por individuos que consumen mate caliente y fuman, y el segundo grupo que sólo consumen mate caliente. Se registraron las temperaturas antes y después de la ingesta del mate en tres zonas de la mucosa bucal: semimucosa labial inferior, zona anterior del paladar duro y zona retrocomisural de la mucosa yugal. Se realizaron citologías exfoliativas antes y después del consumo de mate en las zonas topográficas mencionadas, las que fueron enviadas al Laboratorio de Anatomía Patológica de la Facultad de Odontología de la UNNE. **RESULTADOS:** Se realizaron tablas de contingencia entre el grado de inflamación de las mucosas bucales después de la ingesta de mate y las zonas topográficas estudiadas. Se utilizó la prueba de Chi cuadrado y Test de correlación de Pearson obteniéndose un P-valor = 0,0102. Se observaron 80 pacientes en total, de ambos sexos, con un promedio entre 31 y 35 años. Del primer grupo, el 57,5% del sexo masculino eran fumadores, mientras que en el sexo femenino se evidenció que el 42,5% eran fumadoras. Por medio del estudio histopatológico, se comprobó que la región más afectada es el paladar duro, identificándose un elevado porcentaje de células inflamatorias. **CONCLUSIÓN:** Hasta el momento, de acuerdo a los resultados obtenidos el mate sería un factor predisponente en la producción del cáncer bucal.

A23

CORRELACIÓN ENTRE LA DEXA Y LAS IMÁGENES DE LA TOMOGRAFÍA COMPUTARIZADA (CONE BEAM) EN MUJERES CON OSTEOPOROSIS

Paz M*, Mailand M, Mailand D, Vitulli I, Hernán A, Amatti L, Peña G, Lopez E, Escovich L
Cátedra de Estomatología I, FOR. SCANNER DENTAL.

OBJETIVOS: Evaluación de la TC (CONE BEAM) como predictor de la osteoporosis esquelética. Evaluar la calidad mandibular ósea con imágenes de Cone Beam vs la Densitometría Ósea en mujeres que presentan osteoporosis en cuello femoral.

MATERIALES Y MÉTODOS: Se incluyeron 15 mujeres osteoporóticas entre las edades de 50- 70 años (SD 6.6) y 15 mujeres sanas postmenopáusicas en el mismo rango etario (SD 6,2 años). Se excluyeron pacientes con diagnóstico de enfermedades metabólicas como hipertiroidismo, diabetes y enfermedad renal. La evaluación de la densidad mineral ósea se realizó mediante densitometría en cuello de fémur. Se utilizó un densitómetro modelo LUNAR DPX-NT2014. Se clasificaron como osteoporóticas las mujeres según el criterio de la OMS: Osteoporosis establecida $< - 2,5 T$ y una o más fracturas por fragilidad, $< - 2,5 T$ Osteoporosis, $1 y - 2,5 T$ Osteopenia y $> - 1 T$ Normal. Las imágenes de tomografías Cone Beam de maxilar inferior se realizaron con un equipo PLANMECA PROMAX 3ds y se realizó la medición del ancho cortical a nivel del foramen de la región mentoniana utilizando la clasificación de Ledgerton modificada: $CTI(S)=W/S$ Ratio entre el ancho cortical (W) y la distancia del margen superior del agujero mentoniano al borde inferior de la mandíbula(S). $CTI (I)=W/I$ Ratio entre el ancho cortical (w) y la distancia del margen inferior del agujero mentoniano al borde inferior de la mandíbula(S).

RESULTADOS: El SCORE de la densitometría fue de 0,25 en el grupo normal y de 3.04 en el grupo con osteoporosis. Se encontró una diferencia significativa entre las mujeres normales y osteoporóticas en los parámetros utilizados en las tomografías CONE BEAM. Los valores mediante $CTI(S)$ Y $CTI (I)$ fueron de 0.22 y 0.24 en el grupo normal y de 0.13 y 0,16 en el grupo de mujeres osteoporóticas.

CONCLUSIÓN: El índice cortical mandibular utilizado permite realizar un screening de osteoporosis. Existe una correlación entre los datos aportados por la densitometría y la tomografía CONE BEAM de maxilar inferior en mujeres osteoporóticas.

A24

ALTERACIONES DEL ÁREA METAFISIARIA TIBIAL EN RATONES NOD CON SÍNDROME DE SJÖGREN

Busamia, B1*; Guglielmotti, MB2; Fontana,S1; Mariani, M1; Rhys K1 ; Gobbi, C,3,4 ; Albiero, E4; Yorio, M4.

1-Cátedra de Fisiología Facultad de Odontología. UNC; 2- Cátedra de Anatomía Patológica UBA. 2- Cátedra de Medicina II, Hospital Córdoba. UNC; 3- Unidad de Reumatología, 4-Cátedra de Medicina I-II Hospital Córdoba. UNC

INTRODUCCIÓN: En SAIO 2013 describimos en estudios radiográficos alteraciones óseas en ratones NOD afectados con Síndrome de Sjögren (SS), caracterizadas por la disminución de la radiopacidad de las corticales de la tibia, en relación a los controles. Estos resultados sugerirían que los ratones NOD con SS podrían desarrollar desórdenes en la histoarquitectura de las tibias. En la bibliografía actual, no se han descrito certeramente afecciones óseas relacionadas con el SS.

OBJETIVO: Evaluar histológicamente el área metafisiaria de las tibias de ratones no obesos diabéticos con SS en relación a controles NOD sin SS. **MATERIAL Y MÉTODO:** Se utilizaron ratones hembras NOD con SS (grupo SS) y controles NOD sin SS (grupo C, control). Los animales fueron cuidados en condiciones de laboratorio específicas libre de patógenos en el bioterio de la Facultad de Ciencias Químicas de la U.N.C. A los 4 meses de edad (peso $80 g \pm 10$) los ratones fueron anestesiados con ketamina xilacina, se extrajeron ambas tibias, luego fueron llevados a eutanasia. Los huesos fueron fijados en formos buffer, descalcificados con EDTA y procesados para su inclusión en parafina, se realizaron cortes orientados según el eje longitudinal de la tibia. Las muestras obtenidas se colorearon con hematoxilina eosina y se evaluó histológicamente el área metafisiaria de ambos grupos. **RESULTADOS:** en el grupo SS se evidencia en las tibias alteración en la histoarquitectura del cartílago y de las trabéculas metafisarias, en las que se observan menos trabéculas, de menor longitud, así como trabéculas selladoras, cuando se las compara con el grupo C. **CONCLUSIÓN:** los hallazgos radiográficos del estudio previo en el que se observó una disminución de la densidad en las corticales de la tibia y a las alteraciones en la histoarquitectura detectadas en el área metafisiaria en el presente estudio preliminar, nos permitirían sugerir que los ratones NOD con SS generan modificaciones en el tejido óseo. Es necesario realizar estudios histomorfométricos en 2D y con técnicas de inmunomarcación, de la calidad y de la actividad del tejido óseo, con la finalidad de objetivar la respuesta en ratones NOD con SS. Subsidio: Secyt UNC. Córdoba.

A25

ESTUDIO DEL METABOLISMO DEL BORO EN ALTAS DOSIS EN HUESO

*Brandizzi D1-3, Maria Silvia Oliviera2, Cabrini RL1-3 1

División Patología del Dpto de Radiobiología y 2 Dpto. Coordinación BNCT de la Comisión Nacional de Energía Atómica (CNEA); 3 Cátedra de Anatomía Patológica de la Facultad de Odontología de la Universidad de Buenos Aires.

El boro es un elemento al que se le asigna relativa importancia como suplemento dietario, en la formación de tejidos calcificados como tejido óseo y dentario. Si bien el mecanismo de acción del boro para la salud ósea es desconocido, se ha comprobado que estabiliza y extiende la vida media de vitamina D y los estrógenos. Los compuestos borados disponibles comercialmente y que se usan en pacientes son el borocaptato de sodio (BSH) y la borofenilalanina (BPA). El BPA es una de las drogas más usadas en la Terapia por Captura Neutrónica en Boro (BNCT). Estos antecedentes evidenciarían cierta afinidad del boro por el tejido óseo. Hemos trabajado en ajustes metodológicos a nivel experimental, que nos permitieron detectar cantidades significativa de boro en hueso (AATN 2013)

Objetivo: En este trabajo estudiamos la presencia del boro en tejido óseo, utilizando altas dosis de ácido bórico y comparando su distribución en relación a la actividad osteogénica y su depósito en la matriz ósea.

Materiales y Metodos: Se utilizaron ratas Wistar (n=10) de aproximadamente 250 g de peso. Se administró por vía intraperitoneal una solución salina de ácido bórico una dosis de 233 mg B/Kg, pH 7,4. En un grupo se administró una única dosis de la solución (n=5) y los animales fueron sacrificados a los 21 días post infusión. El segundo grupo (n=5), se le aplicaron dosis semanales de la infusión. En todos los animales muertos o sacrificados se cuantificó el Boro según nuestro modelo para el estudio en hueso en crecimiento (remodelación activa) y el hueso estático o tejido óseo que presenta baja capacidad remodelativa (AATN 2013).

Resultados: Hemos encontrado grandes cantidades de boro en tejido óseo estático (diáfisis) del orden de las 300 ppm, 24 hs post infusión. Una relación tejido óseo/ hígado (riñón) 20/1 luego de tres dosis administradas, y 7/1 con una sola dosis, 7 días post infusión. **Conclusiones:** Los resultados obtenidos evidencian la capacidad del tejido óseo de incorporar boro en el hueso en crecimiento y hueso con baja capacidad remodelativa. Subsidios: UBACYT 20020100100812.

A26

ATENCIÓN ODONTOLÓGICA INTERDISCIPLINARIA EN PACIENTES CON CARDIOPATÍAS CONGENITAS DEL ADULTO. PRELIMINAR

Winter GA*, Lama MA, Morós CG, Rubio MC, Nicolosi LN

Cátedra de Patología y Clínica Bucodental. FOUBA. Clínica para la Atención de Pacientes con Alto Riesgo, CLAPAR II. División Cardiología Hospital Español de Buenos Aires

Objetivos: Estimar el estado de salud bucal de pacientes (P) con Cardiopatía Congénita del Adulto (CCA), divididos según su complejidad. Establecer un protocolo de atención odontológica interdisciplinario (ID). **Materiales y métodos:** Estudio prospectivo, experimental, longitudinal, P con CCA derivados para atención odontológica por equipo ID. Se realizó historia clínica médico-odontológica, registrando tipo y severidad de CCA, divididas según complejidad en: Leves (L), moderadas (M) y severas (S). Se determinaron presión arterial sistólica/diastólica (PAS/PAD), frecuencia cardíaca (FC), oximetría de pulso (SO) pre-tratamiento (Pretrat), post-anestesia (Postan) y post-tratamiento (Postrat). Protocolo odontológico: odontograma, CPDO, índice gingival (IG), enfermedad periodontal (EP) y Rx panorámica. Se utilizó anestesia con vasoconstrictores (VC). Análisis estadístico: se utilizó SPSS 20; se aplicaron: test de ANOVA, coeficiente de correlación de Pearson, error $\alpha=0.05$ e IC del 95%. **Resultados:** ingresaron 56 P, hombres 33 (58.9%), edad 31.48 \pm 14.9 años. Tenían CCA: L 20 (35.7%), M 26 (46.4%) y S 10 (17.9%). No se observaron diferencias entre CPOD total ni al separar sus componentes con la severidad de la CCA. Hubo correlación leve entre CPOD total y edad ($r=0.38$); individualmente C y O no tuvieron correlación, mostrando $r=0.57$. El IG y la EP no hubieron diferencias. Se realizó monitoreo cardiovascular (CV) en 26.8% de los P. En las distintas etapas del tratamiento se registraron los siguientes valores medios de PAS/PAD (mmHg), FC (lpm) y SO (%): Pretrat 127.33/71.5 - 76.2 y 95.4, Postan: 130.60/74.40 - 78.4 y 95.8 y Postrat 121.21/67.1 - 62 y 96.21, respectivamente. Se observó disminución significativa de PAS/PAD y FC Postrat: $p=0.001$, IC 4.8-16, $p=0.010$, IC 2-124 y $p=0.028$, IC 1.9-29, respectivamente. No hubo diferencias en SO. El 73% de los P recibió profilaxis ATB, medicación CV 58.9% y anticoagulantes 14.3%. Ningún P presentó complicaciones médicas. **Conclusiones:** El CPOD y los índices gingivoperiodontales fueron independientes de la severidad de la CCA. La anestesia local con VC no generó diferencias en los parámetros hemodinámicos en los distintos grupos estudiados. Independientemente de la severidad de la CCA el tratamiento odontológico resultó seguro.

A27

CINÉTICA DE LA INTERLEUQUINA 1? EN SALIVA Y SU ASOCIACIÓN CON BIOMARCADORES DE STRESS OXIDATIVO, EN EL INFARTO AGUDO DE MIOCARDIO

Ramos C*1, Rubio MC2-3, González PM4, Puntarulo S4, Álvarez E5, Friedman S1, Nicolosi L2-3.

Cat. Bioquímica1 y Clin Patología y Clínica Bucodental2. Fac. Odontología. UBA. División de Cardiología, Hospital Español3. Buenos Aires. Físicoquímica. PRALIB. CONICET4 y Cát. Inmunología. IDEHU-CONICET5. Fac. Farm y Bioquímica. UBA. Argentina.

La generación de EROS pone en evidencia la disminución de la biodisponibilidad de óxido nítrico (ON), a partir del estrés oxidativo producido por la isquemia miocárdica. Hemos demostrado en estudios previos la presencia de biomarcadores de estrés oxidativo en saliva. Otros autores refieren a la IL-1?, como responsable del mecanismo generado para contrarrestar el efecto deletéreo de las EROS, a través de la producción de ON. **Objetivo:** Estudiar la cinética de IL-1? en saliva y su correlación con biomarcadores de estrés oxidativo, en pacientes con infarto agudo de miocardio (IAM). **Materiales y Métodos:** Ingresaron 34 pacientes con diagnóstico de IAM tipo I. Se obtuvo el consentimiento informado de todos los participantes antes de su inclusión. El protocolo fue aprobado por el Comité de Ética local. En saliva se determinaron a t=24 y t=48 hs, Diacetato de Diclorofluoresceína (DCFH-DA) (Espectrofluorometría, u.a/min mg prot) y Catalasa (CAT) (Enzimático, pmol/mg prot); a t=6, t=24 y t=48 hs, IL-1? (ELISA, pg/ml); y en suero, TnT (ng/ml) a las 24 hs. Los controles sanos siguieron un protocolo similar (n= 12). Estadística: SPSS 16, t-test de Kolmogorov-Smirnov, coeficiente de correlación de Pearson, ? < 0.05. **Resultados:** A las t=24 y 48hs se obtuvieron los siguientes resultados: DCFH-DA 15.5 ±10.5 y 21.3±15.9 y CAT 0.60±0.41 y 0.81±0.43. A t=6, 24 y 48hs, IL-1?: 206.2±62.7, 194.4±157.0 y 26.6±19.1 p<0.01; no se encontraron diferencias significativas entre 6 y 24 hs. En suero, a t=24, TnT, 4.1±2.3. Los coeficientes de correlación fueron entre IL1b vs. DCFH-DA24 (p=0.0098); IL1b vs. CAT24 (p=0.0127) y entre TnT24 y DCFH-DA24 (p=0.059). **Conclusiones.** El pico de IL-1? en saliva se registró a las 6 hs, manteniéndose hasta las 24 hs del IAM. La concentración sérica de TnT24 se correlacionó positivamente con los niveles de EROS determinados en saliva. El rol cardioprotector de la IL-1 ?24 se puso en evidencia a través de su relación con los niveles salivales de DCFH-DA24 y CAT24.

A28

EFEECTO ANTIOXIDANTE DE N-ACETIL CISTEINA (NAC) EN MACRÓFAGOS DE DIFERENTES GRUPOS ETARIOS EXPUESTOS A NANOPARTÍCULAS DE DIÓXIDO DE TITANIO

Bruno M1, 2, Sittner M1, Guglielmotti MB2,3, Olmedo DG 2,3, Tasat D 1,4
Esc. de Ciencia y Tecnología-UNSAM1, Cát. Anatomía Patológica-FOUBA2,
CONICET3, Cát. Histología y Embriología-FOUBA4

Como resultado de la tribocorrosión de implantes biomédicos, nanopartículas (NPs) de dióxido de Titanio (TiO₂) pueden ser liberadas al bioentorno y ser fagocitadas por macrófagos. La respuesta biológica del hospedero a los subproductos de tribocorrosión depende de las características físicoquímicas de las partículas (tamaño, forma, carga, etc) así como de las características propias del individuo (sexo, perfil genético, edad). En estudios previos observamos que las NPs de TiO₂ provocaron aumento dosis-dependiente de las especies reactivas del oxígeno (ROS) y del nitrógeno (NOS) en macrófagos alveolares (MAs) procedentes de animales de diferentes grupos etarios. **OBJETIVO:** Evaluar *in vitro* la respuesta a NPs de TiO₂ (TiO₂-NPs) en MAs provenientes de animales jóvenes y senescentes (3 y 18 meses) en presencia de N-acetil cisteína (NAC), un conocido antioxidante. **MÉTODOS:** MAs obtenidos de ratas Wistar se cultivaron (24hs) y expusieron a 10 y 50µg/ml de NPs-TiO₂ de 10nm. La generación del anión superóxido (O₂⁻) se evaluó mediante el ensayo del NBT, en presencia o ausencia de NAC (0.5mM). La citotoxicidad se analizó mediante el recuento celular y la concentración proteica total. **RESULTADOS:** La generación de O₂⁻ aumentó significativamente en los cultivos expuestos a NPs-TiO₂. NAC redujo la generación de O₂⁻ inducida por NPs-TiO₂ 10µg/ml alcanzando niveles basales tanto en MAs jóvenes como senescentes. Sin embargo, en los cultivos expuestos a 50µg/ml NPs-TiO₂, NAC redujo en un 30% la generación de O₂⁻ en comparación con los MAs senescentes donde la disminución fue del 12%. El número de células remanentes y la concentración proteica total disminuyeron en los cultivos expuestos a ambas dosis de NPs-TiO₂. Sin embargo, los cultivos tratados con NAC mostraron valores similares a los cultivos controles. **CONCLUSION:** NAC atenuó la generación de O₂⁻ provocada por NPs-TiO₂ sugiriendo que la citotoxicidad observada es ROS-dependiente. Asimismo, su efecto fue más evidente en los MAs jóvenes respecto de los senescentes. Esto podría deberse a los diferentes niveles basales de oxidación entre los grupos etarios, siendo mayor en los MAs senescentes que mostraron una menor capacidad antioxidante. **Subsidios:** UBACyT 200201202001190BA, 20020100100657BA, PIP 11220090100117, PICT 2010-1661.

A29

ESTUDIO PRELIMINAR DE LA COMBINACIÓN DE VITAMINAS Y BISFOSFONATOS EN HUESO MAXILAR DE RATAS

Moro C, Aguzzi A, Virga C, Romero S*, Basualdo MM
Facultad de Odontología UNC- Facultad de Odontología UNT

ESTUDIO PRELIMINAR DE LA COMBINACIÓN DE VITAMINAS Y BISFOSFONATOS EN HUESO MAXILAR DE RATAS.

Moro C1, Aguzzi A1, Virga C1, Romero S3, Basualdo MM2

1Cát. Farmacología y Terapéutica. Facultad de Odontología.UNC, 2Cat. Farmacología y Terapéutica. 3Cat. Radiología .Facultad de Odontología. UNT.

El balance óseo está mediado por una regulación inmunoendócrina, siendo éste un complejo proceso. Entre las acciones llevadas a cabo para mantener la densidad y estructura del esqueleto son variadas las farmacoterapias utilizadas. Diversos estudios han demostrado que tanto Objetivo: Estudiar el efecto de la administración combinada de alendronato y vitamina D por vía subcutánea y de vitamina E por vía oral sobre la regeneración ósea. Materiales y métodos: La dosificación fue 0,5 mg/kg de peso corporal de AL, 50 mg/kg de vitamina D y 20 mg/kg de vitamina E. El efecto se evaluó en ratas machos Wistar (n=108), de 90 ± 20 g, divididas en 6 grupos. Se realizó la exodoncia de los primeros molares inferiores. La droga se inyectó en forma subcutánea en tiempos 0, 7, 15 y 30 días post cirugía. Se tomaron radiografías de las mandíbulas, en cada tiempo experimental y se analizaron con el Software Image ProPlus versión 4,1 de Media Cybernetics. Los estudios estadísticos se realizaron a través del análisis de la variancia. Resultados: Los estudios radiográficos demostraron un incremento en la densidad mineral ósea promedio (DMO) conforme avanza el tiempo en los grupos problemas analizados con respecto al control, siendo más evidentes los tratamientos con vitamina D a los 30 días. Conclusiones: Los datos evaluados sirven para mostrar una tendencia, pero son insuficientes como para detectar diferencias significativas al contrastar las drogas, si se observan cambios significativos entre etapas, como era previsible. Se continuará con la investigación para poder obtener resultados que permitan emitir conclusiones que avalen nuestra hipótesis de trabajo Alendronato, Vitamina D3 y Vitamina E contribuyen a la inhibición de la reabsorción ósea.

A30

EVALUACIÓN DE LA PRESENCIA DE CÁNDIDA EN PACIENTES DIABÉTICOS PORTADORES DE PROTESIS DENTALES

Ochoa Salazar C*, Vertiz Felix K, Torres Reyes P
Facultad de Odontología Unidad Saltillo de la Universidad Autónoma de Coahuila, México

Objetivo: Determinar si la presencia de los diferentes tipos de Candida sobre el reborde alveolar en pacientes desdentados totales y parciales varía en diabéticos tipo II y no diabéticos y relacionarlo con el flujo salival.

Metodología: Tipo de estudio. Prospectivo, transversal, descriptivo y observacional.

Muestra. 15 pacientes diabéticos tipo II y 15 pacientes sanos, desdentados portadores de prótesis, que acuden a consulta a Facultades de Odontología y Medicina de la UAdeC.

Se midió la glucemia con un glucómetro digital, y se tomó una muestra con un hisopo estéril de la mucosa desdentada que soporta la prótesis. Los hisopos fueron colocados en tubos estériles con el medio de Stuart, rotulados y almacenados entre 2 - 8° C, fueron sembrados en un medio de cultivo CandiSelect 4, se incubaron en una atmósfera aerobia entre 35 a 37° C. Se hizo el análisis visual colorimétrico y cuantitativo del número de colonias (especies de Candida: rosa a violeta: Candida albicans, turquesa intenso: Candida tropicalis, centro turquesa con periferia blanca: Candida glabrata, turquesa con contornos irregulares blancos: Candida krusei. Se realizó una sialometría en reposo durante un minuto, recolectando con una jeringa lo colectado en el piso de la boca.

Resultados: Ambos grupos (diabéticos y sanos) eran desdentados parciales o totales y portadores de prótesis mucosoportadas, con una edad media de 63 años, 21 eran del sexo femenino y 9 del masculino. Al relacionar el valor de glucemia con la presencia o no del hongo no hubo influencia en las colonias de hongos. Se encontraron más colonias de Candida en pacientes con glucemias <150 mg/dl. La xerostomía, no tuvo correlación con la presencia de Candida, en ambos grupos se encontró hiposalivación.

Conclusiones: No encontramos diferencias significativas en el grupo diabético al compararlo con el control. La cantidad de colonias formadas fue mayor en el grupo de pacientes control. En el grupo DM destacó C. albicans y en el grupo control C. tropicalis. Al relacionar el flujo salival, la presencia de Candida y DM no hubo correlación. Consideramos que el flujo salival está más relacionado a la edad de los pacientes.

A31

ALTERACIONES HISTOMORFOMÉTRICAS DEL HUESO PERILESIONAL EN QUISTES Y TUMORES ODONTOGÉNICOS

Baró MA, Rocamundi MR*, Viotto JO, Asis Onell G, Ferreyra de Prato RS
Cátedra de Anatomía Patológica "A" - Facultad de Odontología UNC / Facultad de Ciencias Médicas UNC

Introducción: Los huesos maxilares poseen características y trofismo únicos. Pueden ser asiento de patologías óseas, incluidas quísticas y tumorales. Los quistes odontogénicos son consideradas "Lesiones precursoras" de tumores. Los rasgos histopatológicos permiten, junto a signos clínicos y estudios por imágenes, un diagnóstico certero. Las lesiones osteolíticas, alteran la resistencia del hueso, su valoración ha sido estudiada por diversos autores, no así la microestructura del mismo. **Objetivo:** analizar histomorfométricamente el hueso perilesional, en quistes y tumores odontogénicos.

Material y métodos: se estudiaron biopsias de hueso del material de archivo del Laboratorio de Anatomía Patológica de la Facultad de Odontología UNC (1993-2013, N=406). Se seleccionaron 28 casos, divididos en 3 grupos: control (N:9), periquístico (N:12) y peritumoral (N:7), fijadas en formol, descalcificadas, incluidas en parafina, coloreadas con HE. Se realizaron registros histomorfométricos de las lagunas osteocíticas del entorno, mediante programa Image Pro-Plus y los datos fueron tratados analizados estadísticamente mediante ANOVA y DHS de Tukey complementario.

Resultados: las áreas osteocíticas (μm^2 los grupos periquístico y peritumoral presentaron diferencias estadísticamente significativas ($p > 0.05$), aunque la diferencia de medias entre ellos (6.18 μm^2) fue escasa. Los cambios existentes entre estos grupos (periquístico y peritumoral) y el grupo control, (43.20 μm^2 y 49.38 μm^2) respectivamente, evidenciaron diferencias muy significativas ($p < 0.01$).

Conclusión: El hueso periquístico y peritumoral presentó una reducción significativa del tamaño de las lagunas osteocíticas. Estos cambios similares a los encontrados en estudios anteriores, podrían deberse a la compresión ejercida sobre el hueso por las patologías estudiadas.

A32

ANÁLISIS MORFOLOGICO Y MICROMINERAL DE HUESO PERIQUISTICO (HP) EN MAXILARES HUMANOS POR MICROSCOPIA ELECTRONICA DE BARRIDO (MEB)

Rocamundi MR*, Kaplan R, Corominas Ruiz O, Vilchez J, Ferreyra de Prato RS
Cátedra de Anatomía Patológica "A" - Facultad de Odontología UNC / FAMAFA - UNC / Hospital Privado de Córdoba

Los procesos quísticos y tumorales que afectan los huesos maxilares producen cambios, como la pérdida ósea y alteraciones biomecánicas. En trabajos previos realizados en hueso perilesional con microscopía óptica se encontraron cambios histomorfométricos con una reducción de cantidad y volumen de lagunas osteocíticas en el HP.

OBJETIVO: Realizar un análisis micromineral del HP para observar cambios en las proporciones minerales presentes en el HP por microscopía electrónica de barrido (MEB) y correlacionar con microscopía óptica (MO). **MATERIALES Y MÉTODOS:** Se utilizó material de archivo sin descalcificar provenientes del laboratorio de Anatomía Patológica de la Facultad de Odontología UNC (período 2013-2014), proyecto aprobado por el comité de ética (Repis-70/14). El grupo experimental estuvo conformado hueso periquístico (N=4): Quiste Inflamatorio, Quiste Dentígero, Queratoquiste y Quiste Óseo Simple. Se compararon con un grupo control de hueso sano (N=3). Se realizó análisis micromineral con un detector de electrones de SEM (Lamarx, FAMAFA, UNC) y se identificaron los elementos presentes en la muestra en un porcentaje mayor al 1% y se estudiaron las proporciones entre los diferentes elementos presentes mediante un análisis estadístico semicuantitativo (Axil, FAMAFA, UNC) y por estadística analítica tradicional. **RESULTADOS:** El HP mostró cambios en la relación calcio-fósforo (1,3-1) con respecto al hueso normal (2-1), además de cambios proporcionales con sodio y magnesio. Por otro lado, se registró un aumento importante de la cantidad de azufre, alcanzando las proporciones de los principales elementos constitutivos del hueso periquístico (máximo 23,4%), causado por la caída importante del calcio. Los análisis semicuantitativo y estadístico mostraron diferencias estadísticamente significativas. **CONCLUSION:** El hueso periquístico presenta una reducción significativa del Ca en su estructura mineral, y cambios en su relación con la cantidad de Fósforo, Magnesio, Azufre y Sodio. Estos hallazgos serían útiles para elaborar medidas tendientes a favorecer la recuperación post- tratamiento quirúrgico.

PROYECTO SECYT: 05/J105

A33

SALUD BUCAL EN PACIENTES HOSPITALIZADOS: RELEVAMIENTO EFECTUADO POR ALUMNOS DE ODONTOLÓGIA

Cruz ME*, González NN, Módena JC, Rubio MC, Nicolosi LN
Cátedra Patología y Clínica Bucodental, Facultad de Odontología de la Universidad de Buenos Aires. División Cardiología Hospital Español de Buenos Aires

El paciente (P) hospitalizado introduce al alumno en una faceta del conocimiento asistencial que demanda en primera instancia de la evaluación de la salud bucal de estos enfermos. **Objetivos:** realizar con alumnos un relevamiento de la salud bucal en pacientes hospitalizados. **Materiales y métodos:** alumnos de Medicina Interna en la Práctica de la Odontología de la FOUBA con supervisión docente efectuaron entre mayo 2013 y setiembre 2014 un relevamiento en P internados en los Hospitales José de San Martín y Español de Buenos Aires. Incorporaron datos de la historia clínica relacionados a patología, edad y sexo. Determinaron el índice CPOD, interrogaron sobre frecuencia y motivo de consulta odontológica y los hábitos de higiene. En un subgrupo se determinó el Índice de Necesidad de Tratamiento Periodontal para la Comunidad (INTPC). El análisis estadístico se efectuó con SPSS 20 empleando ANOVA, coeficiente de correlación de Pearson, con error $\alpha=0.05$ e intervalos de confianza (IC) del 95%. **Resultados:** se evaluaron 357 P, se excluyeron los desdentados totales, ingresando 311, la edad fue 57.81 ± 18.93 años (93-18). Mujeres 172 (54.3%). Piezas Cariadas (C) 11.13 ± 8.89 (0-28), Perdidas (P) 2.30 ± 3.29 (0-24), Obturadas (O) 16.09 ± 7.57 (1-28), CPOD 29.67 ± 17.55 . A un subgrupo de 151 P se les efectuó el INTPC. Los sitios fueron (14-17): 1.19 ± 1.14 ; (13-23): 1.42 ± 1.17 ; (24-27): 1.34 ± 1.13 ; (37-34) 1.39 ± 1.21 ; (33-43) 1.40 ± 1.07 ; (44-47) 1.29 ± 1.08 . Global 1.46 ± 0.98 . El 17% presentaba enfermedad periodontal moderada a severa con un INTPC ≥ 3 y el 34% INTPC=2. Se encontró correlación entre edad y CPOD $r=0.68$ ($p<0.01$), edad y piezas P $r=0.70$ ($p<0.05$). Sin correlación con la frecuencia y tipo de higiene. En la sexta década se observaron diferencias en el CPOD, dividiéndose los P en mayores y menores de 50 años. C 2.36 ± 2.08 vs 2.98 ± 2.16 ($p:NS$), P 17.34 ± 8.58 vs 5.32 ± 4.61 ($p=0.000$; IC95% 8.03-11.42), O 1.08 ± 2.03 vs 2.73 ± 2.97 ($p=0.001$; IC95% 1.72-0.63), CPOD 20.42 ± 6.37 vs 11.65 ± 4.56 ($p=0.000$; IC95% 6.97-10.79), respectivamente. **Conclusiones.** El 51 % de los pacientes necesitaba algún tipo de tratamiento odontológico para su patología periodontal. En 41% requería tratamiento por caries. El CPOD se relacionó con la edad a expensas de las piezas perdidas.

A34

ESTUDIO PRELIMINAR. PRESUNCIÓN CLÍNICA DE LESIONES ESTOMATOLÓGICAS RELACIONADAS A LA INFECCIÓN POR HPV EN MUJERES, CON HPV EN EL TRACTO GENITAL INFERIOR.

Verdu S*, Nalli G, Tatti S, Lanfranchi H
Facultad de Odontología. Universidad de Buenos Aires

Objetivo: Se atribuye a la infección por HPV a la vasta mayoría de carcinomas espinocelulares de cuello de útero, pero es controversial en las lesiones premalignas y en el carcinoma espinocelular de boca. El objetivo de este trabajo fue establecer la relación entre las lesiones blancas estomatológicas sospechosas de infección por HPV, en pacientes con HPV demostrado en mucosa ginecológica. **MATERIALES Y MÉTODO:** Pacientes con lesiones producidas por HPV en tracto genital inferior derivadas del Servicio de Ginecología del Hospital de Clínicas "José de San Martín" Universidad de Buenos Aires, Argentina durante un año calendario, fueron derivadas al servicio de Clínica Estomatológica de la Facultad de Odontología de la Universidad de Buenos Aires para su examen estomatológico, evaluando la posibilidad de observar lesiones sospechosas provocadas por HPV. Se consignaron: edad, patología ginecológica, práctica de sexo oral, uso de barreras y se relacionó con la presencia de lesión estomatológica. Se incluyeron a aquellas pacientes que concurren a nuestro servicio y se excluyeron a todas aquellas mujeres que no tenían lesiones estomatológicas. Se consideraron lesiones clínicas estomatológicas sospechosas de infección por HPV (presunción clínica), aquellas manchas con aspecto blanco, brillante, planas con parches apenas elevados, microverrugosas y verrugosas. **RESULTADOS:** 67 pacientes concurren al servicio de estomatología, a todas se le realizó el examen estomatológico. De las cuales a la inspección oral sólo 17 tenían lesiones con presunción clínica de posible infección por HPV, lo que representa un 25% del total observado. De esas 17 pacientes, a 12 se les realizó la tipificación del HPV (PCR), dando positivo para 11 muestras (91.6%). Los tipos encontrados fueron 6, 11, 16, 18. **CONCLUSIONES:** Si bien sería necesario continuar este estudio para ampliar la muestra, no encontramos una asociación entre la prevalencia de lesiones ginecológicas y lesiones blancas estomatológicas. No obstante la presunción clínica de lesiones estomatológicas compatibles con infección por HPV se aproximó al resultado obtenido por PCR en 11 de las 12 tipificaciones realizadas ($p < 0.05$).

A35

EFFECTO INMEDIATO DEL USO DE COLUTORIOS SOBRE LA MUCOSA BUCAL. ESTUDIO PRELIMINAR.

Zapata M*, Allende A, Piñeiro Varini R, Robledo G, Arriaga A, Morelatto R
Facultad de Odontología UNC

Es frecuente el uso de colutorios como preventivo o para atenuar complicaciones bucales durante la radioterapia de pacientes con cáncer de cabeza y cuello. **Objetivo:** Analizar efectos inmediatos de soluciones usadas como colutorios sobre la mucosa bucal. **Material y método:** Se incorporaron 10 voluntarios: 8 femeninos y 2 masculinos, edad media 29 años, rango 24 a 44. Se les indicó efectuar el buche con 3 diferentes colutorios, en tres semanas diferentes (período de washout). Las soluciones utilizadas fueron clorhexidina al 0,12%, solución acuosa de iodopovidona 10% y agua oxigenada de 10 vol. diluida. Se instruyó a los voluntarios para realizar un buche enérgico con 10mL del colutorio durante 30". Con el fin de observar los posibles cambios en la mucosa se efectuó una citología exfoliativa del tercio medio de mucosa yugal izquierda pre-buche y otra inmediatamente post colutorio de la mucosa yugal derecha mediante espátula metálica. El material obtenido se fijó con laca, se tiñó con hematoxilina/eosina en la cátedra de Biología Celular A. Se observaron al Microscopio Óptico Motic BA 210; se fotografiaron los preparados con un zoom de 10X y 40X. A 10X se determinó el predominio de coloración basófila o acidófila y la aglutinación; a 40 X se obtuvieron imágenes para morfometría. Se utilizó el programa Image Plus 2.0 ML, se analizaron 50 células por preparado. Se obtuvieron 60 preparados 20 por voluntario. Se aplicó el test "t" para muestras apareadas. **Resultados:** Análisis a10X: iodopovidona Pre colutorio: predominio de células acidófilas (70%) y post menos células, más aglutinación y predominio de células basófilas (90%). Clorhexidina: predominio de células acidófilas en ambos preparados (90%). Agua oxigenada pre: menos células y aglutinación que en los post.,predominio de células acidófilas(60%) pre y basófilas(90%) post. 40 X: morfometría: cambios significativos post buche en área y perímetro de citoplasma y núcleo, en todos los colutorios estudiados ($p < 0,0001$), siendo más pronunciadas en el citoplasma que en el núcleo. **Conclusiones:** el presente trabajo, aunque preliminar, nos permite concluir que el uso de colutorios puede no ser inocuo en una población de pacientes con mucosa irradiada. SeCyT UNC RES: 165/14

A36

INFLUENCIA DE LA OBESIDAD EN ESTIMACIÓN DE LA EDAD CRONOLÓGICA

Aimo A*, Avellaneda RV, Aragón HN, Gordillo ME, López ME
Facultad de Odontología. Universidad Nacional de Tucumán. Av. Benjamín Aráoz 800.
CP.4000. S. M. Tucumán

Son múltiples los estudios epidemiológicos que muestran que la obesidad infantil ha alcanzado proporciones epidémicas a nivel mundial; y la prevalencia sigue aumentando de forma alarmante por lo que la OMS la ha definido como la epidemia del siglo XXI. **Objetivo:** Determinar la exactitud en la estimación de la edad cronológica a través de la calcificación de dientes permanentes, en imágenes radiográficas de pacientes niños normales y obesos. **Método:** Se seleccionaron niños (ambos sexos) que acudieron para estudios radiológicos previos al tratamiento odontológico integral. Rango de edad entre 5-12 años. Se clasificaron según peso y talla en: Grupo a) niños obesos (n=45) y grupo b) niños control (n=40). La edad cronológica fue obtenida entre fecha de nacimiento y fecha del estudio; la edad dentaria, a partir del estudio del desarrollo de siete dientes permanentes, mandíbula lado izquierdo, en radiografías panorámicas digitales, según método de Willems. Se determinó Índice de Masa Corporal (Peso/Talla², expresado en Kg/m²). Peso y talla según guías evaluación del crecimiento de Sociedad Argentina de Pediatría. **Criterio de exclusión:** niños con percentilo menor a 95 y diagnóstico de enfermedades sistémicas. El grupo de niños control fue tomado en concordancia al tamaño muestral de niños obesos. Los datos entre edad cronológica y edad dental fueron realizados con el test T pareado en ambos grupos con software spss. **Resultados:** en los niños obesos se encontraron diferencias significativas ($p < 0,05$) entre la edad dental y la edad cronológica. cuya media de diferencia relacionada, fue de una sobrestimación de: 0,2359 años: edad dental: ($x = 10,0380 \pm 1,50$), edad cronológica: ($9,8020 \pm 1,42$). En el grupo de niños normales no se encontraron diferencias significativas ($p > 0,05$) entre las edades dental y cronológica: edad dental: ($x = 8,414 \pm 1,92$), edad cronológica: ($8,3822 \pm 1,96$); media de la diferencia fue de 0,0318. **Conclusión:** El estado nutricional muestra la influencia en el desarrollo dentario de dientes permanentes de niños obesos, en la exactitud en la estimación de la edad a través del grado de calcificación en imágenes radiográficas. La influencia a otras variables dentarias será analizada en estudios posteriores.

A37

ESTUDIO COMPARATIVO DE VARIABLES RADIOGRÁFICAS ENTRE PACIENTES CON CANINOS SUPERIORES RETENIDOS Y NORMALES

Wuscovi LF*, Aragón HN, Jorrat M, Brito G, Medina JA, Rodríguez N. ME, López ME
Cátedra de Radiología de la Facultad de Odontología de la UNT

La retención de los caninos superiores produce múltiples consecuencias, como reabsorción de raíces de incisivos laterales y de incisivos centrales superiores. Su tratamiento o resolución no siempre es satisfactorio. La ubicación del canino superior retenido se realiza en la mayoría de los casos a través de imágenes radiográficas y a partir de ello se determina su plan de tratamiento.

OBJETIVO: Fue comparar y correlacionar las mediciones de variables distancias y ángulos sobre imágenes radiográficas en pacientes con caninos superiores retenidos y normales. **MÉTODOS:** Este estudio se realizó, a partir de mediciones sobre imágenes radiográficas digitalizadas (programa Image Tool) de las variables ángulo externo del canino superior y distancias a la línea media en mm de 36 pacientes con o sin caninos superiores retenidos de una población de San Miguel de Tucumán. Los datos obtenidos de ambos grupos de las variables ángulos y distancias fueron analizados con el Test T, para muestras independientes y para la correlación con el test de Pearson con el programa SPSS. **RESULTADOS:** A partir del análisis estadístico se determinó: a) la media de la distancia en mm del grupo de caninos retenidos fue $X = 11.07$ con un desvío estándar: 6,01 b) la media de la distancia en mm del grupo de caninos normales fue $X = 22.63$ con un desvío estándar: 3,13. c) la media del ángulo externo en grados de caninos retenidos fue de $X = 55.73$ con un error estándar: 18.62. d) la media del ángulo externo de caninos normales fue de $X = 88.04$ con un desvío estándar: 3.39. e). Entre las variables ángulos y distancias de ambos grupos se encontró diferencias significativa ($p < 0,001$). f) La correlación entre las variables mostró una asociación de $r = 0,75$. **CONCLUSIONES:** A partir de estos resultados concluimos que existe diferencia significativa entre las medias de los ángulos y distancias entre los grupos de caninos retenidos y normales y que dichas variables se encuentran altamente relacionadas. Por lo que se sugiere medir estas variables en edad temprana para orientar el diagnóstico preventivo de los caninos superiores retenidos. Estudio parcialmente subsidiado por el CIUNT.

A38

CAMBIOS EN LA EVOLUCIÓN CLÍNICA DE PACIENTES CON SIDA, DESDE LO ESTOMATOLÓGICO

Allende A*, Piccioni O, Fabbro A, Hernandez S
Cátedras de Entomología y Semiología. U.N.C. Consultorio de Estomatología del Hospital Rawson de Córdoba Cap.

La mayoría de los infectados por VIH, han presentado alguna manifestación en boca en algún estadio de la enfermedad.

Objetivo: determinar la prevalencia de lesiones bucales y su relación con recuento de linfocitos CD4, en un grupo de pacientes VIH+/ SIDA, que asistieron al Hosp. Rawson durante el período 1/ 2013-8/2014. **Métodos:** Fueron analizados 56 pacientes con VIH/SIDA, en el consultorio de Estomatología del Hospital Rawson. Se efectuó examen clínico para detección de lesiones presentes en la mucosa bucal. Se analizaron los siguientes parámetros: edad, sexo, años de infección, patologías estomatológicas, estado bucal, y dosaje de células CD4. Se correlacionaron lesiones estomatológicas con respecto al Recuento de: > 200 CD4, < 200 CD4. Los pacientes fueron divididos en dos grupos: de reciente diagnóstico (PRD): $n = 19$, aquellos que fueron examinados en el momento de la serología, y pacientes de consulta posterior (PCP): $n = 37$, aquellos examinados durante el curso de la enfermedad. **Resultados:** Edad promedio 38 años, rango de: 16 a 72 años. Sexo masculino 67,9 % ($n = 38$). Promedio de años de infección (sobrevida) de los PCP: 9 años. Patologías estomatológicas en general: al momento del examen bucal el 88% ($n = 49$) presentaba algún tipo de lesión. Al analizar la prevalencia se observó que en ambos sexos las lesiones más frecuentes fueron las micóticas (M: 65%, F: 35%), dentro de estas, más frecuente la Candidiasis Crónica Eritematosa (CCE), seguida de C. pseudomembranosa. Luego, patologías virales (M: 100%), y de estas las provocadas por el Herpes virus (HVS). Al evaluar las patologías bacterianas la más observada fue el Eritema Gingival Lineal (EGL), y dentro de las tumorales solo se observó Sarcoma de Kaposi (M: 100%). En ambos sexos, se observó mayor número de lesiones en pacientes con $CD4 < 200$ (64%) que en pacientes con $CD4 > 200$ (36%). **Conclusion:** Pacientes con cifras de $CD4+$ por debajo de 200 cel/mm³ están más expuestos a presentar lesiones bucales, dado a que el incremento del dosaje de CD4 en pacientes bajo TAR es lento. No obstante el diagnóstico temprano de la infección por VIH y los TARV actuales, aumentan la supervivencia como así también la calidad de la misma.

A39

ESTUDIO COMPARATIVO SOBRE EL COMPORTAMIENTO Y LA DISTRIBUCIÓN DE LAS TENSIONES EN IMPLANTES DENTALES CORTOS E IMPLANTES DENTALES ESTÁNDARES EN LA REGIÓN POSTERIOR DEL MAXILAR SUPERIOR. UN ESTUDIO EN ELEMENTOS FINITOS

Loyola González P*, Torassa D, Dominguez A
Facultad de Odontología Universidad Nacional de Córdoba

Estudios actuales concluyen que “la tensión máxima y la mayor distribución de fuerzas” se produciría alrededor del cuello del implante avalando el uso de implantes dentales cortos.

Objetivos: comparar la distribución de las tensiones entre un implante dental corto oseointegrado en distintas disponibilidades óseas verticales y un implante estándar oseointegrado en el sector posterior del maxilar en terreno “mixto”. Conocer la distribución de las tensiones de cada uno de los modelos creados para este estudio. Estudiar si el aumento del diámetro del implante corto incide de manera favorable en la distribución comparativa de las tensiones. Analizar si los resultados obtenidos en los distintos modelos creados con las variables propuestas avalan el uso de implantes dentales cortos. El **método** fue el Método de Elementos Finitos (MEF).

Resultados: los máximos valores de Mises se concentran en la porción cervical del implante. Las tensiones en el implante, en todos los modelos, están dentro del mismo rango. Además observamos que a mayor módulo de elasticidad de los elementos que componen los modelos mayor es la absorción de las fuerzas por parte de ellos. Las tensiones en el hueso cortical en los modelos no mostraron diferencias significativas, pero en el modelo que aumentamos el diámetro del implante a 4.8 se produce una marcada disminución de las tensiones en el hueso. La comparativa de las tensiones en el hueso esponjoso muestra que existe diferencia en las tensiones producidas en el hueso con Bio-Oss®. El hueso regenerado Bio-Oss® está localizado en la porción apical del implante por consiguiente queda lejos de la zona de mayor concentración de los esfuerzos.

Conclusiones: el uso de implantes dentales cortos en el sector posterior del maxilar superior pueden ser considerados como una alternativa razonable debido a su predictibilidad fundamentada en este y en varios estudios. La máxima concentración de las fuerzas a nivel cervical es independiente de la longitud del implante, siendo más favorable el aumento del diámetro. La colocación de implantes cortos en hueso de baja calidad parece posible, aunque recomendamos mayores investigaciones. Finalmente, el criterio de elección del implante ante situaciones de terreno de implantación desfavorable dependen del operador.

A40

SÍNDROME DE WILLIAMS-BEUREN. ESTUDIO PRELIMINAR

Mercado G1, Gili J2, Giardini A3, Castro Y3, Alurralde P3, Pavan V3* Centro Nacional de Genética Médica1, Cemic2, Cátedra de Odontología Integral Niños FOUBA3

El Síndrome de Williams-Beuren (SWB; MIM 194050) es un desorden multisistémico causado por microdelección de la región cromosómica 7q11.23. Tiene una prevalencia estimada entre 1/7500 a 1/25000 nacidos vivos. **Objetivos:** Estimar la frecuencia de alteraciones bucales (ausencia de piezas dentarias, retardo en la exfoliación, alteraciones morfológicas) Relacionar el retardo en la exfoliación y las alteraciones cardíacas. **Métodos:** Diseño: Prospectivo, observacional transversal. Se evaluaron pacientes con diagnóstico de SWB confirmado por la técnica de FISH derivados del Centro Nacional de Genética a la Cátedra de Odontología Integral Niños FOUBA. Los datos obtenidos de las Historias Clínicas médicas y odontológicas y de radiografías panorámicas fueron registrados en planillas diseñadas para tal fin y procesados estadísticamente utilizando porcentajes con IC del 95% y test exacto de Fisher para la asociación entre persistencia de dientes primarios y alteraciones cardiovasculares. **Resultados:** la muestra quedó conformada por 12 pacientes entre 4 y 16 años (50% masculinos). El 100% presentaron rasgos faciales característicos. En relación con las manifestaciones bucales el 41,67% (15,2–72,3) presentó agenesias de piezas dentales permanentes el 100% en maxilar inferior, 33,33% (9,79-65,2) alteraciones de tamaño y forma y 33,33% (9,79-65,2) de los pacientes en edad de dentición mixta revelaron persistencia de piezas primarias. El 66,6% (34,79-90,2) presentó alteraciones cardiovasculares e hiperacusia. La relación alteraciones cardíacas y persistencia de piezas primarias no fue significativa (0,073). **Conclusiones:** Se observó una alta frecuencia de manifestaciones bucales, sin asociación significativa entre alteraciones cardíacas y persistencia de piezas primarias. Será necesario aumentar el número de la muestra

A41

EFECTO DEL ISOPROTENEROL Y DE LA IGG ANTI BETA 1 PERIODONTAL EN EL MIOCARDIO AURICULAR AISLADO DE RATA

Ganzinelli S*, Borda E

Cátedra de Farmacología, Facultad de Odontología, Universidad de Buenos Aires y CONICET. Buenos Aires, Argentina.

La enfermedad periodontal (EP) es una patología multifactorial con un componente autoinmune/inflamatorio del periodonto causada por bacterias anaerobias gram negativas. Hemos descrito recientemente autoanticuerpos (IgG) presentes en el suero de pacientes con EP que reconocen al receptor beta 1 adrenérgico (IgG anti- β 1AR) expresado en la aurícula aislada de rata, los cuales presentan un efecto biológico similar a un agonista parcial adrenérgico auténtico alterando su contractilidad. El objetivo de este trabajo es determinar el efecto del isoprotenerol (ISO) y de la IgG anti- β 1AR en la capacidad antioxidante de los tejidos de la aurícula aislada de rata en un modelo de hipoxia-reperfusión. Utilizando aurículas aisladas de rata macho de la cepa Wistar adultas, se midió la actividad de las enzimas súper-óxido dismutasa (SOD) y catalasa (CAT) por ensayos de ELISA en presencia y en ausencia de ISO ($1 \times 10^{-7} M$) e IgG anti- β 1AR ($1 \times 10^{-8} M$) en normoxia (control), hipoxia y perfusión. Los resultados nos indican que en los grupos tratados con ISO e IgG anti- β 1AR la actividad de SOD se incrementó significativamente ($p < 0.001$), mientras que, la actividad de CAT disminuyó significativamente ($p < 0.001$). Estos resultados nos permiten inferir que la acción de la IgG anti- β 1AR y del ISO alterarían la capacidad antioxidante del miocardio auricular, lo cual incrementaría la lesión del tejido miocárdico en el curso de la fase aguda temprana de una isquemia cardíaca.

A42

EFECTO ANTIMICROBIANO DE SOLUCIONES DE PROPÓLEOS EN STREPTOCOCCUS SANGUINIS

Vaculik PA*, Rosende RO, Cardozo B, Perez SR, Lozina L
FACULTAD DE ODONTOLOGIA-UNNE

Objetivo: determinar el efecto antibacteriano de extracto etanólico de propóleos (EEP), sobre *Streptococcus sanguinis*.

Métodos: se obtuvo la solución de EEP, utilizando como diluyente solución alcohólica al 55% v/v, en una relación 1:2 (30grs de propóleos 60 grs de etanol al 55%), se mantuvo por 7 días al resguardo de la luz, con una agitación una vez por día, se filtró y esterilizó. Se realizó el estudio antimicrobiano sobre *Streptococcus sanguinis* mediante la prueba de susceptibilidad utilizando discos impregnados con diluciones de la solución de propóleos al 10, 5 y 2.5%. Luego de obtener los extractos se sumergieron en discos de papel filtro de 4 mm de diámetro, se dejaron secar en condiciones de esterilidad, luego se colocaron sobre las placas de medio de cultivo previamente sembradas con una suspensión equivalente al 0,5 McFarland, del microorganismo en fase exponencial. Luego se llevaron a incubación a 37° por 48 hs y se procedió a realizar la medición correspondiente. Las pruebas se realizaron por triplicado. Los datos de los halos de inhibición obtenidos se analizaron mediante *Anova*, utilizando el programa Infostat. **Resultados:** los resultados arrojaron los siguientes valores, para la diluciones de 2.5% de EEP, se observó halos de inhibición de $8,5 \pm 1$; a concentraciones del 5%, se hallaron halos de 12 ± 25 , en concentraciones del 10% se hallaron halos de 23 ± 2 .

Conclusiones: los resultados de este estudio revelan que concentraciones del 5 y 10% de EEP, fueron las que poseen actividad antimicrobiana sobre el *Streptococcus sanguinis*. posteriores estudios se están realizando para determinar la concentración inhibitoria mínima por técnicas de diluciones seriadas en placa.

B01

CONTROL BIANUAL DE SOBREVIDA ACUMULADA DE RESTAURACIONES TRA Y CONVENCIONALES EN PACIENTES CON DISCAPACIDAD

Molina GF*, Mazzola I, Brain L, Cabral RJ, Frencken JE
Facultad de Odontología, Universidad Nacional de Córdoba

Objetivo: Evaluar el comportamiento clínico en control bianual de tratamientos restauradores atraumáticos (TRA) y convencionales (TRC) en pacientes con discapacidad. **Materiales y métodos:** Se incluyeron pacientes con discapacidad reconocida, derivados para tratamiento de caries. Los participantes recibieron información objetiva oral y escrita sobre el estado de salud bucal y las alternativas terapéuticas, seleccionando la opción que consideraban más adecuada para cada paciente. Se implementaron dos protocolos restauradores: TRA (remoción manual de caries y obturación con ionómero vítreo de alta viscosidad) y TRC (remoción mecánica de caries y obturación con resina compuesta). Cuando las opciones anteriores no fueron factibles de implementar en la clínica, el tratamiento se llevó a cabo bajo anestesia general utilizando el protocolo TRC. Las restauraciones fueron evaluadas por dos operadores calibrados independientes, a los 6, 12 y 24 meses, utilizando los códigos del criterio TRA. El modelo proporcional de Hazard (Jackknife) con correcciones de fragilidad se aplicó para calcular estimaciones de supervivencia de restauraciones en un período de dos años. **Resultados:** Se atendieron 66 pacientes (13.6 ± 7.8 años de edad) con 16 condiciones médicas diferentes. El protocolo TRC resultó factible de implementar en 5 pacientes (13%) en la clínica mientras que el TRA pudo aplicarse en 47 pacientes (71.2%). 14 pacientes fueron derivados a anestesia general (21%). En total, se restauraron 298 lesiones por caries en dentina de dientes temporarios y permanentes, 182 (TRA) y 116 (TRC). El porcentaje de éxito de las restauraciones y su error estándar fue $94.8 \pm 2.1\%$ para el grupo TRA y $86.5 \pm 4.1\%$ para el TRC ($p=0.01$). **Conclusión:** Los resultados indican que el TRA es una alternativa terapéutica efectiva para restaurar lesiones de caries en pacientes con discapacidad, en quienes el abordaje convencional puede presentar dificultades para su implementación en la clínica.

B02

RESISTENCIA A LA TRACCIÓN DE DISTINTOS POSTES EN CONDUCTOS AMPLIOS Y NO CIRCULARES

Gigena C*, Visvisián C, Julián S
Facultad de Odontología - U.N.C

La íntima adaptación de postes a los conductos radiculares es importante para lograr su fijación. Esto motiva que la utilización de postes orgánicos no esté indicada cuando el conducto es amplio, de forma ovoide o acintado. **OBJETIVO:** Evaluar la resistencia a la tracción de postes intraradiculares en conductos amplios confeccionados con diferentes técnicas. **MÉTODO:** 60 premolares inferiores extraídos por razones ortodóncicas fueron tratados endodónticamente con técnica convencional, obturados con gutapercha y cementados con cemento resinoso AH Plus (Dentsply, Maillefer). Los 5 grupos se formaron aleatoriamente. En todos los grupos preparados con postes orgánicos se utilizó la marca FRC Postec Plus (Ivoclar Vivadent, Schaan, Liechtenstein) y en todos los casos se cementó con cemento dual Multilink (Ivoclar Vivadent, Schaan, Liechtenstein). Grupo n°1 (control): poste orgánico técnica convencional (conducto no amplio). Grupo n°2: ensanche amplio y estandarizado, tratado con pernos colados. Grupo n°3: ensanche amplio y estandarizado, con técnica de poste anatómico. Grupo n°4: ensanche amplio y estandarizado, con técnica de refuerzo dentinario interno con resinas y Grupo n°5: ensanche amplio y estandarizado, con poste orgánico y rellenado con cemento. Se realizaron pruebas de tracción en Máquina de Ensayo Universal (Diginess – MX5000), con velocidad de travesaño de 0,5mm/min, hasta lograr la remoción de los postes. Los datos se procesaron con la prueba de ANOVA y test de comparaciones múltiples de Tukey. **RESULTADOS:** Al aplicar la fuerza máxima de tracción la media y DS expresados en N fueron: G1)157,03(53.00) G2)309,68(91.22), G3)265,46(75.70), G4)148,46(70.44), G5)209.83(54.55). Los grupos 2 y 3 (que copian la anatomía de los conductos) presentaron diferencias significativas ($P < 0,004$) respecto a los otros grupos. **CONCLUSIONES:** Los resultados sugieren que los postes adaptados a la anatomía de los conductos amplios y no circulares mejoran significativamente la fijación de los mismos. No hubo diferencias respecto a su composición orgánica o metálica. El refuerzo dentinario con resinas debería ser objeto de más estudios para recomendar su aplicación clínica.

B03

EVALUACIÓN CLÍNICA MULTIVARIADA DE FACTORES RELACIONADOS A LESIONES CERVICALES DENTARIAS

Busleimán FJ*, Brunotto M, Spadillero MM

Facultad de Odontología. Universidad Nacional de Córdoba.

El tercio cervical dentario es zona de asiento de lesiones cariosas (LC), no cariosas (LNC) y lesiones mixtas (LM). **OBJETIVO:** Identificar frecuencia de cada tipo de lesión del tercio cervical, y su multicausalidad, a fin de establecer un patrón de factores de riesgo, y la relación con tejidos periodontales. **MÉTODOS:** estudio transversal (n=102) pacientes sanos, ambos géneros, 18-55 años, con lesiones cavitadas. Se evaluaron características biodemográficas, hábitos culturales, riesgo cariogénico, estado periodontal y oclusión. Las lesiones fueron caracterizadas de acuerdo a forma, fondo, tejidos involucrados y sensibilidad. En odontograma se registraron lesiones por clasificación FDI y en ficha periodontal profundidad de sondaje, NIC, índice gingival, fenotipo periodontal y cantidad de encía insertada. Estudio univariado con pruebas $\chi^2(n-1)$ o Mann-Whitney U-p-valor <0.05 para significancia estadística. Estudio multivariado exploratorio de patrones de asociación por Análisis de Correspondencia. **RESULTADOS:** 64 fueron mujeres (edad media $37,5 \pm 10,7$) y 38 hombres, (media de edad $36,4 \pm 11,7$). Un 17% presentaron LC, 16% LM y 67% LNC de fondo duro. Se observó significación estadística ($p < 0.05$) en: edad, número de lesiones, momentos de acidez, momentos de azúcar, frecuencia de cepillado, tabaco, índice de placa, índice gingival, NIC, profundidad de sondaje, cantidad de encía insertada, riesgo de caries, guías, facetas, bruxismo, tipo de cepillo, lesiones, tejidos involucrados, diagnóstico periodontal, placa bacteriana, sangrado y grado de recesión. El análisis multivariado mostró los siguientes patrones: LNC asociadas a riesgo cariogénico bajo y moderado, placa y sangrado 0, bajos momentos de azúcar y acidez, frecuencia de cepillado mayores a 2, lesiones que afectan esmalte-dentina (ED) y cemento, periodontitis leve, recesión 1 y 2, encía insertada $< 1\text{mm}$, bruxismo; las LC se relacionaron con tejidos ED, gingivitis sin recesión. **CONCLUSIÓN:** Las lesiones más frecuentes del tercio cervical son LNC y se hallan asociadas a factores culturales como dieta e higiene, periodontitis leve con recesión y sin bolsa y hábitos de bruxismo.

B04

SISTEMA DE APOYO CENTRAL ÚNICO CON PLATINAS CURVAS Y RECTAS PARA REGISTROS EN DESDENTADOS

Aredes JE*, Fassina NA, Macchi RL

Cátedra de Clínica I de Prótesis; Facultad de Odontología, UBA.

OBJETIVO. Comparar el registro de la posición intermaxilar de Relación Céntrica en el paciente desdentado total obtenido con el uso de dos variantes del sistema BOPAYACU (platina curva y recta) y con la técnica de inducción manual

MÉTODOS. Se incluyeron en el estudio 17 pacientes, 11 mujeres y 6 varones con edad promedio de 70 años. En cada uno de ellos se obtuvieron en la misma sesión y en la misma dimensión vertical tres registros intermaxilares con cubetas rodete de acrílico: uno con inducción manual (IM), otro autoinducido con el sistema BOPAYACU utilizando una superficie palatina de registro curva (BYC) y un tercero con este mismo sistema pero con la superficie palatina recta (BYR). Los modelos correspondientes fueron montados en un articulador Whip Mix modelo 2240 al que se le adicionó un dispositivo de posición condilar (Orthodont) para registrar, a nivel de la caja condílea y la platina incisiva, las diferencias existentes entre las posiciones registradas con cada una de las versiones del sistema BOPAYACU y la posición registrada con inducción manual. Las distancias fueron medidas sobre papel milimetrado provisto por el fabricante del sistema de registro. El análisis estadístico se llevó a cabo mediante el cálculo de intervalos de confianza (95%) para las diferencias medias y prueba de t de Student para datos apareados (nivel de significancia: $\alpha < 0,05$).

RESULTADOS. Tanto en el plano mesiodistal como en el vertical a nivel de cada caja condílea como en la platina incisiva, se encontró diferencia estadísticamente significativa entre las tres variables de registro ($p < 0,001$). A nivel de las platinas incisivas tanto BYC como BYR proporcionaron registros más retrusivos que IM [medias aritméticas (desviaciones estándar) en milímetros: 3,82 (2,1^o) y 4,53 (2,18), respectivamente]. Los obtenidos con BYR fueron significativamente más retrusivos que en el grupo BYC [media aritmética (desviación estándar) en milímetros: 1,41 (1,00)].

CONCLUSIÓN. Rechazamos la hipótesis nula que propone que los tres sistemas de registro expuestos son clínicamente equivalentes para establecer una posición de registro intermaxilar en desdentados totales

B05

NO SE PRESENTA

B06

PIGMENTACIÓN POR CAFÉ Y YERBA MATE SOBRE COMPOSITOS CON DIFERENTES MANEJOS EN LA MANIPULACIÓN

Lei MA*, Kaplan AE
Materiales Dentales FOUBA

Objetivo: En un trabajo anterior se evaluó el efecto de la terminación superficial y el espesor de polimerización sobre el color de los composites, luego de la inmersión en diferentes infusiones. El objetivo de este trabajo fue determinar estas mismas variables en diferentes tiempos de inmersión: 7 y 30 días.

Materiales y métodos: Se confeccionaron probetas de 10 mm de diámetro y 2 y 4 mm de espesor con Filtek Z350 XT Universal Restorative 3M ESPE (Z) y Brilliant NG COLTENE (B), ambos color A2 en una sola capa de material. Se polimerizaron por 120 segundos. Para cada grupo se conformaron subgrupos en función de las variables analizadas: pulido, espesor e infusión a sumergir. Cada grupo quedó conformado con 3 probetas de cada material y tratamiento. Se tomaron fotografías de cada grupo y se determinó el espacio del color CIELab en dos puntos al azar en cada muestra. Se preparó café (C) y mate (M) (Nescafé Clásico y Unión Suave respectivamente) con agua destilada y se diluyeron en saliva artificial. Se sumergieron las probetas en 10 ml de esta solución a 37°C. Se limpiaron con agua destilada y se volvieron a fotografiar a los 7 y 30 días. Se determinó valor "L" del CIELab en dos puntos de cada muestra, el más y el menos pigmentado macroscópicamente. La media obtenida de cada grupo fueron analizados por medio de ANOVA.

Resultados: Los valores máximos registrados para L al cabo de un mes fueron: CAFÉ: B: 2mm: PULIDO(P)(L: 39.5), NO PULIDO (NP)(L: 39); B: 4mm: P(L: 46.5), NP(L: 39.5); Z: 2mm: P(L: 36), NP(L: 23.5); Z: 4 mm: P(L: 38), NP(L:28.5); MATE: B: 2mm: P(L: 46.5), NP(L: 45.5); B: 4 mm: P(L: 48), NP(L: 50); Z: 2 mm: P(L: 42.5), NP(L: 37.5); Z: 4 mm: P(L: 47), NP(L: 42.5). El análisis con ANOVA mostró la influencia significativa para las variables material, espesor, terminación, medio de inmersión, momento del registro y tiempo de inmersión para las variables estudiadas, así como para algunas de las interacciones ($p < 0.05$).

Conclusión: En las condiciones experimentales de este trabajo puede concluirse que el color de las resinas reforzadas puede verse significativamente afectado por su manipulación, el tiempo y el medio en que se encuentre inmerso.

Este trabajo fue parcialmente financiado por el subsidio 20020120100109BA de la Programación Científica de la UBA.

B07

ESTUDIO COMPARATIVO DE UN BETA-TCP ARGENTINO Y EL BETA-TCP ODONTIT® (USA)

Garcés MA*, Calvo Guirado JL, Malberti AI, Granados D LAMARX. FAMAFA (UNC), IIQ (UNSJ)

Introducción y Objetivo: En este trabajo se realiza un estudio comparativo de un nuevo biomaterial reabsorbible, beta tricalcio fosfato (β -TCP) argentino, formado a partir de la reacción entre fosfatos de calcio y ácido glicólico, con otro ya existente en el mercado, comercializado como Beta-TCP Odontit®, de fabricación estadounidense. Este biomaterial es utilizado como reemplazo de tejido óseo, en elevaciones del seno maxilar, aumento del volumen en defectos óseos laterales o verticales y relleno de defectos periodontales o peri implantarios, en seres humanos.

Materiales y Métodos: Ambos biomateriales fueron caracterizados mediante microscopía electrónica de barrido (SEM), a los fines de evaluar la estructura porosa, propiedad fundamental en la adhesión e invasión celular del injerto; difracción de rayos X (DRX), para la identificación y cuantificación de las fases cerámicas presentes; espectroscopia de energía dispersiva (EDS) para la determinación de la relación Ca/P, parámetro asociado a la capacidad de reabsorción de los biomateriales. La identificación de fases se realizó con el software PANALITICAL X'PERT Highscore® (Philips). La cuantificación de las fases minerales se realizó con el software DIFRAC PLUS TOPAS® (Bruker).

Resultados: El biomaterial argentino presentó un 97,07% de fase β -TCP, una relación Ca/P de 1,39, macroporos de tamaño entre 50 y 200 μm , microporosidad comprendida en un rango de 1 a 9 μm . El β -TCP marca Odontit® posee un 90,03% de fase beta, un 8,68% de una segunda fase, fosfato dicálcico, una relación Ca/P de 1,76, microporosidad de 1-4 μm ; no tiene macroporos.

Conclusiones: el β -TCP argentino muestra mayor porcentaje de pureza de la fase de interés, lo que se asocia a una alta biocompatibilidad; presencia de macroporos que permiten la adhesión, migración, e invasión celular; microporos, que favorecen el transporte de oxígeno y metabolitos; y una mejor relación Ca/P, más próxima a la ideal (1,5), características que favorecen la reabsorción del biomaterial y el reemplazo por neohueso. El Beta-TCP Odontit® no presenta macroporos necesarios para la invasión y viabilidad celular en el andamio, siendo más denso y menos reabsorbible.

B08

PREPARACIÓN Y EVALUACIÓN DE UN MONÓMERO TIPO ACRILATO-URETANO OBTENIDO DEL ISOSORBIDE (ISUDMA) COMO FUENTE NATURAL COMPARADO CON DIFERENTES MONÓMEROS EMPLEADOS EN RESINAS DENTALES

Berlanga Duarte ML, Reyna Medina LA, Torres Reyes P*, González Pérez SE Centro de Investigación en química aplicada, México/ Facultad de Odontología Unidad Saltillo de la Universidad Autónoma de Coahuila, México

OBJETIVO: Preparar y evaluar un monómero tipo uretano-acrilato derivado del Isosorbide con posible reemplazo del BIS-GMA y otros monómeros utilizados actualmente en resinas dentales.

MÉTODOS: Preparación del monómero ISUDMA, se lleva a cabo mediante síntesis orgánica en dos etapas. Se realizaron diferentes pruebas realizadas al monómero ISUDMA formulado como resina dental: Espectroscopia Infrarrojo en tiempo real (RT-FTIR), Medición de la contracción volumétrica en la polimerización, Medición de la microfiltración en especímenes dentales. En esta prueba se realizaron restauraciones en dientes, empleando la técnica de obturación en bloque, esto se realiza con diferentes formulaciones que contienen tanto el monómero sintetizado ISUDMA como los monómeros comerciales. **RESULTADOS:** En relación a la preparación del ISUDMA, el compuesto fue analizado y caracterizado por la técnica de Infrarrojo (FTIR) y de resonancia magnética nuclear de protones, que confirman la obtención del monómero ISUDMA con funcionalidad diacrilato. Mediante la cinética de infrarrojo en tiempo real (RT-FTIR) de los monómeros estudiados, se obtuvo para el monómero BIS-GMA una conversión de monómero a polímero de 60% mientras que el valor reportado en la literatura para éste es de 58%, lo que indica tener porcentaje de conversión similar a los comerciales. En la contracción volumétrica se observó para el BIS-GMA es de -5.74% cuando su valor reportado es de -6.1%, para el UDMA el valor experimental obtenido es de -5.32% mientras que su valor reportado es de -6.7%, y para el ISUDMA se obtuvo un valor de -2.98%, por debajo de los monómeros comerciales, evidentemente hubo una mejora en la reducción de la misma al utilizar el ISUDMA. **CONCLUSIONES:** Se logró obtener el monómero ISUDMA a partir de una fuente natural como lo es el isosorbide. En cuanto a su porcentaje en conversión de monómero a polímero mediante RT-FTIR se puede concluir que está dentro de las medidas estándares comerciales. En cuanto al cambio de volumen el encogimiento resultó ser menor que en los monómeros comerciales. El monómero ISUDMA tiene alto potencial para poder ser utilizado en resinas dentales.

B09

ANÁLISIS DE SUPERFICIE DE TRES TIPOS DE CIRCONIA

Capusotto A*, Tamini EliceGUI LE, Abate PF
Facultad de Odontología de la Universidad de Buenos Aires, Cátedra Odontología Integral Adultos

Objetivo: Comparar la porosidad superficial de 3 casquetes de circonia de marcas diferentes.

Método: La estructura de la sust. porosa generalmente queda definida mediante tres caract. geométricas básicas: vol. de los poros (porosidad), dimensión y superficie de estos. Todas estas caract. pueden determinarse utilizando diferentes métodos.

Dos téc. comunes para describir la porosidad son la determinación de vol. total del poro y la distribución del tamaño del poro. Para la mayoría de los mat. sólidos se utiliza nitrógeno a 77° K como adsorbato para evaluar la porosidad.

Se sometieron a análisis de porosidad mediante adsorción gaseosa con nitrógeno líquido a tres casquetes de circonia de dif. marcas comerciales: Ceramill (Amann Girrbach), Cercon (Dentsply-Ceramco) y ZirkonZahn (ZirkonZahn).

Conocer el área superficial y la porosidad del adsorbente (estructura de circonia) puede conseguirse a partir de una construcción de una isoterma de adsorción. Cuando la cantidad de adsorbato es medida bajo un amplio rango de presiones relativas a temperatura constante, el resultado alcanzado brinda una isoterma de adsorción. La isoterma de adsorción se obtiene punto a punto al admitir el adsorbente, sucesivos volúmenes conocidos de nitrógeno medidos a la presión de equilibrio. Similarmente las isotermas de desorción pueden obtenerse midiendo las cantidades de gas removido desde la muestra a medida que la presión relativa va disminuyendo. El ensayo se realizó con un Equipo Analizador de Área y Microporosidad marca MICROMERITICS modelo ASAP 2020 en la CNEA y es partes de mi tesis doctoral.

Resultado: Todos los casquetes de circonia analizados presentaron porosidades tan bajas que, con los métodos aplicados, la isoterma permanece prácticamente horizontal en todo el rango de presiones relativas aplicadas a temperatura constante de 77° K. Los valores del vol. adsorbido varían levemente pero siempre tienden a 0 (cero) y en todos los casos son similares al error de medición de las téc. aplicadas. Los valores negativos (que no tienen significado físico) reflejan este hecho.

Conclusión: Los casquetes de circonia de las tres marcas comparadas presentan un área superficial baja como consecuencia de la baja porosidad hallada en las determinaciones precedentes.

B10

DESPLAZAMIENTO ÁPICO-CORONAL DEL POSTE UTILIZANDO DIFERENTES TÉCNICAS DE INSERCIÓN DEL CEMENTO

Thompson L*, Kokubu S, Tamini EliceGUI LE y Abate PF
Cátedra Odontología Integral Adultos. Facultad de Odontología. Universidad de Buenos Aires.

El objetivo del presente estudio fue comparar el desplazamientoápico-coronal (DAC) de un poste orgánico reforzado con fibras de vidrio, utilizando tres técnicas diferentes de inserción del cemento dentro de la preparación radicular (PR) para su posterior fijación. Métodos: Se utilizaron 15 premolares inferiores humanos extraídos a los cuales, previo tratamiento endodóntico, se procedió a la desobturación parcial del conducto radicular siguiendo el protocolo sugerido por el fabricante de los postes a utilizar (Exacto Nro.1 - Angelus, Brasil) para lograr su asentamiento correcto dentro de la PR. Se tomaron radiografías de todas las muestras y se fijaron los postes bajo presión digital controlada, dividiendo aleatoriamente a los especímenes en 3 grupos de 5 cada uno, según la técnica de inserción del cemento de resina (RelyX U200 - 3M, USA) dentro de la PR: puntas automezcladoras (PA) (Elongation tip - 3M ESPE), past-inject (PI) (Micro-Mega - Francia) y el mismo poste (P) a fijar. Luego se transparentaron todas las muestras con el fin de poder determinar el DAC del poste medido en micrómetros desde la porción más coronal de la gutapercha hasta la porción más apical del poste. Para ello todas las piezas dentarias fueron fotografiadas utilizando un dispositivo "ad hoc" que permitió la toma de imágenes estandarizadas y su posterior digitalización y medición utilizando un programa que permite realizar análisis y mediciones microscópicas (CORELDRAW). Los datos obtenidos fueron analizados estadísticamente con el test de ANOVA. Resultados: Los resultados, expresados en términos de media aritmética, fueron respectivamente: PF:176.8, PI: 59.6, P:55.3. Los resultados no mostraron diferencias estadísticamente significativas en el DAC del poste dentro de su preparación ($p > 0.05$) entre los 3 grupos comparados. Conclusión: Si bien la utilización de PI para la fijación de postes de fibras de vidrio es una técnica poco recomendada ya que genera una aceleración en la reacción de polimerización del cemento de resina y la técnica con PF, al depositar el cemento desde apical hacia coronal, podría impedir su correcto esparcimiento, en el presente estudio no se hallaron diferencias estadísticamente significativas en el desplazamiento del poste en las 3 técnicas utilizadas.

B11

EFICACIA DE DISPOSITIVOS LEDS PARA EL CURADO DE UN COMPOSITE PARA ORTODONCIA

Pelossi PL*, Kaplan AE
FACULTAD DE ODONTOLOGÍA DE UBA

OBJETIVO: Comparar valores de dureza Barcol medida a los 10m y a 24hs de curado y de profundidad de curado, obtenidos con tres dispositivos LEDs en un composite para ortodoncia.

MÉTODOS: Se trabajó polimerizando composite ORTHOCEM (FGM/Brasil) con FlashMax2 (CMS Dental A/S-Denmark) FM2; DemiPlus (Kerr Corporation/USA) DP y MiniLED (Satelec/USA) ML. La potencia medida con radiómetro Demetron LED fue de 1190mW/cm², 950mW/cm² y 1400mW/cm² respectivamente. Se hizo actuar FM 3s, DP 5s y ML 10s, la energía total entregada al material fue de 3,57J/cm², 4,75 J/cm² y 14J/cm² respectivamente. Para la medición de dureza Barcol (Barber-Colman Co./IL) se confeccionaron probetas en forma de disco de 7mm diámetro x 2,5mm h, registrándose 3 valores en la cara expuesta a la luz y 3 en la opuesta. En 5 probetas para cada dispositivo, las determinaciones se hicieron a los 10m finalizado el curado y en otras 5 luego de 24h de almacenamiento en agua a 37°C. Los datos de profundidad de curado se midieron con micrómetro digital (Mitutoyo-MDC-1P) precisión 0.001mm, luego de insertar el material en matriz de 6mm x 4mm dm por quintuplicado por cada lámpara según ISO 4049:2009.

Los datos fueron procesados con análisis de variancia de una vía y prueba de Tukey para la variable profundidad de curado y análisis de variancia factorial con medidas repetidas para el factor cara de la probeta para dureza Barcol. Las comparaciones múltiples, cuando correspondía, se realizaron por medio de la prueba de Tukey. En todos los casos el nivel de significancia fue fijado: $p < 0,05$.

RESULTADOS: El análisis de datos dureza mostró efecto significativo de los factores cara (media global 68: expuesta a radiación y 42: opuesta) y tiempo (media global mayor a las 24h). Para los grupos por dispositivo se registraron valores medios globales de 34: FM; 54: DP y 78: ML, con diferencias estadísticamente significativas entre ellos. La profundidad de curado [media (desviación estándar)] fue: FM 4,04(0,11); DP 4,38(0,12); ML 4,94(0,49) con diferencia estadística significativa entre ML y los dos restantes grupos.

CONCLUSIÓN: La eficacia, evaluada en función de la dureza y profundidad de curado alcanzadas en un composite para ortodoncia está relacionada con la cantidad total de energía aplicada a éste durante el fotocurado.

Parcialmente financiado: subsidio 20020120100109 UBA

B12

COMPARACIÓN DE LA RESISTENCIA FLEXURAL DE RESINAS ACRÍLICAS ACTUALES PARA PRÓTESIS COMPLETAS

Atala J, Ocampo M*, Brochero G, Luis Croharé, Cabral R, Ibañez C
Facultad de Odontología - UNC

Introducción: Los materiales para bases de dentaduras han evolucionado en sus diversas etapas de desarrollo durante las últimas décadas. El material más utilizado en la elaboración de las prótesis dentales completas es el polimetacrilato de metilo; sin embargo este material no está exento aún de limitaciones, sobre todo en términos de resistencia flexural y resistencia al impacto. Se ha demostrado que las fracturas en la línea media de las bases de dentaduras son comunes. Resulta entonces, importante evaluar la resistencia flexural de dichas resinas teniendo en cuenta las diferentes técnicas para su procesamiento. **Objetivo:** evaluar el grado de resistencia a la flexión del polimetacrilato de metilo en distintas técnicas de polimerización. **Materiales y método:** se conformaron 3 grupos experimentales, cada uno con 20 probetas de polimetilmetacrilato, se utilizó únicamente el fabricado por New Stetic, Veracril, en forma de discos de 60 ± 1 mm de diámetro y $2,5 \pm 0,5$ mm de grosor los que se prepararon de acuerdo con los requerimientos que indica la Norma ISO 1567:1999 para realizar los ensayos. Las muestras se procesaron para su mutación con tres sistemas diferentes de curado: grupo 1: técnica compresiva por termocurado, grupo 2: técnica de autocurado hidroneumática, grupo 3: técnica por microondas. Para medir la resistencia flexural de cada una de las muestras se usó máquina de ensayo universal DIGIMESS, a una velocidad de avance constante de 5mm/min. Se contrastaron los valores de resistencia flexural de los tres grupos experimentales según rango de espesor de muestra mediante ANOVA de dos vías y test de Tukey. Se fijó el nivel de significación estadística en 0.05. **Resultados:** los acrílicos polimerizados por termocurado y por microondas registraron valores resistencia a flexural similares 77,0 y 78.1MPa de media respectivamente, sin diferencias significativas entre ellos ($p > 0,05$), en tanto que el grupo de autocurado registró valores significativamente menores que el resto (63.3MPa) ($p < 0,05$). **Conclusiones:** Los acrílicos polimerizados con microondas presentaron una mejor respuesta mecánica (mayor resistencia flexural) al considerar espesores mayores a 2mm, en espesores más delgados, el procedimiento de termocurado registró los mayores valores.

B13

EFFECTO DEL PROCESADO DE LAS RESINAS ACRÍLICAS TERMOPOLIMERIZABLES SOBRE LA RUGOSIDAD SUPERFICIAL

Di Benedetto S*; Galleano, S; Attorresi, B; Noste, J L, Arancegui, N
Facultad de Odontología - UNR

Objetivo: Comparar la rugosidad superficial de las resinas acrílicas termopolimerizables de curado lento y rápido en su superficie pulida y no pulida. **Materiales y métodos:** Se confeccionaron 20 muestras de resinas acrílicas simples termopolimerizables de 40 mm de diámetro y 4mm de espesor. Cinco especímenes se sometieron a curado rápido y sus superficies no fueron pulidas (CRNP)=grupo A, 5 de curado rápido pulidas (grupo B CRP), 5 de curado lento no pulidas (Grupo C CLNP) y 5 de curado lento pulidas (grupo D CLP). Las muestras se prepararon mezclando 7ml de monómero y polímero a saturación. Los grupos A y B se procesaron sumergiendo las muestras en agua a 20°C (temperatura ambiente) hasta alcanzar los 65°C durante 90 minutos y 30 minutos más a 100°C. Las muestras C Y D se procesaron manteniendo el baño de agua a 65°C durante 8 horas en termostatos. Los grupos B y D fueron abrasionados con fresones de carburo de tungsteno, gomas siliconadas de diferentes granos y papel de lija extrafino. Luego fueron sometidas a un régimen de pulido con conos de fieltro y solución acuosa de piedra pómez, pasta de alto brillo y rueda de género. Todas las muestras se sometieron a medición con rugosímetro de banco realizándose 5 mediciones por muestra. Los datos obtenidos fueron sometidos a análisis estadístico. **Resultados:** según el Test de varianza (ANOVA) y Tukey ($\alpha = 0,05$) los valores de la media para el grupo A(CRNP)= 6,2467, grupo B(CRP)=0,3287, grupo C (CLNP)= 6,2727, grupo D (CLP) =0,9793; el desvío estándar para el grupo A=1,91001, grupo B= 0,39067, grupo C= 2,54399 y grupo D= 1,01301 para un intervalo de confianza de 0,95%. No se hallaron diferencias estadísticamente significativas en los parámetros considerados. **Conclusiones:** según los diferentes procesados a los que se sometieron las muestras, las resinas de termopolimerización de curado rápido pulidas (grupo B) mostraron los menores valores en todos los parámetros estudiados.

B14

SILICONAS DE CONDENSACIÓN (SC): CALIDAD DEL TRABAJO FINAL SEGÚN DISTINTAS VARIABLES

Granato M*, Martín A, Valdés C, Arancegui N
Cát. de Materiales Dentales I y II – Facultad de Odontología - UNR

Objetivo: Analizar el impacto en la calidad de los trabajos finales según los posibles cambios dimensionales de las SC cuando son vaciadas en diferentes tiempos y con distintas técnicas de impresión. **Metodología:** Se confeccionó un modelo patrón en acrílico con 3 cilindros metálicos idénticos en altura y diámetro alineados perpendiculares al zócalo. Se realizaron réplicas utilizando 2 tipos de técnicas a) se impresionó con SC pesada, y a los 5 min. se efectuó la corrección con SC fluida b) se preparó SC pesada y liviana al mismo tiempo, denominada "mezcla múltiple". Cada técnica se subdividió en 5 series de 5 modelos. La 1ª se vació 15 min. después de la impresión, la 2ª a la hora, la 3ª a las 3 hs; la 4ª a las 48 hs y la 5ª a los 7 días, todas con yeso densita tipo 4. Los modelos fueron medidos con micrómetro a tornillo Palmer (Mitutoyo) para exteriores de 0 a 25mm y de 25 a 50mm con una precisión de 10 μm con freno de fricción y con calibre de precisión Stronger 0-150mm – 0,02mm; las mediciones fueron certificadas por el INTI con precisión de 0,5 μm . Siempre se realizaron por triplicado. Las impresiones se mantuvieron a temperatura de 23°C. Distancias medidas: d1 altura del pilar A desde gingival a oclusal; d2 diámetro del perno A; d3: de mesial del pilar A hasta distal del pilar B; d4: distancia desde mesial del pilar A hasta distal del pilar C. Análisis estadístico: se analizaron las 2 técnicas con 5 series con 5 modelos 4 mediciones y por triplicado. El ANOVA se basó en una nueva variable: sumatoria del valor absoluto de los desvíos respecto del modelo patrón, se aplica Tukey para hacer comparaciones entre pares en los grupos de tratamiento. **Resultados:** Se comprueba que hay homogeneidad de variancias. El análisis de la variancia se hizo segmentando por técnicas. Aplicando Tukey ninguna diferencia fue significativa al nivel de $p=0,05$. Los datos estadísticos mostraron que la media (\bar{x}) es 0,02591, la mediana (0,02550, la desviación σ)

Conclusiones: No se hallaron diferencias significativas entre los diferentes tiempos estudiados ni en las técnicas aplicadas

B15

ACCIÓN ANTIMICROBIANA DE HEXAMETAFOSFATO ASOCIADO CON CEMENTO DE IONÓMERO DE VIDRIO

Hosida TY*, Silva MER, Favretto CO, Duque C, Delbem ACB, Pedrini D
Universidade Estadual Paulista "Júlio de Mesquita Filho" - Faculdade de Odontologia de Araçatuba

OBJETIVO: evaluar la actividad antimicrobiana de diversas concentraciones de Hexametafosfato (HMP) en solución o incorporado en el cemento de ionómero de vidrio (CIV). **MÉTODOS:** Para determinar la mejor concentración de HMP a incorporar en el cemento de ionómero de vidrio, inicialmente se obtuvieron las soluciones de HMP en las siguientes concentraciones de 1, 3, 6, 9 y 12%. Para determinar la actividad antimicrobiana se realizó la prueba de difusión en agar colocando 15 ml de BHI agar-45 °C y se homogenizó con una alícuota de 300mL de cada suspensión bacteriana de *Streptococcus mutans*, *Lactobacillus acidophilus*, *Actinomyces israelii* y *Candida albicans* (densidad óptica de 0,6, A550 nm). Después de secar el medio de cultivo cada solución de HMP fue insertada en el disco de papel (n = 10, triplicada). Para cada experimento se utilizó como control positivo Digluconato de Clorhexidina (CHX) al 0,2%. Las placas se mantuvieron durante 2 horas a temperatura ambiente para permitir la difusión de soluciones y enseguida fueron incubadas a 37 °C durante 48 horas. Se tomaron dos medidas de cada zona de inhibición con la ayuda de un calibrador digital y los promedios calculados. Para la prueba de difusión del CIV se utilizó Fuji II LC, al cual, se le incorporó concentraciones de HMP al 6, 9 y 12%, este material fue colocado en pozos de BHI agar (n =10, triplicado). El control fue CHX 0,2%. Después de la incubación por 48 h, se obtuvieron las áreas de inhibición medias (mm). Los datos fueron sometidos a la prueba de Kruskal-Wallis / Mann-Whitney (p <0,05). **RESULTADOS:** la acción antimicrobiana de la solución de HMP es mayor con el aumento en la concentración de las soluciones, excepto con el 1% que fue inactivo. La solución de 12% HMP mostró los mejores resultados para todas las bacterias, en comparación con las otras soluciones. Para el CIV hubo actividad antimicrobiana para todas las concentraciones y microorganismos, excepto para *C. albicans* (6-12%) y *A. israelii* (6%). La mezcla de HMP al 12% mostró un mejor rendimiento que las otras mezclas. **CONCLUSION:** el HMP se desempeña bien como un agente antimicrobiano y su acción anticaries mezclado con el CIV es prometedor.
Apoyo Financiero: CAPES

B16

ADICIÓN DE FOSFATO Y CLORHEXIDINA EN CEMENTO DE IONÓMERO DE VIDRIO

Silva MER*, Silva DF, Pedrini D, Delbem ACB, Hosida TY, Favretto CO, Duque C
Universidade Estadual Paulista "Júlio de Mesquita Filho" - Faculdade de Odontologia de Araçatuba

OBJETIVO: Evaluar el efecto de la adición de Clorhexidina (CX) y nanopartículas de Trimetafosfato de Sodio (TMP) sobre las propiedades antimicrobianas y mecánicas del cemento del ionómero de vidrio (CIV). **MÉTODOS:** se seleccionaron nueve grupos distribuidos así: 1. CIV Fuji II LC; 2. CIV + CX 1,25%; 3. CIV + CX 2,5%; 4. CIV + CX 1,25% + TMP7%; 5. CIV + CX 2,5% + TMP7%; 6. CIV + CX 1,25% + TMP14%; 7. CIV + CX 2,5% + TMP14%; 8. CIV + TMP7% y 9. CIV + TMP 14%. La evaluación microbiana fue realizada usando la prueba de difusión en agar con *S. mutans*, *L. acidophilus*, *A. israelii* y *C. albicans*, obteniendo los valores de los halos de inhibición (mm), después de 24 horas. Los cementos de ionómero de vidrio fueron sometidos a las pruebas de compresión/tracción diametral y de dureza en una máquina de ensayos universal y microdurómetro después de 24 horas. Los datos fueron sometidos a las pruebas de ANOVA/Bonferroni. **RESULTADOS:** se encontró que la adición de clorhexidina aumentó significativamente la acción antimicrobiana de los CIV para todos los grupos, con excepción de CIV + TMP 7% y 14%, sin diferencia entre las concentraciones probadas. Hubo alteración en la resistencia a la compresión solamente cuando se asociaron TMP y CX al 2,5%. **CONCLUSIONES:** la incorporación de TMP no interfiere en la acción antimicrobiana de la CX cuando ambos son adicionados en CIV. Se están realizando estudios para confirmar la acción de esta asociación en la prevención de la desmineralización dental.

Apoyo Financiero: CNPQ (bolsa), FAPESP proc. 2014/03174-2 (bolsa), AGÊNCIA UNESP DE INOVAÇÃO (auxílio-pesquisa) proc. 2174/2013

B17

NO SE PRESENTA

B18

COMPARACIÓN CLÍNICA DE SISTEMA ADHESIVO AUTOACONDICIONANTE CON Y SIN ACONDICIONAMIENTO DEL ESMALTE EN PIEZAS PRIMARIAS

Ortolani A*, Cortese S, Biondi AM

Cátedra Odontología Integral Niños. Facultad de Odontología. Universidad de Buenos Aires

En estudios previos se concluyó que los sistemas adhesivos autoacondicionantes se presentan como una alternativa de elección en piezas primarias brindando tiempos operatorios más cortos y similar desempeño clínico que los convencionales, aunque con bajos valores de adhesión a esmalte. El **objetivo** de este trabajo fue comparar el comportamiento clínico de restauraciones realizadas en piezas primarias con resinas compuestas utilizando un sistema adhesivo autoacondicionante con y sin grabado ácido selectivo previo a esmalte. **Material y métodos:** Diseño experimental. Los datos obtenidos en 42 pacientes (5.47+1.67 años) con una o más piezas primarias vitales con lesiones amelodentinarias en 1 o 2 superficies restauradas con resinas compuestas utilizando Adper™ Easy One previo acondicionamiento del esmalte durante 30" con ácido fosfórico al 37% (Grupo AAG n= 67), fueron comparados con los obtenidos en 24 pacientes (5.16+0.11 años) utilizando el mismo sistema adhesivo sin acondicionamiento previo (Grupo AA n=44). Las 111 restauraciones fueron evaluadas clínicamente por tres docentes calibrados (Kappa 0.96) en condiciones basales, a los 6 y 12 meses utilizando los criterios de Ryge modificados y los resultados analizados estadísticamente con Test Exacto de Fisher. El proyecto fue aprobado por el Comité de Ética de la FOUBA (120809-5). **Resultados:** No se observaron diferencias significativas en el desempeño clínico entre ambos grupos a 6 meses, AAG vs AA $p=0.576$ ni a 12 meses $p=0.058$. El 6% de las restauraciones de AA y de AAG fracasaron a los 6 meses, mientras en la recitación al año en AAG no se registraron fracasos y en AA un 7%. **Conclusiones:** En este estudio a 12 meses el comportamiento clínico de las restauraciones realizadas utilizando un sistema adhesivo autoacondicionante con y sin grabado ácido selectivo previo a esmalte reveló resultados similares con menor necesidad de reemplazo en el grupo de grabado selectivo a 12 meses.

B19

INFLUENCIA DE MONTMORILLONITA SILANIZADA NANOMÉTRICA EN LAS PROPIEDADES MECÁNICAS DEL SISTEMA BIS-GMA/TEGDMA

Rivera A, Cuevas C*, Alvarez C, Zamarripa E
Área Académica de Odontología, IC Sa, UAEH, México y División de Estudios de Posgrado e Investigación, FO, UNAM, México.

Objetivo. Estudiar la influencia de la montmorillonita silanizada en la resistencia flexural y el módulo de flexión de una resina experimental a base de Bis-GMA/TEGDMA.

Métodos. Bisfenol A glicidilmetacrilato (Bis-GMA), Trietilenglicoldimetacrilato (TEGDMA), canforquinona (CQ), etil-4-dimetilaminobenzoato (4-EDMAB), 3-trimetoxisililpropilmetacrilato (MPTMS) y metanol (MeOH) de Sigma-Aldrich, fueron usados como se recibieron. La Montmorillonita sódica (MMT), es de Nanocor. La fotopolimerización se realizó con una lámpara de luz LED marca Bluephase ® (Ivoclar-Vivadent), y las pruebas mecánicas se llevaron a cabo con una máquina de pruebas universal Instron. La experimentación se efectuó de la siguiente manera: la arcilla MMT fue modificada con el MPTMS para hacerla organofílica y lograr un anclaje químico con la matriz polimérica. Los monómeros Bis-GMA y TEGDMA se mezclaron en una proporción 70/30 en peso, posteriormente se incorporó a ésta la MMT silanizada, previamente suspendida en MeOH (1/1.5 en peso), enseguida se adicionó CQ (0.3% en peso) y 4-EDMAB (1.2% en peso), todo esto mediante agitación mecánica a 3500 rpm. A la mezcla resultante se le aplicó un baño de ultrasonido (12 min) y vacío (1 hora) para eliminar el aire atrapado, y enseguida se vació en moldes de caucho vulcanizado para obtener las probetas de acuerdo a la especificación ISO4049. Las concentraciones utilizadas de MMT silanizada fueron de 0.5, 1.0 y 3% en peso, y el control fue la mezcla de monómeros sin la MMT silanizada.

Resultados. Las mezclas obtenidas de Bis-GMA/TEGDMA y MMT silanizada tuvieron una apariencia traslúcida y el relleno inorgánico no sedimentó al paso del tiempo, esto demuestra una buena compatibilidad de la MMT silanizada con la matriz orgánica. El módulo de flexión a una concentración de MMT del 1% (3703 MPa) tuvo una mejora del 12% respecto al control (3312MPa), no así la resistencia a la flexión en donde todos los valores de las diferentes concentraciones fueron menores.

Conclusión. La silanización y suspensión de la arcilla montmorillonita y su incorporación al sistema Bis-GMA/TEGDMA, a altas velocidades, propiciaron la intercalación de la arcilla y una distribución homogénea en la matriz polimérica que dio como resultado un módulo de flexión superior al control.

B20

EVALUACIÓN DE LA ESTABILIDAD DEL COLOR EN RESINAS COMPUESTAS FRENTE AL ENVEJECIMIENTO ARTIFICIAL ACELERADO

Moraes EP*, Naves CM, Barbosa e Silva CC, Miranda TC, Pereira LCG
Centro Universitário de Anápolis - UniEvangélica

Objetivo: Evaluar la estabilidad del color de dos resinas compuesta fotoactivadas, después de someterlas al envejecimiento artificial acelerado (EAA) y analizar cual color (A1, A3,5) de diferentes tipos de resinas sufre mayor alteración en la tonalidad después del EAA.

Métodos: fueron confeccionados ocho discos (10mm x 2mm) de resinas compuestas Durafill VS, TPH Spectrum y Filtek Z350, utilizando una matriz de teflón, después de la fotopolimerización fueron almacenados en recipiente oscuro. Los 48 cilindros fueron pulidos con Sof-Lex. Para analizar el color se utilizó el espectrofotómetro digital Vita Easy Shade, realizando 3 lecturas en cada muestra, obteniéndose una media de los 3 valores (L*, a* y b*). Sometiendo todas las muestras al EAA (C-UV Standard), durante 4 h de exposición al UV-B a 50° C y 4 h de condensación a 50°C, con tiempo total de envejecimiento de 192 h equivalente a cinco años de envejecimiento. Posteriormente al EAA las muestras fueron sometidas nuevamente a lecturas en el espectrofotómetro digital. Los valores obtenidos de L*, a*, b* y ?E* fueron sometidos a ANOVA y test de Tukey con nivel de significancia de 5%.

Resultados: después del envejecimiento acelerado todas las resinas presentaron alteración del color significativamente (p<0.05), cuando fueron comparadas las coordenadas L*, a*, b* y ?E. Hubo disminución de L y aumento de los valores de a y b para todas las resinas testadas (p<0.05). La resina TPH A1 presentó mayor alteración de color, menos ?E, y la mayor alteración fue presentada por la resina Z350 color A1 mayor ?E. La resina TPH presentó el mayor cambio de color en A3,5, para las demás resinas, el color A1(p<0,05). El grado de oscurecimiento de TPH A3,5 fue estadísticamente semejante al envejecimiento presentado por la resina Durafill, tanto A1 como A3,5 (p>0.05).

Conclusiones: Todas las resinas sufrieron alteración después del EAA. Hubo disminución de L, y aumento de los valores de a y b para todas las resinas testadas. La resina Filtek Z350, color A1 sufrió mayor alteración del color y la que obtuvo menor alteración fue la resina TPH A1. La resina TPH A3,5 demostró mayor alteración del color, para las demás el mayor cambio siempre fue en el color A1. Apoyo: FUNADESP IC 15.03.13 - 3500683/PBIC-UniEvangélica 2013.

B21

EVALUACIÓN DEL GRADO DE LUMINOSIDAD DE DIFERENTES TIPOS DE RESINA COMPUESTA

Maia JPS*, Silva PK, Mello Júnior M, Teixeira IM, Orosco FA, PereiraLCG
Centro Universitário de Anápolis - UniEvangélica

Objetivo: Comparar el grado de luminosidad (valor) de diversos tipos de resina compuesta de diferentes fabricantes utilizando el color A3,5 y verificar si el grado de luminosidad de estas resinas compuestas es compatible con el de la escala de color Vita (Wilcos).

Métodos: Las resinas compuestas Durafill (HeraeusKulzer); Filtek Z-350 (3M-ESPE), Tetric-ceram (IvoclarVivadent); Charisma (HeraeusKulzer), Filtek Z100 (3M ESPE), Herculite XRV (Kerr) y TPH (Dentsply) en color A 3,5 fueron utilizadas en este estudio. Cinco cilindros de cada resina compuesta (4mm x 2mm) fueron confeccionados en matrices metálicas revestidas con tira de poliéster y fotoactivados por 40 segundos. 24 horas después, los cilindros de resina compuesta fueron digitalizados en scanner (HP) junto con la escala VITA (Wilcos). Las imágenes fueron inseridas en el programa Adobe Photoshop CS2 para análisis individual con el auxilio de la función histograma, en cinco diferentes puntos de la imagen, tanto del cilindro de resina, como de cada color de la escala VITA. Fue utilizado el valor de la mediana, los datos fueron expresados en niveles de gris y analizados por ANOVA a dos criterios y teste-t no pareado con nivel de significancia de 5%.

Resultados: la resina compuesta Herculite tiene menor luminosidad (169.08 ± 3.6), estadísticamente significativa que las resinas Z100 (176.84 ± 2.6) TPH (177.24 ± 2.5) y Tetric ceram (180 ± 3.3). Las resinas Durafill (186.4 ± 3.2), Charisma (187.04 ± 2.9) e IPS Empress Direct ($188,12 \pm 2.1$) tuvieron mayores grados de luminosidad ($p < 0.005$). La media de la luminosidad del color A3,5 de la escala VITA es de $128,7 \pm 1.8$ grados de gris estadísticamente significativa con relación a las resinas compuestas estudiadas.

Conclusiones: Los niveles de luminosidad se diferencian en un mismo color (A3,5). Las resinas estudiadas en el color A3,5 son más claras de lo que indica la escala VITA del referido color. Apoyo: FUNADESP IC 15.03.13 - 3500683/PBIC-UniEvangélica 2013.

B22

ANÁLISIS DEL MÉTODO PARA ELEGIR EL COLOR DE LAS RESINAS COMPUESTAS

Serafim NG*, Rocha SCA, Teixeira RM, Orosco FA, PereiraLCG
Centro Universitário de Anápolis - UniEvangélica

Objetivo: Identificar el método más utilizado por los odontólogos para elegir el color de las resinas compuestas. Verificar si la experiencia profesional tiene influencia para elegir el color correcto de la resina compuesta y evaluar cuál de los métodos (escala VITA o método visual) es más eficiente.

Métodos: Sesenta odontólogos, 30 con más de 5 años de experiencia clínica y 30 con menos de 1 año, participaron de este estudio. Fue utilizado un cuestionario para conocer cuál era el método para elegir el color de las resinas compuestas que más utiliza en la práctica diaria. Para analizar la percepción de colores se presentó a ellos una serie de discos de resinas compuestas, sobre un cartón blanco, previamente confeccionadas a través de una matriz con dimensiones de 10 x 3 mm, de las resinas de color A1 de las marcas TPH, Durafill, Z100 y en los colores A3,5(TPH), A2 (Z100) y A3 (Z250). En ambiente con iluminación artificial, los odontólogos analizaron los cilindros de resinas intentando identificar los colores de las resinas indicadas, utilizando apenas la percepción visual y enseguida, la escala VITA. Los datos referentes a aciertos y errores fueron inseridos en una planilla y analizados estadísticamente por el teste Qui-cuadrado a 5%.

Resultados: El método visual es el más utilizado por los odontólogos con experiencia (46,7%) y el método VITA (93,3%) por los recién graduados ($p < 0,05$). El porcentaje de aciertos en cada método no es estadísticamente significativo ($p > 0,05$) tanto para odontólogos con experiencia (Visual 19,4% y VITA 22,2%) como para recién graduados (Visual 10% y VITA 11,7%). El porcentaje de aciertos de los odontólogos con experiencia (20,8%), independientemente del método utilizado, fue estadísticamente significativo ($p < 0,05$) cuando comparados con los recién graduados (10,8%).

Conclusiones: El método visual es más utilizado por los odontólogos con experiencia y el método VITA por los recién-graduados. El porcentaje de aciertos de los odontólogos con experiencia, independientemente del método utilizado fue mayor que el porcentaje de aciertos de los recién-formados. Los dos métodos estudiados tuvieron la misma eficacia para elegir correctamente el color de las resinas compuestas. Apoyo: PIBIC-UniEvangélica/CNPq n.800679/2013-0.

B23

EVALUACIÓN DE LA RADIOPACIDAD DE LAS RESINAS COMPUESTAS

Resende NGO, Silva CMA, Oliveira DCG*, Lima AA, Pereira LCG
Centro Universitário de Anápolis - UniEvangélica

Objetivo: Evaluar la radiopacidad de cinco resinas compuestas y compáralas con esmalte y dentina.

Métodos: Fueron confeccionados cinco cilindros (5mm x 2mm) de cada resina compuesta Z-100 (3M/ESPE), Filtek Z-250 (3M/ESPE), Tetric Ceram (Ivoclar Vivadent), Charisma (Heraeus Kulzer) y TPH Spectrum (Dentsply) confeccionadas por medio de una matriz de teflón. Los cilindros fueron colocados sobre una película radiográfica oclusal (Kodak) junto con un disco de diente y un penetrómetro de aluminio. Las radiografías fueron obtenidas através de un equipo de rayos-X (Dabi Atlante) con 70kVp y 8 mA. La distancia utilizada desde punto focal hasta la película radiográfica fue de 40 cm y el tiempo de exposición fue de 0,4 segundos según la ISO 4049. Las radiografías fueron procesadas mecánicamente (Perio Pro III X-ray processor). El análisis de las imágenes obtenidas fue realizado a través de un densitómetro digital (MRA-Brasil) en cinco lecturas en cada muestra y los valores fueron expresados en unidad de densidad óptica (UDO) y posteriormente fueron convertidos en milímetros de aluminio (mmAl). Los datos fueron sometidos a análisis de variancia (ANOVA) y teste de Tukey con nivel de significancia de 1%.

Resultados: La media y desvío padrón de la radiopacidad en (mmAl) fueron Tetric Ceram (6,38±0,27), Z-100 (5,64±0,11), Filtek Z-250 (5,37±0,18), TPH Spectrum (5,25±0,24) y Charisma (4,17±0,19). La radiopacidad del esmalte fue (2,61±0,20) y dentina (1,89±0,14). Hubo diferencias entre los materiales e estructuras dentales ($p < 0,05$). Todas las resinas tuvieron mayor radiopacidad que el esmalte y la dentina ($p < 0,05$). Las resinas TPH y Filtek Z-250 posean la misma radiopacidad ($p > 0,05$).

Conclusiones: La resina compuesta Tetric Ceram tuvo mayores valores de radiopacidad que las demás. Todas las resinas compuestas tuvieron radiopacidad mayores que el esmalte y la dentina.

B24

UTILIZACIÓN DE LOS SISTEMAS ADHESIVOS EN LA PRÁCTICA DIARIA

Santos MG*, Royas RT, Gomes RB, Caixeta BS, Pereira LCG
Centro Universitário de Anápolis - UniEvangélica

Objetivo: Verificar cual sistema adhesivo es más utilizado por los odontólogos del municipio de Anápolis-GO, comparar si hay diferencias para escoger, entre los odontólogos que poseen mayor y menor tiempo de graduación.

Métodos: Cien odontólogos del municipio de Anápolis-GO hicieron parte de este estudio, siendo distribuidos igualmente entre los que tenían mayor y menor tiempo (seis años) de graduación. Les fue solicitado que respondieran un cuestionario con siete preguntas sobre los sistemas adhesivos, incluyendo cuestiones que buscaban saber cuál es el sistema adhesivo más utilizado por ellos y cuáles son los factores que influenciarían la utilización de los sistemas adhesivos. También verificó si los mismos utilizan los sistemas adhesivos autocondicionantes y por los usa o deja de usarlos.

Resultados: La mayoría de los odontólogos participantes del estudio eran del género femenino (59%). El tiempo medio de graduación de los odontólogos con menos de 6 años de experiencia fue de 2,6 años y de 15,24 para los que tenían más de 6 años de graduación. El adhesivo más utilizado por los odontólogos fue Single Bond (44%), seguido de Prime&Bond 2.1 (20%). Los que ya utilizaron adhesivos autocondicionantes 32% de los odontólogos (17% con menor tiempo de formación y 15% con mayor tiempo). Independientemente del tiempo de graduación, los dentistas no cambiarían el sistema adhesivo que utiliza, porque tienen experiencia y está satisfecho con el mismo, además de eso, 70% no creen en su efectividad. Los factores citados, que más influncian el odontólogo para escoger el sistema adhesivo fueron la evidencia en la literatura (58%), costo (18%), facilidad de uso (18%) y no respondieron (6%).

Conclusiones: El sistema adhesivo más utilizado por los odontólogos es Single Bond. La decisión de utilizar los sistemas adhesivos fue semejante entre los odontólogos independientemente de su tiempo de graduación.

B25

DESCOLORACIÓN DE CORONAS PRODUCIDA POR CEMENTOS ENDODÓNTICOS DESPUÉS DE SEIS MESES

Costa YC*, Ramos AR, Silva MTF, Abadia MRN, Pereira LCG, Orosco FA
Centro Universitário de Anápolis - UniEvangélica

Objetivo: Evaluar el grado de oscurecimiento de la corona dental de premolares causado por dos cementos endodónticos, Sealer 26 y Endofill después de seis meses de observación.

Métodos: Se seccionaron las raíces de cuarenta premolares 1 mm abajo de la unión amelocementaria. La apertura coronaria fue realizada de forma convencional, con brocas esféricas diamantadas. Después del acceso a la cámara pulpar, la misma fue rellena de la siguiente forma: Grupo 1: 15 dientes rellenos con Sealer 26 (Dentisply); Grupo 2: 15 dientes rellenos con Endofill (Dentisply); Grupo 3 (control-positivo): 5 dientes rellenos con amalgama; Grupo 4 (control-negativo): 5 dientes no rellenos. Después del relleno con los respectivos materiales, los dientes fueron almacenados a 37°C, con 100% de humedad. Evaluaciones del color de las coronas fueron realizadas después de 48 horas y 180 días utilizando un espectrofotómetro portátil (VITA Easyshade), utilizando como referencia siempre la fase vestibular, donde fueron obtenidos los valores de L*, a*, b*. Los valores de ΔE^* fueron calculados y sometidos a ANOVA y teste de Tukey con nivel de significancia de 5%.

Resultados: Las medias y desvío padrón de los grupos estudiados, respectivamente en 48h y 180 días fueron: Sealer 26 (7,22±3,83; 19,79±3,31), Endofill (6,15±2,12; 11,88±4,14), amalgama, control positivo (5,05±2,64; 4,85±2,26), control negativo (5,65±2,74; 8,64±2,93).

Conclusiones: Todos los cementos testados provocaron oscurecimiento de las coronas ($p < 0,05$) cuando se compararon con el grupo control negativo. El grado de descoloración fue mayor para el cemento Sealer 26 ($p < 0,05$) en seis meses.

B26

EVALUACION DEL SISTEMA DE BLANQUEAMIENTO USANDO TIRAS DE POLIETILENO CON PERÓXIDO DE HIDROGENO AL 10 % EN PACIENTES QUE CURSAN SU ÚLTIMA ETAPA DEL TRATAMIENTO DE ORTODONCIA

Kohen S*, Tamini Elicegui LE, Lacovino N
Cátedra de Odontología Integral Adultos , FOUBA

Objetivos: El presente estudio tiene como fin evaluar los resultados del uso del sistema de Blanqueamiento a base de tiras de polietileno que contienen peróxido de Hidrogeno al 10 % mediante el cambio o variación de la intensidad cromática en pacientes que cursan la última etapa de su tratamiento de Ortodoncia. **Métodos :** Para este estudio se realizó una Profilaxis dental, se midió el color digitalmente, luego se indicó el uso de las tiras de polietileno durante una semana de acuerdo a las instrucciones del fabricante y luego de una semana se midió nuevamente el color con el fin de obtener datos aritméticos poder realizar el análisis estadístico. También se midieron los valores de sensibilidad pre y post Blanqueamiento. 1- consulta de diagnóstico, consentimiento informado. 2- Consulta de trat.: Se le realizó una limpieza y profilaxis, con ultrasonido y luego con un cepillo rotatorio, pasta de Profilaxis . Luego se midió el color con un espectrofotómetro (scanner Vita Easy Shade Compact Vita) en cada uno de los dientes inferiores , del sector anterior , 33, 32 , 31 , 41, 42, 43 , y se tomó un valor promedio . Luego se repitió esta medición en el maxilar superior, que servirá como grupo control (negativo). Para asegurar que todas las tomas de color sean precisas, se utilizaron los mismos brackets como referencia de posicionamiento del scanner , de forma tal que la punta del scanner se ubicara 1 mm por encima del bracket hacia incisal El scanner se calibra para cada paciente, y se tomaron 3 mediciones de cada diente con el fin de que las mismas sean seguras constantes y repetibles pre y post tratamiento. También se realizaron las mediciones de sensibilidad antes y después del trat. (ind. Coleman). Para la evaluación estadística se usó el test de Student para muestras apareadas. **Resultados :** Los resultados se expresan en la siguiente tabla color inicial N 11 Media 11,20 SD ,4,333 SEM 1.307 Color final N 11 Media 8,47 SD 3,792 SEM 1,144 Dif a-b 2,73 .El valor del t-Test (6.2788) indica que las dos muestras (a y b) son diferentes ($p < 0,05$)

Conclusiones : El uso del sistema de Blanqueamiento a base de tiras de polietileno que contienen peróxido de Hidrogeno al 10 % fue efectivo aclarar el tono de las piezas en la última etapa del trat. ortodoncico

B27

CARACTERIZACIÓN DE LAS CRESTAS Y VALLES EN LOS IMPLANTES DE ZIRCONIO

Basal R*, Butler T; Lazo G; Lazo S; Escudero E; Viscovik C; Bentivenga N, Merlo D; Cucchetti D; Pazos F; Belloni D; Alfaro G; Amaro E; Ivanov M

Facultad de Odontología de la UNLP

Objetivo

El propósito de este trabajo fue caracterización de la profundización de las crestas y presencia de valles sobre la superficie de los implantes dentarios de zirconio sinterizado con rosca.

Materiales y Métodos

Se observó las irregularidades de superficie (crestas y valles) de 12 implantes dentarios de zirconio con rosca a través de Microscopía Electrónica de Barrido (MEB), utilizando el sistema EZEIMAGE. Los datos de la medición de la profundidad de las crestas fueron analizados con la prueba estadística de varianza, y clasificados en dos niveles: nivel I: crestas con profundizaciones menores a 600 μm , nivel II: crestas con profundización = o > a 600 μm .

Resultados

Los resultados de la medición de la profundidad de las crestas fueron: la media obtenida de 9 implantes fue de 68,40 μ , mientras que la media de los 3 implantes restantes fue de 100,20 μ . También se observó la presencia de valles muy marcados sobre la superficie de todas las muestras examinadas.

Conclusiones

Del trabajo se concluye que la profundización de las crestas presentes en la mayoría de las piezas analizadas y el ancho entre los valles podrían favorecer la óseointegración y la adhesión celular a los implantes de zirconio.

B28

PROBABILIDAD DE SUPERVIVENCIA DE PUENTES DE ZIRCONIA: EFECTO DEL DISEÑOS DE INFRAESTRUCTURA

Pavesi Fardin V*, Bonfante EA, Coelho PG, Bonfante G

Facultad de Odontología de Bauru, Universidad de São Paulo.

OBJETIVO. Estudio preliminar para evaluar la probabilidad de supervivencia de puentes de Zirconio (Y-TZP) con recubrimiento de porcelana usando diferentes diseños de infraestructura después de aplicar carga en las crestas marginales (CM). **MÉTODO.** Fueron fabricados 18 puentes con el segundo premolar como pónico (Ceramil Amanngirbach, Koblach, Austria), cementados (RelyX-U200, 3M-Espe, USA) sobre pilares confeccionados en resina compuesta y divididos en dos grupos: 1) Y-TZP convencional (espesura uniforme de 0,5 mm) y 9 mm² de conector; 2) Y-TZP modificada (cinta lingual de 2 mm y 3,5 mm de poste proximal) y 12 mm² de conector. Se realizó carga cíclica en agua (1 millón de ciclos o hasta su fractura, entre 30-300 N, a 2Hz, sobre indentador de disilicato de lito con radio de 3.18 mm) a 37°C. Los 5 primeros especímenes de cada grupo recibieron cargas sobre la CM entre los premolares. Después de la suspensión, las CMs entre el segundo premolar y primero molar fueron cicladas. Se realizó una secuencia opuesta de carga en los siguientes 4 especímenes de cada grupo. Se inspeccionó cada 125,000 ciclos para evaluar el daño en estereomicroscopia. Como pocos especímenes fracturaron hasta 1 millón de ciclos, fue utilizada la distribución Weibull (Weibayes) con un Beta asumido de 1,5 para evaluar la probabilidad de supervivencia de ambos grupos (IC: 90%). Fueron calculadas predicciones de confianza para 2 y 3 millones de ciclos. **RESULTADOS:** De los 18 especímenes, dos del Grupo 1 y tres del Grupo 2 sufrieron fractura cohesiva de la porcelana. Las fallas sucedieron entre los 125,000 y 625,000 ciclos para el Grupo 1, e entre los 125,000 e 500,000 ciclos para el Grupo 2. El cálculo probabilístico de Weibull determinó un Eta de aproximadamente 4 millones de ciclos para el Grupo 1 e 2,980,000 ciclos para el Grupo 2. La probabilidad de supervivencia a un objetivo de fiabilidad de 1, 2 e 3 millones de ciclos no demostró diferencias significativas entre e dentro de los grupos. **CONCLUSIONES:** Hasta 1 millón ciclos y su predicción de 2 y 3 millones no demostró diferencias significativas en la probabilidad de supervivencia de las prótesis fijas con diferentes diseños de infraestructura cuando las cargas son aplicadas en las CMs.

B29

ADAPTACIÓN A DENTINA DE UN CEMENTO DE IONÓMERO DE VIDRIO DE ALTA VISCOSIDAD CON DISTINTOS TRATAMIENTOS Y VISUALIZACIONES

Rozas CA*, Uribe Echevarría LJ, Vilchez J, Uribe Echevarría A, Rodríguez IA, Uribe Echevarría J

OBJETIVO: fue analizar la adaptación de un cemento de ionómero de vidrio de alta viscosidad con distintos tratamientos de dentina profunda, valorando la unión interfásica de este biomaterial a la pared dentinaria pulpar, mediante la visualización comparativa del microscopio laser de barrido (LEXT OLS4000 3D) y el microscopio electrónico de barrido de emisión de campo (FEG SEM). **MÉTODO:** se utilizaron 20 terceros molares humanos donde se realizaron preparaciones de Clase 1 oclusales en dentina profunda, utilizando un estandarizador de cavidades con desplazamientos tridimensionales de 0.10 μm . Se conformaron cuatro grupos de 5 dientes cada uno donde el sustrato dentinario recibió los siguientes tratamientos: Grupo 1 (grupo control), se efectuó únicamente lavado con agua filtrada a presión; Grupo 2 se acondicionó con ácido fosfórico al 34.5%; Grupo 3 fue tratado con GC Cavity Conditioner y el Grupo 4 se desproteinizó con hipoclorito de sodio al 5.25%. Los cuatro grupos fueron obturados en bloque con cemento de ionómero de vidrio de alta viscosidad (CIVAV) EQUIA Fil con espesor de capa de 4mm. Para la visualización con LEXT OLS 4000 (Olympus), se utilizó una solución del fluoróforo Rhodamina B al 0.1%. Para la observación con FEG SEM las muestras fueron sometidas a punto crítico y metalizadas con depósitos de 20nm de carbón. **RESULTADOS:** a) en el Grupo 1 se observaron desadaptaciones a nivel de la pared pulpar con valores de $\pm 0.56\mu\text{m}$; b) en el Grupo 2 se evidenciaron desadaptaciones interfásicas de $\pm 3.53\mu\text{m}$; c) en los Grupo 3 y 4 se observaron interfaces adaptadas de tendencia cero o nula. d) Las interfaces visualizadas con LSM LEXT no sufrieron modificaciones por la exposición fotónica. e) Las interfaces observadas con FEG SEM sufrieron agrietamientos por la metalización, el vacío y el rayo electrónico del microscopio a pesar del punto crítico. **CONCLUSIONES:** 1) La adaptación del CIVAV a dentina profunda tratada con GC Cavity Conditioner y hipoclorito de sodio fue mayor que en los otros dos grupos cuando las interfaces fueron visualizadas con LEXT. 2) Se observaron con FEG SEM interfaces abiertas y grietas de distinta amplitud en el CIVAV, producto de la tecnología aplicada.

SUBSIDIADO: Secyt, UNC, Res. 124/14

B30

DETECCIÓN DE CARIES DENTINARIA EN AMALGAMAS CON CARIES SECUNDARIA O RESIDUAL CON MÉTODO FACE

Uribe Echevarría A*, Saravia ME, Nome C, Rozas C, Rodríguez IA, Uribe Echevarría J
Facultad de Odontología. Universidad Nacional de Córdoba. Facultad de Odontología.
Universidad Nacional de Tucumán; CIAP INTA Córdoba. Argentina.

OBJETIVO: evaluar la presencia de dentina infectada en el interior de cavidades restauradas con amalgamas a través de fluorescencia inducida por luz o método FACE. **MÉTODO:** se utilizaron 12 molares humanos restaurados con amalgamas; el diagnóstico de fallas de la amalgama se realizó a través del método FACE, que se fundamenta en la fluorescencia de las porfirinas bacterianas asociadas a la actividad cariogénica del biofilm; efectuado el aislamiento del campo operatorio, se realizó la eliminación de la amalgama, con piedra diamantada y ultra-alta velocidad. Para la detección de dentina cariada se usó el método FACE (VistaProof Plugs & Go) , utilizando los siguientes parámetros: 1) color rojo, refleja la fluorescencia de las porfirinas como productos metabólicos de las bacterias presentes en dentina cariada que indicaría las áreas infectadas con microorganismos, que deben ser eliminadas, la luz azul de los LED estimula los productos del metabolismo bacteriano y hace que estos se reflejen de color rojo; 2) color azul-celeste, indica la desmineralización del tejido o dentina afectada; 3) color verde, es tejido sano que no debería ser eliminado. Para observar la presencia de bacterias viables en dentina cariada se tomaron biopsias que fueron recolectadas con cucharilla y con microbrush, se colocaron en Eppendorf conteniendo como fijador una solución de glutaraldehído y de paraformaldehído. Eliminado el tejido cariado, los dientes fueron restaurados con cemento de ionómero de vidrio de alta viscosidad EQUIA Fil. Las biopsias se contrastaron y se incluyeron en resina de baja viscosidad para ser observados con microscopio electrónico de transmisión (Jeol, Japan). Las muestras fueron micrografiadas y se evaluó la presencia de bacterias viables en división celular y actividad metabólica. **RESULTADOS:** a) Se pudo observar la presencia de bacterias en división celular y con actividad metabólica, estableciéndose la viabilidad de los microorganismos en el tejido dentinario en todas las cavidades restauradas con amalgamas. **CONCLUSIÓN:** el método FACE posibilitó la detección de dentina cariada infectada con bacterias viables en amalgamas que presentaban caries secundaria y residual.

SUBSIDIADO: Secyt, UNC Res. 124/14

B31

EFEECTO DEL ETIL-CIANOACRILATO SOBRE BIOFILME DE CANDIDA ALBICANS EN ACRÍLICO PARA REBASADO

Oliveira DG*, Távora FFF, Marcillo OO, Neppelenbroek KH, Porto VC
Facultad de Odontología de Bauru- Universidad de Sao Paulo

OBJETIVO: Analizar el efecto de una resina fotopolimerizable de baja viscosidad (Biscover®) y el etil-cianoacrilato (Super Bonder®) en la inhibición o reducción del crecimiento de biofilme de *Candida albicans* por medio de microscopia confocal de barrido a laser.

MÉTODOS: Fueron confeccionados cincuenta y seis cuerpos de prueba en acrílico para rebasado (New Truliner, Bosworth Company, USA) con una rugosidad entre 1 a 2 μm y divididos en 7 grupos: (GC) Grupo control; (G1) aplicación de una capa de Super Bonder® (SB®) antes de esterilizar; (G2) aplicación de una capa de SB® después de esterilizar; (G3) incorporación de 3 gotas de SB® en el acrílico; (G4) incorporación de 4 gotas de SB® en el acrílico; (G5) aplicación de una capa de Biscover® (B®) después de esterilizar; (G6) aplicación de una capa de B® antes de esterilizar. Todos los especímenes fueron inoculados con *Candida albicans* para crecimiento del biofilme. La tinción fue realizada por medio del fluorocromo SYTO-9 y el yodeto de propídeo para posterior análisis y determinación del biovolumen total (μm^3) en el microscopio confocal Leica TCS-SPE (Leica Microsystems GmGH, Germany) a través del programa Leica Application Suite-Advanced Fluorescence (LAS AF, Leica, Germany). Los datos recibieron el análisis estadístico no paramétrico por medio de las pruebas Kruskal-Wallis e Dunn con un nivel de significancia de 5%.

RESULTADOS: Los resultados mostraron que aquellos cuerpos de prueba que recibieron SB® en la superficie, redujeron significativamente la formación de *Candida albicans* (G1- 47349 μm^3 ; G2- 65454 μm^3) a diferencia de los grupos: GC (690277 μm^3), G3 (884933 μm^3), G4 (460159 μm^3), G5 (1,263 x 10⁶ μm^3), G6 (1,283 x 10⁶ μm^3) ($p < 0.05$). En los grupos G1 y G2 se observó un número reducido de células fúngicas, mayoritariamente en forma de levadura (inocua).

CONCLUSION: A pesar de las limitaciones de este estudio, la aplicación de SB® sobre la superficie acrílica es una alternativa potencialmente útil para la reducción e/o control en la formación de biofilme de *Candida albicans*.

C01

EFEECTO DE MELATONINA SOBRE LA ERUPCIÓN DENTARIA EN RATAS PRENATALMENTE ESTRESADAS

Fontanetti PA*+, Mandalunis PM#, Vermouth NT+

Cátedra de Introducción a la Química y Física Biológicas, Facultad de Odontología, UNC+ y Cátedra de Histología y Embriología, FOUBA#

OBJETIVO: Evaluar la capacidad preventiva de melatonina en respuesta al estrés prenatal por luz constante crónica sobre la erupción dentaria en crías de ratas de 3 y 15 días de vida.

MATERIALES Y MÉTODOS: Se conformaron tres grupos de ratas preñadas: Grupo sometido a luz constante (LL) desde el día 10 al 20 de preñez; Grupo mantenido en LL durante el mismo período gestacional y con administración de melatonina desde el día 17 al 21 de preñez (LL+Mel) y Grupo sin tratamiento (Control). Las crías de cada grupo (n=12) se sacrificaron a los días 3 ó 15 de vida postnatal. Sus mandíbulas se procesaron histológicamente y se obtuvieron cortes bucolinguales que fueron coloreados con H&E o para detección histoquímica de fosfatasa ácida tartrato resistente (TRAP). En cortes de crías de 3 días de edad coloreados con H&E, en zona supracoronaria de la canastilla ósea del primer molar mandibular, se midió BV/TV (%): Volumen óseo trabecular y N.Oc/mm²: Número de osteoclastos por área. En los cortes coloreados con la técnica para detección de TRAP se evaluó N.Oc TRAP+/mm²: número de osteoclastos TRAP+. En crías de 15 días de edad se midió el Grado de erupción dentaria (mm). Los resultados fueron analizados mediante ANOVA y test de Bonferroni. **RESULTADOS:** El BV/TV (%) en hueso supracoronario de crías LL+Mel fue similar al Control y significativamente mayor al grupo LL (LL= 58,14±4,24 vs. LL+Mel= 40,21±3,07 y C=32,31±2,16; $p < 0,01$). Además, la administración prenatal de Melatonina normalizó el N.Oc/mm² (LL=3,5±0,65 vs. LL+Mel= 7,43±1,02 y C= 8,03±1,31; $p < 0,05$) y el N.Oc TRAP+/mm² (LL= 0,84±0,53 vs. LL+Mel= 7,12±1,05 y C=8,59±1,26; $p < 0,05$) cuyos valores fueron similares entre los grupos LL+Mel y Control. Estos resultados se correlacionaron con el mayor Grado de erupción dentaria (mm) observado en crías LL+Mel y Control en comparación con el grupo LL (LL= -0,605±0,05 vs. LL+Mel=-0,789±0,05 y C=-0,726±0,04; $p < 0,05$). **CONCLUSIÓN:** La acción preventiva de melatonina administrada a madres sometidas a estrés experimental durante la gestación sobre los eventos óseos asociados a la erupción del primer molar mandibular, tendría un efecto normalizador del proceso eruptivo y evitaría, en parte, el impacto negativo del estrés sobre la programación prenatal materna. UBACyT 20020120100190BA

C02

CAMBIOS ODONTOBLASTICOS POR DIETA CARIOGENICA EN GERMENES DENTALES Y MOLARES DE RATAS

Dávila H¹; Zapata N³; Zaffaroni M³; Kohli A^{*2-3}

Consejo de Investigaciones¹; Facultad Odontología²; UNR. Instituto Universitario Italiano de Rosario³.

Los odontoblastos perimetrales de la pulpa dentaria, están unidos en empalizada. Sintetizan predentina primaria, secundaria y terciaria por caries o estímulos externos. **OBJETIVO:** Inducir la síntesis de predentina con una dieta cariogénica para evaluar el ordenamiento y los cambios morfológicos de los odontoblastos. **MÉTODOS:** Dieciocho ratas robustas línea "I" y quince pequeñas línea "e", fueron separadas en G1 con dieta habitual y G2 con dieta cariogénica (agua con sacarosa 10%). Luego de la eutanasia se extirparon mandíbulas, se descalcificaron y se eliminó colágeno tipo I mediante colagenasa Tipo II. Se incluyeron en parafina, se realizaron cortes que fueron coloreados con H&E. Con MO se evaluó tipo de predentina, grosor de perímetro considerando delgado (1-2 hileras de odontoblastos) y grueso (3 o más hileras); en la capa odontoblástica se evaluaron persistencia de uniones y orden entre las células. Los datos se analizaron con test de Fisher. **RESULTADOS:** en las pulpas de 17 gérmenes dentales hallados, ambas líneas y grupos encontramos predentina primaria; en línea "I" el perímetro fue delgado en ambos grupos; en línea "e", apareció delgado en G1 y grueso en G2. En las 35 pulpas molares línea "I" a los 14 días, predentinas secundaria (p=0.007) y terciaria (p=0.03); perímetro delgado en G1 y grueso en G2 (p=0.001). A los 21 días, en 32 pulpas observamos predentina terciaria (p=0.009); perímetro delgado en G1 y grueso en G2. A los 28 días, en 38 pulpas, predentina secundaria; perímetro delgado en G1 y grueso en G2 (p=0.04). Línea "e" a los 28 días, en 33 pulpas, predentina secundaria, perímetro delgado G1 y grueso G2 (p=0.004). En gérmenes, los odontoblastos estuvieron 100% unidos y ordenados. En molares línea "I" G1, los odontoblastos 98% unidos y 64% ordenados; en G2, 95% unidos y 65% ordenados. Línea "e" G1, unidos 100% y ordenados 42% (p=0.03); en G2, unidos y ordenados 73%. **CONCLUSIONES:** La predentina primaria fue sintetizada por los gérmenes, la secundaria y terciaria por los molares de ambas líneas y grupos. La dieta cariogénica ocasionó mayor perímetro en gérmenes línea "e" y molares de ambas líneas además de alterar la unión y orden entre los odontoblastos.

C03

CARACTERIZACIÓN DE LA TOPOGRAFÍA OCLUSAL DEL TERCER MOLAR

Grifo MB*, Trinks P, Pari F, Amer M, Sánchez GA

Facultad de Odontología, UBA

Objetivo: El objetivo del trabajo fue caracterizar la topografía oclusal de terceros molares y establecer sus características diferenciales relativas al arco dentario y lado. **Materiales y métodos:** A través de captura (800x Rgb) y análisis digital de imagen (Measure 2.0), dos operadores calibrados [] determinaron el diámetro mesiodistal (MD), diámetro vestibulopalatino (VP), perímetro de la cara oclusal (PO), número de cúspides (C), número de fosas (F), número de surcos (S), perímetro intercuspídeo (PI), altura cuspídea (AC) y angulación cuspídea (AgC) de 961 terceros molares cadavéricos, superiores (n = 462) e inferiores (n = 499). Calculamos mediana y rango para cada variable y las comparamos haciendo uso de la prueba de Mann Whitney (p < 0.05). Utilizamos MANOVA para determinar la relación funcional de las variables medidas con respecto al arco dentario y lado. **Resultados:** El 50.6% de los molares superiores (MS) correspondió al lado derecho (LD) y el 49.4% al lado izquierdo (LI). El 60.9% de los molares inferiores (MI) al LD y 39.1% al LI. No se hallaron diferencias significativas para las variables en estudio en los MI según su lado. Para los MS, el MD (10.30 mm) resultó significativamente mayor (p < 0.05) para el LD, y el C (3), mayor (p < 0.0001) para el LI; y, además resultaron significativos como factores asociados al lado (?2 = 0.12 y 0.14). En relación al arco, no se hallaron diferencias significativas en F (3) y S (6), mientras que el MD (10.95 mm), el C (5), el PO (43.81 mm), el PI (38.62 mm), la AC (6.91 mm) y la AgC (46°) resultaron significativamente mayores (p < 0.0001) en los MI, y el VP (11.02 mm) fue mayor en MS. Dichas variables resultaron significativas como factores asociados al arco (?2 = 0.18, 0.21, 0.19, 0.10, 0.13, 0.07, 0.20). **Conclusión:** A pesar de la heterogeneidad morfométrica del tercer molar, existen características topográficas oclusales diferenciales con valor predictivo para el arco y lado que resultarían de interés para el análisis por elemento finito del comportamiento biomecánico de la pieza.

C04

DESARROLLO DE UN MODELO DE ANÁLISIS POR ELEMENTO FINITO DEL TERCER MOLAR

Trinks P*, Grifo MB, Pari F, Amer M, Sánchez GA
Facultad de Odontología, UBA

Objetivo: El objetivo del trabajo fue desarrollar, ajustar y validar un modelo de análisis por elemento finito de las características morfométricas del tercer molar, incluyendo variables topográficas oclusales. **Materiales y métodos:** Se desarrolló un algoritmo matemático en ANSYS composición 3D de terceros molares, incluyendo variables morfométricas tales como diámetro mesiodistal (MD), diámetro vestibulopalatino (VP), longitud oclusoapical (OA), oclusocervical vestibular (OCV) y oclusopalatina/ lingual (OCL/ OCL), perímetro de la cara oclusal (PO), número de cúspides (C), número de fosas (F), número de surcos (S), perímetro intercuspídeo (PI), altura cuspídea (AC) y angulación cuspídea (AgC). Utilizamos MANOVA para determinar y ajustar la relación funcional de las variables simuladas ($p < 0.05$). La sensibilidad y especificidad del modelo para la predicción del arco y lado se analizó mediante curvas ROC. **Resultados:** Las relaciones funcionales entre las variables en estudio simuladas para la predicción del arco y lado no resultó significativamente diferente a la medida en estudios nuestros previos ($p = 0.86$). Para los molares superiores, el MD resultó significativamente mayor ($p < 0.05$) para el lado derecho, y el C, mayor ($p < 0.0001$) para el lado izquierdo; y, además resultaron significativos como factores asociados al lado ($\chi^2 = 0.11$ y 0.16). En relación al arco el MD, el C, el PO, el PI, la AC y la AgC resultaron significativamente mayores ($p < 0.0001$) en los molares inferiores, y el VP fue mayor en superiores. Dichas variables resultaron significativas como factores asociados al arco ($\chi^2 = 0.15, 0.19, 0.18, 0.08, 0.14, 0.06, 0.22$). La sensibilidad del modelo fue de 89% y su especificidad del 82% para la predicción del arco y lado. **Conclusión:** el modelo propuesto resultó convenientemente sensible y específico para el análisis morfométrico del tercer molar y su capacidad predictiva óptima, pudiendo aplicarse a la interpretación y predicción del comportamiento biomecánico de la pieza en la oclusión y durante el desarrollo de los maxilares.

C05

EVALUACIÓN DE MASTOCITOS Y OSTEOCLASTOS EN ANIMALES OVARIETOMIZADOS TRATADOS CON ALENDRONATO

Díaz DH*, Rodas JA, Mandalunis PM, Escudero ND
Facultad de Odontología, Universidad de Buenos Aires

Los bisfosfonatos (BFs) son drogas utilizadas para el tratamiento farmacológico de patologías óseas como la osteoporosis y su célula blanco es el osteoclasto. Está ampliamente descrito en la literatura que los BFs causan reacciones inflamatorias en los pacientes e incluso que dicho cuadro podría relacionarse con la patogenia de la osteonecrosis de los maxilares. En la bibliografía son escasos los trabajos que vinculan los BFs con la presencia de mastocitos, células vitales en el proceso inflamatorio, ya que liberan mediadores que se relacionarían con la activación de los osteoclastos. Hasta el momento no se han reportado estudios que evalúen el efecto de los bisfosfonatos sobre ambas células.

Por ello, el **objetivo** de nuestro trabajo ha sido evaluar el efecto de un BF (alendronato) sobre la población de mastocitos y osteoclastos en la médula ósea y tejido óseo de maxilares en animales ovariectomizados.

Materiales y métodos: se utilizaron 8 ratas Wistar hembra de 2 meses de edad divididas en 2 grupos. Al inicio todos los animales fueron ovariectomizados. Al mes, y durante 8 semanas, un grupo recibió alendronato vía i.p. en una dosis de 0.3 mg/kg/semana (grupo ALN) mientras que el grupo control recibió el volumen equivalente de vehículo (grupo VEH). Luego se sacrificaron los animales y se extrajeron las mandíbulas para la obtención de cortes histológicos descalcificados, orientados en sentido M-D, a nivel del primer molar. Se colorearon con la técnica de Unna para la detección de mastocitos. Mediante histomorfometría se cuantificaron los mastocitos en la médula ósea interradicular (mast/mm²) y los osteoclastos en las superficies óseas relacionadas con dicha médula (Oc/mm). Los datos se analizaron estadísticamente mediante el test t de Student.

Resultados: mast/mm²: ALN 1.62 \square 0.95; VEH 0.42 \square 0.13; $p < 0.05$. Oc/mm: ALN 0.41 \square 0.24; VEH 0.51 \square

Conclusión: en nuestro modelo los efectos pro inflamatorios descritos para el alendronato en el tejido óseo podrían estar mediados, al menos en parte, por un incremento en el número de mastocitos. Dicho incremento no se asoció con un cambio en el número de osteoclastos.

UBACyT 20020120100190BA, Vet M Lewicki, GADOR SA.

C06

ANÁLISIS DE BIOCOMPATIBILIDAD DE NANOPARTÍCULAS MAGNÉTICAS PARA SU USO EN INGENIERÍA TISULAR

Ximenes Oliveira AC*, López-López MT, Scionti G, Duran JDG, Gómez de Ferraris ME, Campos A, Rodríguez IA

Laboratorio de Biomateriales, Univ. Federal de Minas Gerais (Brasil)¹. Grupo de Ingeniería Tisular² y Departamento de Física Aplicada³ (España), Facultad de Odontología U.N.C (Argentina)⁴

OBJETIVO: El uso de Nanopartículas Magnéticas (NPM) ha sido propuesto especialmente orientado a nuevos protocolos de elaboración de andamios para regeneración de tejidos. El objetivo de este trabajo fue analizar la biocompatibilidad de NPM expuestas a fibroblastos gingivales humanos mediante distintos ensayos de viabilidad celular.

MÉTODOS: Se utilizaron fibroblastos gingivales humanos que fueron cultivados en placa de 24 pocillos en una concentración de 2×10^5 células/500 μ l de medio cultivo DMEM. Luego las células fueron expuestas, durante 24 horas, a concentración de 1 % de NPM (Nanomyp, España) de 100 nm de diámetro. Para analizar las posibles alteraciones morfológicas, las células fueron examinadas mediante microscopía óptica, para analizar permeabilidad de membrana nuclear se realizó cuantificación de ADN y para evaluar la proliferación celular se utilizó la técnica WST-1. Los fibroblastos cultivados en medio DMEM (CM) se usaron como control positivo de biocompatibilidad y los fibroblastos incubados en 2% tritón X (CT) como controles negativos. Para el análisis estadístico se utilizó Matt Whitney.

RESULTADOS: Las células expuestas a NPM mostraron formas ahusadas o estrelladas compatible con la normalidad, similar a lo que sucedió con CM ($p < 0,05$). Los resultados mostraron importantes alteraciones morfológicas en las células expuestas a CT caracterizadas por células de formas esféricas. Cuando se valoró la permeabilidad de membrana nuclear, no se observaron alteraciones con respecto a CM ($p < 0,05$). El análisis de proliferación celular demostró niveles de actividad celular similares a CM ($p < 0,05$). Ambos ensayos mostraron diferencias significativas con respecto a CT ($p > 0,001$).

CONCLUSIONES:

Los análisis de viabilidad celular a partir ensayos morfológicos, de permeabilidad de membrana nuclear y de proliferación celular, determinaron que las Nanopartículas Magnéticas no generan alteraciones sobre los fibroblastos gingivales humanos, poniendo de manifiesto su biocompatibilidad y su posible uso en ingeniería tisular.

Financiado por: FIS 2013-4 1821-R

C07

ESTUDIO DE LOS RESTOS EPITELIALES DE MALASSEZ EN UN DISEÑO EXPERIMENTAL DE PERIODONTITIS

Goya JA*, Benedí D, Pulitano Manisagian GE, Mandalunis PM

Cátedra de Histología y Embriología, Facultad de Odontología, UBA.

Durante la odontomorfogénesis la vaina radicular de Hertwig guía la formación de la raíz de la pieza dentaria. Una vez completada la formación de la raíz los restos epiteliales de la vaina quedan remanentes en el ligamento periodontal y se denominan restos epiteliales de Malassez (REM). Si bien es conocida la participación de estas células en procesos patológicos, entre ellos, quistes inflamatorios y tumores odontogénicos, poco se sabe de su rol en los cuadros de periodontitis y en la homeostasis del periodonto. El **objetivo** del presente trabajo ha sido evaluar cambios de los REM sobre un modelo experimental de periodontitis.

Materiales y Métodos: Para el este estudio se utilizaron 14 ratas wistar macho (60 días de edad y 280 gr de peso promedio) a las cuales se le indujo la periodontitis experimental (PE) colocando una ligadura de hilo de algodón a nivel cervical del primer molar inferior izquierdo durante 11 días, el molar inferior derecho fue utilizado como control absoluto. Al final de la experiencia se practicó eutanasia y se obtuvieron los maxilares inferiores para su fijación, descalcificación y posterior procesamiento histológico. Se realizaron cortes histológicos orientados en sentido mesio-distal y se colorearon con H&E. Sobre dichos cortes se evaluó el Número N. REM/mm² y tamaño (μ m²) de los REM en un área determinada de la zona interradicular del primer molar inferior.

Resultados: Los resultados obtenidos mostraron que en la periodontitis experimental los REM aumentan su tamaño (μ m²) (Control= 342.81 ± 135 vs PE= 1005.34 ± 650 ; $p \leq 0.001$), sin alterarse el número de los mismos N. REM/mm² (Control= $1,97 \pm 0,68$ vs PE= $2,65 \pm 1,51$; $p \geq 0.05$). Es de destacar que los REM se localizaron próximos al cemento.

Conclusión: Los resultados del presente estudio muestran que los REM cambian su comportamiento en el cuadro de periodontitis y más estudios serán necesarios para dilucidar si dichos cambios se relacionan con la participación de los mismos en la reparación del periodonto y/o la reabsorción radicular. Este hallazgo permite reivindicar la función de estos restos y considerarlos algo más que vestigios del proceso de formación de las raíces dentarias.

UBACyT 20020120100190BA

C08

PARÁMETROS HISTOMORFOMÉTRICOS DE LOS OSTEOCITOS DEL HUESO ALVEOLAR EN UN MODELO DE DESUSO EN MAXILARES DE RATA

Trojan-Cotumacci AE*, Ubios AM, Bozal CB

Cátedra de Histología y Embriología, Facultad de Odontología, UBA

En un trabajo previo en nuestro laboratorio hemos puesto a punto un modelo de desuso en maxilares de rata en el cual la ausencia de piezas dentarias provocó un cuadro de osteopenia debido a la falta de fuerzas oclusales (SAIO 2013). Los osteocitos en su rol mecanotransductor sensarían la ausencia de fuerzas en el hueso y activarían los mecanismos que desencadenen el cuadro osteopéxico por desuso. Si bien se conocen algunos mecanismos asociados a la reducción de las cargas mecánicas en huesos largos, no ha sido estudiada aún la respuesta de las células óseas en un modelo de desuso en el hueso alveolar.

OBJETIVO: estudiar histomorfométricamente a los osteocitos del hueso alveolar en un modelo de desuso en maxilares de rata.

MATERIALES Y METODOS: 15 ratas Wistar machos (215-230 g de peso corporal) divididas en 3 grupos: control (C) (n=5) y dos experimentales a los que se les indujo una condición de desuso en el maxilar superior del lado derecho por ausencia de las piezas dentarias antagonistas (E). Sacrificios a las 12h (E12: n=5) y a las 48h (E48: n=5) de las extracciones. Se procesaron las muestras para la obtención de cortes histológicos orientados en sentido buco-palatino a nivel de la raíz mesial del 1º molar, sobre los que se midieron los siguientes parámetros histomorfométricos: ancho de las corticales periodontales (1), volumen lacunar (2), volumen osteocitario (3) y forma de las lagunas (eje>/eje<) (4). Estadística: Kruskal-Wallis y prueba de Bonferroni (? 0,05).

RESULTADOS: TV:1(µm):C:111,41±12,87;E12:126,81±25,03;E48:110,13±40,85(NS);2(µm3):C:64,14±11,66;E12:61,91±6,94;E48:64,81±9,73 (NS); 3(µm3):C:17,30±3,09; E12:13,88±1,39; E48:16,65±4,30 (NS); 4:C:1,45±0,05;E12:1,55±0,04;E48:1,46±0,09(NS);TP: 1(µm): C:197,88±33,75; E12:192,73±51,67;E48:124,18±39,38(p<0,05);2(µm3):C:70,78±5,17;E12:66,84±4,58;E48:72,99±23,22(NS);3(µm3):C:19,43±2,32;E12:15,38±2,61;E48:14,13±5,47(NS);4:C:1,53±0,13;E12:2,08±1,02;E48:1,53±0,16(NS).

CONCLUSION: La capacidad mecanotransdutora de los osteocitos del hueso alveolar no se manifiesta con cambios histomorfométricos celulares y lacunares a las 12 y 48 hs de la ausencia de fuerzas oclusales, aunque mecanismos de señalización intercelular provenientes de los osteocitos podrían estar regulando la instalación del cuadro osteopéxico por desuso

C09

CONTROL DE CALIDAD DE DIFERENTES SILICATOS DE CALCIO MEDIANTE DISTINTOS ANÁLISIS DE VIABILIDAD CELULAR

Rodriguez MA1, Ximenes Oliveira AC2,3, Rozas CA1, Sakalian C1, Campos A2, Uribe Echevarría J1, Ferraris ME1, Rodriguez IA1,2 Facultad de Odontología U.N.C (Argentina)1. Grupo de Ingeniería Tisular (España)2, Laboratorio de Biomateriales, Univ. Federal de Minas Gerais (Brasil)3.

OBJETIVO: Evaluar el comportamiento de diferentes silicatos de calcio sobre fibroblastos gingivales humanos, mediante la utilización de distintos análisis de viabilidad celular. **MÉTODO:** Se utilizaron fibroblastos gingivales humanos que fueron cultivados en placa de 24 pocillos en una concentración de 2x10⁵ células/500 µl de medio de cultivo DMEM. Posteriormente las células fueron expuestas, durante 72 horas, a discos de 2 mm de diámetro y 1 mm de espesor de dos biomateriales, uno a base silicato tricálcico purificado (Biodentine, Septodont, Francia) y otro a base de silicato de calcio modificado con resina (TheraCal LC, Bisco, USA). Para analizar las posibles alteraciones morfológicas, se realizó microscopía óptica; para evaluar la proliferación celular se utilizó la técnica de WST-1 y para el análisis de permeabilidad de membrana plasmática un ensayo de Live & Dead (Invitrogen, USA). Los fibroblastos cultivados en medio DMEM (CM) se usaron como control positivo de biocompatibilidad y los fibroblastos incubados en 2.0% tritón X (CT) como controles negativos. Para el análisis estadístico se utilizó Matt Whitney. **RESULTADOS:** Los resultados mostraron importantes alteraciones morfológicas en las células expuestas a CT caracterizadas por células de formas esféricas. Las células expuestas a Biodentine y TheraCal LC mostraron formas ahusadas o estrelladas compatible con la normalidad, similar a lo que sucedió con CM. El análisis de proliferación celular de Biodentine demostró niveles de actividad celular similares a CM, no así el de TheraCal LC con niveles significativamente menores respecto a CM y Biodentine. El ensayo de Live & Dead mostró un número de células viables similar entre CM y Biodentine, mientras que TheraCal LC mostró un número de células viables significativamente menor respecto a estos dos. En todos los análisis los grupos experimentales mencionados mostraron diferencias significativas con CT (p> 0,001). **CONCLUSIONES:** Los análisis de viabilidad celular determinaron que Biodentine resultó ser más biocompatible que TheraCal LC en un modelo in vitro de fibroblastos gingivales humanos. Por lo que Biodentine sería el biomaterial indicado para su utilización en protección pulpar directa o en dentina profunda.

C10

YERBA MATE: ¿TIENE EFECTO PROTECTOR SOBRE LA PÉRDIDA ÓSEA EN ANIMALES OVARIETOMIZADOS?

Nervegna MT*, Lewicki M, Rodriguez J, Bozzini C, Mandalunis PM
Cátedra de Histología y Embriología y Cátedra de Fisiología, Facultad de Odontología,
Universidad de Buenos Aires.

La pérdida ósea producida por déficit de estrógenos en mujeres post-menopáusicas es un problema frecuente y su prevención a nivel mundial se ha basado principalmente en mejoras nutricionales y/o en fármacos antirresortivos. Trabajos previos realizados en nuestro laboratorio han demostrado que ratas Wistar con 2 meses de ovariectomía (OVX) y que consumieron yerba mate (YM) tienen una menor pérdida ósea y una disminución de la médula ósea amarilla en el tejido óseo subcondral de tibias en relación a los animales ovariectomizados (OVX) que sólo consumieron agua. Continuando con esta línea de investigación el **objetivo** del presente trabajo ha sido evaluar el efecto de la YM sobre el tejido óseo en animales con 4 meses de OVX. **Métodos:** Se utilizaron 16 ratas Wistar hembras de 206 ± 12 gr, divididas en dos grupos: Grupo I: OVX+H₂O y Grupo II: OVX+YM. El grupo I bebió agua y el grupo II bebió YM, (mate codido) durante los 6 meses de experiencia. A los 2 meses de iniciada la experiencia se practicó OVX y 4 meses después se practicó eutanasia en ambos grupos. Se extrajeron: a) fémures para análisis biomecánico mediante el test de flexión a tres puntos y b) tibias para procesamiento histológico y obtención de cortes longitudinales que se colorearon con H&E. Mediante microfotografías se analizaron los siguientes parámetros histomorfométricos: volumen óseo (BV/TV)(%), número de trabéculas (Tb.N)/(mm), espesor trabecular (Tb.Th)(μ m) y separación trabecular (Tb.Sp)(μ m). Los resultados se analizaron estadísticamente mediante test t de Student, **Resultados:** El análisis biomecánico no presentó diferencias estadísticamente significativas entre los grupos. Los datos del estudio histomorfométrico en los grupos OVX+H₂O vs OVX+YM fueron los siguientes: BV/TV(%): 7.8 ± 3.7 vs 11.8 ± 4.5 ; $p=0.069$. Tb.N/mm: 1.11 ± 0.4 vs 1.40 ± 0.5 ; $p=0.24$. Tb.Th(μ m): 68.85 ± 5.95 vs 83.53 ± 8.56 ; $p<0.001$. Tb.Sp(mm): 1.02 ± 0.45 vs 0.92 ± 0.66 ; $p=0.736$. **Conclusión:** En un trabajo previo hemos demostrado que la YM previene parcialmente la pérdida ósea en ratas Wistar con dos meses de OVX. Sin embargo, en el presente estudio con 4 meses de OVX, si bien los resultados muestran una tendencia a una menor pérdida ósea en los animales que consumieron YM, el efecto protector no sería importante.
UBACyT 20020120100190BA.

C11

NO SE PRESENTA

D01

MODIFICACIONES DE ALGUNOS COMPONENTES DE SALIVA EN PACIENTES SOMETIDOS A TRASPLANTE DE MÉDULA ÓSEA

Bachmeier E*, Mazzeo MA, López MM, Linares JA, Wietz FM, Jarchum G, Finkelberg AB

Cátedra de Fisiología. Facultad de Odontología. U.N.C. Sanatorio Allende. Córdoba.

INTRODUCCIÓN: Los pacientes sometidos a altas dosis de quimioterapia por trasplante de médula ósea (TMO) experimentan severos cambios principalmente en sistemas orgánicos con alta tasa de mitosis y actividad funcional como el sistema estomatognático. El objetivo del presente trabajo consistió en analizar posibles modificaciones de algunos componentes orgánicos e inorgánicos salivales como posibles marcadores de la actividad funcional de la glándula, en un grupo de pacientes sometidos a TMO.

MÉTODOS: Se efectuó un estudio observacional-longitudinal en pacientes que ingresaron al aislamiento de la unidad de trasplante de médula ósea, del servicio de oncohematología del Sanatorio Allende, durante el primer semestre de 2014. Se efectuó recolección de saliva basal en etapa inicial (I) previa al aislamiento y etapa media (M) catorce días posteriores a la terapia de acondicionamiento. Se analizaron los siguientes componentes: flujo basal, pH, ionograma, ácido úrico, urea, proteínas totales, amilasa, IgAs y Beta2 microglobulina.

RESULTADOS: Sodio, Cloro y Urea en (M) fueron significativamente mayores que en (I) $p < 0.1$, $p < 0.01$ y $p < 0.001$, en tanto que pH, IgAs y B2microglobulina en (M) fueron significativamente menores que en (I) $p < 0.02$, $p < 0.05$ y $p < 0.01$ respectivamente. Flujo basal, potasio, ácido úrico, proteínas totales y amilasa no mostraron alteraciones significativas durante el tratamiento.

CONCLUSIONES: Altas dosis de quimioterapia alteraron los mecanismos de excreción y reabsorción salival de Na^+ y Cl^- . El aumento de urea podría correlacionarse con un incremento del catabolismo proteico en la etapa media del tratamiento. La disminución de IgAs en (M) reduciría la capacidad defensiva de la saliva.

D02

ACTIVIDAD FUNCIONAL Y ANTIOXIDANTE DE GLÁNDULA SUBMANDIBULAR (GSM) DE RATAS TRATADAS CON CICLOFOSFAMIDA (CF)

Mazzeo MA*, López MM, Bachmeier E, Linares JA, Wietz FM, Dubersarsky C, Finkelberg AB

Cátedra de Fisiología. Facultad de Odontología. U.N.C. Sanatorio Allende. Córdoba

Introducción: ciclofosfamida es un citostático alquilante, utilizado junto a otros fármacos oncológicos en el tratamiento de tumores sólidos o esquemas de acondicionamiento para trasplante de médula ósea. Numerosos autores informaron complicaciones en cavidad bucal por efecto de esta droga. El objetivo del presente fue evaluar el efecto de Cf sobre la actividad funcional y la capacidad defensiva de la GSM de ratas Wistar.

Métodos: se utilizaron 14 ratas macho Wistar de tres meses de edad, alojadas en jaulas individuales, con temperatura e iluminación controlada y dieta libre. Fueron divididas en dos grupos experimentales: 1) Control (C) y 2) tratadas con Cf aplicándose una dosis i.p. de 50 mg/Kg de peso corporal durante dos días consecutivos. Los animales fueron ayunados por 24 horas. Se anestesiaron y se extirparon ambas GSM. Se analizó el glucógeno submandibular, SOD y AU en tiempo inicial (t0) y luego de 60 minutos de estimulación mecánica (t60), evaluándose concentración glandular y cantidad liberada al medio de incubación.

Resultados: ratas C (t0) mostraron una concentración de glucógeno de 47,4 $\mu\text{mol/mg p.s.}$ que disminuyó en (t60) a 8,78. El grupo Cf (t0) mostró una concentración de 27,9 $\mu\text{mol/mg p.s.}$ que disminuyó en (t60) a 12,63. ($p < 0,0001$). La concentración de SOD en grupo Cf (t0) fue mayor (4U/ml $\pm 0,75$) que en C (1,33U/ml $\pm 0,07$), ($p < 0.0001$). En tanto que el AU del grupo Cf mostró una concentración inicial de 5,1 mg/dl ± 0.33 vs. C de 6,1 mg/dl $\pm 0,6$. En C, (t60) el contenido glandular de AU fue significativamente menor 4,1 mg/dl $\pm 0,1$ ($p < 0,0001$) mientras que en Cf los valores fueron similares a los iniciales: 4.1 mg/dl ± 1 . El AU liberado al medio en ratas con Cf fue mayor (2,5 mg/dl $\pm 0,2$) que en C (1 mg/dl $\pm 0,1$) $p < 0,01$ respectivamente.

Conclusiones: Ciclofosfamida alteró el metabolismo de los hidratos de carbono, disminuyendo la síntesis de glucógeno de GSM de ratas. El incremento de SOD y de AU podría interpretarse como un mecanismo de respuesta glandular contra el estrés oxidativo producido por esta droga.

D03

EXPRESIÓN DE ERK EN ASTROCITOS DEL SUBNÚCLEO CAUDAL DEL TRIGÉMINO INDUCIDO POR UN TRATAMIENTO ENDODÓNTICO EXPERIMENTAL

Canzobre MC*, Ríos H

Catedra de Histología y Embriología. Facultad de Odontología, UBA. Instituto de Biología Celular y Neurociencias "Prof. E. De Robertis", Facultad de Medicina, UBA. Buenos Aires, Argentina

En el sistema nervioso central los astrocitos interactúan con las neuronas y desempeñan un papel importante en el control del dolor y la sensibilización central. La proteína ERK es una de las quinasas activadas por mitógenos (MAPKs) que se fosforila en neuronas luego de una lesión periférica.

Objetivo: Analizar la expresión de pERK en astrocitos del subnúcleo caudal del trigémino (Vc), luego de un estímulo inflamatorio periodontal generado por un tratamiento endodóntico unilateral en ratas.

Métodos: 16 ratas Wistar hembras de 50 días, que se dividieron en grupo control y grupo experimental al cual se le realizó el tratamiento endodóntico en el primer molar inferior izquierdo. Para analizar los cambios plásticos en el trigémino en respuesta a la lesión inflamatoria, se realizaron inmunohistoquímicas, inmunofluorescencias y western blot (WB), utilizando anticuerpos primarios anti p-ERK y anti S100B, para ambos lados del subnúcleo caudal del trigémino (Vc).

Resultados: El Vc ipsilateral del grupo experimental mostró un mayor número de astrocitos S100B+ ($5,45 \pm 0,61$) por área, respecto al contralateral ($4,20 \pm 0,85$) $p=0,02$ y al grupo control $p=0,002$. Con inmunofluorescencia, observamos una fuerte inmunorreactividad pERK (pERK-IR) en el Vc ipsilateral y que la mayoría de las células pERK-IR coexpresaron el marcador astrogial S100B. La mayor expresión de estas proteínas, después del tratamiento endodóntico, también fue confirmada con la técnica de WB.

Conclusión: Nuestros resultados refuerzan la hipótesis que la señalización y activación de ERK en los astrocitos a los 7 días post endodoncia juegan un papel importante en la evolución temporal y modulación de la vía nociceptiva trigeminal. Teniendo en cuenta esto, las vías de MAPK en el dolor de tipo inflamatorio, podrían ser objetivos potenciales para la intervención farmacológica, ya que sus inhibidores alterarían el rol de neuronas y glía durante la sensibilización central. Este trabajo fue subsidiado por UBACyT 20020120100006.

D04

TÉCNICA DE SEDACIÓN CONSCIENTE CON MIDAZOLAM VÍA ORAL PARA TRATAMIENTO ODONTOLÓGICO EN PACIENTES ADULTOS CON SÍNDROME DE DOWN

Binicki, R*, Alvarez, M, Armada, M, Calvano C, Echaide M, Martínez D, Monod S, Bianchi L, Ferrary T, Orman B
Cátedras de Patología y Clínica Buco-dental, Farmacología. FOUBA.

El Síndrome de Down (SD) es la causa más frecuente de discapacidad cognitiva psíquica congénita y representa el 25% de los casos de discapacidad cognitiva. Presenta alteraciones sistémicas como una probabilidad superior a la de la población general de padecer enfermedades cardiacas, digestivas y endocrinas, así como trastornos en la conducta (TC), cuya prevalencia es del 8-12%, en relación al 3-4% de la población general. Los TC dificultan el tratamiento odontológico. La técnica de sedación consciente (SC) con midazolam (M) intravenoso ha sido utilizada con éxito en pacientes (P) niños y adultos con SD.

El **objetivo** de este estudio fue evaluar la técnica de SC con midazolam por vía oral en P adultos con SD asociado con TC.

Materiales y Métodos: se seleccionaron 33 P adultos con SD de 20 a 36 años de edad, ASA II y conducta negativa (Escala de Frankl). Se dividieron en tres grupos de acuerdo a la dosis de M administrada, A: 7.5 mg, (5 P); B: 15 mg (17 P) y C: 30mg (11 P). Se observó el nivel de sedación con la escala de Houpt (EH) y se evaluaron los parámetros de pulso, presión arterial, saturación de oxígeno y frecuencia respiratoria previo, durante y posterior al tratamiento odontológico (TO).

Resultados: de acuerdo a la evaluación total del procedimiento con la EH, el 100% de los P del grupo A presentaron un valor de 1, los del grupo B, el 40% mostró un valor de 2 y el 60% restante 5, mientras que el 100% de los P del grupo C tuvieron un tratamiento exitoso con un valor de 6. Los valores de los signos vitales se encontraron dentro de los parámetros clínicos normales y no presentaron diferencias entre los grupos como tampoco se evidenciaron efectos adversos.

Conclusión: Los P con SD presentan una mayor prevalencia de patología buco-dental y suele acompañarse con TC. De acuerdo a la EH, no se logró el efecto de sedación con la dosis de 7,5mg impidiendo el TO; con 15 mg su resultado fue heterogéneo, permitiendo en el 60% el abordaje del TO mientras que en el 40% restante no fue posible. El efecto sedativo con 30 mg permitió en la totalidad de los P la realización del TO con adecuados efectos ansiolíticos. El uso de M se presenta como una alternativa efectiva para el control de conductas negativas en P adultos con SD y otras patologías con TC durante el TO.

D05

ANÁLISIS MORFOMÉTRICO Y BIOMECÁNICO DEL HUESO MANDIBULAR EN DISTINTAS CONDICIONES DE HIPOXIA

Terrizzi AR*, Lee CM, Fernandez Solari J, Bozzini C, Conti MI, Martínez MP
FOUBA

La exposición crónica a la altura produce hipoxemia causando efectos deletéreos en distintos órganos. Más de 200 millones de personas alrededor del mundo están expuestas en forma permanente o temporaria a dicha condición, siendo escasa la bibliografía referente al daño sobre los tejidos orales. **Objetivo:** analizar bajo condiciones de hipoxia crónica continua (HCC) e intermitente (HCI) las propiedades biomecánicas de la mandíbula y la pérdida ósea alveolar, evaluando posibles alteraciones adicionales por inducción experimental de periodontitis (EP). **Materiales y métodos:** se utilizaron ratas Wistar hembras que se mantuvieron por 90 días en una cámara hipobárica a 600 mbar según: HCC, n=20; 23,5 horas/día y HCI, n=20; 18 hs/día. Otros 20 animales fueron utilizados como control (C). Quince días previos a la autopsia se indujo EP mediante ligadura alrededor del primer molar inferior a la mitad de los animales de cada grupo. Finalizado el período experimental se analizaron las propiedades biomecánicas mandibulares mediante un equipo Instron 4442; se midió la pérdida ósea alveolar macroscópica y el volumen óseo interradicular. **Resultados:** La hipoxia afectó negativamente las propiedades estructurales óseas ($p < 0.001$) siendo mayor el efecto deletéreo de la HCI que de la HCC. Lo mismo ocurrió con el momento de inercia (mm^4), indicador de las propiedades geométricas (C: 4.05 ± 0.29 ; HCI: 3.07 ± 0.43 y HCC: 3.59 ± 0.27) El stress (propiedad material) disminuyó significativamente bajo ambas condiciones ambientales ($p < 0.001$). Con respecto al hueso alveolar, la exposición a HX incrementó la pérdida ósea tanto en el hueso sano como en el afectado por EP, siendo mayor el daño y observándose quistes inflamatorios interradiculares por exposición a HCC. **Conclusiones:** El efecto deletéreo sobre el hueso mandibular es mayor por exposición a HCI que a HCC, posiblemente debido a que los períodos de normoxia en el primer caso impedirían la adaptación biomecánica por modificación de su arquitectura que se observa en HCC. En cambio, el hueso alveolar está directamente afectado por los procesos inflamatorios del tejido periodontal circundante, siendo el efecto deletéreo proporcional al tiempo de exposición a hipoxia.

D06

RECEPTORES DE CANNABINOIDES TIPO 2 COMO BLANCO TERAPÉUTICO PARA PERIODONTITIS. MODELO EN RATA

Ossola CA*, Surkin PN, Elverdin JC, Fernández Solari J
Facultad de Odontología, U.B.A.

La participación del sistema endocannabinoide (SEC) en los procesos inflamatorios ha sido ampliamente reportada en la literatura. Anteriormente, demostramos que el tratamiento con un agonista selectivo de receptores de cannabinoides tipo 2 (CB2), el HU308, previene la pérdida ósea y la producción gingival de TNF α y óxido nítrico inducidas por periodontitis. **OBJETIVO:** profundizar los estudios del CB2 como posible blanco terapéutico para tratar la enfermedad periodontal, en un modelo en ratas. **MÉTODOS:** ratas Wistar macho (300g) se dividieron en 4 grupos (n=6): 1) control; 2) inyectados con 20 μ L de solución fisiológica en la encía vestibular y lingual/palatina del primer molar y en el espacio interdental entre el primer y segundo molar de ambos maxilares, tres veces por semana, durante 6 semanas (en días 1, 3 y 5); 3) inyectados con 20 μ L de lipopolisacárido de *Escherichia coli* (LPS) (1mg/ml) en los sitios descritos para el grupo 2; y 4) inyectados con LPS y topicados diariamente con HU308 (500ng/ml) en los sitios de inyección. Además realizó otro estudio con el mismo esquema pero durante 3 semanas. Luego del sacrificio de las ratas, se midió la pérdida ósea alveolar en sentido vestibulo-lingual. En la encía que rodea al primer molar se midió el nivel de prostaglandina E2 (PGE2), como marcador de inflamación (por RIA). Asimismo, se hicieron estudios histológicos para evaluar el estado del hueso interradicular y del ligamento periodontal. Estadístico: ANOVA de 2 vías. **RESULTADOS:** el contenido de PGE2 en la encía, incrementado por LPS (159,2 pg/mg encía), fue reducido por HU308 (71,2 pg/mg encía) ($? < 0,05$). El examen del ancho del proceso alveolar mostró menores valores con LPS (2,45 mm) respecto de los controles (2,62 mm), siendo mantenidos parcialmente en los grupos tratados con HU308 (2,6 mm) ($? < 0,001$). Los estudios histomorfométricos manifestaron correlación con lo observado en las técnicas macroscópicas. En 3 semanas, se observó una pérdida ósea incipiente, atenuada por HU308, acompañada por algunos indicadores revelados en 6 semanas. **CONCLUSIÓN:** en el modelo de periodontitis inducida por LPS, la activación del SEC a través del receptor CB2 reduce la presencia de mediadores inflamatorios gingivales y previene la destrucción de los tejidos periodontales.

D07

EFFECTO DE LA INYECCIÓN DE PARATHORMONA RECOMBINANTE HUMANA (TERIPARATIDE) SOBRE LA PERIODONTITIS EXPERIMENTAL. ESTUDIO PRELIMINAR

Gonzales Chaves M*, Rufolo C, Friedman S, Mandalunis P, Zeni SN
CATEDRA DE BIOQUIMICA GRAL Y BUCAL, FACULTAD DE ODONTOLOGIA. UBA

La hormona paratiroidea (PTH) posee acción anabólica cuando se la da en forma de pulsos para recuperar masa ósea esquelética; se ha sugerido que además presenta efectos antiinflamatorios. Los estudios que evalúan sus efectos sobre la pérdida ósea de la cavidad oral son escasos y no han dado resultados concluyentes. Objetivo: realizar un estudio preliminar para evaluar el efecto de la droga sobre la recuperación de la pérdida de masa ósea inducida por enfermedad periodontal experimental. Materiales y Métodos: Se desarrolló periodontitis en 24 ratas macho adultas mediante ligadura dental. A los 7 días se inició tratamiento con Teriparatide (grupo PTH) en una hemimandíbula mediante inyección submucosa 3 veces por semana; en la contralateral usada como control se inyectó solución fisiológica (SF). Los animales fueron sacrificados a t=0 (n=8, control sin desarrollo de periodontitis), t=7 (n=8, inicio del tratamiento) y t=14 (n=8, final) de experiencia, evaluándose volumen óseo. Resultados (media±DS): Respecto del valor inicial a los 7 días se observó una disminución del volumen óseo (42.3±4.8 vs. 26.2±3.3; p<0.001). A t=14 el grupo PTH aumentó el volumen óseo respecto del grupo SF que permaneció sin cambios (29.7±1.3 vs 25.2±5.0; p<0.05). La formación de abscesos fue del 57% a t=7 y de 90% a t=14 en el grupo SF y del 50% en el grupo PTH. Conclusiones: Los resultados preliminares evidencian un efecto beneficioso del tratamiento con PTH tanto en la recuperación de la masa ósea alveolar perdida por periodontitis como en el proceso inmunitario.

D08

EFFECTO DEL CONSUMO DE UNA MEZCLA GOS/FOS® SOBRE EL CRECIMIENTO DE TIBIA Y MANDÍBULA DURANTE LA RECUPERACIÓN NUTRICIONAL

Gonzales Chaves M*; Bryk G; Rufolo C; Zeni Coronel M; Mandalunis P; Pita Martín de Portela ML; Zeni SN
CAT. DE BIOQUIMICA GRAL Y BUCAL, FOUBA

En los primeros años de vida, la restricción proteica (RP) conduce a disminución del peso corporal (PC) y estatura, asociado esto último a una menor masa ósea. La recuperación nutricional deberá recuperar la masa ósea perdida y así la talla (TC), sin inducir aumentos significativos en el PC que pudieran en el futuro inducir obesidad. Los prebióticos serían una herramienta útil para aumentar la absorción y retención mineral sin incrementar el aportado por la dieta. Objetivo: evaluar el efecto del agregado de una mezcla GOS/FOS® a una dieta con aporte normal de minerales y vitaminas, en un modelo de recuperación nutricional. Ratas machos Wistar al destete (~21 días) recibieron una dieta hipo-proteica (4%) durante 7 días; luego se realimentaron, hasta los 50 días, con dietas normo-proteicas (18%) conteniendo minerales y vitaminas según AIN'93-G sin o con agregado de 5% GOS/FOS® (DSP y DP, respectivamente). Dos grupos controles recibieron la dieta experimental desde el destete hasta los 40 (C40) o hasta los 50 días (C50). Se evaluó: PC y TC durante toda la experiencia y al final peso de tibia y hemimandíbula (PT y PHM, respectivamente), pH cecal, absorción de Ca y fósforo (P), contenido de Ca y P en tibia, contenido mineral del esqueleto total (CMO/PC) (Lunar DXA), volumen óseo (BV/TV) en tibia y hemimandíbula, ancho total del cartílago epifisario (GPC.Th), ancho del cartílago hipertrófico (HpZ.Th) y longitud de tibia (LT). Durante la semana de dieta hipoproteica se detuvo el crecimiento. Al final del estudio DP vs. DSP evidenció disminución del pH cecal (p<0.0001) y aumento en la absorción de Ca y P (p<0.005 y 0.01, respectivamente), concentración de Ca y P en tibia (p<0.01), CMO/PC (p<0.05); asimismo si bien no se observaron diferencias en PT, PHM y longitud de tibia, DP aumentó el BV/TV en tibia y mandíbula, (GPC.Th), (HpZ.Th) (p<0.05). Conclusión: durante el periodo estudiado, la mezcla de GOS/FOS® mejoró los parámetros óseos, sugiriendo su utilidad en la recuperación nutricional ósea. ® N.V.Nutricia

D09

ESTIMULACIÓN ADRENÉRGICA DE LA SECRECIÓN DE NANOVESÍCULAS CON ACTIVIDAD NUCLEOTIDÁSICA EN GLÁNDULA SUBMANDIBULAR DE RATA

Balcarcel NB*, Barbieri van Haaster MM, Ostuni MA, González DA
Cátedra de Biofísica, Facultad de Odontología, Universidad de Buenos Aires

Estudios previos del grupo mostraron actividad ATPásica atribuible a NTPDasas de membrana plasmática en microsomas de glándula submaxilar (GSM), y también en medios de incubación de GSM sin o con isoproterenol (SAIO 2013), dando lugar a la hipótesis de que hay secreción de estas nucleotidasas a los ductos, probablemente incluidas en vesículas extracelulares

Objetivo: avanzar en la caracterización de la actividad nucleotidásica secretada por la GSM de rata

Métodos: fragmentos de GSM de ratas Wistar se incubaron durante 30' a 37°C en solución fisiológica a pH 7,4 gaseada con carbógeno, sin o con 0,1 mM isoproterenol o acetilcolina. Los medios de incubación fueron centrifugados sucesivamente según 2 protocolos: 1) 10' a 1000g, 20' a 9500g y 60' a 27000g, y 2) 15' a 2000 g y 60' a 27000 g. Los pellets obtenidos en la última centrifugación fueron analizados por microscopía electrónica de transmisión (TEM) con tinción negativa, se midió proteínas con el método de Bradford y actividad ATPásica, ADPásica y AMPásica dosando el fosfato (Pi) liberado a partir de 3 mM MgATP, MgADP o MgAMP con el método colorimétrico de Baginski

Resultados:

-La actividad ATPásica secretada fue similar en los pellets obtenidos a 27000g en ambos protocolos, y menor a la medida en el pellet de 9500g. Se decidió continuar con el Pellet 27000g del segundo protocolo

-La capacidad de hidrolizar ATP, ADP y AMP fue 3,6; 2,6 y 2,3 veces mayor en los pellets obtenidos después de incubar los fragmentos glandulares en presencia de 0,1 mM isoproterenol. En cambio, 0,1 mM acetilcolina no aumentó la actividad ATPásica liberada

-La masa de proteína en el pellet aumentó de 9 a 16 ng/mg GSM por efecto del isoproterenol

-El 80% de la actividad ATPásica se perdió con un $\frac{1}{2}$ min, lo que es característico de la NTPDasa2. El agregado de la lectina Concanavalina-A al medio antes del MgATP estabilizó la glicoproteína y mantuvo constante la velocidad de hidrólisis de ATP

-La TEM de los pellets obtenidos sin y con isoproterenol muestra nanovesículas \square 150 nm

Conclusiones: la GSM secreta nanovesículas que podrían ser el vehículo para transportar nucleotidasas que regulen las concentraciones de ATP, ADP y adenosina y las respuestas purinérgicas en los ductos glandulares.

Financiado por UBACYT 20020100100364

D10

PERIODONTITIS EXPERIMENTAL EN RATAS HIPERCOLESTEROLÉMICAS: ESTUDIO HISTOMORFOMÉTRICO A 4 SEMANAS

Antona ME1, Gonzales Chaves, MC1, Zago V4, Costa O3, Friedman SM1, Mandalunis PM2, Macri EV1.

Cátedras de 1Bioquímica General y Bucal, 2Histología y Embriología, y 3Periodoncia. Fac. de Odontología; 4Lab Lípidos y Lipoproteínas- Fac. Farmacia y Bioquímica. UBA.

La periodontitis (P) es una enfermedad inflamatoria de alta prevalencia que puede provocar un impacto adverso en la salud sistémica. En trabajos a corto plazo encontramos que la hipercolesterolemia (HC) sistémica podría afectar el soporte dentario alveolar. Sin embargo todavía no se conocen los efectos de P y HC en tiempos experimentales mayores. **OBJETIVO:** evaluar la respuesta del hueso intrarradicular mediante histomorfometría en un modelo de periodontitis inducida por ligadura durante 4 semanas en ratas hipercolesterolémicas. **MÉTODOS:** Se utilizaron ratas Wistar adultas controles (C) (n=6), alimentadas *ad libitum* con dieta comercial o hipercolesterolémica (HC) (n=6). La hipercolesterolemia se generó con dieta aterogénica durante 3 semanas previas a la periodontitis. La P se indujo mediante ligadura (L) en el primer molar de la hemimandíbula derecha. El molar contralateral se usó como control. A las 4 semanas se eutanasiaron. En suero se evaluó perfil lipídico (mg/dL): colesterol total (col-T), triglicéridos (TG) y colnoHDL. Las hemimandíbulas fueron resecadas y procesadas para su inclusión en parafina. Se obtuvieron cortes histológicos orientados en sentido mesio-distal y se colorearon con H&E. Sobre microfotografías digitales se estudiaron en hueso intrarradicular: altura del ligamento periodontal (LP, μ m), volumen óseo [BV/TV(%)] y volumen de médula ósea [BMV/TBV(%)]. Estadística: SPSS. T-test, ANOVA+SNK. **RESULTADOS:** HC presentó hipercolesterolemia [col-T:149 \pm 37 vs 71 \pm 06 (C) mg/dL y elevado colnoHDL: 101 \pm 42 vs 21 \pm 06(C) mg/dL, p<0,001]. LP (μ m) fue mayor en el grupo HC.L [HC.L 710,5 \pm 12,1 > C.L \pm 535,8 \pm 49,7 > HC 222,4 \pm 32,7 = C 189,6 \pm 26,0 (p<0,001). BV/TV(%) fue menor en HC (31,9 \pm 2,0) respecto al control (37,7 \pm 3,9) (p<0,001). Contrariamente a lo esperado los grupos ligados presentaron un aumento significativo del volumen óseo apical y reducción de BMV/TBV (%) [C.L 33,2 \pm 1,3=HC.L 37,5 \pm 5,8 < C 55,2 \pm 6,9=HC 59,5 \pm 4,1] (p<0,001) con espacios medulares reemplazados por tejido fibroso. **CONCLUSION:** La hipercolesterolemia en P provocó mayor pérdida ósea horizontal y menor volumen óseo. La P crónica condujo a fibrosis medular y alteraciones óseas apicales que sugieren adaptaciones secundarias a la presencia de la ligadura. UBACyT 20020120200098BA.

D11

DEXAMETASONA AFECTA LA BIOMECANICA MANDIBULAR MEDIANTE EFECTOS NEGATIVOS CELULARES Y TISULARES EN LA RATA EN CRECIMIENTO

Bozzini C*, Champin GM, Bozzini CE, Alippi RM
Cátedra de Fisiología, FOUBA

Objetivo. La administración crónica de glucocorticoides a ratas en crecimiento induce osteopenia y modificaciones negativas del comportamiento biomecánico del hueso. El estudio presente fue realizado para estimar los efectos de dexametasona (D), glucocorticoide sintético, sobre las propiedades biomecánicas de la mandíbula de ratas en crecimiento. **Métodos.** Ratas hembras de 23 d (n = 7) recibieron 500µg.kg-1/d por vía sc durante 4 sem.. La estimación de las propiedades biomecánicas fue realizada mediante el ensayo de flexión a 3 puntos y tomografía periférica cuantitativa computarizada (pQCT), métodos que brindarán información más precisa cuando son analizados conjuntamente que cuando lo son separadamente. **Resultados.** Peso y longitud corporales disminuyeron 51.3% y 20.6%, respectivamente, en las ratas tratadas.. El peso de la hemimandíbula derecha y el área mandibular (índice del tamaño del hueso) disminuyeron 27.3% y 9.7%, respectivamente. La hemimandíbula derecha de cada animal fue analizada biomecánicamente en el test de flexión. Se observó un significativo debilitamiento del hueso, demostrado por la disminución correlativa de la resistencia (a la fractura) y de su rigidez estructural (medida en la fase elástica de deformación) en los animales experimentales. La densidad ósea y el área de sección transversal fueron estimadas mediante pQCT. Las áreas de sección transversal, cortical y trabecular, mostraron una reducción significativa de entre 20% y 30%, así como la densidad ósea, su contenido mineral y el momento de inercia de la sección transversal. El BSI (índice de resistencia ósea), el producto de xCSMI y vCtBMD (medidos tomográficamente), disminuyó un 56% en las ratas tratadas, valor semejante al 54% y 52% observado en la resistencia y rigidez mandibulares determinadas mediante el test de flexión. **Conclusiones.** El análisis de los resultados obtenidos sugiere que D ejerce una acción negativa y combinada sobre la mandíbula, sobre su geometría (masa y arquitectura) y sobre su densidad mineral volumétrica del tejido cortical, acciones que expresarían efectos independientes sobre los niveles celular (calidad material) y tisular (diseño arquitectónico) de organización biológica del esqueleto.

D12

RESPUESTA BIOMECANICA FEMORAL EN RATAS ENTRENADAS A CORRER

Bozzini CE+, Viscor Carrasco G++, Ríos Kristjánsson++, Pagés T++, Alippi RM+, Bozzini C*+
+Cátedra De Fisiología FOUBA y ++Departament de Fisiologia i Immunologia, Universitat de Barcelona, España

Objetivo. El ejercicio físico regular ejerce efectos positivos sobre la densidad, el tamaño y la forma de los huesos involucrados. El objetivo de la investigación presente fue estimar las modificaciones biomecánicas inducidas a nivel del fémur en ratas entrenadas a correr. **Métodos.** Ratas machos Sprague-Dawley con peso 180,0 ± 3,0 g fueron entrenadas a correr en una cinta durante 4 semanas. Durante las primeras 2 sem. (preacondicionamiento) la velocidad de la cinta fue aumentada progresivamente entre 0 y 45 cm.seg-1, siendo esta última mantenida durante las siguientes 2 sem. Se efectuaron dos sesiones diarias (mañana y tarde) de 2 hr cada una. Las propiedades biomecánicas *estructurales* de la diáfisis femoral (hueso compacto) fueron determinadas mediante el test de flexión a tres puntos: cargas de punto de cesión y de fractura y rigidez estructural; las propiedades *materiales* del tejido óseo (módulo de elasticidad) fueron calculadas a partir de la curva *estrés/deformación*. Las propiedades *geométricas* fueron estimadas a partir de mediciones: peso y longitud femorales, áreas de sección transversal, cortical y medular, y momento de inercia axial. Grado de mineralización: relación porcentual entre peso de cenizas (calcinación a 600°C) y peso seco del hueso. Estadística: test de Students. **Resultados.** Peso corporal: C: 423,7 ±21,9, E: 364,8 ± 9,3. Modificaciones significativas en E: grado de mineralización (+8%), peso de cenizas (+7,1%), carga de cesión (+18,3%), carga de fractura (+46,4%), rigidez diafisaria (+30,6%), módulo de elasticidad (+42,4%); diferencias no significativas: peso seco femoral (-0,5%), momento de inercia de sección transversal (-6,2%), área cortical transversal (-6,3%), área de sección transversal (-8,7%). Peso de cuadriceps crural (+46,6%). **Conclusiones.** El incremento de la resistencia a la fractura y de la rigidez diafisarias del fémur de ratas entrenadas a correr no estuvo relacionado con modificaciones de las propiedades arquitectónicas del hueso sino con un aumento de su mineralización y del módulo de elasticidad (rigidez intrínseca del material óseo)

Proyecto financiado por subsidios UBACYT (20020100100389 y 2002010010067) y Proyecto DEP2010-22205-C02-01 del Plan Nacional I+D+i del Gobierno de España

D13

LIGANDOS A RECEPTOR HISTAMINA 4 MEJORA EL DAÑO PRODUCIDO POR LA ENFERMEDAD PERIODONTAL EN RATAS

Rios CE*1; Prestifilippo JP1; Mohn C1,2; Fernández-Solari J1,2; Medina V2,3; Elverdin JC1.

1Cátedra de Fisiología–FOUBA, 2CONICET, 3FFyB-UBA.

La enfermedad periodontal (EP) es una enfermedad inflamatoria crónica de las estructuras de soporte de los dientes que conduce a la pérdida de dientes. Su impacto significativo en la salud y la calidad de vida hace que sea necesario un eficaz tratamiento. Recientemente, hemos reportado que la administración sistémica de histamina y JNJ7777120, ambos ligandos receptor histamina 4 (RH4), reduce daño en la glándula submandibular (GSM) y la estructura ósea periodontal en ratas con EP. **OBJETIVO:** Investigar los efectos de la administración tópica de los ligandos RH4, clozapina y JNJ10191584 (JNJ101), sobre los cambios histológicos, alteraciones funcionales e inflamatorios en GSM, tejido óseo y encía, en animales con EP.

MATERIALES Y METODOS: La EP Bilateral fue inducida mediante la colocación de una ligadura de hilo de algodón alrededor del cuello del primer molar inferior en ratas macho y se mantiene durante dos semanas. La clozapina (0,25%) y JNJ101 (2,5%) en gel, se administraron por vía tópica (0.1ml/día) inmediatamente después de la colocación de ligadura y diariamente durante 2 semanas.

RESULTADOS: Ambos compuestos disminuyeron la pérdida ósea determinada como la distancia entre la unión amelocementaria y la cresta alveolar ($0,76 \pm 0,03$ mm clozapina+EP, $P < 0,001$; $0,80 \pm 0,04$ mm JNJ101+EP, $P < 0,01$ vs $0,98 \pm 0,04$ mm EP) y redujeron el aumento de la prostaglandina 2 en el tejido gingival. La EP disminuyó 2 veces la secreción salival inducida por metacolina e indujo el aumento de los niveles de prostaglandina 2, vacuolización, apoptosis y alteraciones histológicas en GSM, que fueron parcialmente revertidas por los ligandos RH4.

CONCLUSION: La administración tópica de ligandos RH4 puede tener un potencial uso en el tratamiento para la enfermedad periodontal por la disminución de la inflamación de los tejidos de soporte dentarios y la preservación de hueso alveolar y tejidos de las glándulas salivales.

D14

EFFECTO DE LAS NANOPARTÍCULAS DE SELENIO SOBRE LA ENFERMEDAD PERIODONTAL EXPERIMENTAL

Rios CE*1; Tancredi P2; Fernandez Solari J1,3; Medina V3,4; Socolovsky LM2, Elverdin JC1, Prestifilippo JP1.

1Cátedra de Fisiología – FOUBA; 2FI-UBA, 3CONICET; 4FFyB-UBA.

La enfermedad periodontal (EP) es causada por múltiples factores que conllevan a la inflamación crónica local de los tejidos de soporte dentario, produciendo no sólo la pérdida de piezas dentarias, sino también consecuencias sistémicas, ya que genera un estado pro-inflamatorio crónico. En el último tiempo se ha observado el efecto antibacterial de algunos elementos en forma de nanopartículas, y en particular la acción de nanopartículas de selenio (Se) sobre bacterias formadoras de biofilm.

OBJETIVO: Investigar el efecto de las nanopartículas de Se sobre la enfermedad periodontal en un modelo experimental en ratas.

MATERIALES Y METODOS: Se utilizaron ratas Wistar macho a las que se les realizó una ligadura con hilo de algodón alrededor del cuello de los primeros molares inferiores, y la aplicación tópica diaria de 0,2 ml (0,1 ml unilateral) de un gel conteniendo 4 ppm o 40 ppm de Se nanoparticulado o su vehículo, durante 14 días post ligadura y se evaluó el tejido mucogingival, a través de exámenes histológicos, y la pérdida ósea alveolar, determinada midiendo la distancia entre el límite amelocementario (LAC) y la cresta alveolar (CA).

RESULTADOS: El examen histológico mostró un aumento de las digitaciones epiteliales y del grosor de la matriz extra celular, con leve infiltrado inflamatorio crónico (linfocítico) y macrófagos en los animales del grupo EP y el grupo de EP+Se4ppm, mientras que en el grupo control y EP+Se40ppm se observaron encías con características normales. Se observó un incremento significativo de la distancia entre el LAC y la CA en mandíbulas de animales que presentaban EP, sin observarse en los animales tratados con nanopartículas de Se ($0,82 \pm 0,03$ mm EP+Se4ppm; $0,86 \pm 0,04$ mm EP+Se40ppm; vs $1,10 \pm 0,04$ mm P, $p < 0,001$).

CONCLUSION: El tratamiento mediante topificaciones con nanopartículas de Se disminuye la pérdida ósea generada por la enfermedad periodontal en las dos concentraciones evaluadas, acompañado de una imagen histológica compatible con salud en el grupo experimental tratado con 40 ppm.

D15

EFFECTO DIFERENCIAL DE CARTICAÍNA SOBRE LA SERCA DE MÚSCULO PTERIGOIDEO INTERNO

de la Cal C*, Trinks PW, Corti S, Sánchez GA
Cátedras de Biofísica y Cátedra de Anatomía. Facultad de Odontología. UBA.

Objetivo: Determinar el efecto diferencial de carticaína sobre las isoformas de la Ca-ATPasa de retículo sarcoplásmico (SERCA) de músculo pterigoideo interno. **Método:** Disecamos músculos pterigoideos internos de conejo e identificamos su composición de fibras por técnicas histológicas estándar. Aislamos SERCA por centrifugación diferencial e identificamos su contenido proteico por electroforesis SDS-PAGE, y sus isoformas por ELISA. Determinamos la actividad enzimática y la capacidad de transporte de calcio de la preparación nativa y de las isoformas por método colorimétrico y radioisotópico. Determinamos la CI50 (media y DS) de carticaína para cada isoforma y las comparamos por ANOVA ($p < 0.05$). **Resultados:** Hallamos una composición heterogénea de fibras musculares lentas tipo I (62%) y rápidas tipo II B (38%). El análisis electroforético evidenció un alto contenido proteico ($> 90\%$) en el rango 100-110 KDa, correspondiente a la SERCA. La isoforma SERCA1a correspondió al 34% y las SERCA2a y 2b al 53% y 10% respectivamente, y otras isoformas 3%. La carticaína inhibió la actividad enzimática y la captación de calcio de las diferentes isoformas en función de su concentración, evidenciando una sensibilidad significativamente diferente para cada isoforma y para la preparación nativa. Para la actividad enzimática las CI50 (mM) fueron: SERCA1a $22.0 \pm 2.3 > SERCA2a 16.4 \pm 2.4 > SERCA2b 11.3 \pm 1.9$, y 15.1 ± 2.1 para la preparación nativa. En cuanto a transporte de calcio, las CI50 fueron: SERCA1a $31.1 \pm 3.3 > SERCA2a 24.8 \pm 1.8 > SERCA2b 21.5 \pm 1.5$, y 25.2 ± 3.2 para la preparación nativa. La isoforma más sensible a carticaína fue la SERCA2b y la preparación nativa reflejó una sensibilidad similar a SERCA2. **Conclusión:** El efecto inhibitorio diferencial de carticaína sobre las isoformas de la SERCA del pterigoideo interno ocurre a concentraciones menores a las de uso odontológico y rendiría cuenta de la miotoxicidad del anestésico al alterar la relajación muscular por inhibición de la actividad enzimática y del transporte de calcio. Resultados similares podrían esperarse en otros músculos masticadores, adquiriendo mayor relevancia, en términos de miotoxicidad, en situaciones fisiopatológicas que promuevan la expresión de SERCA2. *Apoyo económico Grupo Anestesiología IADR*

D16

REGULACIÓN DE tp53 POR PUFAs ω -6 Y ω -3 EN GLÁNDULAS SALIVARES INOCULADAS CON DMBA

Scherma ME, Silva RA, Madzzuduli G, Brunotto M*, Pasqualini ME
1Departamento de Biología Bucal, Facultad de Odontología, Universidad Nacional de Córdoba, Argentina 2Cátedra de Biología Celular, Histología y Embriología, Facultad de Ciencias Médicas, Universidad Nacional de Córdoba. 3 Instituto de Investigación

OBJETIVO: Analizar las alteraciones de la expresión de la proteína TP53 en glándulas salivares murinas inoculadas con dimetilbenzo(a) antraceno (DMBA), producidas por el aporte diferencial de ácidos grasos poliinsaturados (PUFAs) ω -6 (ácido linoleico, LA y araquidónico, AA) y ω -3 (ácido alfa linolenico, ALA) a través de la dieta y sus eicosanoides generados por las vías lipoxigenasas (LOXs) y ciclooxygenasas (COXs) **MÉTODOS:** Tejidos de glándulas salivares mayores (GS) se obtuvieron de ratones BALB/c inoculados con DMBA (0.5%) y alimentados con dietas conteniendo 6% de aceites enriquecidos con PUFAs de las familias ω -6 y ω -3 como aceite de maíz (control) o con PUFAs ω -3 (aceite de Chia) o PUFAs ω -6 (aceite de Cártamo). El perfil de ácidos grasos fue analizado por cromatografía gaseosa. Los eicosanoides derivados del ácido araquidónico (20:4, ω -6) :12-(S)-HHT (producto de las COXs), el 5 (S)-HETE, 12 (S)-HETE, 15 (S)-HETE (productos de las LOXs) y del ácido linoleico (18:2, ω -6) el 13 (S)-HODE (LOX) se detectaron por HPLC. Las lesiones neoplásicas fueron estudiadas por microscopía óptica en preparados histológicos teñidos con Hematoxilina & Eosina. La expresión del factor de transcripción tp53 fue detectada por inmunocitoquímica. **RESULTADOS:** en células acinares de GS inoculadas con DMBA se observó expresión positiva de TP53 en los núcleos de los huéspedes alimentados con dieta cártamo y maíz. En tanto que los huéspedes alimentados con dieta Chia presentaron una ligera inmunomarcación en el 5-10% del tejido y solo en citoplasma. Esta expresión diferencial se correlacionó con un aumento en la liberación de 12 (S) HETE en la dieta Cártamo (95,62 ng), respecto a la dieta rica en PUFAs ω -3 (0,001 ng) y maíz (70,84 ng). El índice de insaturación de ácidos grasos (DBI/S) fue menor en Chia que en las otras dietas, tanto en control como tratados con DMBA. **CONCLUSIÓN:** Los lípidos dietarios modulan la expresión de Tp53 a través de la modificación del perfil de ácidos grasos de las membranas celulares, lo que conduce a alterar la relación entre los ácidos grasos saturados/insaturados y los derivados de PUFAs productos de las LOXs y de las COXs. Estos parámetros podrían ser utilizados como preventivos para caracterizar sujetos de riesgo de neoplasias.

D17

LA INTOXICACION CRONICA POR PLOMO ALTERA LA BIOMECANICA OSEA EN RATAS OVARIETOMIZADAS

Lee CM*, Terrizzi AR, Bozzini C, Piñeiro AE, Conti MI, Martínez MP
FOUBA

El plomo (Pb), uno de los principales contaminantes de nuestro país, se deposita en el tejido óseo movilizándose hacia la circulación sistémica en períodos de resorción ósea incrementada, tal como la menopausia. Pocos estudios del efecto deletéreo del Pb sobre el tejido óseo se han llevado a cabo en animales que han alcanzado su pico de masa ósea. Es nuestro **objetivo** evaluar si la contaminación por Pb desde edad temprana afecta las propiedades biomecánicas óseas en la rata adulta ovariectomizada. **Materiales y métodos:** 40 ratas Wistar hembra de 21 días fueron divididas en: controles (C, agua corriente acidificada) y experimentales (Pb, 1000 ppm de acetato de plomo en agua de bebida acidificada durante 8 meses). A los 3 meses se les realizó ovariectomía bilateral (OVX) a la mitad de los animales de cada grupo siendo sacrificados todos los animales a los 8 meses de comenzada la experiencia. Se realizaron estudios antropométricos; se extrajeron fémures para su análisis biomecánico en equipo Instron 4442 y mandíbulas para determinar alteraciones dentarias y periodontales. **Resultados:** La OVX incrementó el peso corporal sin variar el peso del fémur. El Pb agravó significativamente la disminución de la densidad mineral ósea producto de la OVX. Las propiedades estructurales se vieron afectadas por efecto del plomo, siendo aún mayor el riesgo a la fractura en las ratas ovariectomizadas intoxicadas. Las propiedades materiales disminuyeron exclusivamente por efecto de la ovariectomía observándose compensación arquitectónica. Los animales intoxicados con Pb presentaron gran destrucción coronaria (%dientes cariados/dientes totales: C=0, C OVX= 4.76, Pb= 55.55, Pb OVX= 33.33) No se ha observado pérdida ósea alveolar lingual ni vestibular en ninguno de los grupos experimentales. **Conclusiones:** El plomo incrementa el riesgo de fractura observado en el fémur de los animales ovariectomizados, afectando la capacidad del hueso de adaptar su diseño mediante modificación de su arquitectura. En la cavidad bucal, el Pb afecta la estructura dentaria probablemente por alteración de la calidad de saliva, sin llegar a ejercer efectos deletéreos a nivel periodontal en el tiempo estudiado

D18

NIVELES SALIVALES DE MUCINA, AMILASA Y PROTEÍNAS EN PERIODONTITIS CRÓNICA Y AGRESIVA

+Sánchez GA, ++Capurro A, +++De Couto Pita* A, +++Méndez CF.
Cátedras de +Biofísica, ++Odontología Preventiva y Comunitaria y
+++Farmacología, Facultad de Odontología, Universidad de Buenos Aires.

Las diferencias descriptas entre periodontitis crónica (PC) y agresiva (PA) incluyen, entre otras, edad de ocurrencia y evolución, piezas dentales involucradas, alteraciones inmunológicas y factores genéticos. Considerando que mucina y amilasa participan, junto a otras proteínas, de los mecanismos no inmunológicos de defensa de la cavidad oral, el **objetivo** de este trabajo ha sido evaluar los niveles salivales de mucina y amilasa en pacientes con PA y PC. **Métodos:** Se determinó la inserción del ligamento periodontal (CAL), profundidad de sondaje (PDS) y flujo salival no estimulado (FSNE), además de los niveles de mucina, amilasa y de proteínas totales por métodos colorimétricos en saliva no estimulada (SNE) de 20 pacientes con PA (edad 17-22), 20 con PC (edad 32-40) y sus respectivos controles (C) apareados por edad y género. Factores excluyentes: enfermedades sistémicas, fumadores o ingesta de medicación. **Resultados:** Los niveles de mucina, amilasa y proteínas totales resultaron significativamente elevados en los pacientes con PC y PA respecto a C, sin diferencias significativas entre los grupos (2567±120 vs 1919±93 y 2868±114 vs 1844±101 µg/ml mucina; 137±7 vs 94±8 y 138±8 vs 99±7 U/ml amilasa; y 4,6±0,1 vs 3,9±0,1 y 4,7±0,1 vs 3,8±0,1 mg/ml proteínas totales para PC, PA y sus respectivos controles, p<0,001). El FSNE resultó significativamente disminuido en PC y PA respecto a C, sin diferencias significativas entre los grupos (0,47±0,01 vs 0,54±0,01 y 0,44±0,02 vs 0,53±0,01 ml/min, para PC y PA, respectivamente). Se comprobó un incremento significativo de CAL y PDS en pacientes con PC y PA con relación a los C, y una diferencia significativa entre los grupos (CAL PC: 4,2±0,3 vs PA 5,9±0,2 p<0,001; PDS PC: 5,1±0,2 vs PA 5,5±0,07 p<0,05), mientras que no se registraron diferencias significativas entre los C de ambos grupos (CAL: 0,25±0,06 vs 0,23±0,06; PPD: 2,5±0,06 vs 2,4±0,06; FSNE: 0,53±0,01 vs 0,54±0,01 para CPC y CPA respectivamente). **Conclusión:** Los pacientes con PA presentan niveles aumentados de mucina, amilasa y proteínas totales en saliva, que resultan similares a los de los pacientes con PC. Nuestros resultados indican que no existen diferencias en la activación de algunos de los mecanismos de defensa no inmunológicos salivales entre la PA y la PC.

D19

RELACIÓN ENTRE INGESTA CRÓNICA DE ETANOL DE ALTA GRADUACIÓN Y ENFERMEDAD PERIODONTAL

Mohn C*1,2, Perez HV1, Ossola CA1, Surkin PN1, Elverdin JC1, Fernandez-Solari J1,2
Cátedras de Fisiología1 FOUBA, CONICET2.

La periodontitis (P) es una infección bacteriana progresiva que conduce a la pérdida de piezas dentarias. Diversos autores han asociado al consumo crónico de etanol con el deterioro de la salud bucal y lo han considerado un factor de riesgo para la P. Sin embargo, sus conclusiones no han logrado consenso científico. **Objetivo:** estudiar el efecto de la ingesta crónica de etanol de alta graduación (ICEAG) sobre el desarrollo y la evolución de la P. **Métodos:** Se utilizaron 40 ratas Wistar macho adultas, distribuidas en 4 grupos: control (GC), P (GP), ICEAG (GA) y etanol más P (GAP). El etanol se administró a los GA y GAP vía intragástrica (ig; 2g/kg, 2 veces al día, por 20 días), y los GC y GP recibieron agua por la misma vía. Luego de 1 semana de administración ig, se indujo la P mediante la colocación de una ligadura en el cuello de los 2 primeros molares inferiores, bajo anestesia. A los 14 días de P y 20 de administración ig, las ratas fueron eutanasiadas siguiendo las normas del Comité de Ética de la FOUBA. Las mandíbulas fueron resecadas y se obtuvo la encía del primer molar, las glándulas submaxilares (GSM) y plasma para las determinaciones bioquímicas de mediadores de P. Las hemimandíbulas fueron procesadas para evaluar la pérdida ósea midiendo la distancia entre el límite amelo-cementario y la cresta alveolar (LAM-CA). **Resultados:** GP, GA y GAP mostraron pérdida ósea significativa ($p < 0.001$, $p < 0.01$ y $p < 0.001$ vs GC, respectivamente). Sin embargo, GAP no mostró pérdida ósea adicional respecto de GP. El contenido de PGE aumentó en las encías y GSM de los grupos con P (GP y GAP, $p < 0.05$ vs. GC). La actividad de la enzima NOS inducible también se vio incrementada en las encías del GP y del GAP ($p < 0.05$ y $p < 0.01$) vs GC, respectivamente. El TNF α aumentó en plasma del GP y del GA ($p < 0.01$) vs GC y no así en el GAP. **Conclusión:** distintos agentes mediadores de P, así como la pérdida ósea alveolar que ellos inducen, aumentaron tanto en el GP y como en el GA. Sin embargo, no se observó sumatoria de efectos en el GAP. Estos resultados nos sugieren que la ICEAG favorece el desarrollo de P pero no genera efectos deletéreos adicionales cuando la enfermedad está siendo inducida por un factor altamente injurante y retentivo de placa. CONICET PIP 076 /2012-2014, UBACYT 0686

D20

PARTICIPACIÓN DE MEDIADORES DE LA RESPUESTA INMUNE EN LA RESORCIÓN DEL HUESO ALVEOLAR Y FEMORAL EN RATAS RCCN

Lezón CE1, Pintos PM 1*, Tasat DR2,3, Astort F3, Agüero Romero A1, Champin G1, Bozzini C1, Friedman SM4, Boyer PM1. 1Cátedra de Fisiología, 2Cátedra de Histología y Embriología, 4Cátedra de Bioquímica General y Bucal, FOUBA, Universidad de Buenos Aires; 3Escuela de Ciencia y Tecnología, Universidad Nacional de San Martín, Argentina.

OBJETIVO: El presente estudio evalúa la expresión de IL-6, TNF α e IL-10 en médula ósea como posibles mediadores involucrados en el modelado - remodelado óseo con consecuencias negativas sobre la calidad ósea de ratas RCCN. **MÉTODOS:** Ratas macho Wistar de 21 días se dividieron en: Control (C), C + P (propranolol) (CP), RCCN y RCCN+ P (RCCNP). C y CP recibieron una dieta para roedores *ad libitum*; RCCN y RCCNP recibieron un 80% de la misma dieta que C y CP, respectivamente, durante 4 semanas. P (7mg/Kg/día) fue inyectado ip, 5 días/semana/4 semanas en CP y RCCNP. C y RCCN recibieron solución salina. Se registraron peso y longitud corporales y consumo de alimento. A T final se determinaron α -telopéptido carboxilo terminal del colágeno tipo I (α -CTX) y osteocalcina en suero; se extrajeron las hemimandíbulas y los fémures para la determinación de los parámetros biomecánicos óseos (Instron 4442) y de mRNA de citoquinas en médula ósea. **RESULTADOS:** La restricción indujo efectos negativos en el peso y longitud corporales ($P < 0.001$) y en las propiedades estructurales ($P < 0.001$), con optimización de la competencia biomecánica en las ratas RCCNP. α -CTX fue significativamente mayor en RCCN respecto de los grupos restantes ($p < 0.01$). No hubo diferencias significativas en α -CTX entre CP, RCCNP y C ($p > 0.05$). Osteocalcina, no presentó diferencias significativas entre grupos ($p > 0.05$). En médula ósea, mRNA para IL-6 e IL-10 presentaron diferencias significativas entre grupos ($P < 0.05$), siendo RCCN significativamente menor que RCCNP ($P < 0.01$), C ($P < 0.05$) y CP ($P < 0.05$). mRNA para TNF- α presentó diferencias significativas entre grupos ($P < 0.001$), siendo RCCN significativamente mayor que RCCNP ($P < 0.05$), C ($P < 0.001$) y CP ($P < 0.001$). **CONCLUSIONES:** Los resultados del presente estudio sugieren: a) la participación del sistema simpático en el control de la masa ósea y del diseño arquitectónico en ratas RCCN; b) la existencia de un microambiente proinflamatorio en médula ósea de RCCN, con desequilibrio del modelado - remodelado óseo a expensas de un incremento de la resorción ósea con consecuencias negativas sobre la competencia mecánica ósea; y c) que el bloqueo α -adrenérgico resulta en un microambiente medular apropiado para la adecuación de la calidad ósea en ratas RCCN. UBACYT 070.

D21

CAMBIOS HISTOLÓGICOS EN EL ESQUELETO AXIAL Y APENDICULAR EN UN MODELO ANIMAL DE DESNUTRICIÓN ARMÓNICA TRATADO CON PROPRANOLOL

Agüero Romero A1*, Lezón ChE1, Pintos P1, Chiarenza A3, Mandalunis P2, Alippi RM1, Friedman SM3, Boyer PM1.

1Cátedras de Fisiología, 2Histología y Embriología y 3Bioquímica General y Bucal. FOUBA, Argentina.

OBJETIVO: Evaluar histomorfométricamente el efecto de diferentes dosis de Propranolol (P, mg/Kg/día) sobre la mandíbula y la tibia, huesos representativos del esqueleto axial y apendicular respectivamente en un modelo de retraso crónico del crecimiento de origen nutricional (RCCN).

MÉTODOS: Ratas macho de la cepa Wistar de 21 días se dividieron en Control (C), C + P3.5 (CP3.5), C + P7 (CP7), C + P10.5 (CP10.5), C + P14 (CP14), RCCN, RCCN + P3.5 (RCCNP3.5), RCCN + P7 (RCCNP7), RCCN + P10.5 (RCCNP10.5) y RCCN + P14 (RCCNP14). C con/sin P fueron alimentados *ad libitum*; RCCN con/sin P recibieron un 80% de la dieta de C durante 4 semanas. P, 3.5, 7, 10.5 y 14 mg/Kg/día, fue inyectado ip por 4 semanas en CP3.5 y RCCNP3.5, CP7 y RCCNP7, CP10.5 y RCCNP10.5, y CP14 y RCCNP14, respectivamente. A tiempo final se determinó peso y longitud corporales. Los huesos fueron estudiados morfométrica e histomorfométricamente determinando el ancho de cartílago de crecimiento proliferativo e hipertrófico y el volumen óseo interradicular.

RESULTADOS: La restricción global afectó negativamente el crecimiento corporal, el ancho de cartílago y el volumen óseo interradicular. Ninguna dosis de P modificó los parámetros antropomorfométricos ni el ancho de cartílago de crecimiento ($p > 0.05$). Sin embargo, P produjo un incremento significativo del volumen óseo interradicular en RCCN vs C con 7 y 10,5 mg/Kg/día de Propranolol ($p < 0.001$). **CONCLUSIONES:** Histológicamente se evidencia una respuesta diferencial del esqueleto axial y apendicular frente a la administración de Propranolol en el modelo animal RCCN. UBACyT 070.

D22

INGESTA LIPÍDICA INMEDIATA Y CONCENTRACION DE ÁCIDOS GRASOS EN FLUIDOS Y TEJIDOS DE RATA

Escandriolo Nackauzi JD*, Gallará R, Reossi G, Williner MR, Bernal C, Actis A
Cátedras de Anatomía B y Química Biológica A, Facultad de Odontología, e Instituto de Investigaciones en Ciencias de la Salud (INICSA), CONICET y Facultad de Ciencias Médicas, Universidad Nacional de Córdoba, Córdoba y Cátedra de Bromatología y Nutri

OBJETIVOS: determinar la influencia de la ingesta lipídica inmediata sobre la concentración de los ácidos grasos (AG) 18:1 n-9, 18:2 n-6 y 18:3 n-3 en plasma (P), saliva (S), glándula submandibular (GS) y tejido adiposo (TA) de ratas, y analizar el nivel de correlación entre ellos.

MÉTODOS: 15 ratas Wistar machos adultas fueron alimentadas con dieta control suplementada con aceite de maíz (DM; rico en AG 18:2 n-6) durante 15 días y divididas en tres grupos dietarios: DM y dos experimentales en las que se reemplazo el aceite de maíz por aceite de oliva (DO; rico en AG 18:1 n-9) o chía (DCh; rico en AG 18:3 n-3). Después de 24 horas de ingesta, los animales fueron anestesiados y los conductos submandibulares canalizados. La secreción salival fue inducida con inyección intraperitoneal de isoproterenol/pilocarpina (5 mg/Kg de c/u) y posteriormente recolectada. Se extrajeron las GS y el TA periglandular. Por punción cardíaca se obtuvo sangre que fue centrifugada para separar el P. Las muestras fueron congeladas a -20°C hasta su procesamiento. Se realizó la extracción de lípidos y la metilación de los AG con metóxido de sodio. Los metilésteres obtenidos fueron determinados por cromatografía gaseosa. Los valores fueron expresados en porcentaje de área. Se empleo el test Kruskal Wallis para comparar los valores de AG entre dietas ($p < 0.05$) y el análisis de correlación de Pearson para determinar las asociaciones entre las muestras. Se utilizó el programa Infostat.

RESULTADOS: el AG 18:1 n-9 se encontró aumentado en P y S de los animales alimentados con DO y disminuido en TA de los tratados con DCh. El AG 18:3 n-3 presentó un aumento significativo en P, GS y TA en ratas alimentadas con DCh pero en S hubo una concentración inferior con respecto a DM y DO. En los niveles de AG 18:2 n-6 no se encontraron diferencias significativas. Se observaron correlaciones significativas entre los niveles de AG: 18:1 n-9 (P y S= 0,72; TA y GS= -0,62); 18:2 n-6 (TA y GS= 0,75); 18:3 n-3 (P y TA= 0,88; TA y GS= 0,89; P y S= -0,66; GS y S= -0,78; TA y S= -0,77). **CONCLUSIONES:** la ingesta inmediata de dietas enriquecidas modula el perfil de los AG 18:1 n-9 y 18:3 n-3 en los fluidos y tejidos analizados. Existen fuertes correlaciones en la variación de los niveles de AG entre dichas muestras.

D23

EVALUACIÓN DE LA ACTIVIDAD PROTEOLÍTICA DE MICROPARTÍCULAS ESFÉRICAS DE PAPAÍNA SOBRE COLÁGENO

Ventura F*, Barsanti A, D'Eramo L, Chiaramoni N, Mendez C, Alonso S, Santos J, Squassi A

1.- Cátedra de Odontología Preventiva y Comunitaria - Facultad de Odontología - UBA / 2.- Laboratorio de Biomembranas – Universidad Nacional de Quilmes / 3.- Cátedra de Farmacología - Facultad de Odontología - UBA / 4.- IQUIFIB - Facultad de Farmaci

OBJETIVO: Desarrollar micro partículas esféricas de papaína con tamaño definido con capacidad de liberación controlada y evaluar su capacidad proteolítica sobre colágeno. **MÉTODOS:** A efectos de sintetizar nanopartículas de papaína entrecruzada, las muestras de proteasa (15, 30 o 40 mg/mL) se disolvieron en buffer fosfato de sodio pH7.0 en presencia del agente precipitante etanol (15, 20 y 30%) y se irradiaron con radiación gamma (10 kGy). Las dimensiones de las nanopartículas se verificaron por dispersión luminosa dinámica. Con el objeto de eliminar la proteasa soluble monomérica remanente a la irradiación, las muestras conteniendo partículas fueron centrifugadas (15000 rpm, 15 min a 20 °C). Posteriormente, el *pellet* fue lavado con buffer fosfato de sodio 50 mM pH 7.0. La actividad proteolítica se estudió mediante un ensayo de degradación de gelatina a 25°C en buffer fosfato de sodio 50 mM, EDTA 1mM, cisteína 0.1mM y gelatina 2%. La degradación del colágeno, producto de la actividad proteolítica de la papaína, resulta en la no gelificación de la gelatina degradada y en la liberación de aminoácidos que la componen, entre ellos la tirosina (Tyr). El material insoluble y los restos de gelatina no degradada son separados por precipitación con ácido tricloroacético 15% y posterior centrifugación (15000 rpm, 15 min a 20 °C). El colágeno no contiene triptófano y el coeficiente de extinción del residuo de fenilalanina a 280 nm es despreciable. El único residuo de esta proteína que aporta a la absorción UV a 280 nm es la Tyr, que es fácilmente cuantificable a partir de espectros de absorción entre 340-260nm en los sobrenadantes de las muestras después de realizar correcciones, teniendo en cuenta los blancos correspondientes y efectos de la dispersión luminosa. **Resultados:** Las muestras de partículas de papaína 30 mg/mL, etanol 30% poseen un 10% de la actividad presente en muestras irradiadas de la misma forma en ausencia de etanol (papaína monomérica soluble). **CONCLUSIÓN:** Los resultados de dispersión luminosa y el comportamiento coloidal conformado por la presencia de dos fases, una continua y otra dispersa, indican que la proteasa en presencia de etanol como precipitante se modifica covalentemente y forma un material particulado enzimáticamente activo.

D24

LA INGESTA DE NaF DURANTE LA LACTANCIA AFECTA EL CRECIMIENTO MANDIBULAR DE LAS CRÍAS

Interlandi V*, Fontanetti P, Ponce RH, Bojanich A, Tirao G, Gallará R, Centeno V
Cátedra "A" de Química Biológica. Facultad de Odontología. UNC. LAMARX, Facultad de Matemática, Astronomía y Física. UNC.

Existe poca información sobre el desarrollo de fluorosis durante el periodo fetal y el periodo postnatal inicial. **OBJETIVO:** estudiar la relación entre el contenido gástrico de F- y parámetros morfométricos de crecimiento y desarrollo alterado de crías expuestas al NaF durante la gestación y lactancia. **MÉTODOS:** se emplearon crías de 10, 15 y 21 días de vida posnatal, provenientes de 2 grupos de madres: a) controles (0,3mg/L NaF); b) tratadas (50mg/L NaF). El tratamiento se realizó durante el periodo de gestación y lactancia. Todos los animales fueron sacrificados por dislocación cervical. Se determinó la concentración de F- de muestras de contenido gástrico y orina de las crías mediante el empleo de un electrodo de ión selectivo. En imágenes digitalizadas de RX se analizaron los siguientes parámetros empleando el programa Image Pro Plus 6.1: área, base, altura y longitud mandibular y longitud y distancia mínima de tibia. Los resultados se expresaron como la media \pm ES y fueron analizados mediante ANOVA y test de Bonferroni. **RESULTADOS:** el contenido gástrico de F- de crías lactantes de 15 y 21 días provenientes de madres expuestas al NaF en el agua de bebida fue mayor respecto al observado en las crías del grupo control (n=6 por grupo; p<0,05). Los niveles de F- urinarios de crías de 10 y 15 días de ambos grupos experimentales no fueron dosables; sin embargo, la concentración de F- urinario de crías de 21 días fue mayor respecto de sus controles (n=6 por grupo; p<0,05). El área mandibular de las crías de 21 días de madres expuestas crónicamente al NaF fue significativamente mayor que el de las crías de la misma edad del grupo control (p<0,05). No se observaron diferencias en los parámetros de crecimiento óseo en las tibias de las crías de ninguno de los grupos y edades estudiados. **CONCLUSIÓN:** los resultados obtenidos muestran la relación entre los niveles de F- en el contenido gástrico y en orina de las crías de madres expuestas a 50 mg/L de NaF en el agua de bebida y las alteraciones en parámetros morfométricos de crecimiento mandibular. Esto sugiere que el pasaje materno del F- , a la dosis estudiada, ocurre fundamentalmente durante el periodo de lactancia. Este trabajo fue subsidiado por SECyT-UNC y CICYT-UNLaR

D25

NaF ALTERA LA EXPRESIÓN DE CLAUDINA1 Y OCLUDINA EN ESTÓMAGO E INTESTINO DE RATA

Gonzales Segura I*, Ponce RH, Interlandi V, Gallará R., Centeno VA
Cátedra "A" de Química Biológica. Facultad de Odontología. UNC.

El fluoruro (F-) presente en el agua de bebida, principal fuente de ingesta del ión, debe ser absorbido y alcanzar la circulación sistémica para ejercer sus efectos. El mecanismo principal involucra el pasaje paracelular del F- mediado por las moléculas de unión intercelular o "tight junctions" (TJs).

OBJETIVO: estudiar el efecto de la exposición crónica a F- en el agua de bebida sobre la expresión génica de TJs en estómago, intestino y riñón de rata. **MÉTODOS:** ratas Wistar macho de 22 días recibieron durante 8 semanas agua con diferentes concentraciones de F-: animales controles (0,3 mg/L) y animales tratados (10 y 50 mg/L). Todos los animales fueron sacrificados por dislocación cervical. La concentración de F- urinario y el F- acumulado en mandíbula y tejidos blandos se determinó con un electrodo de ión selectivo. La expresión génica de las "TJs", claudina-1 (CL-1) y ocludina (OCC), se analizó mediante RT-PCR. Los resultados se expresaron como la media \pm ES y fueron analizados mediante ANOVA y el test de Bonferroni. **RESULTADOS:** no se observaron diferencias estadísticas en la ingesta diaria de agua en los animales de los diferentes grupos experimentales. Los valores de F- fueron más elevados en la orina de los animales expuestos al F-, efecto que fue dosis-dependiente ($p < 0,05$). El contenido de F- acumulado en las mandíbulas fue significativamente mayor en los animales tratados respecto a lo observado en el grupo control ($p < 0,05$). No se observaron diferencias en el contenido de F- acumulado en tejidos blandos por el tratamiento. La expresión génica de CL-1 de estómago aumentó por la exposición a F- en el agua de bebida; el efecto fue dosis-dependiente ($p < 0,05$). Los niveles de ARNm de OCC de estómago no se modificaron por el tratamiento; sin embargo, los de intestino disminuyeron con la dosis de 10mg/L de NaF ($p < 0,05$). No se observaron diferencias en la expresión de CL-1 y OCC de riñón entre los grupos experimentales. **CONCLUSIÓN:** los resultados indican que la exposición a concentraciones elevadas de F- en el agua de bebida altera la expresión génica de "TJs" de estómago e intestino de rata; es probable que esto modifique la permeabilidad de los tejidos al F-. Posteriores estudios confirmarán la participación de estas moléculas en la absorción pasiva del F-.

D26

IDENTIFICACION DE CANALES CATIONICOS CALCIO-DEPENDIENTES EN ODONTOBLASTOS DE RATA

Pérez PL*, Smoler M, Velázquez IF, Rodríguez Santos IP, Cantiello HF, Cantero MR
Laboratorio de Canales Iónicos, Cátedra de Biofísica, FOUBA

El presente trabajo fue conducido para iniciar la identificación de canales iónicos expresados en la membrana plasmática de odontoblastos murinos adultos. **OBJETIVO:** Nuestro objetivo fue aplicar la técnica de patch-clamp para obtener registros de canal único en la membrana plasmática de odontoblastos pulpares de rata adulta, para la posterior caracterización de sus propiedades eléctricas. **MÉTODOS:** Se extrajeron los incisivos de ratas Wistar adultas ($n = 15$), que fueron procesados con un método diseñado en el laboratorio (Perez et al, SAIO 2013). Brevemente, los dientes se incubaron en HCl 0,5 M durante 24 hs para, posteriormente extraer su pulpa dental. La suspensión celular obtenida, rica en odontoblastos, fue cultivada en cubreobjetos cubiertos con colágeno, y mantenidos por un período de hasta dos semanas. Los odontoblastos fueron reconocidos bajo microscopio invertido ($\times 40$) por sus características morfológicas. Los odontoblastos cultivados fueron sometidos a la técnica de patch-clamp en la modalidad "cell-attached" con pipetas llenas con solución salina con alto sodio o potasio. Las señales eléctricas se registraron en una computadora mediante el programa pCLAMP 10.2 para su posterior análisis. Las corrientes espontáneas fueron obtenidas a voltaje externo cero (potencial de reposo), y entre pulsos hiper- e hipopolarizadores, entre ± 60 mV. **RESULTADOS:** Se observó actividad espontánea de canales con una solución externa de alto sodio ($n = 22$), que se incrementó al aplicar potenciales despolarizantes. La actividad de canales espontánea fue dramáticamente reducida luego del agregado del quelante de calcio EGTA (1 mM) a la solución del baño celular. En presencia de alto potasio ($n = 9$), se observó una actividad espontánea que también respondió con una reducción en ausencia de calcio externo. **CONCLUSION:** Hemos logrado aplicar la técnica de patch-clamp en la configuración "cell attached" a odontoblastos murinos adultos en cultivo, lo que nos permitió observar la presencia de actividad espontánea de canales iónicos, posiblemente catiónicos, sensibles a la presencia de calcio externo, que estarían involucrados en el mantenimiento del potencial de reposo del odontoblasto. Financiación del proyecto: UBACYT 20020120100153BA

D27

ESTUDIO RETROSPECTIVO DEL USO RACIONAL DE MEDICAMENTOS EN LA FASE PRE-IMPLANTE

Steeman R, Reynoso A*, Martínez A, Lapalma M

Cátedras de Farmacología y Prótesis Fija Facultad de Odontología UNR; Cátedra de Metodología de la Investigación, Facultad de Ciencias Veterinarias, UNR

La medicación previa al acto quirúrgico de la colocación de implantes es un tema que genera controversias. Hay estudios que avalan la administración protocolizada de medicamentos en todos los pacientes que serán sometidos a cirugía implantológica, con un criterio preventivo de futuras complicaciones (Spuk et al, 1990; Laskin et al, 2000; Pyssalo, M et al, 2014) hay otros que sustentan que no es necesario hacerlo ya que no hay diferencias estadísticamente significativas que avalen su uso previo como patrón estandarizado (Sharaf et al, 1989; Ahmad et al 2012). **OBJETIVO**; Relevar la administración o no de medicamentos y su fundamentación en la fase prequirúrgica de la colocación de implantes. **MÉTODOS**: Se analizaron 2100 historias clínicas de pacientes de ambos sexos, con edades entre 14 y 88 años de edad atendidos entre 1992 y 2013 en un centro privado de atención especializado en Implantología. Como recaudos éticos, se reservó la identidad del paciente y se contó con el acuerdo y la autorización de los profesionales intervinientes según el Reglamento de Bioética de la Facultad de Odontología de la UNR. Las variables en estudio fueron: edad, sexo, fecha de la intervención, cirujano, maxilar intervenido y la administración o no de medicamentos con base racional y fundamentación. **RESULTADOS**: la distribución por género fue de 1182 hombres (56%) / 918 mujeres (44%); siendo el maxilar superior el más frecuentemente intervenido (57%). La conducta prescriptora de los tres cirujanos participantes no registró diferencias estadísticamente significativas ($p < 0.05$). Los medicamentos preventivos más prescritos fueron: la combinación fija de acetato y fosfato de dexametasona como antiinflamatorio (68%) y la amoxicilina como antibiótico (61%). **CONCLUSIÓN**: Nuestros resultados muestran que en los primeros años estudiados se encontró mayor frecuencia en la prescripción preventiva errática, sin criterio alguno, siendo los años 2003 al 2013 los que muestran un cambio actitudinal de menor prescripción con mayor fundamentación racional en la elección de los medicamentos.

D28

EXPRESIÓN DE PROTEÍNAS Y MINERALIZACIÓN DENTINARIA EN INCISIVOS DE RATA CON FLUOROSIS

Gallarà RV*, Fontanetti PA, Bojanich MA, Ponce RH, Centeno VA

Cátedra "A" de Química Biológica. Facultad de Odontología. Universidad Nacional de Córdoba.

Objetivo: estudiar el efecto de la exposición crónica a fluoruro sobre, la expresión génica de sialofosfoproteína (SPP) y osteocalcina (OC) y la actividad de fosfatasa alcalina (FA) en tejido pulpar y su correlación con la mineralización de la dentina en incisivos de ratas. **Métodos**: ratas Wistar macho de 22 días recibieron durante 8 semanas agua con diferentes concentraciones de NaF: animales controles (0,3 mg/L) y animales tratados (10 y 50 mg/L). Los animales fueron sacrificados y sus incisivos inferiores extraídos, se obtuvieron secciones longitudinales, las que fueron pulidas, lavadas y posteriormente grafitadas. Mediante microscopía electrónica de barrido con electrones retrodifundidos se obtuvieron imágenes de contraste químico y líneas espectrales para determinar la variación química del esmalte y la dentina subyacente. A partir del tejido pulpar extraído de incisivos superiores, se determinó la actividad de FA y se analizó la expresión génica de SPP y OC mediante RT-PCR. Los resultados fueron analizados mediante ANOVA y test de Bonferroni. **Resultados**: en animales tratados con NaF, las imágenes de contraste químico de los incisivos mostraron en esmalte zonas alternadas de hipomineralización, mientras que la dentina subyacente mostró una mineralización homogénea. Estos hallazgos se correlacionaron con los niveles de calcio y fosfato mostrados en las líneas espectrales. La actividad de FA fue mayor en homogeneizados de animales tratados con NaF 10 mg / L ($5,54 \pm 0,71$) y con NaF 50 mg / L ($5,28 \pm 0,98$) en comparación con el control ($2,68 \pm 0,56$) ($p < 0,01$; $p < 0,05$, respectivamente). La expresión génica de SPP y OC aumentó por la exposición a NaF en el agua de bebida ($P < 0,05$). **Conclusión**: las lesiones fluoróticas del esmalte se acompañaron por un patrón de mineralización homogéneo de la dentina y con incremento de la actividad de FA y la expresión de SPP y OC en pulpa, proteínas involucradas en la mineralización del tejido dental.

D29

LA SECRECIÓN DE AMILASA EN LA GLÁNDULA SUBMANDIBULAR DE LA RATA Y SU ESTIMULACIÓN POR HISTAMINA

Quinteros Villarruel E*, Rosa A, Orman B
Cátedra de Farmacología, Cátedra de Anatomía. Facultad de Odontología de la Universidad de Buenos Aires. Buenos Aires. Argentina

La histamina es un importante mediador que modula numerosas respuestas funcionales en condiciones normales como patológicas y regula la secreción salival junto con otros mediadores. La glándula submandibular es una glándula mixta serosa y mucosa y secreta muchas sustancias tales como mucina, amilasa, proteínas ricas en prolina, factores de crecimiento entre otras. El **objetivo** de este trabajo fue conocer el papel de la histamina en la producción de amilasa en la glándula submandibular de la rata.

Materiales y Métodos Se utilizaron ratas Wistar. Se cuantificó la secreción de amilasa por una técnica colorimétrica en presencia de histamina, inhibidores de proteasas, antagonistas del receptor: H1 pyrilamina y H4 JNJ77710 como también el agonista de receptores beta isoproterenol. Los experimentos se realizaron 5 veces por triplicado cada vez.

Resultados: La glándula submandibular de la rata se incubó en presencia de de concentraciones crecientes de histamina y se midió la amilasa secretada. La secreción máxima de amilasa se obtuvo con una concentración de histamina 1×10^{-6} M (valor basal 0.083 ± 0.015 vs 0.17 ± 0.02) estimulado con histamina). La secreción de amilasa no fue afectada en presencia de isoproterenol. Cuando se incubó en presencia también del antagonista del receptor H1 pyrilamina disminuyó la secreción de amilasa pero no así en presencia del antagonista del receptor H4. Conociendo que la estimulación del receptor H1 estimula la producción de óxido nítrico y prostaglandinas se incubó en presencia de histamina y los inhibidores de la óxido nítrico sintasa (LMNNA 1×10^{-5} M) y de la ciclooxigenasa (indometacina 1×10^{-5} M). La presencia de estos inhibidores no tuvo efecto sobre la secreción de amilasa.

Conclusiones: La glándula submandibular de la rata secreta amilasa en presencia de histamina en forma concentración dependiente y 1×10^{-6} M de histamina se obtuvo la secreción máxima. El subtipo de receptor H1 estaría involucrado en la estimulación de la secreción pero no el subtipo H4. La producción de óxido nítrico y prostaglandinas aumentada por la estimulación del subtipo H1 no incidiría en la producción de amilasa. Los receptores beta no estarían involucrados en la secreción de amilasa en esta glándula.

D30

NO SE PRESENTA

D31

EFEECTO ACTIVADOR E INHIBIDOR DE PRILOCAÍNA DEPENDIENTE DE MAGNESIO SOBRE LA CA-ATPASA

Di Croce DE*, de la Cal C, Richard SB, Sánchez GA, Takara D
FOUBA

El sistema más eficiente que posee la fibra muscular esquelética para mantener la $[Ca^{2+}]$ bajo condiciones fisiológicas es la Ca-ATPasa de retículo sarcoplásmico (RS). La proteína bomba transporta 2 iones Ca^{2+} al lumen del RS, a expensas de la energía libre de hidrólisis de un mol de ATP induciendo la relajación muscular. La inhibición de la bomba de calcio por anestésicos locales (ALs) podría ser responsable de condiciones fisiopatológicas tales como la contracción sostenida o rigidez muscular. **OBJETIVO:** El propósito del trabajo fue estudiar la acción de prilocaína (P) sobre la actividad Ca-ATPásica y la modulación de dicho efecto por magnesio en presencia y ausencia del ionóforo de calcio calcimicina (C). **MÉTODOS:** Por centrifugación diferencial se obtuvieron vesículas selladas de membranas de RS de músculo esquelético rápido con capacidad de acumular Ca^{2+} según Champeil-col (1985). Se determinó la actividad ATPásica por técnica calorimétrica de Baginski-col (1967). Los valores de K_i se expresan como media \pm DS, los resultados obtenidos se evaluaron mediante el test ANOVA ($p < 0,05$). **RESULTADOS:** Los valores de actividad en presencia de C resultaron significativamente mayores que en su ausencia incluso para altas $[P]$ ($F = 275,181$; $p < 0,001$) a diferencia de lo obtenido para Ca^{2+} (informado en la reunión anual de la SAIO 2013). Los valores de K_i en función de $[MgCl_2]$ aumentan hasta un valor constante con C ($16,0 \pm 1,1$; $59,7 \pm 2,5$), y sin C ($12,2 \pm 1,0$; $36,6 \pm 1,0$) mM P para 0,5 y 20 mM $MgCl_2$ respectivamente, existiendo diferencia estadísticamente significativa entre ellos ($F = 43,463$; $p < 0,001$). En ausencia de C la P inhibió la actividad ATPásica en el rango estudiado (3-90 mM). En cambio, en presencia de C la P activó a la Ca-ATPasa para $[MgCl_2] > 5$ mM y $[P] < 10$ mM, ello se podría atribuir a que a altas concentraciones el Mg^{2+} reemplazaría al Ca^{2+} . Los valores de K_i de activación se obtuvieron en el rango de 5 a 20 mM $MgCl_2$ ($0,5 \pm 0,1$; $2,4 \pm 0,1$) mM P, mientras que a $[MgCl_2] < 5$ mM solo provocó inhibición. **CONCLUSIÓN:** La P inhibe y/o activa a la Ca-ATPasa de RS. La P posee una acción directa y un doble efecto sobre la Ca-ATPasa, dependiente de la concentración de P y de $MgCl_2$ en el medio. Subsidio UBACyT 20020110100082.

E01

BACTERIAS FILTRABLES COMO MATRIZ DE BIOFILM. TEORÍA GENERAL DEL BIOFILM COMO CONGLOMERADO COLOIDAL

Palacios NP*, Turcot LG, Bernat Mi, Vilotta SM, Dominguez SA, Bozano P, Rosmino MF, Gliosca LA, Molgatini SL, Somaglia L
Facultad de Odontología UBA- CNEA

OBJETIVO.(Estudio Inicial) Evaluar la distribución topográfica de las Formas Filtrables de bacterias (FF: vesículas de 50 a 250nm) en fracturas de Biofilms (Bf) desarrollados "in vivo" y determinar la capacidad del Ca^{++} de adherir-agregar "in vitro" al St. sanguinis (Ss) y sus vesículas.

MÉTODOS. Estudio 1: 10 dientes extraídos por periodontitis crónica (de pacientes sin consumo de sacarosa), se fijaron, deshidrataron, fracturaron sagitalmente y metalizaron para Mic. Elect. de Barrido (MEB). Se analizaron las mitades incisales. Estudio 2: cultivos de Ss conteniendo vesículas (sincicios, cuerpos L y FF) se suspendieron en una solución de Cl_2Ca (15mg/100ml) y se observaron por Mic. de Campo Oscuro (MCO) y MEB.

RESULTADOS. Estudio 1: se observaron FF en todo el perfil de fractura del Bf, con una distribución INTERCALAR entre las formas cocoideas y filamentosas. Estudio 2: El Ca^{++} (4mgr/100 ml) produjo adhesión, aglutinación y precipitación de los Ss y sus vesículas. Los controles (sin Ca^{++}) se ven en suspensión homogénea (MCO) y con mínima o nula adhesión al vidrio (MEB).

CONCLUSIONES. La presencia de FF en todo el perfil del Bf y su distribución INTERCALAR, define el concepto de MATRIZ. Las FF no sólo están en la matriz, SERIAN MATRIZ NANOBIOCOLOIDAL ENDOGENA DEL BIOFILM LIBRE DE SACAROSA. La capacidad del Ca^{++} de adherir-agregar-coagregar a bacterias y vesículas (cargadas negativamente), permitiría considerarlo como un agente esencial en la morfogénesis y estabilidad del Bf. La capacidad de "pegar", que define al COLOIDE (gr: kolas), sumado al número, tamaño, superficie, carga y comportamiento de las vesículas, bacterias y matriz - en su conjunto- nos permitiría generalizar y redefinir al BIOFILM como CONGLOMERADO COLOIDAL COMPLEJO, HETEROFILO, IRREVERSIBLE, ACTIVO Y VITAL, ESTABILIZADO (con Ca^{++}) EN UNA MATRIZ DE MACROMOLECULAS, POLIMEROS Y VESICULAS, DE ORIGEN SALIVAL, SERICO O BACTERIANO, que influyen epigenéticamente la dinámica físico-química coloidal del mismo Bf. Mayores estudios interdisciplinarios sobre reactividad de sistemas coloidales e interfaces, biomembranas y vesículas podrían permitir desarrollar nuevos recursos de control del Bf y sus patologías asociadas.

Financiación: PREMIO COLGATE PALMOLIVE 2013(C.básicas).

E02

EFFECTIVIDAD DEL PROPOLEO COMO DESINFECTANTE DE PREPARACIONES CAVITARIAS

Muñiz Acosta A, Mendoza González FJ, Torres Reyes P
Facultad de Odontología Unidad Saltillo de la Universidad Autónoma de Coahuila,
México

Objetivo: Evaluar la efectividad del propóleo como desinfectante en preparaciones cavitarias en molares permanentes. **Materiales y métodos:** Fueron seleccionados 30 pacientes ambos sexos que requerían de una restauración clase I en molares permanentes. A dichos pacientes se les retiró caries dental y se les colocó un antiséptico en la preparación cavitaria realizada, ya sea clorhexidina (10 pacientes, control negativo), propóleo (10 pacientes, grupo experimental) o suero (10 pacientes) como control positivo previo a colocar su restauración. Se tomaron dos muestras de las cavidades, una al terminar la preparación cavitaria y la segunda después de colocar el antiséptico. Estas muestras fueron procesadas para determinar UFC de Lactobacilos, Flora total y hongos. **Resultados:** Se observó una reducción del número de UFC tanto con clorhexidina como con el propóleo. Se observa una disminución para flora total aerobia, flora total anaerobia, hongos y lactobacilos. Se realizó prueba de t student para determinar si hubo diferencia estadística entre el tratamiento inicial y final. Los datos obtenidos determinaron que para flora total aerobia, flora total anaerobia y hongos se obtuvo una $p < 0.05$; mientras que para lactobacilos se obtuvo una $p > 0.05$. Para la clorhexidina al igual que con la tintura de propóleo se observa una disminución de la concentración bacteriana para todas cepas. Se determinó mediante t student que en todos los casos (flora total aerobia, flora total anaerobia, hongos y lactobacilos) existió una diferencia estadísticamente significativa en la cantidad de bacterias obteniendo una $p < 0.05$. **Conclusiones:** Ambos tratamientos presentaron disminución en el número de bacterias. Se encontraron diferencias significativas entre la muestra inicial (sin antiséptico) y la muestra final (con antiséptico) para ambos tratamientos, obteniendo una $p < 0.05$, lo que significa que si hubo una reducción en el número de bacterias en la muestra inicial y final de cada tratamiento. La efectividad del propóleo dependerá del origen botánico, lugar geográfico y época de recolección, por lo que será importante determinar de dónde proviene específicamente el propóleo comercial utilizado en nuestro estudio para determinar con mayor claridad sus propiedades antimicrobianas.

E03

MICROORGANISMOS CARIOGÉNICOS Y SU RELACIÓN CON EL ESTADO NUTRICIONAL EN NIÑOS PREESCOLARES

Rodríguez PN1, Iglesias MV2, Mateo MT3, Levin B*3, Martínez Reinoso J1, Molgatini S3, Argentieri AB2 Cátedras de Bioquímica General y Bucal1, Odontología Preventiva y Comunitaria2 y Microbiología y Parasitología3 - FOUBA

La caries es una enfermedad infecciosa multifactorial producida por la acción de ácidos, proveniente de la metabolización de carbohidratos de la dieta por microorganismos cariogénicos. La dieta está íntimamente asociada a la composición corporal, sin embargo la relación entre microorganismos cariogénicos y la composición corporal ha sido poco estudiada. **OBJETIVO:** Determinar la relación entre la presencia de caries, el estado nutricional y el aislamiento de microorganismos cariogénicos. **MÉTODO:** La población en estudio incluyó 51 niños de 60.4 ± 14.8 meses de edad. En estos niños se determinó el estado nutricional y la presencia o no de caries. Para el estudio microbiológico de microorganismos cariogénicos: *Streptococcus spp*, *Lactobacillus spp* y *Candida spp* se realizaron tomas de biofilm de placa y se sembraron en medios selectivos. Todos los datos fueron procesados a través del Test de ANOVA y Chi cuadrado. **RESULTADOS:** Los resultados obtenidos permitieron identificar *Streptococcus* del grupo *mutans*, *Lactobacillus acidophilus* y *Candida spp*. El análisis de la composición corporal permitió detectar un 49% de niños con peso adecuados, un 29.4% de niños con sobrepeso y un 21.6% de niños obesos. La asociación entre aislamiento de *Streptococcus del grupo mutans* y *Lactobacillus acidophilus* no demostró diferencias significativas en relación al estado nutricional y la presencia de caries. La presencia de *Cándida spp* en niños con normopeso fue significativamente mayor (% e IC95%: adecuados: 52 (32-72), sobrepeso: 33 (12-62) y obesos: 0 (0-28)), $p = 0.0107$, sin diferencias según presencia o no de lesiones cariosas. **CONCLUSIÓN:** El estado nutricional y la presencia de caries no están relacionados con la presencia de microorganismos cariogénicos en biofilm supragingival. En los niños con obesidad no se halló *Cándida spp* en biofilm, independientemente de la presencia de caries, posiblemente relacionado a los hábitos dietarios en dichos niños. Subsidiado por UBACyT 20720130100017BA.

E04

PRESENCIA DE AGGREGATIBACTER ACTINOMYCETEMCOMITANS EN PLACA SUBGINGIVAL DE PACIENTES CON NIVELES DE COLESTEROLEMIA NORMALES Y ELEVADOS

Vilotta SM*, Somaglia L, Bernat MI, Palacios N, Rosmino M F, Molgatini S, Turcot L
Facultad de Odontología UBA

Las enfermedades gingivo-periodontales son enfermedades infecciosas multifactoriales que tienen como principal agente etiológico a la placa dental, la cual alberga una amplia variedad de microorganismos. El *Aggregatibacter actinomycetemcomitans* (Aa) es una bacteria Gram negativa presente en dicha estructura e implicada en la etiopatogenia de las periodontitis. El Aa presenta un mejor desarrollo en medios de cultivo suplementados con suero equino. El colesterol sérico podría influir como un determinante ecológico en el desarrollo de este microorganismo en el ecosistema periodontal. **Objetivo:** El objetivo de este estudio fue determinar la prevalencia de Aa en biofilms de placa subgingival de personas periodontalmente sanas y de pacientes con periodontitis con niveles de colesterol plasmático superiores e inferiores a 200mg/dl. **Materiales y métodos:** La muestra estudiada consistió de: a) 40 placas subgingivales de sitios con periodontitis correspondientes a enfermos periodontales con valores de colesterolemia inferiores a 200mg/dl y de 40 placas subgingivales de sitios con periodontitis correspondientes a enfermos periodontales con valores de colesterolemia superiores a 200mg/dl; b) 40 placas subgingivales de sitios periodontalmente sanos correspondientes a personas con salud periodontal con valores de colesterolemia inferiores a 200mg/dl y de 40 placas subgingivales de sitios con salud periodontal con valores de colesterolemia superiores a 200mg/dl. Para los aislamientos de A. a. se cultivaron las muestras en caldo y agar Trypticase soya bacitracina-vancomicina y se incubaron en una atmósfera de 90% de H₂ y 10% de CO₂ a 37° C. durante 5 días. **Resultados:** Los aislamientos de Aa de placa subgingival de sitios con periodontitis en pacientes con colesterol inferior y superior a 200mg/dl fueron de 2,50 % y 7,50% respectivamente. Los aislamientos de Aa de placa subgingival de sitios periodontalmente sanos en pacientes con colesterol inferior y superior a 200mg/dl fueron de 15 % y 7,50% respectivamente. **Conclusión:** No se observaron diferencias significativas en el aislamiento e identificación de Aa entre los sitios periodontalmente sanos y con periodontitis en pacientes con niveles de colesterolemia inferiores y superiores a 200mg/dl. Subsidio UBACyT 20020110200259.

E05

ACRECIÓN IN VITRO DE COLESTEROL SÉRICO HUMANO A COLONIAS DE MYCOPLASMA ORALE

Vilotta SM*, Palacios N, Turcot L, Rosmino MF, Bernat MI, Molgatini S, Somaglia L
Facultad de Odontología. Universidad de Buenos Aires.

La enfermedad aterosclerótica comienza con la acumulación patológica de colesterol en las paredes arteriales. Múltiples y complejos mecanismos contribuyen a la formación de placas ateromatosas. La periodontitis es una enfermedad infecciosa inflamatoria crónica causada por una microbiota mixta, organizada en la biopelícula de placa dental, que lleva a la pérdida de las estructuras de soporte del diente. Estos microorganismos pueden vehiculizarse a través de la circulación sanguínea y contribuirían al proceso aterosclerótico captando colesterol. Uno de los géneros presente en la periodontitis es el *Mycoplasma*, bacteria atípica carente de pared celular.

Objetivo:

Determinar in vitro la acreción de colesterol sérico humano a colonias de *Mycoplasma orale*.

Materiales y métodos:

Doscientas colonias de *Mycoplasma orale* desarrolladas en agar PPLO fueron inactivadas en agua destilada estéril durante una hora a 65°C, según técnica de Truscott *et al.* Las mismas fueron incubadas durante 24 hs en sueros humanos, cien con valores de colesterolemia superiores y cien inferiores a 200mg/dl. Al cabo de dicho tiempo fueron lavadas tres veces con agua destilada estéril y teñidas con la técnica de Burdon modificada. Se realizaron los controles respectivos sin suero humano.

Resultados:

La totalidad de las colonias de *Mycoplasma orale* (100%) incubadas con suero humano se tiñeron de color azul oscuro/negro demostrando haber retenido la coloración de Burdon y por lo tanto la fijación del colesterol por los microorganismos no viables de la colonia. Las colonias control no retuvieron la coloración de Burdon. El cálculo del correspondiente intervalo con 95% de confianza realizado a partir de la distribución binomial, permite estimar un límite inferior al porcentaje de casos positivos en la población de 96,3% para el caso de n=100.

Conclusión:

El *Mycoplasma orale* es capaz de retener in vitro el colesterol sérico.

E06

BIOFILM SOBRE CRESTAS Y VALLES EN IMPLANTES DENTARIOS DE ZIRCONIO CON ROSCA

Butler TA*, Basal RL, Lazo G, Lazo S, Escudero E, Viscovik C, Cucchetti D, Pazos F, Belloni F, Alfaro G, Amaro E, Ivanov M, Bentivenga N, Merlo D
Facultad de Odontología de la UNLP

OBJETIVO

El presente trabajo tiene como objetivo observar la adhesión bacteriana sobre los implantes de zirconio con rosca.

MATERIALES Y METODOS

Para este trabajo se utilizaron 5 implantes de zirconio sinterizado a rosca. Previa esterilización en autoclave, los sumergidos en frascos de vidrio estériles con una dilución de 1/9 ml de suspensión bacteriana de la cavidad bucal con agua destilada estéril, durante 12 horas. Posteriormente se realizó el punto crítico de los mismos, con la correspondiente orificación para ser observados por Microscopía Electrónica de Barrido. Los datos cuantitativos fueron procesados estadísticamente a través de la prueba de varianza, considerando como significativo $P > 0,005$.

RESULTADOS

Los datos obtenidos y analizados arrojaron una media de 5 colonias de UFC/ml sobre las crestas con un número estadísticamente no significativo, de $P < 0,002$, y de 20 UFC/ml en los valles, con un número estadísticamente significativo de $P > 0,005$.

CONCLUSIONES

De este trabajo se infiere que los implantes de zirconio a rosca pueden favorecer la formación de biofilm por las irregularidades presentes sobre su superficie, por lo tanto, se sugiere continuar con las investigaciones.

E07

CANDIDA ALBICANS VS. NO ALBICANS: FACTORES DE VIRULENCIA Y RESPUESTA A FÁRMACOS

Barembaum SR*, Scatena MG, Azcurra AI
FACULTAD DE ODONTOLOGÍA, UNINIVERSIDAD NACIONAL DE CÓRDOBA

La formación del biofilm FB de especies *Candida*, patógeno comensal de la cavidad bucal, implica la adhesión inicial a los tejidos y posterior maduración. Por ello, el estudio *in vitro* de la FB de *Candida*, la posible asociación con la hidrofobicidad celular HSC y el efecto de fármacos sobre estos factores, permite analizar la patogenicidad del hongo, su persistencia y el fracaso en la terapéutica.

OBJETIVO: Estudiar *in vitro* el efecto de fármacos sobre HSC y FB de aislados *Candida albicans* (A) y *no albicans* (NA).

MÉTODOS: Se trabajó con 21 aislados de pacientes (14 A y 7 NA) que se incubaron 30 min a 37 °C con concentraciones sub-inhedoras de aspirina (AAS 5 mM) y nistatina (Nis 132). Se emplearon como controles, suspensiones sin agregado de fármacos. La HSC se determinó por el método de adhesión a hidrocarburos y la FB, mediante la reacción con XTT. Análisis estadístico: test de Wilcoxon y análisis de regresión lineal ($p > 0,05$).

RESULTADOS: Todas las cepas estudiadas mostraron capacidad de FB (637,244) y una HSC de 11,51 ± 7,73. Se observó una correlación positiva entre ambos factores de virulencia, tanto en los aislados A como los NA ($r^2 = 0,79$, $p < 0,0001$ y $r^2 = 0,90$, $p = 0,0026$, respectivamente). Las cepas NA mostraron mayores valores de HSC (16,23 ± 11,02) y FB (737 ± 11) que los aislados A (10,2 ± 638,05 ± 273,16, respectivamente) ($p > 0,05$). El tratamiento con AAS produjo una disminución de FB en todos los aislados (A+NA) ($p = 0,0092$) y en las cepas A respecto a las NA ($p = 0,018$). La HSC aumentó significativamente al contactar los aislados con AAS ($p < 0,0001$). Nis no modificó los factores de virulencia en las condiciones de estudio.

CONCLUSIONES: La mayor virulencia mostrada por los aislados NA justificaría el aumento de su prevalencia en los últimos años, sumado a la mayor sensibilidad de los aislados A al tratamiento con AAS. La correlación positiva observada entre los factores de virulencia estudiados, apoya el efecto sinérgico entre dichos factores y la importancia del análisis multifactorial de la colonización e infección por especies *Candida* a nivel bucal. La disminución de FB en el contacto breve con concentraciones sub-inhedoras de AAS se relacionaría con el efecto producido sobre la adhesión inicial.

E08

EVALUACIÓN DE LA SALUD BUCAL DEL PACIENTE PREVIO AL TRATAMIENTO ORTODÓNICO

Vera Cucchiari VS, Barembaum SR, Azcurra AI*, Bass Puer A
FACULTAD DE ODONTOLOGIA, UNIVERSIDAD NACIONAL DE CORDOBA

El uso de dispositivos de ortodoncia pone a los pacientes en condición de vulnerabilidad debido a que los mismos constituyen un nuevo hábitat de retención microbiana. Los principales problemas de los pacientes bajo tratamiento son la caries y la enfermedad periodontal, que tienen como factor esencial para su producción al biofilm bucal. Por esto, el ortodoncista tiene la necesidad de evaluar las patologías secundarias ocasionadas por el tratamiento con aparatología fija antes de comenzar cualquier terapia de ortodoncia. **OBJETIVO:** Evaluar las condiciones clínicas, sialoquímicas y microbiológicas de los pacientes al inicio del tratamiento ortodóncico, para adecuar la motivación de estos pacientes y las acciones clínicas que eviten patologías secundarias. **MÉTODOS:** Se trabajó con 15 pacientes adultos con necesidad de tratamiento ortodóncico, se confeccionó la historia clínica, se registraron parámetros clínicos (índice de caries, índice de higiene oral simplificado de Green y Vermillion, motivo de la consulta, biotipo facial) y se tomaron muestras de biofilm bucal y saliva para determinar parámetros microbiológicos (*S. mutans*, *Lactobacillus* spp. y *Candida*) y sialoquímicos (enzimas e iones). **RESULTADOS:** Los pacientes mostraron altos valores medios del índice de caries. El 80% presentó valores del índice de placa indicativos de mala higiene bucal. Las mujeres mostraron un pH salival significativamente menor que el de los varones ($p=0,005$). Los microorganismos aislados del sector anterior de la boca mostraron menores recuentos de microorganismos que en el sector posterior. Se observaron diferencias significativas entre los recuentos de *S. mutans* y *Candida* ($p<0,0001$). Sólo se aisló *Candida* en la zona posterior de la boca (35% de los pacientes) con mayores valores en varones que en mujeres ($p=0,05$). Los pacientes más jóvenes mostraron mayor cantidad de biofilm bucal y recuento de *S. mutans* significativamente mayor en los sectores anterior y posterior de la boca ($p=0,05$ y $0,006$, respectivamente). **CONCLUSIÓN:** Este estudio muestra la necesidad de conocer el estado de salud bucal previo al tratamiento ortodóncico por parte del ortodoncista, con el fin de prevenir lesiones de descalcificación del esmalte dentario, frecuentemente observadas al finalizar los tratamientos ortodóncicos.

E09

METABOLITOS DE BACTERIAS LÁCTICAS ANTAGÓNICOS AL CRECIMIENTO DE MICROORGANISMOS CARIÓGENICOS

Sin C*, Vasek O, Ortega S
Biotecnología Microbiana para la Innovación Alimentaria (BiMIA) – Instituto de Modelado e Innovación Tecnológica. CONICET y Cátedra de Microbiología e Inmunología-Facultad de Odontología Universidad Nacional del Nordeste. Corrientes - Argentina

OBJETIVO: La caries dental surge como consecuencia de cambios ecológicos en la cavidad bucal y debido a múltiples factores. La administración de alimentos probióticos suministrados en cantidades suficientes provee efectos fisiológicos benéficos para la salud del huésped. El objetivo de este trabajo fue aislar, purificar y conservar cepas de *Streptococcus* spp. y *Lactobacillus* spp. de la cavidad bucal y enfrentarlos “in vitro” a bacterias lácticas (BAL) productoras de bacteriocinas. **MATERIAL Y MÉTODO:** Luego del consentimiento informado de los pacientes, se realizó el examen bucal y se confeccionó la ficha odontológica. Se seleccionaron 4 individuos con caries activas y se obtuvieron muestras de saliva. Para la recuperación de *Streptococcus* spp. se empleó el medio Mitis Salivarius y para *Lactobacillus* spp., el medio Rogosa. Las cajas de Petri se incubaron durante 48h a 37 °C en atmósfera de CO₂ (5%). Los microorganismos crecidos se purificaron y se conservaron a -20°C empleando glicerol (15%) como crioprotector. Como cepas productoras de bacteriocinas se utilizaron 5 cepas de *Lactococcus lactis* subsp. *lactis*, 1 cepa de *Leuconostoc mesenteroides* subsp. *dextranicum* y 1 de *Lactococcus lactis* subsp. *diacetylactis* autóctonas de Corrientes, aisladas del ambiente caseario, que se activaron en medio Elliker (Biokar Diagnostic). El efecto inhibitorio de las BAL se detectó por el método de la doble capa incubando las cajas de Petri inoculadas, durante 24h a 37 °C en condiciones de aerobiosis. **RESULTADOS:** Se aislaron, purificaron y conservaron 8 cepas de *Streptococcus* spp. y 4 de *Lactobacillus* spp. Las mismas, se enfrentaron a las BAL mencionadas obteniendo inhibición del crecimiento, solamente, en las cepas de *Streptococcus* spp. frente a *Lactococcus lactis* subsp. *lactis*. **CONCLUSIÓN:** El desarrollo y multiplicación de las cepas de *Streptococcus* spp. de origen bucal, ensayadas se vieron afectadas por la presencia de metabolitos generados por la cepa de *Lactococcus lactis* subsp. *lactis* 155c-157c-159c-163c-164c cVCOR.

E10

IDENTIFICACIÓN DE AGGREGATIBACTER ACTINOMYCETEMCOMITANS (AA) EN PERIODONTITIS CRÓNICAS DE PACIENTES QUE ASISTEN A LA FOUNNE-CORRIENTES

Ortega SM*, De Biassio MB
Cátedra de Microbiología e Inmunología- Facultad de Odontología UNNE- Servicio Veterinario de Biología Molecular - Facultad de Veterinaria UNNE

OBJETIVO: El objeto de estudio de este trabajo fue establecer la prevalencia de Aa en pacientes con periodontitis crónica en distintos estadios utilizando la técnica de PCR (Reacción en Cadena de la Polimerasa). **MATERIAL Y MÉTODOS:** Luego del consentimiento informado, 54 sujetos diagnosticados con periodontitis crónica, entre 35 y 65 años, sistémicamente saludables intervinieron en el estudio. En cada sujeto se seleccionaron dos sitios con mayor profundidad de sondaje. La periodontitis se clasificó en leve, moderada y severa. Luego de aislamiento relativo, se tomó la muestra del líquido crevicular para la detección de Aa. Se procesaron 108 muestras de placa subgingival obtenidas con cono de papel absorbente y conservado a -20°C hasta su procesamiento. El ADN (Ácido Desoxirribonucleico) se extrajo por el método de CTAB (Bromuro de cetil trimetilamonio) y se utilizó la técnica de PCR. Se utilizaron controles positivos y negativos consistentes en ADN de cepas de referencia y agua respectivamente; los resultados de las reacciones fueron leídos por electroforesis en geles de agarosa teñidos con bromuro de etidio y la visualización realizada por transiluminación UV. **RESULTADOS:** en los pacientes estudiados hallamos un 22% de periodontitis leve, un 50% periodontitis moderada y un 28% periodontitis severa; se detectó la presencia de Aa en 5 pacientes, distribuidos en 1,80%, 3,70% y 1,80% respectivamente. **CONCLUSIÓN:** se halló una prevalencia de 9,25% de Aa en periodontitis crónica en los pacientes estudiados.

E11

RELACIÓN ENTRE ÁCIDOS GRASOS DIETARIOS Y LA CONCENTRACIÓN SALIVAL DE INMUNOGLOBULINA A SECRETORIA

Costantino E*, Escandriolo Nackauzi JD, Bertolotto P, Heinze VM, Pistoresi MC, Actis AB
Facultad de Odontología, Facultad de Matemática, Astronomía y Física, Facultad de Ciencias Químicas, Centro de Investigación en Bioquímica Clínica e Inmunología (CIBICI), Instituto de Investigaciones en Ciencias de la Salud (INICSA), CONICET y Facult

OBJETIVO: analizar la relación entre los ácidos grasos (AG) dietarios y la concentración salival de inmunoglobulina A secretoria (IgAs) en adultos sanos de diferentes edades.

MÉTODOS: participaron 49 personas que fueron divididas en cuatro grupos según sexo y edad: mujeres de 20-39 años (G1; $n=12$) y de 40-60 años (G2; $n=11$); hombres de 20-39 años (G3; $n=14$) y de 40-60 años (G4; $n=12$). Se aplicó una encuesta de frecuencia de consumo alimentario cuali-cuantitativa validada, cuya información fue procesada con el programa *Interfood* v.1.3 a fin de determinar el valor energético total (VET), grasa total (GT), colesterol (C), AG saturados (AGS), monoinsaturados (AGMI) y poliinsaturados (AGPI), ácido linoleico (AL), alfa linolénico (ALA) y araquidónico (AA). Se recolectaron muestras de saliva mixta no estimulada para determinar los valores de IgAs mediante la técnica de inmunodifusión radial simple. Se aplicaron las pruebas de Kruskal Wallis para comparar las variables según los grupos y de Pearson para correlacionar los valores de IgAs con las variables mencionadas, con un nivel de significación del 5%. Se utilizó el programa *Infostat*.

RESULTADOS: la IgAs presentó valores inferiores en G1 con respecto a los otros grupos, pero la diferencia no fue significativa ($p=0,23$). El consumo de C fue mayor en G3 que en G1 y G2 y la ingesta de ALA fue superior en G4 que en G2 ($p<0,05$). Se observó una correlación negativa significativa entre VET e ingesta de AGS y la concentración salival de IgAs en G3 ($p<0,05$). Al analizar independientemente los valores de IgAs inferiores a los normales, se encontraron correlaciones negativas con VET ($-0,59$; $p=0,01$), AGS ($-0,66$; $p=0,01$), GT ($-0,49$; $p=0,04$) y C ($-0,51$; $p=0,03$) en general, y con C ($-0,78$; $p=0,04$) y AGS ($-0,76$; $p=0,04$) en G1.

CONCLUSIÓN: la ingesta de AGS se relaciona con una menor concentración salival de IgAs en hombres y mujeres sanos de 20-39 años. El consumo de grasas tendría influencia sobre la concentración salival de IgAs, pero es importante continuar investigando en este sentido.

E12

CONCENTRACIÓN SALIVAL DE INMUNOGLOBULINA A SECRETORIA SEGÚN LA INGESTA DE FITOQUÍMICOS DIETARIOS

Costantino E*, Escandriolo Nackauzi JD, Bertolotto P, Heinze VM, Pistoresi MC, Actis AB
Facultad de Odontología, Facultad de Matemática, Astronomía y Física, Facultad de Ciencias Químicas, Centro de Investigación en Bioquímica Clínica e Inmunología, Instituto de Investigaciones en Ciencias de la Salud (INICSA), CONICET y Facultad de Cie

OBJETIVO: analizar la influencia de los fitoquímicos (Fq) dietarios sobre la concentración salival de inmunoglobulina A secretoria (IgAs) en personas sanas de diferentes edades. **MÉTODOS:** se incluyeron 49 personas que fueron agrupadas en: mujeres de 20-39 años (G1; n=12) y de 40-60 años (G2; n=11); hombres de 20-39 años (G3; n=14) y de 40-60 años (G4; n=12). Mediante una encuesta de frecuencia de consumo alimentario cuali-cuantitativo validada se determinó la ingesta habitual de alimentos fuente de Fq -vegetales, frutas frescas y secas, derivados del tomate, cereales y legumbres- y el consumo de los siguientes Fq: antocianos, daidzeína, flavanoles, flavanonas, flavonas, flavonoles, genisteína, isoflavonas, licopeno y polifenoles. La información fue procesada por el programa informático *Interfood* v.1.3. Se obtuvieron muestras de saliva mixta no estimulada y se determinaron los valores de IgAs por inmunodifusión radial simple. Se compararon las variables según los grupos (prueba de Kruskal Wallis) y se correlacionaron los valores de IgAs con las variables mencionadas (coeficiente de correlación de Spearman) ($p < 0,05$). **RESULTADOS:** la ingesta total de alimentos fuente de Fq fue menor en G3 que en G1 ($p = 0,043$) y el consumo de frutas frescas fue menor en G3 que en los demás grupos ($p = 0,002$). La ingesta de antocianos fue menor en G3 ($p = 0,007$) y la de flavanonas mayor en G1 ($p = 0,037$), ambos con respecto a los otros grupos. El consumo de flavonas fue superior en G1 que en G3 ($p = 0,025$), y el de polifenoles fue mayor en G1 y G3 con relación a G2 y G4 ($p = 0,0002$). Se halló una correlación negativa entre la ingesta del total de alimentos fuente de Fq y la concentración salival de IgAs en G3 ($-0,61$; $p = 0,03$), y correlaciones positivas entre el consumo de flavanonas ($0,59$; $p = 0,05$) y polifenoles ($0,62$; $p = 0,04$) y los valores de IgAs en G1. **CONCLUSIÓN:** según estos resultados, el consumo de flavanonas y polifenoles se relaciona con una mayor concentración salival de IgAs en mujeres sanas de 20 a 39 años, en tanto que en hombres de esa edad la ingesta de alimentos fuente de Fq se asocia a una disminución de IgAs salival.

E13

LOCALIZACIÓN DE CARIES EN NIÑOS VEILLONELLAS SPP POSITIVOS SEGÚN ESTADO NUTRICIONAL. ESTUDIO PRELIMINAR

Rodríguez PN1, Manto MC3, Tejerina D 3, Martínez Reinoso J1, Medici S2, Argentieri AB2 Cátedras de Bioquímica General y Bucal1, Odontología Preventiva y Comunitaria2 y Microbiología y Parasitología3 - FOUBA

El género *Veillonellas* es uno de los primeros colonizadores de la cavidad bucal del hombre y se encuentra en elevado número en diferentes sitios en niños y adultos. La presencia del género *Veillonellas spp* está relacionada con la capacidad de neutralizar los ácidos producidos por los microorganismos cariogénicos productores de lactatos. **OBJETIVO:** El objetivo de este estudio es relacionar el tipo de superficies afectadas con lesiones de caries en niños *Veillonellas* positivos y el estado nutricional. **MÉTODOS:** La población en estudio incluyó 50 niños con edades comprendidas entre los 3 y 6 años, mediana: de 59 meses. Se les realizó un odontograma para establecer las lesiones de caries y se analizó el estado nutricional por medio del Índice de masa corporal. Para el estudio microbiológico se tomaron muestras del biofilm de placa supragingival de molares primarios con y sin caries. Las muestras se sembraron en medio selectivo para el aislamiento de *Veillonellas spp*. Para el análisis de los resultados se aplicó comparación de proporciones para muestras independientes y Chi cuadrado. **RESULTADOS:** Del total de la población en estudio, 60% presentaron cultivos positivos para *Veillonella spp*, de los cuales 66.7% tuvieron lesiones de caries. De los niños con peso adecuado el 27% presentó superficies lisas afectadas, 64% fosas y fisuras y 64% proximales, sin diferencias significativas con los niños con sobrepeso y obesidad (11%, 88% y 44% respectivamente). **CONCLUSIÓN:** El estado nutricional de la población en estudio no tendría influencia en la localizaciones de las lesiones de caries en niños *Veillonellas spp* positivos. Subsidio UBACYT20720130100017BA.

F01

IMPLANTES EN SENO MAXILAR CON HUESO BOVINO ANORGÁNICO. EVALUACIÓN A 43 MESES

Aguilar J¹, Labandeira A¹, Renou SJ², Piloni MJ², Guglielmotti MB^{2,3}

1 Depto. de Implantología. Cát Periodoncia. USAL – AOA. 2 Cát. de Anat. Patológica. Fac. de Odont. UBA. 3 CONICET

En estudios previos (SAIO 2013) hemos demostrado que la utilización de regeneración ósea guiada con hueso bovino anorgánico (HBA) 250–1000 μm para levantamiento de piso de seno maxilar (PSM), a los 13 meses post-implante se evidenció un bioentorno adecuado al momento de colocar el implante metálico. **Objetivo:** evaluar el comportamiento clínico y radiográfico, después de un mínimo de 18 meses de carga funcional de implantes instalados en el tejido óseo neoformado que incluye al HBA, previamente evaluado histológicamente por biopsia punción. **MÉTODOS:** 41 senos maxilares (espesor óseo subantral $\leq 4\text{mm}$) y altura del reborde óseo $\geq 6\text{mm}$, en 33 pacientes, edad promedio de 55 años, operados en dos tiempos quirúrgicos. Se implantó HBA* gránulos de 1000 a 2000 μm y a los 10-12 meses se instalaron 70 implantes autorroscantes B&W[®]. Previamente se realizó la biopsia punción para su estudio histomorfométrico en 31 senos. A los 10-12 meses post-implantación, 23 pacientes con 46 implantes, fueron rehabilitados mediante prótesis parcial fija y evaluados durante 43 meses de carga funcional. La evaluación radiográfica se realizó con Rx periapicales. El protocolo fue aprobado por el Comité de Ética de USAL-AOA. **RESULTADOS:** Histológicamente se observó hueso neoformado laminar en contacto con el HBA (oseointegración) y amalgamando los gránulos entre sí. El estudio histomorfométrico mostró 34 % de hueso neoformado, 36 de médula ósea y 30 de HBA. La evaluación clínica evidenció 100% de estabilidad protética-implantaria. La Profundidad al Sondaje mesial fue de 3,7 mm $\pm 1,1$; distal 3,7 mm $\pm 1,2$; vestibular 2,8 $\pm 1,0$ y 3mm $\pm 0,9$ en palatina. La frecuencia de sitios con Sangrado al sondaje positivo fue de 29 veces mesial, 32 distal, 17 vestibular y 24 palatina. La pérdida ósea marginal fue de 0 espiras en el 70% de los implantes, de 1 en el 20%, 2 en el 0% y de 3 en el 10%. **CONCLUSIÓN:** La valoración cuali-cuantitativa del seguimiento clínico de la rehabilitación protética fija soportada por implantes instalados en el seno maxilar injertado con HBA y el estudio histomorfométrico de la respuesta al biomaterial utilizado, han demostrado la alta predictibilidad de dichas técnicas.

Subsidios: CONICET PIP 11220090100117, UBACYT 20020100100657

*Osteodens E[®], Pharmatrix. Argentina

F02

ESTADO PERIODONTAL DE EMBARAZADAS EN EL AÑO 2001 Y 2013

Calafell C*, Moreno de Calafell M

Cátedra de Periodoncia "B". Facultad de Odontología U.N .C

Existe evidencia que las embarazadas con enfermedad periodontal tienen mayor riesgo de complicaciones durante el embarazo. **OBJETIVO:** Comparar el grado de compromiso periodontal de embarazadas adolescentes (14-20 años) y adultas (21-40 años) que concurren en 2001 y 2013 al Centro de Atención Primaria N° 36 de la ciudad de Córdoba Argentina. **MÉTODO:** La muestra la conformaron 99 embarazadas entre 14 y 35 semanas, que realizaron su control perinatal: 18 adolescentes y 26 adultas en 2001; 25 adolescentes y 30 adultas en 2013. Previo asentimiento informado (Convención Internacional de los Derechos del Niño), dos operadores valoraron el grado de compromiso periodontal usando el Índice Periodontal de Necesidades de Tratamiento de la Comunidad (IPNTC). Se dividió la boca en sextantes consignándose como valor del mismo el máximo código de enfermedad obtenido de los dientes examinados en el sextante, con una escala en orden creciente de 0 a 5, siendo el más positivo el código 0 y el más negativo el código 5. Se utilizó la sonda periodontal de la OMS Hu-Friedy PCP11.5B. Los valores medios de compromiso periodontal, se calcularon en base a la escala establecida (0-5). Los contrastes entre grupos etarios, cohortes y zonas se realizaron con pruebas de χ^2 , para un nivel de significación estadística de 0.05. **RESULTADOS:** La cohorte 2001 presentó un estado periodontal más comprometido que la 2013 ($p < 0.05$). En la cohorte 2001, el estado periodontal en embarazadas adultas fue significativamente más grave que en adolescentes ($p < 0.05$), no así en el 2013, donde la diferencia entre grupos etarios no llegó a ser significativa ($p > 0.05$), aunque persistió la misma tendencia. Los porcentajes de elevado compromiso periodontal (Cód.3-4-5) no difirieron significativamente entre embarazadas adolescentes de ambas cohortes ($p > 0.05$), pero el riesgo relativo (RR) de mayor compromiso periodontal fue 1.4 veces mayor en la cohorte 2001 respecto al 2013, con porcentajes de 35.2% y 25.0% respectivamente. **CONCLUSIÓN:** Si bien se observó una disminución en el grado de compromiso periodontal entre el año 2001 y 2013, los porcentajes siguen siendo elevados en adolescentes embarazadas; es necesario desarrollar medidas capaces de prevenir el inicio de la enfermedad en edades tempranas.

F03

ESTUDIO MOLECULAR DE MICROORGANISMOS PERIODONTOPÁTICOS EN PACIENTES VIH+ NAIVE Y BAJO TRATAMIENTO

Gliosca* L1, Soken L1, D'Eramo L2, Bozza F1, Squassi A2, Molgatini S1
1.- Cátedra de Microbiología. Laboratorio de Diagnóstico Microbiológico, Facultad de Odontología, Universidad de Buenos Aires. 2.- Cátedra de Odontología Preventiva y Comunitaria, Facultad de Odontología, Universidad de Buenos Aires.

Existe evidencia que ciertos microorganismos periodontopáticos tendrían potencialidad para modular la reactivación del VIH. **OBJETIVO:** Determinar la prevalencia de *Porphyromonas gingivalis* (Pg), *Prevotella intermedia* (Pi), *Tannerella forsythia* (Tf), *Treponema denticola* (Td) y *Aggregatibacter actinomycetemcomitans* (Aa) en bolsas periodontales de pacientes seropositivos (VIH+) *naive* y bajo tratamiento antirretroviral de alta actividad (HAART). **MÉTODOS:** Se estudió una muestra de adultos VIH+ *naive* y con HAART con similares características clínicas gingivoperiodontales. Fueron excluidos los pacientes bajo tratamiento con antibióticos en el último mes y con menos de 6 piezas dentarias. Se realizó un examen dentario y periodontal, y se tomaron muestras de *biofilm* subgingival de 4 sitios por paciente, utilizando 4 conos de papel estériles N°30 por sitio, previa remoción de *biofilm* supragingival. Los pacientes fueron divididos en 2 grupos: **Grupo 1:** pacientes bajo HAART (n=31, 124 sitios); CD4: 507,4±224,9; edad 39,4±9,2; y **Grupo 2:** pacientes *naive* (n=12, 48 sitios); CD4: 366,2±233, edad de 39,26±10,3. Las muestras fueron colocadas en medio de transporte (RTF) y conservadas a -20° C. La extracción del ADN se realizó con el kit comercial *AccuPrep*® de BIONEER. La amplificación del ADN fue realizada mediante técnica de PCR de punto final con primers específicos para cada microorganismo. La reacción se llevó en 25 µl de volumen final. Los productos de PCR fueron corridos en gel de agarosa 2% en buffer TAE utilizando *Gold View* como revelador. Los resultados fueron evaluados mediante el test de chi cuadrado, la prueba exacta de Fisher y OR. **RESULTADOS:** en el **Grupo 1** se detectaron los siguientes microorganismos: Aa= 9,7%; Pg=35,5%; Pi= 9,7%; Td= 45,2%; Tf= 41,9%; y en el **Grupo 2:** Aa=58,3%; Pg=0%; Pi= 16,7%; Td= 0,0%; Tf= 33,3%. Se observaron diferencias significativas entre ambos grupos en: Aa (p= 0,002 OR= 13,067 (IC: 2.5-68.3)); Pg (p= 0,015; OR= 1,55 (IC: 1.19-2.02)) y Td (p= 0,006; OR= 1,722 (IC: 1.28-2.33)). Pi y Tf presentaron una distribución similar en ambos grupos. **CONCLUSION:** Los resultados revelan una mayor prevalencia de Aa en pacientes *naive*; mientras que en los tratados con HAART prevalece el Grupo Rojo de Socransky. UBACYT 20020120100324BA y 20720120100008BA

F04

COLONIZADORES OPORTUNISTAS DEL BIOFILM SUBGINGIVAL EN PACIENTES VIH+ NAIVE Y BAJO TRATAMIENTO

Bozza* F1 *, D'Eramo L2, Stoppani N1, Soken L1, Fedelli L1, Gliosca L1 Squassi A2, Molgatini S1.

1.- Cátedra de Microbiología. Laboratorio de Diagnóstico Microbiológico, Facultad de Odontología, Universidad de Buenos Aires. 2.- Cátedra de Odontología Preventiva y Comunitaria, Facultad de Odontología, Universidad de Buenos Aires.

La terapia antirretroviral de alta actividad (HAART) podría tener efectos colaterales en los diversos ecosistemas del organismo. La presencia de patógenos oportunistas en pacientes con un sistema inmune afectado podría ser un factor de riesgo de coinfecciones. **OBJETIVO:** Evaluar y comparar la presencia de microorganismos patógenos oportunistas en sitios periodontales de pacientes VIH+ *naive* y bajo tratamiento antirretroviral de alta actividad (HAART). **MÉTODOS:** Se estudiaron 49 individuos VIH+ los cuales fueron distribuidos en 2 grupos: **Grupo 1:** pacientes con tratamiento antirretroviral estable, manteniendo el esquema de tratamiento durante el último año; y **Grupo 2:** pacientes con niveles de CD4 mayor es a 350 cel/mm³ sin tratamiento antirretroviral (*naive*). Fueron excluidos pacientes bajo antibioticoterapia durante el mes previo a la evaluación. Se realizó un examen dentario y periodontal, y se tomaron muestras de *biofilm* subgingival de 4 sitios por paciente, utilizando 4 conos de papel estériles N°30 por sitio, previa remoción de *biofilm* supragingival. Los mismos fueron colocados en medio de transporte refrigerado (RTF). Las muestras se sembraron en CHROMagar® *Candida*, LEVINE, CLDE, Bilis esculina suplementado al 0.04% con telurito de potasio y Agar Salado Manitol. Las cepas aisladas fueron biotipificadas por métodos convencionales. **Resultados:** No se registran diferencias significativas en los valores de CD4 entre ambos grupos. En el Grupo 1 (n=33) se aislaron: Enterobacterias en el 9,09% de los pacientes, Enterococos 3,03%, Estafilococos 36,36%, y Bacilos G- no Fermentadores (BGNNF) 24,24%, *Candida albicans* (Ca) 35,5%. Grupo 2 (n=16) se aislaron Enterobacterias en el 12,5% de los pacientes, Enterococos 6,25%, Estafilococos 18,75%, y BGNNF 37,5%, Ca 75%. Los resultados fueron evaluados mediante el test de chi cuadrado. Se encontraron diferencias significativas en los aislamientos de *Candida albicans* (p <0,05) **Conclusión:** Existe una tendencia, no significativa estadísticamente, a la mayor prevalencia de microorganismos oportunistas en pacientes *naive*. Sin embargo, se registraron diferencias significativas en la detección de *Candida albicans*, presentando mayor frecuencia en pacientes *naive*, pese a la similitud en la competencia inmune entre ambos grupos.

F05

COMPARACIÓN DE TÉCNICAS ANESTÉSICAS TRONCULAR E INFILTRATIVA EN CIRUGÍAS IMPLANTOLÓGICAS: RESULTADOS PRELIMINARES

García Blanco M*, Gualtieri AF, Puia SA
Cátedras de Cirugía y Traumatología Bucocomaxilofacial I y II, FOUBA

Objetivo: Evaluar en las maniobras quirúrgico implantológicas la relación entre la presencia o ausencia de dolor y la distancia al nervio dentario inferior, comparando las anestésicas troncular e infiltrativa.

Métodos: Se realizaron las cirugías implantológicas del sector posterior mandibular de 83 pacientes que concurren a la Cátedra de Cirugía I y II de la FOUBA. Se protocolizaron y aleatorizaron las técnicas anestésicas. Se evaluaron las experiencias pasadas de dolor (escala MDAS), cercanía al conducto dentario inferior (en mm), confort durante la cirugía implantológica (escala VAS), dolor durante el fresado o la colocación del implante (ausencia, presencia: escala McGill), y particularidades anatómicas de cada individuo (pieza a reponer, tiempo desde exodoncia, etc). Los datos fueron analizados estadísticamente mediante las pruebas de Irwin-Fisher, diferencia de proporciones, Wilcoxon para muestras independientes y T-Student agrupada (nivel de significación = 0,05).

Resultados: Para ambas técnicas los porcentajes de casos con y sin dolor mostraron una diferencia significativa ($p < 0,001$). Los casos de dolor fueron infrecuentes, y la mediana de ambas técnicas del valor de VAS fue cero. Si bien ambas técnicas fueron clínicamente satisfactorias, el valor de VAS para la técnica infiltrativa fue mayor al de la técnica troncular, detectándose diferencias significativas (Wilcoxon: $W = 3220,50$; $p = 0,0340$). En las cirugías implantológicas bajo anestesia infiltrativa donde se trabajó a 2mm o menos de distancia al nervio dentario inferior, los casos sin dolor fueron significativamente mayores a los casos con dolor ($p < 0,001$).

Conclusiones: Ambas técnicas anestésicas son adecuadas para la colocación de implantes en el sector posterior de la mandíbula. Si bien ambas técnicas presentan niveles de VAS muy bajos, la anestesia troncular brinda una analgesia más profunda que la anestesia infiltrativa. Cuando se trabajó a 2mm o menos de distancia al nervio dentario inferior bajo anestesia infiltrativa los casos sin dolor fueron significativamente mayores a los casos con dolor. La posibilidad de que el paciente advierta al profesional antes de producir una injuria en el mismo, es considerada improbable, desaconsejándose este recurso terapéutico.

F06

INDICADORES CLÍNICOS, SOCIODEMOGRÁFICOS Y RIESGO PERIODONTAL EN PACIENTES RESIDENTES EN 3 PROVINCIAS ARGENTINAS

Morello F, Fusterl, Viviani I, Gomez S, Loha C, Herrera M, Ribotta de Albera E*
Fundación Independencia UNCuyo

OBJETIVO: Estudiar y evaluar los indicadores clínicos, sociodemográficos y nivel de riesgo periodontal en pacientes residentes en 3 provincias argentinas.

MÉTODOS Fueron evaluados 128 pacientes de Fundación Independencia (Córdoba) n: 43, UNCuyo (Mendoza) n 35 y HPS (Jujuy)n: 50 para ser atendidos periodontalmente.

Criterios de Inclusión: Pacientes entre 25 a 70 años, de ambos sexos sin tratamiento periodontal ni administración de antibióticos durante 4 meses previos. Fumadores y no fumadores, con residencia en las Provincia donde se realizó el estudio.

Los pacientes firmaron consentimiento para participar en el estudio. Se realizó historia clínica, análisis sociodemográfico e índices periodontales. Los registros se efectuaron con sonda manual de Marquis y Sistema Go-Probe. Para analizar el Riesgo se utilizó el Diagrama funcional según Lang y Tonetti (2003). Los datos fueron categorizados y sometidos a pruebas estadísticas paramétricas y no paramétricas: media y desviación estándar, distribución de frecuencia, prueba de Kruskal Wallis

RESULTADOS: La distribución de frecuencia mostró que 30 % de los pacientes de Córdoba eran fumadores diarios, 76 % tiene O.S. o prepaga; 23,7 % eran empleados, y 40,6 % comerciantes, docentes y profesionales universitarios; en Mendoza el 14,3% eran fumadores diarios, el 48,6 % tiene O.S., 22,9% eran empleados y 39,9% , universitarios, docentes y profesionales universitarios. En Jujuy 16 % eran fumadores diarios, 76 % tiene O.S. y 80 % son empleados. El análisis de varianza no mostró diferencias significativas ($p > 0,05$) en la edad y cantidad de piezas dentarias presentes. La Prueba de Kruskal-Wallis mostró diferencias significativas ($< 0,05$) en el nivel de riesgo periodontal entre grupos. Los residentes en Jujuy presentaron un nivel de riesgo mayor y los de Mendoza el menor. El Índice de necesidad de tratamiento fue significativamente menor en los pacientes que residían en Mendoza ($P < 0,05$)

CONCLUSIÓN: La incorporación del Diagrama funcional para evaluar el riesgo de periodontitis aplicado con los indicadores clínicos y sociodemográficos mejoraría la interpretación y mostró diferencias entre los pacientes de las provincias examinadas.

F07

. RELACIÓN DE LA ENFERMEDAD PERIODONTAL CON PARÁMETROS DE RIGIDEZ ARTERIAL

Rubio MC*, Lewin PG, Rudzinski JJ, Pompeo M, Guanca F, Rodríguez P, Nicolosi LN
Cátedra de Patología y Clínica Bucodental, CLAPAR II. FOUBA. Hospital Odontológico Universitario.

La enfermedad periodontal ha sido involucrada en el proceso aterosclerótico y se ha estudiado su relación con espesor intimal y función del endotelio vascular. **Objetivo:** determinar si existen diferencias en los parámetros de rigidez arterial y función endotelial en pacientes ((P) con y sin enfermedad periodontal severa (EPS). **Materiales y métodos:** se evaluaron P ingresados en el Hospital Odontológico de la FOUBA para su atención en CLAPAR II. Todos los P dieron su consentimiento para su participación. Se determinaron características demográficas, factores de riesgo aterogénico y patologías concomitantes. Se excluyeron P con patología cardiovascular conocida. Odontólogos calibrados previamente determinaron los índices gingivo periodontales. Un único operador evaluó mediante ecografía Doppler carotídea parámetros de rigidez arterial: Compliance (COP), Módulo elástico (ME) e Índice de rigidez ? (IR ?). Se determinó mediante la dilatación mediada por flujo de la arteria braquial la función del endotelio vascular (FE). Los pacientes fueron divididos en dos grupos: con EPS y sin EPS. Análisis estadístico: se utilizó SPSS 20 y se emplearon ANOVA, coeficiente de correlación de Pearson, con error $\alpha < 0.05$ e intervalos de confianza del 95%. **Resultados:** ingresaron 40 P, el 60 % mujeres, grupo con EPS 15 P, grupo sin EPS 25. Las variables analizadas fueron respectivamente: edad $56,53 \pm 17,58$ vs $51,12 \pm 12,97$ años ($p = NS$), profundidad al sondaje (PS) $2,53 \pm 1,30$ (IC 95% 1.81-3.25) vs $1,25 \pm 0,51$ (IC95% 1.31-1.73) $p = 0,02$, nivel de inserción clínica (NIC) $4,80 \pm 2,00$ (IC95% 3.69-5.91) vs $1,72 \pm 0,93$ (IC95 1.33-2.11) $p = 0,001$, espesor intimal (EI) $0,10 \pm 0,17$ (IC95% 0.095-0.11) vs $0,82 \pm 0,18$ (IC95% 0.074-0.98) ($p = NS$), COP $2,41 \pm 1,32$ vs $3,08 \pm 1,02$ ($p = 0,004$); ME $48,33 \pm 12,53$ vs $38,86 \pm 7,69$ ($p = 0,005$); IR ? $4,21 \pm 1,03$ vs $3,64 \pm 1,02$ ($p = 0,004$); FE $16,13 \pm 5,02$ vs $22,76 \pm 4,50$ ($p = 0,0003$). Correlación entre: COP y NIC $r = -0,60$ ($p < 0,001$), ME y NIC $r = 0,58$ ($p < 0,001$), IR ? y NIC $r = 0,66$ ($p < 0,001$), FE y NIC $-0,59$ ($p < 0,001$). **Conclusiones:** los parámetros de rigidez arterial y función endotelial fueron peores en P con enfermedad periodontal severa, observándose una moderada correlación entre estos y el nivel de inserción clínico. La correlación fue inversa para compliance y función endotelial.

F08

TERAPIA FOTODINÁMICA EN EL TRATAMIENTO DE LA ENFERMEDAD PERIODONTAL SEVERA. INFORME PRELIMINAR

Boccio I*, Feser G, Gulino M, Quintero A, Antuña MV, Dulong I, Lebié A, Funosas ER
Cátedra de Periodoncia. Facultad de Odontología. Universidad Nacional de Rosario

OBJETIVO: Evaluar la efectividad de la terapia antimicrobiana fotodinámica como coadyuvante de la terapia básica periodontal convencional.

MATERIALES Y MÉTODOS: Se realizó un estudio experimental a doble ciego sobre un diseño de boca partida sobre 10 pacientes diagnosticados con periodontitis crónica severa generalizada (según clasificación de la AAP 1999). Las hemiarcadas orales fueron aleatoriamente asignadas a los distintos tratamientos en un grupo control (TC) que consistió en raspaje, alisado y pulido convencional periodontal y a un grupo test (TFA) que constó de una terapia de raspaje, alisado y pulido más terapia fotodinámica antimicrobiana con láser de diodo activado. Las variables clínicas analizadas fueron profundidad de sondaje (PS), nivel de inserción (NI), índice de placa (IP) y sangrado al sondaje (SS). Todas estas variables fueron recolectadas al inicio del estudio y posteriormente a los 3 y 6 meses. Para la comprobación de la hipótesis se realizó un análisis estadístico de los datos de Kolmogorov-Smirnov fijando el valor de error con un $p < 0,05$.

RESULTADOS: La edad media de la población de estudio fue de $57 \pm 7,5$ años. Las variables clínicas observadas a los 3 y 6 meses mostraron un mejoramiento en referencia a las dos modalidades de terapias entregadas ($p < 0,05$). En referencia a las variables principales de estudio (PS Y NI) se comportaron de la siguiente forma: Reducción de la PS para grupo TC $1,67 \pm 0,57$ mm, grupo TFA $2,14 \pm 0,53$ mm ($p = 0,001$). Para NI la ganancia de dicha variable fue en el grupo TC $1,37 \pm 0,41$ mm, grupo TFA $1,49 \pm 0,33$ mm ($p = 0,002$).

CONCLUSIONES: Las modalidades de terapia periodontal resultaron efectivas para el tratamiento de las periodontitis crónicas severas generalizadas. El grupo test (TFA) demostró un mejoramiento de las variables principales de estudio desde el punto de vista de una mayor significación estadística, pero con una mínima repercusión en la significancia clínica. Es necesario realizar más estudios controlados sobre la valoración clínica de esta nueva variante terapéutica.

F09

IMPACTO DEL ESTADO Y EL TRATAMIENTO PERIODONTAL (EP) SOBRE LA CALIDAD DE VIDA(CV)

Pedreira P*, Bordoni N
Instituto de Investigaciones en Salud Pública, UBA

Objetivos: Establecer las variaciones del impacto de EP sobre la CV percibido pre y post-tratamiento en pacientes en atención en una institución universitaria. (2009/10) y evaluar la asociación entre variables clínicas y socio-demográficas y la percepción registrada. **Material y métodos:** Sobre una muestra intencionada de 40 pacientes (45 y 65 años) se realizó: el diagnóstico y tratamiento periodontal por un investigador calibrado y la aplicación del OHIP (versión: 49 ítems) antes y después de 30/45 días de concluido el tratamiento. Las respuestas: (a) se recodificaron en forma dicotómica ("impacto" y "no impacto"); (b) se calcularon dos variables de score para evaluar cambios entre pre y post tratamiento; (c) se aplicó el modelo general lineal para evaluar el comportamiento complejo; (d) se contrastaron las respuestas pre y post tratamiento entre los scores y las variables género, lugar de residencia y patología gingival. **Resultados:** (1) En la confrontación pre/post tratamiento se registró: un aumento de la percepción en los dominios incapacidad psicológica ($t = -0,103$) y desventajas ($t = 0,900$) y una reducción en los dominios: limitación funcional ($t = 2,933$), malestar psicológico ($t = 0,139$), incapacidad física ($t = 1,341$), incapacidad social ($t = 0,3199$) y dolor físico ($t = 0,986$) (2) Al analizar el comportamiento complejo en el dominio limitación funcional se registró un mayor impacto en mujeres que en hombres (3,50); en residentes de CABA (-3,71); en la derivación por otro profesional (-9,50), en pacientes más jóvenes (-3,20) y en pacientes con EP severa (-1,38), respecto de leve y moderada. (3) No existieron diferencias significativas con los resultados al aplicar el OHIP14 (SAIO, 2013). **Conclusiones:** (a) La percepción del impacto de la EP sobre la CV fue escasa al ser investigada mediante el OHIP49. (b) Se registró un cambio convergente de la percepción pre y post tratamiento con excepción de los pacientes con enfermedad periodontal grave. (c) Parece recomendable incorporar como parte de la atención clínica del paciente periodontal el análisis de la percepción del impacto empleando el OHIP14, tanto en la fase de preparación como en el mantenimiento para fortalecer la adherencia y sostenibilidad del tratamiento

F10

PREVALENCIA DE MICROORGANISMOS PERIODONTOPATICOS EN PACIENTES CON PERIODONTITIS AGRESIVAS

Gliosca* L¹, Soken L¹, Carena G², Vargas A², Montes de Oca J², Molgatini S¹.
1 Laboratorio de Diagnóstico Microbiológico, Cátedra de Microbiología, Facultad de Odontología-UBA 2. Cátedra de Periodoncia, Facultad de Odontología – UBA.

La enfermedad periodontal es considerada una enfermedad inmunoinfecciosa de carácter multifactorial, por lo tanto es muy difícil reconocer a un único agente causal. Estudios epidemiológicos coronan al *Aggregatibacter actinomycetemcomitans* (Aa) como el responsable microbiológico en la etiopatogenia de la periodontitis agresiva (PA). **Objetivo:** determinar la prevalencia de los microorganismos del grupo Rojo de Sokransky y de Aa en pacientes con diagnóstico de PA que concurren por demanda espontánea al Hospital Odontológico de la FOUBA. **Metodología:** profesionales calibrados realizaron diagnóstico clínico, instrumental y radiográfico de los pacientes que dieron su consentimiento. Grupo de estudio (n=8; 40 sitios); Índices: profundidad al sondaje $9,15 \pm 2,05$ desv (IC95%: 8,36; 9,64); Sangrado al Sondaje (+); edad: $19,13 \pm 8,38$ desv (IC 95%: 12,31; 25,69)). Criterios de exclusión: terapia básica periodontal seis meses previos; tratamiento antibiótico, enfermedades sistémicas concomitantes, embarazadas o lactancia. Luego del aislamiento relativo y la remoción mecánica del *biofilm* supragingival, se eligió un sitio por hemiarcada y colocaron 4 conos de papel N° 30 en forma consecutiva. Los conos se colocaron en medio de transporte RTF y se realizaron dos extendidos *in situ*. La extracción del ADN se realizó con kit comercial. La amplificación de las fracciones del 16S ARNr, se realizó por reacción en cadena de la polimerasa o PCR de punto final. Se emplearon *primers* específicos para cada especie. Los productos de amplificación fueron separados por electroforesis en gel de agarosa al 2% buffer TAE y visualizados con *Gold View*. **Resultados:** la PCR de punto final *in house* permitió detectar la siguiente prevalencia en la muestra analizada: Pg 77,5%; Td 70%; Tf 60%; Aa 50%. La prevalencia de Pg fue significativa respecto a Aa ($p < 0,05$). La simultaneidad de Pg Td Tf presentó una prevalencia del 37,5%. **Conclusión:** El monitoreo epidemiológico pone de manifiesto realidades ecológicas locales en el marco de una enfermedad cosmopolita. Conocer la frecuencia de distribución de los patógenos periodontales en nuestro ámbito permitiría ajustar y adecuar el manejo terapéutico para mejorar los resultados en nuestros pacientes.

F11

CRONODINAMIA DE LA RESPUESTA TISULAR A UN NUEVO BIOCOSMÉTICO PARA INGENIERÍA DE TEJIDO ÓSEO

Martínez C1-2-4, Fernández2 CA, Prado M3, Olmedo D4-5, Ozols A2
1Fac. de Odontología - UNCuyo, 2Grupo de Biomateriales para Prótesis, Fac. de Ingeniería-UBA, 3C. Atómico Bariloche, 4Cát. de Anatomía Patológica, Fac.de Odontología-UBA, 5CONICET.

Los biocompositos (BCO) son empleados como andamios o matrices para ingeniería de tejido óseo (ITO). Son materiales bifásicos constituidos, al igual que el tejido óseo, por una fase orgánica y una fase inorgánica. **Objetivo:** Evaluar histológicamente la cronodinamia de la respuesta tisular a un nuevo BCO (Biocerámico (BCC)- Biovidrio (BV)- Colágeno (Col)) sintetizado por nuestro grupo de trabajo, desde el momento de la implantación hasta los 60 días. **Métodos:** La respuesta tisular fue evaluada mediante el modelo experimental del implante laminar (Cabrini et al., 1993), en ratas Wistar (n:40). El biomaterial, moldeado en forma laminar de 6 x 1 x 0,5 mm, fue implantado en ambas tibias. Se practicó la eutanasia de los animales por sobredosis de anestésico en los tiempos T0, T1h, T24h, T7d, T14d, T30d y T60d post- implantación. Las tibias se resecaron y se fijaron en formol al 10%, se radiografiaron, desmineralizaron e incluyeron en parafina obteniéndose cortes histológicos coloreados con H-E. **Resultados:** El BCO sintetizado, presentó una adecuada biocompatibilidad en los diferentes tiempos evaluados. A partir de la primera hora (T1h-T24h), se evidenció una buena hidrofiliabilidad del biomaterial con abundantes eritrocitos en contacto y la posterior formación del coágulo en el sitio de implantación. A los 7 días (T7d) se observó la formación de tejido de granulación, con abundantes fibroblastos. A partir de T14d se identificó la formación de tejido óseo alrededor de las partículas del biocomposito (BCC y BV), las cuales estuvieron interconectadas a través de puentes óseos. El tejido óseo fue de tipo reticular a los 14 días (T14) y de tipo laminar a partir de los 30 días (T30 y T60). **Conclusiones:** El nuevo BCO sintetizado y caracterizado, utilizado como andamio o scaffold para ITO es altamente biocompatible. El mismo permite la formación de tejido óseo de tipo laminar que interconecta las partículas de BV y BCC, haciéndolo apto para su posible aplicación clínica en implantología y cirugía maxilofacial. Subsidio: UBACyT 200201202001190BA.

F12

SÍNTESIS DE PARTÍCULAS Y MICROESFERAS BIOCERÁMICAS PARA IMPLANTOLOGÍA Y CIRUGÍA MAXILOFACIAL

Martínez* C. 1-2-3, Putjñš A. 4, Locš J.4, Ozols A, 2
1-F. de Odontología, UN de Cuyo; 2-Grupo de Biomateriales para Prótesis, F. de Ingeniería, UBA; 3- Cát. de Anatomía Patológica, FOUBA; 4- Centro de Innovación y Desarrollo de Biomateriales, Universidad Tecnológica de Riga, Letonia

Los biocerámicos son utilizados ampliamente en la regeneración ósea debido a su tasa de degradación acorde a los tiempos biológicos. **Objetivo:** Desarrollar un nuevo proceso de síntesis de partículas esféricas e irregulares de fosfatos de calcio para su aplicación en regeneración ósea, cementos óseos y liberación paulatina de drogas. **Métodos y Resultados:** el proceso se inició con la síntesis de hidroxiapatita (HA) y b-fosfato tricálcico (b-TCP). Estos fueron producidas por precipitación en agua a partir de la hidrólisis de CaCl_2 y H_2PO_4 , que reaccionan a pH 6 formando HA a 45 °C, y b-TCP a 22 °C: Las pastas de HA y b-TCP mezcladas en una fracción en peso b-TCP/HA de 40/60. Esta pasta fue usada para producir granos irregulares o esféricos porosos por dos rutas alternativas. La primera empleó la extracción a través de rejillas rotativas, produciendo bollos de pasta. En cambio, la segunda incorporó a la mezcla una solución 5 M de NaOH, y de estearato de sodio (1% del peso total de los fosfatos de Ca) y alginato de sodio (menor al 1 % de la mezcla). Esta suspensión fue inyectada a través de una boquilla (1 mm de diámetro) en una solución de CaCl_2 al 1,5% (en peso) mantenida a 50 °C, para obtener gotas del orden de 4 mm de diámetro. Los iones Ca^{2+} y la temperatura promovieron el entrecruzamiento entre los aniones carboxilato del alginato. Ambos tipos de pastas moldeadas fueron filtradas, secadas a 50 °C durante 24 h, permitiendo obtener partículas irregulares por la primer ruta y esferas (1.5 a 1.8 mm de diámetro) por la segunda. Todas las partículas fueron calentadas a 5 °C min⁻¹ hasta la temperatura de sinterizado a 1200 °C, donde permanecen durante 3 horas, contrayéndose a 1,2 - 1,4 mm, provistas con una micro-porosidad de acuerdo a observaciones de microscopía electrónica. Las fases resultantes de las partículas irregulares fueron de HA+b-TCP, mientras las esféricas tienen HA deficiente en Ca (CDHA , $\text{Ca}_{10}\text{xHPO}_4\text{x}(\text{PO}_4)_6\text{x}(\text{OH})_2\text{x}$), según los análisis de espectrometría de rayos X, difracción de rayos X, y de espectrometría infrarroja de Transformada de Fourier. **Conclusiones:** El proceso desarrollado permitió la síntesis de partículas irregulares y esféricas de biocerámicos, cuyo tamaño de partícula está en el rango adecuado para su aplicación clínica.

F13

PREPARACION DE MEMBRANAS REABSORBIBLES DE GELATINA DE WHARTON

Martínez* C.A. 1-2-3, Fernández A 2., Ozols A, 2

1Facultad de Odontología, Universidad Nacional de Cuyo, Mendoza, Argentina 2Grupo de Biomateriales para Prótesis, Facultad de Ingeniería, Universidad de Buenos Aires, Argentina 3 Cátedra de Anatomía Patológica, Facultad de Odontología, Universidad de

Objetivo: Procesamiento de gelatina de Wharton, GW, para producir membranas de reabsorbibles destinadas a la regeneración de tejido blando y óseos en cirugías maxilofaciales. La GW es utilizada cada vez con más frecuencia en la regeneración de tejidos blandos y como fuente de células madre.

Métodos: El proceso utiliza gelatina de GW extraída de cordones umbilicales y placentas humanas que son sometidas a un proceso de lavado de hemoglobina de (a -4 °C), control bromatológico, hidrolizado, inactivación, enriquecido, control higiénico, esterificación y des-ionización, que el resultado de un desarrollo propio. La solución acuosa obtenida es secado por rociado (*spray dry*), mantenido a temperaturas menores a 42 °C. Todo el proceso es conducido en sala limpia (aire filtrado libre de partículas) de un laboratorio farmacológico, a fin de evitar la contaminación con pirógenos. El material es envasado y almacenado en campana de vacío hasta su rehidratación para su inyección entre láminas de vidrio, donde se promueve una nueva deshidratación bajo flujo de aire filtrado durante más de 24 hs. **Resultados** Son obtenidas láminas flexibles de 20 x 50 mm² y de menos de 1 mm de espesor, fácilmente re-hidratables en solución fisiológica, Las observaciones de microscopía electrónica revelan que su superficie es casi desprovista de un rasgo característica, a excepción de trozos de filamentos estratificados, y una estructura laminar en su corte transversal. La naturaleza química estudiada por espectrometría infrarroja evidencia la presencia de los grupos funcionales de las amidas tipo I, II, III, A y B, característicos de los colágenos tipo I y II. La capacidad de rehidratación, la reabsorción y la formación de hidrogeles de hemoglobina son comprobadas en la primera hora de implantación en tibias de ratas. Este matriz participa en forma activa en la regeneración ósea al ser combinada con biocerámicos de fosfatos de calcio. **Conclusiones:** El proceso desarrollado permite producir láminas poli-pepticas que presentan propiedades de interés en la aplicación clínica en esta evaluación preliminar. Los ensayos preclínicos permitirían evaluar su capacidad regenerativa en cirugías maxilofaciales.

F14

EVALUACIÓN DE LA PORTACIÓN DE CANDIDA SPP EN LOS PACIENTES CON CELIAQUÍA DIAGNOSTICADA EN LA ADULTEZ

Noier M*, Carballo B, Ubertone R, Aguilar P, Mele C, Brusca MI, Grandinetti JA
Universidad Abierta Interamericana

La enfermedad celíaca (EC) es un proceso autoinmune que se caracteriza por una enteropatía del intestino delgado.

Objetivos: Evaluar la portación de *Candida* spp en la población celíaca diagnosticada en la adultez.

Materiales y Métodos: Se evaluaron 80 pacientes celíacos de ambos sexos mayores de 18 años diagnosticados en la adultez Grupo control que concurren para su atención a la Clínica Integral y Cirugía de Adultos y Gerontes III de la Carrera de Odontología de la Universidad Abierta Interamericana, igualados por sexo y edad con el grupo experimental. Se realizó una encuesta con características de la EC. Se realizó un odontograma completo, se midieron los índices convencionales (hemorragia al sondaje, profundidad al sondaje, pérdida de inserción, índice de placa y gingival). Se tomaron muestras de mucosa bucal con un hisopo y se colocó en tubo de ensayo con solución fisiológica.

Y se tomaron muestras subgingivales de la pieza con mayor profundidad con cureta tipo Gracey que se colocaron en tubos con solución fisiológica. Simultáneamente se realizaron extendidos para colorear con la técnica de Gram y de Giemsa

Se realizaron pruebas microbiológicas convencionales y se realizó análisis estadísticos de los datos.

Resultados Preliminares: Los pacientes encuestados promedian los 50 +/- 5 años de edad. No hubo diferencias estadísticamente significativas entre ambos grupos. Las especies prevalentes fueron el 45% presenta *Candida albicans*, 35% *Prevotella intermedia*, 27% *P.gingivalis* y 30% más de una especie *Candida*, en cada sitio periodontal.

Conclusiones: Los pacientes con enfermedad celíaca diagnosticados en la adultez presentan la microbiota indígena accesoria similar al resto de la población. Con una portación de *Candida* spp. con mayor prevalencia de *C albicans* en las mucosas.

F15

ESTUDIO DE LA PORTACIÓN DE CANDIDA SPP EN PACIENTES QUE CONSUMEN PACO

Fajardo R*, Luna I, Robles M, Garritano M, Ubertone M, Grandinetti JA, Brusca MI.
Universidad Abierta Interamericana

Objetivo: Evaluar la portación de *Candida spp* en pacientes que consumen PACO

Materiales y Métodos: Se realizó un estudio clínico observacional de pacientes internados en el CENARESO ubicado en Parque Patricios, Ciudad Autónoma de Buenos Aires, Argentina. Todos firmaron el consentimiento informado correspondiente.

Criterios de Inclusión: Pacientes de 18 a 55 años (n=55) de ambos sexos con consumo de PACO.

Criterios de Exclusión: Policonsumo de drogas de pacientes ambulatorios del centro. Pacientes con enfermedades sistémicas que influyen en periodontitis tales como: diabetes, hipertensión, enfermedades autoinmunes. Se tomaron muestras de mucosa bucal con un hisopo y se colocó en tubo de ensayo con solución fisiológica. Y muestras subgingivales de la pieza con mayor profundidad con cureta tipo Gracey que se colocaron en tubos con solución fisiológica. Simultáneamente se realizaron extendidos para colorear con la técnica de Gram y de Giemsa. Se realizaron pruebas microbiológicas convencionales. Se realizó análisis estadístico de los datos con Chi.

Resultados: La edad promedio de los pacientes en el momento del estudio fue de 32.4 años. El 87.3% manifestó haber consumido todos los días, por más de 10 años. La edad promedio con la cual se iniciaron en el consumo de drogas es de +-15.7, siendo la marihuana la primera droga que han consumido, se iniciaron en el consumo de PACO 16.8 años.

Dentro de las especies de *Candida* encontradas en mucosas la de mayor presencia es *C. albicans* (76%), con una diferencia estadísticamente significativa con el resto ($p=0.03$) de las especies. En el 35 % de los pacientes había más de una especie, y en orden decreciente la prevalencia fue seguida por *C. parapsilosis* (18%), *C. dubliniensis* (15%) y *C. krusei* (7%) de los pacientes. En bolsas periodontales, la de mayor presencia es *C. albicans* (69%), En el 64 % de los sitios había más de una especie, y en orden decreciente la prevalencia fue seguida por *C. dubliniensis* (31%), *C. krusei* (24%) y *C. parapsilosis* (17%).

Conclusión: Los pacientes que consumen PACO son portadores de *Candida spp*. Se observan más variadas especies de *Candida* que en el resto de la población.

F17

EVALUACIÓN DE LA PORTACIÓN DE CANDIDA SPP EN PACIENTES PERIODONTALES QUE INGIEREN ANTICONCEPTIVOS ORALES COMBINADOS

Garritano M*, Mutarelli A., Wygachiewicz D, Olavegogeoascoechea P, Ibanez Marino C, Brusca L, Benegas R, Grandinetti JA, Gomez M, Almeida E, Brusca MI
Universidad Abierta Interamericana

Objetivos: Evaluar la portación de *Candida spp* en pacientes periodontales que ingieren anticonceptivos orales combinados y sus con distintos progestágenos. **Materiales y Métodos:** Se realizó a cabo un estudio de casos y controles.- Grupo experimental: Mujeres con enfermedad periodontal que consumen desde hace 1 a 3 años distintos anticonceptivos orales combinados Grupo control: Mujeres con enfermedad periodontal que no los consumen. Criterios de inclusión: Se incluyen en forma consecutiva 200 pacientes mujeres de 18 a 45 años inmunocompetentes, con periodontitis crónica grave o moderada que aún tengan ciclos menstruales, que ingresan al Hospital Dr. Diego Thompson, al servicio de Ginecología y luego concurren a la Cátedra de Clínica de Adultos y Gerontes III de la Carrera de Odontología de la Universidad Abierta Interamericana entre los años 2011-2014 para la toma de muestras. Criterios de exclusión: Hombres.- Pacientes que hubieran recibido antibióticos, antiinflamatorios o antifúngicos 72 horas previas al estudio. Pacientes que hubieran recibido tratamiento periodontal seis meses previos a la experiencia. - Pacientes que padezcan enfermedades autoinmunes y/o medicados con inmunosupresores.- Mujeres con Dispositivo intrauterino con liberación de hormonas. Se les registraron índices periodontales (profundidad de sondaje, pérdida de inserción, hemorragia) seriada radiográfica periapical y con cureta tipo Gracey se realizó la eliminación de la placa supragingival y con la otra parte de la cureta se le tomó muestra en las bolsas de los dientes incisivos centrales superiores e inferiores y primeros molares y se realizó un pool que se colocó en tubo Eppendorf con solución fisiológica estéril. Se realizaron técnicas microbiológicas convencionales. Se realizó análisis estadístico de los datos con Chi 2. **Resultados:** Se encontró una diferencia estadísticamente significativa entre la portación de *Candida spp* en las mujeres que consumían anticonceptivos y aquellas que no ($p= 0.03$). Se encontraron en orden decreciente *C. albicans*, *C. parapsilosis*, *C. krusei*, en las que no consumían y *C. dubliniensis*, *C. albicans*, *C. glabrata*, *C. krusei*, *C. parapsilosis*, *C. tropicalis* en las que ingerían. Con respecto a los progestágenos utilizados (Nomegestrol acetato, Drospirenona, Levonorgestrel, Gestodeno, Dienogest y Ciproterona) no se observaron diferencias en la prevalencia de *Candida spp* encontrada.

Conclusiones: Las mujeres que ingerían anticonceptivos son portadoras de *Candida spp* diferentes a las que no consumen. En la muestra estudiada NO se observaron diferencias con los distintos progestágenos.

F18

EVALUACIÓN DE LA PORTACIÓN DE CANDIDA SPP A AROS BUCALES

Burna D*, Noier M, Casal M, Carballo B, Virgilito A, Brusca L, Almeida E, Brusca MI, Grandinetti JA
Universidad Abierta Interamericana

Objetivo: Evaluar la portación de especies de levaduras en pacientes portadores de aros bucales

Materiales y métodos: Se llevo a cabo un estudio de casos y controles que incluyeron a 60 pacientes. Grupo experimental: Pacientes con piercing de metal (n= 20) y metal y acrílico (n=20) y acrílico (n=20). Criterios de inclusión: Pacientes de 14 a 55 años, inmunocompetentes, con piercing. Criterios de exclusión: Toma de antibióticos, antiinflamatorios, y anti fúngicos 72 horas previas. Que hayan recibido tratamiento periodontal en los últimos 6 meses. **GRUPO CONTROL:** Pacientes sin piercing.

Además de la historia clínica convencional se realizo una encuesta y se tomaron índices periodontales convencionales con hisopos estériles se tomaron muestras de tejidos blandos, paladar, mucosa yugal y lengua. Luego se tomo una muestra del aro y se colocaron en tubos de Eppendorf con 0,5 ml de PBS. Las especies de levaduras se identificaron en medio cromogenico, Api, ID 32 C, y amplificación de ADN por PCR con primers panfungicos.

Resultados: Se observo la presencia de *C. albicans*, *C. parapsilosis*, *C. tropicalis*, *C. guilliermondii*, *C. glabrata* y *C. sake* tanto en el aro como en la mucosa periférica, la portación es mayor en la mucosa periférica, labios y carrillos con una diferencia significativa respecto de los no portadores de piercing. (p=0.002)- La condición periodontal se mantuvo igual a la inicial en todos los casos. Las levaduras crecen tanto en piercing como en labios, lengua y carrillos, y pueden diseminarse a partir de este nuevo nicho.

La portación fue mayor en aros de acrílico que en los de metal y acrílico y en estos mayor que en los metales, con una diferencia estadísticamente significativa (p= 0.05)

Conclusión: Los aros bucales favorecen la adhesión de *Candida spp*, siendo los mas adhesivos los aros acrílicos.

F19

ESTUDIO DEL ESTADO PERIODONTAL EN MUJERES EN CLIMATERIO

Ubertone M*, Mutarelli A. ; Schnell M, Romero J, Lucentini M, Brusca L, Garzón M.
; Almeida E, Grandinetti JA, Brusca
Universidad Abierta Interamericana

Objetivos: Evaluar el estado periodontal y los cambios microbiológicos en las mujeres con menopausia.

Materiales y Métodos: Se seleccionaron como grupo de estudio 80 mujeres en etapa de climaterio y como grupo control 80 mujeres con ciclos menstruales (40 a 50 años), sin patologías relacionadas con trastornos hormonales. Se elaboró una encuesta que nos proporcionó diversos ítems: edad, última menstruación, si fuma, última visita al odontólogo.

Se evaluó con sonda tipo Marquis, la profundidad al sondaje, pérdida de inserción, sangrado al sondaje y se tomó seriada radiográfica periapical superior e inferior.

Se realizó un hisopado de mucosa bucal que se llevó a tubo con solución fisiológica estéril y se utilizaron curetas de Gracey 7/8 y con una parte activa se eliminó la placa supragingival y con la otra parte se tomó muestra subgingival que se llevaron a tubos Eppendorff con PBS y se evaluaron las especies de *Cándida* presentes.

Se sembró en Agar Sabouraud con cloranfenicol y en Chromagar *Cándida*.

Las especies de color verde se las sembró en Agar leche Tween 80, crecimiento 45 C, API ID 32 C, PCR con primers panfungicos. Se realizaron exámenes microscópicos directos a los que se les realizó Gram y Giemsa y análisis estadístico con prueba Chi 2.

Resultados: Se obtuvieron como resultado una diferencia significativa (P= 0.003) entre las mujeres del grupo control y aquellas mujeres en etapa de climaterio; respecto a la variable del estado Periodontal. El grupo control presentó un aumento en la prevalencia de gingivitis y periodontitis leve, siendo la periodontitis crónica grave y moderada las de mayor prevalencia en las mujeres en etapa de climaterio. Las especies dentro del genero *Cándida* con mayor prevalencia, tanto en mucosa como en la bolsa periodontal, es de *Cándida albicans*, seguido por *C. tropicalis*, *C. parapsilosis*, *C. dubliensis* y *C. kruseii*.

Conclusiones: El descenso de estrógenos en la menopausia revela cambios en el medio de barrera de la cavidad bucal que se expresan como aumento de la prevalencia de periodontitis crónica grave - moderada y portación de diferentes especies del género *Cándida*.

F20

NO SE PRESENTA

F21

ESTUDIO DE LA ADHERENCIA DE LOS PACIENTES CON PATOLOGÍA A LA FASE DE MANTENIMIENTO DE LA TERAPIA PERIODONTAL

Noier M*, Taddeo M, Hansen A, Flores S, Scarpatti N, Brusca L, Carballo B, Grandinetti JA, Brusca MI
Universidad Abierta Interamericana

Objetivo: Estudiar la adhesión del paciente que tuvo enfermedad periodontal a la fase de mantenimiento. **Materiales y Métodos:** Se incluyeron 150 pacientes, de ellos (n= 75) concurrieron a la Carrera de Odontología de la Universidad Abierta Interamericana y (n=75) que fueron tratados en consultorios privados. Se excluyeron pacientes con patologías sistémicas que modifican estado periodontal o la respuesta al tratamiento (diabetes, hipertensión, inmunosuprimidos, ingesta de medicamentos, antihipertensivos, antiepilépticos, inmunosupresores). Se utilizó la última clasificación de la Academia Americana de Periodontología y se agruparon las diferentes patologías gingivo-periodontales (gingivitis, periodontitis crónica leve, moderada, grave y periodontitis agresiva). Se realizó terapia básica y se recitó a los pacientes cada 6 meses. Se tomaron los índices periodontales en la sesión de mantenimiento con sondas de presión controlada. Se evaluaron la profundidad al sondaje, pérdida de inserción, índice de placa y el índice gingival, movilidad. Se tomaron radiografías seriadas periapicales de ambos maxilares. Se evaluaron los mismos índices pre tratamiento en la ficha y las radiografías previas. Se agruparon los pacientes de acuerdo a los años de enfermedad periodontal post terapia básica en **Grupo 1:** hasta 2 años de tratamiento, **Grupo 2:** de 25 meses a 5 años de tratamiento **Grupo 3:** más de 5 años de tratamiento. Se realizó el recuento de piezas perdidas a lo largo de los años de tratamiento. Asimismo, se realizó un promedio de los índices iniciales y al momento de la última visita de cada paciente para evaluar la evolución. Se realizó análisis estadístico de los datos. **Resultados:** El 80% de los pacientes que siguen el tratamiento son mujeres, y un 20 % son hombres. Los pacientes con mayor adherencia al tratamiento son aquellos con periodontitis moderada, grave y agresiva. Los pacientes con periodontitis leve y gingivitis discontinuaron el tratamiento de mantenimiento. Los índices periodontales más estables y con menos pérdidas de piezas dentarias se observaron en los pacientes del Grupo 3, cualquiera fuera su patología periodontal inicial, con una diferencia estadísticamente significativa ($p= 0.03$) con respecto a los otros grupos estudiados. No hubo diferencias significativas entre los pacientes de consultorios privados y los de la facultad. **Conclusión** La adhesión al tratamiento periodontal es mayor en los pacientes que inician tratamiento con patologías periodontales más severas.

F22

ROL DEL AGGREGATIBACTER ACTINOMYCEMCOMITANS (AA) Y LA PORFIROMONAS GINGIVALIS EN PERIODONTITIS AGRESIVA

++Sánchez GA, +De Couto Pita* A, +Busch L, +Méndez CF.
Cátedra de +Farmacología y ++Biofísica de la Facultad de Odontología de la UBA.

Objetivos: El AA y la PG son gérmenes comúnmente aislados del líquido crevicular (LC) de pacientes con periodontitis agresiva (PA). El objetivo del trabajo fue evaluar los niveles de infección por AA y PG en LC de pacientes con PA e investigar su relación con el nivel de inserción del ligamento periodontal (CAL), profundidad de sondaje (PDS), pérdida ósea (ABL), índice de placa (PI), volumen del LC, pH y flujo salival estimulado (FSE) y no estimulado (FSNE).

Métodos: El nivel de infección por AA y PG se determinó por reacción en cadena de polimerasa utilizando primers específicos en LC de 20 pacientes con PA diagnosticada en base a la clasificación de Armitage GC (1999) y en controles sanos apareados por edad y género. Factores excluyentes: enfermedades sistémicas, fumadores, medicación. A los individuos afectados se les realizó terapia periodontal y tratamiento con doxiciclina oral, 100 mg/día durante 21 días según protocolos en vigencia.

Resultados: Los pacientes presentaron niveles significativamente elevados ($p < 0,001$), tanto de AA como de PG en el LC, con relación a los controles sanos (529496 ± 53023 y 543279 ± 64481 vs 64 ± 6 y 41654 ± 3564 copias/ml de AA y PG para PA y controles, respectivamente), con una correlación positiva (R^2 de 0,82) y significativa ($p < 0,0001$) entre las cantidades de copias de ambos gérmenes. No se registraron diferencias significativas en cuanto a la edad pero las mujeres presentaron más copias/ml de AA ($p < 0,003$). El análisis multivariado demostró una significativa influencia del AA, aunque no del PG, con el volumen del LC ($p = 0,001$), pH ($p = 0,001$), FSE ($p = 0,03$), CAL ($p < 0,0001$), PDS ($p < 0,0001$) y ABL ($p = 0,02$). Al finalizar el tratamiento se registraron los siguientes niveles de copias/ml: AA controles: 62 ± 5 ; AA pacientes: 67 ± 7 ; PG controles: 41656 ± 3628 ; PG pacientes: 482583 ± 55355 ($p < 0,0001$). Todos los parámetros clínicos revirtieron con el tratamiento.

Conclusión: Se determinó la presencia de AA y PG en el LC de todos los sujetos estudiados con un número mayor de copias/ml de PG con respecto a AA en controles pero sin diferencias significativas entre AA y PG en los pacientes. El desarrollo del AA favorece el crecimiento de la PG que, a pesar de su alta concentración en LC, no está relacionada con los daños producidos por la enfermedad.

F23

COMPARACIÓN DE LA RESPUESTA CLÍNICA Y BACTERIOLÓGICA DE PACIENTES CON PERIODONTITIS CRÓNICA Y AGRESIVA GENERALIZADA POST TRATAMIENTO PERIODONTAL NO QUIRÚRGICO

Menso J*, Bazzano G, Usin MM, Tabares S, Ribotta de Albera EM, Sembaj A
Cátedra de Periodoncia B FO UNC. Cátedra Bioquímica y Biología Molecular Cs Ms
UNC. Fundación Independencia

OBJETIVO: Asociar la microbiota de las bolsas periodontales con la evolución de los parámetros clínicos periodontales, en respuesta al tratamiento periodontal no quirúrgico, al inicio, 3 y 12 meses post tratamiento, en pacientes con Periodontitis Crónica (PC) y Periodontitis Agresiva Generalizada (PAG) de nuestro medio.

METODO: Firmaron el consentimiento de participar en el proyecto 5 individuos adultos con diagnóstico PAG y 11 con PC, diagnosticados según criterio propuesto por la Academia Americana de Periodontología. Se elaboró historia Clínica Médica y Odontológica de cada paciente, con ficha Periodontal donde se consignaron: placa bacteriana (PB), hemorragia (H), supuración, profundidad de sondaje (PS), nivel de inserción clínica (NIC) e hipermovilidad, se tomaron radiografías seriadas. En 44 sitios con PC y 30 con PAG se tomaron muestras de PB subgingival, para identificar por biología molecular Porphyromonas gingivalis (Pg), Treponema denticola (Td), Tannerella forsythia (Tf), Prevotella intermedia (Pi) y Aggregatibacter actinomycetemcomitans (Aa). Luego, se realizó raspaje y alisado radicular para las PC y raspaje y alisado combinado con amoxicilina + metronidazol en pacientes con PAG. A los 3 y 12 meses post tratamiento se re-evaluaron clínicamente los sitios y se tomaron muestras para la identificación bacteriana. Se analizaron los datos con Test de Student y $p < 0,05$.

RESULTADOS: Post tratamiento todos los parámetros clínicos (H, PS y NIC) se redujeron significativamente y los valores obtenidos se mantuvieron hasta los 12 meses en ambas patologías. Tanto Pg, Pi y Aa no se detectaron en controles posteriores en PAG, mientras que Td y Tf se identificaron en todas las etapas del estudio para las dos formas de periodontitis. En PAG el PS a los 12 m fué significativamente menor ($p < 0,04$) respecto al inicio del tratamiento en bolsas sin Pg, Td y/o Tf y menor que a los 12m en bolsas con Pg td y/o Tf $p < 0,015$).

CONCLUSION: El perfil de disminución de las especies bacterianas analizadas no es similar en ambos tipos de periodontitis y la respuesta clínica dependería del repoblamiento con Pg, Td y/o Tf en ambos tipos de periodontitis.

F24

RESPUESTA AL TRATAMIENTO PERIODONTAL NO QUIRÚRGICO DE PACIENTES FUMADORES Y NO FUMADORES

Musso G*, Menso J, Calafell C, Rosella C, Moyano A, Doro V, Rubio S, Tortolini P, Oviedo JC, Solari N, Usin MM, Moreno de Calafell M
Cátedra de Periodoncia B FO UNC

El hábito de fumar altera la respuesta del biofilm periodontopático, no sólo afectando la prevalencia, gravedad y severidad, sino también la respuesta al tratamiento.

OBJETIVO: Comparar la respuesta al tratamiento periodontal no quirúrgico en pacientes fumadores y no fumadores

MÉTODO: La muestra la conformaron 70 pacientes no fumadores y 100 fumadores de más de 10 cigarrillos diario, comprendidos entre 25 y 65 años, atendidos en la Cátedra de Periodoncia B FO UNC. Previo consentimiento informado se realizó Historia Clínica y Ficha Periodontal, consignándose como variable el número de sitios con profundidad de sondaje (PS) \leq y \geq 5mm, pre y post Terapia Básica en ambos grupos. Se utilizó sonda periodontal tipo Marquis. Se examinaron 2074 sitios en fumadores y 1311 en no fumadores. Para su análisis estadístico se realizó prueba T de student para muestras relacionadas.

RESULTADOS: Pre tratamiento se observó en pacientes fumadores 1887 sitios con PS \leq 5mm y 187 con PS \geq 5mm; en no fumadores 1204 sitios con PS \leq 5mm y 107 con PS \geq 5mm. La variable PS $>$ 5mm fue mayor en los fumadores con una significación del 5% con un nivel de confianza del 95%(0,197-1,546). Post tratamiento resultaron 100 sitios con PS \geq 5mm en fumadores y 25 sitios en no fumadores, lo que refleja una reducción de la PS del 35% en bolsa $>$ 5mm en fumadores y 42% en no fumadores. La reducción en la PS fue significativa en ambos grupo (p. $<$ 0,05)

CONCLUSIÓN: El tratamiento periodontal no quirúrgico fue exitoso ya que se observaron mejorías en los sitios con PS \geq 5mm en ambos grupos. Sin embargo los pacientes fumadores tuvieron una menor respuesta al tratamiento

F25

ANÁLISIS COMPARATIVO DE PARÁMETROS CLÍNICOS DE PACIENTES FUMADORES Y NO FUMADORES CON PERIODONTITIS CRÓNICA

Usin MM*, Menso J, Calafell C, Rosella C, Moyano A, Doro V, Rubio S, Tortolini P, Oviedo JC, Solari N, Musso G, Moreno de Calafell M
Cátedra de Periodoncia B FO UNC

La evidencia muestra que los factores medio ambientales como el consumo de tabaco aumentan el desarrollo y progreso de la periodontitis, en presencia de factores locales.

OBJETIVO: Comparar parámetros clínicos presentes en pacientes fumadores y no fumadores con Periodontitis Crónica y relacionarlos con la severidad de las lesiones.

MÉTODO: La muestra la conformaron 70 pacientes no fumadores y 70 fumadores de más de 10 cigarrillos diarios, comprendidos entre 25 y 65 años, atendidos en la Cátedra de Periodoncia B FO UNC. Se realizó Historia Clínica y Ficha Periodontal, consignándose registro de placa bacteriana (RPB), registro hemorragia (RH), registro de cálculo supragingival e subgingival, profundidades de sondaje (PS) \leq y \geq 5mm, con sonda periodontal tipo Marquis. Para el análisis estadístico se utilizó prueba de t de Student para muestras independientes.

RESULTADOS: Los promedios de las variables estudiadas: RPB, Cálculo Srupragingival, subgingival, PS \geq 5mm son mayores en la muestra de fumadores, con valores más altos que los no fumadores a un nivel de significación del 5%, con un intervalo de confianza 95% (4,69- 25,983), excepto la variable RH donde el promedio es mayor en los no fumadores. La cantidad de sitios con PS \geq 5 mm fue mayor en fumadores: p. \geq 0.005 con un intervalo de confianza del 95%. (0,197 y 1,546).

CONCLUSIÓN: los pacientes fumadores tienen más sitios con bolsas profundas, mayor cantidad de cálculo supra e infaringival y valores más altos de Placa. Sin embargo presentan una menor tendencia a la inflamación reflejada en la hemorragia al sondaje.

F26

IMPLANTES INMEDIATOS A EXODONCIAS DE CANINOS SUPERIORES RETENIDOS. ESTUDIO PRELIMINAR

García Blanco M*, Stölbizer F, Pasart J, Puia SA
Cátedra de Cirugía y Traumatología Bucocomaxilofacial I, y Servicio de Guardia y Orientación de pacientes, FOUBA.

Objetivo: Cuantificar el porcentaje de éxito clínico en la oseointegración de implantes dentales en la zona de caninos superiores retenidos cuando son colocados en el mismo acto quirúrgico a su extracción.

Métodos: Fueron incluidos 30 pacientes que requerían, por distintas causas etiológicas, reposición de al menos uno de sus caninos superiores desde el año 2006 a la fecha. A 15 de ellos (grupo de estudio), se les realizó en forma simultánea a la exodoncia de un canino en retención ósea la inserción de un implante dental. Los caninos fueron extraídos siguiendo una técnica de preservación de tejido óseo para el anclaje apical y la conservación de las tablas oclusal y vestibular. A los otros 15 pacientes (grupo control, gold estándar), se les realizó la cirugía implantológica recién a partir de los 90 días de haber extraído sus piezas dentarias. Todos los procedimientos quirúrgicos/protéticos fueron realizados por el mismo equipo calibrado para tal fin, siguiendo los mismos criterios de inclusión y exclusión, y los mismos análisis clínicos / radiológicos. El anclaje primario fue logrado de manera manual o superior. Se realizó regeneración según la necesidad del defecto óseo. Se consideró el éxito clínico en oseointegración cuando al torquar el implante a 32 N/cm² a los 4 meses, este no giró, ni dolió, ni presentó clínica y radiográficamente signos patológicos. Todos los implantes fueron rehabilitados con coronas metalo-cerámicas cementadas.

Resultados:

En el grupo de estudio se realizaron 16 implantes inmediatos en caninos retenidos. La media de edad fue 38,6 años (Rango= 31-63). Trece casos fueron en mujeres y sólo 3 en hombres. 15 situaciones requirieron de abordaje palatino y solo 1 de abordaje vestibular. En 11 cirugías se usó relleno óseo y en 5 no. Los implantes fueron cargados protéticamente en promedio a los 5,75 meses (Rango= 5-7,5). En el grupo control, se realizaron 15 implantes dentales, 9 en mujeres y 6 en hombres, con una media de edad de 52,7 u utilizándose relleno óseo en 3 oportunidades. El porcentaje de éxito clínico en la oseointegración fue del 100% en ambos grupos.

Conclusiones: Este estudio preliminar sugiere que la cirugía de implantes inmediatos en extracciones de caninos retenidos es una técnica predecible por su alta tasa de oseointegración.

F27

ESTUDIO DE LA PREVALENCIA DE ENFERMEDAD PERIODONTAL EN PACIENTES CON INDICACIÓN DE CIRUGÍA CARDIACA

Briselli V*, Casal M, Romero J, Grandinetti JA, Brusca MI
Universidad Abierta Interamericana

Objetivo: El presente estudio tiene como objetivo estudiar la prevalencia de enfermedad periodontal y periodonto patógenos en pacientes con enfermedad cardíaca con y sin indicación quirúrgica.

Materiales: Se incluyeron a todos los pacientes ingresados en el hospital universitario de la Universidad Abierta Interamericana al servicio de cardiología. Se dividieron en dos grupos:

Grupo experimental: Pacientes mayores de 40 años de edad (n=20) que presentan enfermedad cardiovascular y tienen indicación quirúrgica con utilización de implante de prótesis dentro del acto quirúrgico.

Grupo control: Pacientes de igual rango etario (n= 20) que presentan enfermedad cardiovascular y no tienen indicación quirúrgica. Se realizaron índices periodontales (profundidad de sondaje, pérdida de inserción, hemorragia al sondaje e índice de placa y gingival).

Se clasificó la enfermedad periodontal de acuerdo a la última clasificación de la Academia Americana de Periodoncia, en gingivitis, periodontitis crónica, leve, moderada, grave y periodontitis agresiva. Se tomó muestra subgingival con cureta de los sitios más profundos, que se colocaron en medio VMGAIII y PBS. Se realizaron análisis microbiológicos convencionales y análisis estadístico con prueba Chi 2.

Resultados: El grupo experimental mostró: un 70% de enfermedad periodontal, con un 52 % periodontitis leve, 18% moderada y 30% grave.

El grupo control: 45 % enfermedad periodontal, con un 65 % de ellos con periodontitis leve, 20% moderada y 15% grave, en ellos se encontraron los microorganismos clásicos de cada patología.

En el grupo de estudio se observaron: 31% microorganismos aerobios no específicos, 7% *Staphylococcus aureus*, 4% *Porphyromona gingivalis*, 10% *Prevotella intermedia*, 17% microorganismos de vías aéreas, 13% *Cándida albicans*.

Conclusión: Los pacientes con indicación de cirugía cardíaca tienen una elevada presencia de microorganismos periodontos patógenos habituales y no habituales de estas patologías periodontales.

F28

RESPUESTA DEL TEJIDO SUBCUTÁNEO A UN IMPLANTE DE POLIETILENO POROSO. ESTUDIO HISTOLÓGICO

Martinez Rodriguez J*, Renou SJ, Guglielmotti MB
Facultad de Odontología. Universidad de Buenos Aires.

En estudios previos hemos evidenciado que implantes de Polietileno Poroso (PP), incluidos en la médula ósea hematopoyética, generaban respuesta osteoconductiva, tanto en la superficie como en los poros del biomaterial (SAIO 2012-2013). Es de destacar que el PP es utilizado en la reconstrucción maxilo facial, sin embargo varias publicaciones describen fracasos puestos de manifiesto con cuadros infecciosos, reacciones a cuerpo extraño, entre otros. **OBJETIVO:** Evaluar histológicamente la respuesta del tejido subcutáneo peri-implante al PP a los 14 y 60 días post-implantación.

MÉTODOS: Una muestra de 5 mm de diámetro y 1 mm de espesor de PP (*) fue analizado con MEB y EDS. Se utilizaron 20 ratas Wistar macho (150-180g); a las que bajo anestesia IP de una solución de 8 mg de clorhidrato de ketamina y 1,28 mg de xylacina, se les implantó un disco de PP en el tejido celular subcutáneo del dorso. Se siguieron las normativas NIH y del Comité de Ética de la Facultad de Odontología, UBA. Se practicó la eutanasia a los 14 y 60 días. Se realizó la resección del tejido que incluye al biomaterial, las muestras fueron fijadas en formol 10 % buffer, procesadas, incluidas en parafina y coloreadas con Hematoxilina-Eosina y tricrómico de Masson.

Resultados: MEB: El rango de tamaño de los poros es de 120 a 770 µm con formas irregulares, y la superficie interna de los poros presentaba partículas del orden de los 10 µm. EDS: 96.88% C y 3.12% O. Microscopía óptica: se evidenció a los 14 días rodeando al implante y dentro de los poros tejido de granulación con leve infiltrado inflamatorio disperso y en su interfase con el PP se evidencian células gigantes multinucleadas (CGM) de diferentes formas y tamaños, que incluyen vacuolas en su citoplasma. A los 60 días se observó tejido fibroso, en las mismas localizaciones y disminución de las CGM en el tejido que ocupa los poros.

Conclusión: los resultados obtenidos podrían evidenciar que la técnica quirúrgica cuidadosa influye en una mejor respuesta del tejido subcutáneo al PP, como así también a otros sustitutos o rellenos de tejido blando y óseo.

F29

ESTUDIO DE LA PREVALENCIA DE PATÓGENOS PERIODONTALES EN MUJERES EN TRATAMIENTO DE FERTILIZACIÓN ASISTIDA

Torrelío J*, Casal M, Echeverría A, Listorti A, Grandinetti JA, Olavegogeoascoechea P, Almeida E, Brusca L, Lucentini M, Brusca MI
Universidad Abierta Interamericana

La existencia de estudios previos avala que las variaciones hormonales afectan al periodonto femenino provocando una alteración en la relación hospedero parasito.

Objetivo: Determinar la prevalencia de patógenos periodontales en mujeres bajo estimulación ovárica para tratamiento de Fertilización Asistida.

Materiales: Se realizó un estudio de corte transversal, mediante una encuesta e historia clínica a mujeres entre 20 y 35 años (n=29) que concurrieron a Halitus para realizar tratamiento de fertilización asistida previa firma de un consentimiento informado. Grupo control: mujeres (n=29) que no realizan un tratamiento de reproducción, y no están sometidas a ninguna terapia hormonal. Variable dependiente: enfermedad periodontal. Variable independiente: terapia de FIV. Durante la estimulación ovárica controlada se les tomo muestra de hisopado mucoso de la cavidad bucal que se colocó en medio de Stuart. luego se seleccionaron los tres sitios con mayor profundidad de sondaje y con una parte de la cureta Gracey se eliminó la placa supragingival, y con la otra parte activa se tomó un pool de muestra que se colocó en VMGA III. Se realizaron extendidos que luego se colorearon con Giemsa y Gram. Las muestras se sembraron para evaluar anaerobios en Agar sangre al 5%, Agar chocolate al 5% con Isovitalex, y para evaluar *Candida spp* ChromAgar Candida. Se incubaron en capnofilia 5 días. Luego a las colonias que presentaron color verde se les estudio la capacidad de desarrollo a 45 °C y Api ID32C. Se realizó análisis estadístico de los datos.

Resultados: No hubo diferencia estadísticamente significativa entre ambos grupos de mujeres en cuanto a la presencia de *Candida spp*, *Prevotella intermedia*, *Porphyromona gingivalis* son constantes. La prevalencia en orden decreciente fue *C. albicans*, *C. tropicalis*, *C. parapsilosis*, *C. dubliniensis*, y *C. guilliermondii*.

Conclusiones: la prevalencia de patógenos periodontales en mujeres bajo estimulación ovárica para tratamiento de Fertilización Asistida es igual a aquella de mujeres sin tratamiento. Se proyecta continuar el estudio longitudinal con distintos tiempos de corte para evaluar si aparecen diferencias estadísticamente significativas.

F30

ÉXITO IMPLANTOLÓGICO Y ENFERMEDADES PERIIMPLANTARIAS EN PACIENTES INMUNOSUPRIMIDOS TRASPLANTADOS DE ÓRGANO SÓLIDO

Paredes VM*, López Pintor RM, Casañas E, de Andrés A, de Vicente JC, Hernández G
Departamento de Medicina Oral y Cirugía bucofacial. Facultad de Odontología.
Universidad Complutense de Madrid. España

Objetivos: El objetivo principal de este estudio prospectivo fue evaluar la tasa de supervivencia a largo plazo de los implantes y la presencia de cambios inflamatorios alrededor de estos desde el inicio hasta un máximo de 145 meses en una cohorte de receptores de trasplante hepático y renal que recibían fármacos inmunosupresores. Los objetivos secundarios fueron analizar la influencia de la inmunosupresión de varios parámetros implante y paciente-dependientes, como las complicaciones en el postoperatorio inmediato y la pérdida ósea.

Métodos: La población inicial del estudio incluyó a 31 pacientes trasplantados inmunosuprimidos que recibieron 116 implantes Nobel Biocare® entre los años 1999 y 2009 a través de un procedimiento de una o dos etapas. El dolor y la curación de heridas se evaluaron inmediatamente después del procedimiento. El examen final se llevó a cabo después de un seguimiento medio de 111,8 meses. Un estricto programa de mantenimiento se llevó a cabo durante el seguimiento. La evaluación clínica final incluyó profundidad de sondaje (PD) y presencia de sangrado al sondaje (BoP). La pérdida ósea se midió en relación a las espiras de los implantes con radiografías periapicales utilizando una técnica de paralelización de cono largo. La presencia de mucositis periimplantaria (PIM) y periimplantitis (PI) fueron según los criterios definidos por Roos-Jansåker et al. (2006).

Resultados: Debido a la muerte de un paciente, 114 implantes en 30 pacientes fueron finalmente evaluados. Ningún implante se perdió durante el seguimiento y la tasa de supervivencia, por lo tanto, fue del 100%. PIM apareció en 22 pacientes (73,33%) y en 53 implantes (46,49%). PI apareció en 5 pacientes (16,67%) y en 7 implantes (6,14%). En 2 pacientes, se observó infección por el virus del herpes simple tipo-1 durante sus visitas de mantenimiento.

Conclusión: A pesar de las limitaciones del pequeño tamaño de la muestra de este estudio, parece que la inmunosupresión asociada al trasplante de órganos sólidos no juega un factor importante en la génesis de complicaciones implantarias y periimplantarias y este tipo de pacientes pueden ser tratados con éxito con este procedimiento.

DENTAID® proporcionó apoyo parcial para este estudio a través de una subvención concedida a la UCM.

F31

PARESTESIAS DEL NERVIIO DENTARIO INFERIOR EN CIRUGÍAS IMPLANTOLÓGICAS: ESTUDIO RETROSPECTIVO

García Blanco M*, Gualtieri AF, Puia SA
Cátedras de Cirugía y Traumatología Bucocomaxilofacial I Y II, FOUBA

Objetivo: Proporcionar información sobre qué tipo de experiencias pasadas poseen los cirujanos encuestados en casos de parestesias del nervio dentario inferior en cirugías implantológicas.

Materiales y Métodos: Se realizaron dos tipos de encuestas anónimas a docentes de la Cátedra de Cirugía I y II de la FOUBA en el segundo semestre de 2014 para la recolección de datos en forma retrospectiva. En la primera (n:26) se hicieron preguntas acerca de la anestesia (troncular o infiltrativa) que utilizaban para la colocación de implantes en el sector postero-inferior de la cavidad oral. En la segunda se buscaba información sobre los casos de parestesias mencionados (n:9). Para analizar los datos se utilizaron la prueba exacta de Irwin-Fisher, diferencia de proporciones y Wilcoxon para muestras independientes. En todos los casos se fijó un nivel de significación de 0,05.

Resultados: El porcentaje de docentes que utilizan anestesia infiltrativa (65%) superó al porcentaje de los que utilizan troncular (35%), y esta diferencia resultó significativa (prueba para diferencia de proporciones: $p < 0,05$). Cuando se les preguntó a los docentes si consideraban que bajo anestesia infiltrativa el paciente podía avisarle si estaba por lesionar el nervio dentario inferior, de 26 respuestas válidas, 19 fueron positivas (73%) y 7 negativas (27%), esta diferencia fue significativa ($p < 0,05$). En nueve casos de parestesias confirmadas, se les preguntó a los docentes si el paciente había reportado dolor: se obtuvieron 8 repuestas negativas (89%) y 1 positiva (11%). Esta diferencia de porcentajes fue significativa ($p < 0,05$). Los 3 casos con técnica troncular fueron indoloros, y de los 6 casos bajo anestesia infiltrativa, sólo en 1 caso el paciente reportó dolor.

Conclusiones: Los resultados de este estudio indican que los cirujanos encuestados creen que mediante la anestesia infiltrativa los pacientes pueden avisarles si están por lesionar el nervio dentario inferior, sin embargo los resultados de parestesias de ésta encuesta, sugieren lo contrario. Un estudio clínico controlado y aleatorizado será necesario para confirmar estas aproximaciones.

F32

ANÁLISIS DE FLUORESCENCIA EN TITANIO GRADO IV Y V: ESTUDIO EN CONEJOS

Miranda AB*; Stancari FH; Cunha VS; Conti PCR; Araujo MAR; Araujo CRP
Faculdade de odontologia de Bauru - Universidade de Sao Paulo - FOB/USP

OBJETIVO:

Analizar la area de respuesta del hueso de implantes dentales de titanio grado IV y grado V con el uso de la fluorescencia como uno marcador del hueso.

MÉTODOS: Este estudio ha realizado cirugías en 15 conejos de la especie *New Zealand*, los cuales recibieron treinta implantes. Dos en cada conejo, uno implante grado IV en una tibia y uno grado V en otra tibia. Los implantes grado IV y los de grado V tenían las siguientes dimensiones: 3.5x8mm e 2.9x7mm, respectivamente. Durante el tiempo de regeneración del hueso, se inyectó el marcador del hueso de fluorescencia en los animales. Después de dos semanas de oseointegración, se produjo la eutanasia. Mediciones en un analizador de imágenes se realizó con el objetivo de cuantificar el área de nuevo hueso formado en las tres primeras conformaciones del implante y su entorno.

RESULTADOS: Los resultados no mostraron ninguna diferencia estadísticamente significativa entre los dos grupos. El grupo de titanio grado V mostró un valor de 46,3% (del 79% al 14,21%), ligeramente superior a la observada en el grupo de titanio grado IV (44,73%, con una variación entre 78,93% y 18,36%). Por lo tanto, titanio grado V tenía excelente respuesta del hueso, así como el grado de titanio IV.

CONCLUSIÓN: Se concluyó que los implantes de titanio grado IV y los de grado V tienen respuestas biológicas equivalentes. Por lo tanto, los implantes de grado V se pueden utilizar así como los implantes de grado IV, que tienen una excelente respuesta del hueso.

G01

ESTADO DENTAL Y PRIORIZACIÓN DE PROBLEMAS EN POBLACIÓN INFANTIL DE RIESGO SOCIAL

Fernandez CN*, Arias SC, Calatayud L, Dolonguevich E, Martín M, Nafissi C, Salinas D, Ruggeri S
HOSPITAL UNIVERSITARIO-U.N.CUYO

OBJETIVOS: determinar el estado dental de la población bajo estudio, detectar subgrupos de riesgo específico para caries y proponer estrategias de intervención apropiadas. **MÉTODO:** estudio descriptivo correlacional sobre 277 niños entre 2 meses y 13 años de edad asistentes al CDlyF N°11, Mendoza, participantes de un programa preventivo de salud bucal y cuyos padres dieron su consentimiento. Indicadores: ceod, CPOD, ceos CPOS, incluyendo en "c,C" categoría 2 ICDAS II, ÍNTC (Bordoni 1997), ICDAS II(2 a 6). Se determinaron distribución de frecuencias, medidas de tendencia central, pruebas de contraste para distribución normal, y metodología estadística no paramétrica para analizar variables independientes, dispersión y comparación de grupos, con nivel de significación $p=0,05$. **RESULTADOS:** Experiencia de caries del 68,6%. Estado dental: media de ceod+ CPOD = $4,91 \pm 5$, c+C = 4.25 ± 4.55 , ceos+CPOS = $9,22 \pm 11.96$ y c+CS = 6.89 ± 8.61 . Media de ceod+CPOD $0.88 \pm 1,92$ a los 2 años; $3,93 \pm 4,65$ a los 3 años; $6,38 \pm 6,36$ a los 5 años; $8,40 \pm 5,47$ a los 7 años, siendo esta población la que presentó el mayor valor del indicador (χ^2 Kruskal Wallis = $104,637$, $p=0,00$). CPOD: $1,35 \pm 1,34$ a los 7 años y 4.65 ± 3.99 a los 9, con diferencias entre grupos significativas (χ^2 Kruskal Wallis = $17,609$ y $p=0,001$). Severidad de caries: las medias mayores correspondieron a categoría 6 de ICDASII (χ^2 Friedman = $20,999$; $p=0,000$). INTC: media $5,74$, los niveles 8 y más abarcaron al 33.2% de la población de estudio. **CONCLUSIONES:** el estado dentario se agravó con la edad, comprometiendo tempranamente a permanentes. Se reconocieron dos subgrupos de riesgo para desarrollar programas preventivos prioritarios: niños entre 0 a 3 años (programa materno-infantil), y escolares entre 6 a 12 años (programa de protección de 1ros molares permanentes).

G02

SALUD BUCAL Y CALIDAD DE VIDA EN PACIENTES VIH-VHC+

Farias MA*, Medici SA, Squassi AF, Sánchez GA

Clínica para la Atención de Pacientes de Alto Riesgo I (CLAPAR I) y Cátedra de Odontología Preventiva y Comunitaria. Facultad de Odontología. UBA.

Objetivo: Describir la percepción del impacto del componente bucal de la salud sobre la calidad de vida en pacientes coinfectados por VIH y VHC y determinar sus variables asociadas relativas al estado dentario y a la infección viral. **Métodos:** 40 pacientes coinfectados VIH-VHC+ (20 hombres y 20 mujeres) y 40 VIH+, concurrentes a la Clínica para la Atención de Pacientes de Alto Riesgo I (CLAPAR I), completaron el cuestionario OHIP-14 (Martin et al., 2009) validado, que comprende 14 preguntas relativas al impacto social del estado bucal agrupadas en 7 dominios: D1 dolor físico, D2 limitación funcional, D3 malestar psicológico, D4 discapacidad física, D5 discapacidad psicológica, D6 discapacidad social y D7 discapacidad en general. Cada pregunta admite respuesta dentro de 5 categorías (nunca, casi nunca, a veces, casi siempre, siempre). Determinamos la necesidad de tratamiento de caries (INTC) y registramos género, edad y carga viral VIH y VHC. Calculamos la proporción e IC95 del impacto social sobre la calidad de vida. Evaluamos las diferencias y determinamos su asociación a las variables (prueba de Ji2, $p < 0.05$). **Resultados:** La edad promedio fue 39 \pm 1 años y no resultó significativamente diferente entre grupos. El INTC (mediana/ rango) fue 12/ 8-14 para ambos grupos. El impacto social global informado por OHIP-14 fue 46% (IC95 31-61%) en pacientes coinfectados VIH-VHC+, siendo significativamente mayor ($z = 4.2$, $p < 0.05$) en comparación con pacientes VIH+ (33%, IC95 23-42%). El impacto informado por dominio siguió el orden D1 \square D7 \square D6 \square D4 \square D5 \square D2 \square D3. No se hallaron diferencias significativas entre D2 y D3. Observamos una asociación significativa entre la calidad de vida y el INTC; y, además, con los indicadores de la replicación de las infecciones virales en estudio. **Conclusión:** Los pacientes coinfectados por VIH y VHC presentan una alta necesidad de tratamiento de caries que menoscaba la calidad de vida y que puede determinarse a través del cuestionario OHIP-14. Los resultados sugieren que deben maximizarse las medidas preventivas en la atención de la salud bucal de este grupo de pacientes. *Subsidio UBACyT 20020120100324BA (2013-2016).*

G03

CONDICIONANTES DE LA DEMANDA DE ATENCIÓN DE SALUD BUCAL DE PACIENTES VIH+

Medici SA*, D'Eramo L, Squassi AF, Sánchez GA

Clínica para la Atención de Pacientes de Alto Riesgo I (CLAPAR I) y Cátedra de Odontología Preventiva y Comunitaria Facultad de Odontología. UBA.

Objetivo: Determinar el impacto de variables relativas al médico tratante, preconcepciones del paciente y calidad de vida relativa al componente bucal de la salud, y al estado dentario sobre la demanda de atención odontológica de pacientes VIH+. **Métodos:** 40 médicos residentes tratantes de 40 pacientes (20 hombres y 20 mujeres) VIH+ completaron el cuestionario PPOH-HIV (Sánchez et al., 2013) a fin de determinar la percepción profesional de la salud bucal. Los pacientes completaron OHIP-14 (Martin et al., 2009) para evaluar el impacto de salud bucal sobre la calidad de vida y DCBS, subescalas 1 y 2 (Wolfe et al., 1991), a efectos de establecer preconcepciones erróneas en relación a salud bucal. Dos operadores calibrados determinaron la necesidad de tratamiento de caries (INTC) y registramos género, edad y momento de la demanda de atención de salud bucal. Calculamos la proporción positiva para cada cuestionario, tasa de derivación y tasa de demanda. Utilizamos MANOVA ($p < 0.05$) para estudiar el efecto de las variables contempladas en cada cuestionario sobre el momento y tasa de demanda efectiva. **Resultados:** La edad promedio de los pacientes fue 40 \pm 1 años. El INTC (mediana/ rango) fue 12/ 8-14, evidenciando una alta necesidad de tratamiento. La tasa de derivación para atención de salud bucal fue 55% y la demanda efectiva 32.5% y fueron significativamente diferentes ($z = 2.04$, $p < 0.05$). El momento promedio de efectivización de la demanda correspondió a 3 \pm 2 meses desde la indicación de derivación. El impacto de la salud bucal informada por los profesionales fue 66%. El impacto social global de la salud bucal informado por los pacientes fue 34% y los preconcepciones erróneas sobre salud bucal y cuidado dental alcanzaron el 64%. Resultaron variables independientes significativas para la demanda de atención de salud bucal: INTC ($\eta^2 = 0.08$), PPOH dominios 2 ($\eta^2 = 0.18$) y 4 ($\eta^2 = 0.12$), OHIP-14 dominios 3 ($\eta^2 = 0.21$), 2 ($\eta^2 = 0.14$) y 5 ($\eta^2 = 0.12$) y las subescalas 1 ($\eta^2 = 0.10$) y 2 ($\eta^2 = 0.11$) del DCBS. **Conclusión:** La demanda de atención de salud bucal de pacientes VIH+ responde a una función compleja cuya estimulación y efectivización requiere del trabajo en dominios combinados por parte de los profesionales de la salud. *Subsidio UBACyT 20020120100324BA (2013-2016).*

G04

SISTEMAS DE INFORMACIÓN GEOGRÁFICA DE LESIONES ORALES EN LA CIUDAD DE CÓRDOBA

Nieto A*, Brunotto M, Lazos J, Zarate AM

Facultad De Odontología. Observatorio Urbano Córdoba - Facultad De Filosofía Y Humanidades - Universidad Nacional De Córdoba

Los sistemas de información geográfica permiten analizar la distribución espacial de lesiones orales, pudiendo aplicarse para establecer estrategias de Salud Pública. **OBJETIVO:** Determinar la distribución espacial de pacientes con lesiones orales de la Ciudad de Córdoba, relacionándolos con la contaminación ambiental provocadas por industrias nocivas y peligrosas. **MÉTODOS:** Se realizó un estudio retrospectivo de Historias Clínicas de pacientes (n=311) de ambos géneros, con edades entre 17 y 88 años, con residencia actual en la Ciudad de Córdoba, atendidos en el Consultorio Externo de la Cátedra de Clínica Estomatológica "A", Facultad de Odontología, UNC, durante los últimos 6 años. Las lesiones que presentaron fueron clasificadas como desórdenes orales potencialmente malignos, lesiones orales malignas y lesiones orales benignas. Se geolocalizaron los pacientes y se elaboraron mapas de tipo planar con el programa ArcGis 10.1. Las capas geográficas utilizadas fueron: "manzanas.shp" e "industrias.shp" de la Ciudad de Córdoba (2012). La asociación entre las industrias y la presencia de lesiones se realizó mediante método multivariado exploratorio de Análisis de Correspondencia. **RESULTADOS:** Considerando las lesiones premalignas y malignas se observó que los desórdenes potencialmente malignos (29%) fueron el tipo más prevalente significativamente ($p=0,0001$), siendo el género masculino el más afectado (30%). El análisis multivariado de correspondencia fue realizado con los dos primeros ejes (inercia acumulada en primer eje 87,8% primer eje, en el segundo eje 12,2%). Se encontró asociación entre la presencia de lesiones no malignas con industrias peligrosas (aquellas que fabrican, manipulan o almacenan productos susceptibles de originar riesgos graves a personas o bienes) y lesiones malignas con industrias nocivas (aquellas que pueden ocasionar daños a la riqueza agrícola, forestal, pecuaria o piscícola). Las zonas con industrias peligrosas y nocivas se relacionaron con la presencia de desórdenes potencialmente malignos. **CONCLUSIONES:** las industrias peligrosas y nocivas (principalmente las correspondientes al sector eléctrico, químico, de plásticos y plaguicidas) constituyen un factor determinante en la presencia de desordenes orales potencialmente malignos.

G05

DISEÑO Y VALIDACIÓN DE UN INSTRUMENTO PARA EVALUAR LA PERCEPCIÓN DE LOS MÉDICOS RESPECTO DE LA SALUD BUCAL

Alfonsín A*, Salgado P. Squassi A

Hospital Italiano de Buenos Aires. Cátedra Odontología Preventiva y Comunitaria, FOUBA.

Objetivo: Diseñar y validar un instrumento que permita evaluar la percepción de los médicos referida al componente bucal de la salud.

Métodos: Se construyó un cuestionario escrito, autoaplicado, voluntario y anónimo estructurado con 98 preguntas cerradas, que proporcionaron a los participantes una serie de opciones alternativas entre las cuales les permitió elegir la que más se ajusta a su respuesta. Fueron identificados cuatro dominios que podrían medir el objeto de estudio: experiencias, conocimientos, creencias y prácticas. Para la validación de contenido, participaron seis expertos de tres profesiones: 4 odontólogos, 1 metodólogo y un médico. Para medir estabilidad se utilizó el índice Kappa efectuando test y re test a los 30 días a una muestra intencionada de 30 médicos del Hospital Italiano. Para validar confiabilidad se utilizó el coeficiente α de Cronbach y el de Kuder Richardson.

Resultados: Como resultado de la validación de contenido se eliminaron 9 ítems: se modificaron las escalas de Likert, los términos ambiguos por precisos y se reformularon preguntas para clarificar su contenido, Para garantizar la estabilidad se eliminaron 39 ítems cuyo índice de kappa resultó menor a 0.6. El 100 % de los participantes realizó el test y re test del cuestionario. La media de la edad fue de 50 ± 9 años, el 60 % de género masculino y el 40 % del género femenino. La media de ejercicio profesional resultó en 25 ± 10 años. El coeficiente α de Cronbach fue: 0.80 para el dominio creencias, 0.81 para experiencias y 0.87 para prácticas. El coeficiente Kuder Richardson para Conocimientos fue de 0.69. Quedó conformado un cuestionario final de 50 ítems.

Conclusión: El instrumento elaborado para medir la percepción de los médicos respecto de la salud bucal resultó siendo válido y con niveles de estabilidad y confiabilidad altos.

G06

COMPARACIÓN DE NECESIDAD DE TRATAMIENTO ORTODÓNICO EN ESCOLARES EN UNA COMUNIDAD RURAL

Marchi R*, Fernandez C, Furci N, Diaz C, Salgado P, Squassi A, Capuano C, Masoli C
Catedra de Odontología Preventiva y Comunitaria – Facultad de Odontología –
Universidad de Buenos Aires

Objetivo: Comparar la necesidad de tratamiento ortodóncico entre adolescentes pertenecientes a comunidades rurales incorporados a un programa odontológico intensivo preventivo y adolescentes que no hubieran recibido atención previa. **Materiales y Método:** El estudio incluyó 160 adolescentes residentes en comunidades rurales de Misiones. El Grupo A estuvo constituido por 87 adolescentes incorporados durante 7 años a un programa intensivo de atención odontológica con fuerte componente preventivo; y el Grupo B por 73 adolescentes que no habían recibido tratamiento previo y que serían incorporados al programa luego de la evaluación. Se realizó, previo consentimiento informado de los padres, una historia médica y exámen clínico odontológico. Posteriormente, se evaluó la necesidad de tratamiento ortodóncico y su complejidad mediante el Índice de Complejidad, Éxito y Necesidad de Tratamiento (ICON) (Daniels, 2000). El procesamiento estadístico incluyó la determinación de distribución de frecuencias y mediana. Se realizó test de independencia chi cuadrado y Odds ratio, comparación de proporciones y ANOVA robusta de Brown-Forsythe para comparar los puntajes de cada componente entre los grupos. **Resultados:** La Md de ambos grupos fue 12 años [rango 10 – 14]. El 83% del Grupo A no presenta necesidad de tratamiento ortodóncico, mientras que el 69.9% del Grupo B presentaba la misma condición. El factor protector del programa de atención odontológica intensivo es de 2.25 (IC: 1.1 – 4,8; p=0.034). Entre los pacientes que presentan necesidad de tratamiento, el 91.9% del Grupo A presenta una severidad leve y media; mientras que 75.1% del Grupo B presenta la misma severidad (p=0.008). Al analizar los resultados para cada componente del índice se establecieron diferencias significativas para los componentes estético (p<0.001) y mordida abierta/profunda (p=0.01). **Conclusión:** Los pacientes bajo programa intensivo de atención odontológica presentan menor necesidad de tratamiento ortodóncico constituyendo un factor protector para esta variable.

G07

COMPARACIÓN DEL CEPILLADO DENTAL DE ESCOLARES RESIDENTES EN ÁREAS RURALES Y URBANAS

Rossi G, Masson Moline G*, Ferrarini S, Lazzati R, Sorazabal A, Salgado P, Squassi A
Catedra de Odontología Preventiva y Comunitaria – Facultad de Odontología –
Universidad de Buenos Aires

OBJETIVO: Identificar características del cepillado dental y la efectividad del barrido de biofilm en alumnos de escuelas rurales (Provincia de Misiones) sin entrenamiento previo de higiene y compararlos con alumnos de escuelas urbanas (CABA). **MÉTODOS:** Sobre 1048 alumnos (5-7 a, $\bar{x}=6,45\pm 0,24$), previo consentimiento informado, 8 odontólogos calibrados ($\kappa=0.86$) realizaron observaciones sobre las siguientes variables: tipo de toma del cepillo, orientación de su parte activa respecto al diente, tipo de movimiento realizado, caras incluidas en el cepillado, abordaje simultáneo de ambos maxilares, duración del cepillado y la inclusión de los 6 sextantes durante el procedimiento. Fue determinado el nivel de biofilm (O'Leary, 1972) previo y posterior al cepillado para determinar la reducción del biofilm. Se seleccionaron aquellos casos que superaron un Índice de O'Leary $\geq 75\%$ (n=335): Grupo A: rurales(n=71) y Grupo B: urbanos (n= 264), y se determinó como cepillado efectivo el lograr un O'Leary<20%. Se realizó distribución de frecuencias, medidas de tendencia central y dispersión y las reducciones en los niveles de biofilm. Se utilizó la prueba de chi cuadrado para establecer la asociación entre las características observadas y la efectividad en la reducción de biofilm dental. **RESULTADOS:** Para los escolares rurales las variables cuyas categorías presentaron mayor frecuencia fueron: toma palmar (84,5%); orientación perpendicular (78,6%); movimiento horizontal (94,2%); abordaje de ambos maxilares por separado (62,1%); caras vestibulares y oclusales (50,5%), duración (68,55±46,55 seg) e inclusión de los 6 sextantes (50,5%). La media de reducción de biofilm fue de 47,55±29,75. Solo un 22,9% de los rurales pudo alcanzar el valor establecido como óptimo. Se encontraron diferencias significativas entre los rurales y urbanos en la posición del cepillo, en el abordaje de los maxilares, en las caras que cepilla, la duración y en la reducción del biofilm (p<0,001). No se encontró diferencias significativas en la efectividad de reducción del biofilm entre los grupos. **CONCLUSIÓN:** Las características del cepillado entre alumnos de escuelas rurales y urbanas presentan diferencias en términos de las variables analizadas. *Agradecimiento Ministerio de Educación Gobierno CABA.*

G08

PERCEPCIONES DE SALUD BUCAL DE DOCENTES PERTENECIENTES A ESCUELAS URBANAS Y RURALES

Rossi G*, Sorazabal A, Serra Capo T, Culacciati C, Fernandez C, Salgado P, Squassi A

Catedra de Odontología Preventiva y Comunitaria – Facultad de Odontología – Universidad de Buenos Aires

OBJETIVO: Analizar las percepciones sobre salud bucal de docentes pertenecientes a escuelas rurales (Prov. de Misiones) y urbanas (CABA), en áreas de vulnerabilidad social, incluidos y no incluidos en programas escolares de atención odontológica. **MÉTODOS:** Sobre el total de los docentes de las escuelas seleccionadas (n=181) fue aplicado un cuestionario validado (Bordoni, 2005). Los cuestionarios fueron entregados a docentes de escuelas urbanas bajo programa de atención odontológica (Grupo A n=45); docentes de escuelas urbanas no incluidos en programas (Grupo B n=48); docentes de escuelas rurales bajo programa de atención odontológica (Grupo C n=45); docentes de escuelas rurales no incluidos en programa (Grupo D n=43). Los resultados fueron analizados por dominios y por ítem mediante distribución de frecuencias, mediana e intervalo intercuartil y sus diferencias con pruebas no paramétricas (Prueba de Kruskal-Wallis) y ANOVA robustas de Welch y Brown-Forsythe. **RESULTADOS:** Los docentes de escuelas rurales posee mayor percepción que los docentes de escuelas urbanas para los Dominios 1 (Conocimiento: D1) ($p<0,01$); Dominio 2 (Experiencia personal: D2) ($p=0,02$) y Dominio 5 (Satisfacción con su papel docente: D5) ($p=0,01$). En D1, las escuelas bajo programa presentan mayor porcentaje de resultados positivos que las escuelas sin programa ($p=0,02$). Al comparar los 4 grupos, se observó que en D1, el grupo C presenta diferencias significativas ($p<0,001$); en D2, el grupo D tiene una mayor percepción ($p=0,002$); en D5, el grupo C y D tienen mayor percepción que los grupo A y B ($p=0,001$). Los porcentajes de respuesta positivas para cada ítem y dominio fueron: D1/ítem 3 (“el sangrado de las encías indica la existencia de enfermedad”) 29.1%, D1/ítem 5 (“los fluoruros impiden la desmineralización de los dientes”) 29,9 %; D2/ítem 1 (“los tratamientos odontológicos que recibió fueron confortables e indoloros”) 25%; D4/ ítem 2 (“cree usted que existen medidas baratas para la atención odontológica”) 9%; D5/ ítem 1 (“ha participado en programas para mejorar específicamente la salud de escolares”) 9,9%. **CONCLUSION:** Existen diferencias en los aspectos analizados por este instrumento entre los docentes de escuelas rurales y urbanas, con y sin programa de atención.

G09

IMPACTO DEL ESTADO DE SALUD BUCODENTAL SOBRE LA VIDA DIARIA DE ESCOLARES

Soraza Catedra de Odontología Preventiva y Comunitaria – Facultad de Odontología – Universidad de Buenos Aires bal AL*, De Cesare A, Ferello A, Tomaszuc R, Rossi G, Squassi

OBJETIVO: Caracterizar la percepción del impacto del componente bucal de la salud sobre la calidad de vida de escolares y asociar con la presencia y severidad de lesiones de caries. **MÉTODOS:** Sobre 214 niños (Md de edad: 7 [rango 6-7]) de 1° y 2° grado, que asisten a escuelas públicas de la CABA localizadas en áreas de vulnerabilidad social (Con y col., 2009) seleccionadas intencionalmente a partir de opinión de expertos, y sobre los que se implementará un programa de atención odontológica se aplicó el cuestionario C-OIDP con encuestador validado al español (Cortes, Martinicorena y col., 2010). Se consideran 18 problemas posibles y 8 actividades: comer, hablar, lavarse los dientes, descansar, mantener el estado de ánimo, sonreír, estudiar y mantener relaciones sociales. Posteriormente, se realizó un examen dentario, a cargo de dos investigadores calibrados (Sorazabal, 2014), de acuerdo con los criterios ICDAS II (Pitts, 2005). El procesamiento estadístico incluyó distribución de frecuencias, mediana, media, chi cuadrado y ANOVA de un Factor. **RESULTADOS:** Los problemas percibidos por los niños fueron: dolor de muelas 44,9%; caries 4,7%; sangrado de encías 4,7%; diente primario que se mueve 5,1%; dientes sensibles al frío/calor 0,5%. 33,2% de los niños relata no presentar ningún problema en su cavidad bucal. La aplicación del cuestionario C-OIDP revela los siguientes puntajes: 0: 33,6%; de 0,1 a 25: 58,2%; entre 25,1 y 50: 5,1%; entre 50,1 y 75: 0%; y entre 75,1 y 100: 2,3%. EL 70,6% presentó lesiones código 3-6 (ICDAS II) en una o más superficies dentarias. Se observó asociación entre la presencia de lesiones con código 3-6 y la percepción de dificultades para comer, hablar y descansar ($p?0,05$). Los pacientes que presentan lesiones 1-6 identifican las dificultades para hablar como la actividad más afectada; mientras que los pacientes que presentan lesiones código 4-6 se asocian con dificultades para descansar ($p?0,05$). **CONCLUSION:** Los escolares presentan baja percepción del impacto de los problemas bucales. El estado dentario no se refleja en la percepción del impacto sobre la calidad de vida relacionada con la salud bucal.

G10

ESTADO DENTARIO Y CARACTERÍSTICAS SOCIODEMOGRÁFICAS DE ESCOLARES DE 12 AÑOS DE LA CIUDAD DE AVELLANEDA

Fuks J*, Pazos X, Napoli A, Fort A, Palomba S., Salgado P, Squassi A
Catedra de Odontología Preventiva y Comunitaria – Facultad de Odontología –
Universidad de Buenos Aires

OBJETIVO: Describir el estado dentario de niños de 12 años de escuelas públicas de la Ciudad de Avellaneda y establecer asociaciones con indicadores sociales. **MÉTODOS:** Sobre una muestra de 656 niños, seleccionados aleatoriamente, se realizó examen dentario y se registró cobertura médica y plan social. Se analizó la variable CPOD a varios puntos de corte: prevalencia de caries (PC) si CPOD = 0; baja severidad de caries (BSC) si CPOD >3; y alta severidad de caries (ASC) si CPOD > 6. Se utilizó ANOVA robustas de Welch y el post hoc con pruebas robustas de Games Howell, test de Student para muestras independientes, pruebas no paramétricas de Mann Withney y de Kruskal-Wallis, test de chi cuadrado y comparación de proporciones y post hoc test de Bonferroni. **RESULTADOS:** Los índices de estado dentario fueron [mediana (Percentil25-Percentil75)]: Total Avellaneda:CPOD:2.0(1.0-4.0); CPOS:3.0(1.0-5.0); PC:86.2%; BSC:57.4%; ASC:13.3%; Gerli:CPOD:2.0(1.0-3.0); CPOS:2.0(1.0-4.0); PC:88.9%; BSC:64.2%; ASC:6.2%; Piñeyro:CPOD:2.0(0.0-4.0); CPOS:2.0(0.0-4.0); PC:73.0%; BSC:69.0%; ASC:7.1%; Villa Domínico:CPOD:2.0(1.0-3.0); CPOS:2.0(1.0-4.0); PC:82.6%; BSC:71.6%; ASC:11.0%; Sarandí:CPOD:2.0(1.0-4.0); CPOS:2.0(1.0-5.0); PC:82.9%; BSC:64.8%; ASC:9.5%; Avellaneda Centro:CPOD:3.0(1.0-4.0); CPOS:3.0(1.0-5.0); PC:95.9%; BSC:47.3%; ASC:12.2%; DockSud:CPOD:4.0(3.0-9.0); CPOS:5.0(3.0-19.0); PC:100.0% BSC:20.0%; ASC:33.3%; Wilde:CPOD:4.0(2.0-6.0); CPOS:4.0(2.0-7.0); PC:93.8%; BSC:40.2% ASC:24.1%. Se observaron diferencias estadísticamente significativas ($p < 0.01$) entre las localidades para CPOD y CPOS. La prevalencia de caries y la ASC fue mayor en Dock Sud. La BSC fue mayor en Piñeyro. La distribución de acuerdo con los indicadores “plan social”/“obra social” fue: Avellaneda: 21.1%/46.1%; Avellaneda Centro: 9.6%/68.5%; Gerli 24.7%/50.6%, Piñeyro 23%/40.5%, V. Domínico 22.4%/48.6%, Sarandí 27.0%/49.5%; Dock Sud 12.2%/13.6% y Wilde 20.7%/41.4%. Por ultimo al comparar ASC con Obra social, se observó un 16.2% de ASC en los que no tienen OS en contraste con un 9.8% en los que tiene OS siendo el Odds Ratio: 1.78 (IC95%: 1,11-2.88). **CONCLUSION:** Existen elevados niveles de patologia dentaria asociados con variables sociales y con el acceso al sistema de salud.

G11

INCIDENCIA DE CARIES EN DENTICIÓN PERMANENTE DE ESCOLARES DE UNA COMUNIDAD RURAL

Capuano C*, Masoli C, Fernandez C, Lazzati MR, Pepe MB, Torres M, Salgado P, Squassi A
Catedra de Odontología Preventiva y Comunitaria – Facultad de Odontología –
Universidad de Buenos Aires

OBJETIVO: Comparar la incidencia de caries en dentición permanente en escolares con 4 protocolos de tratamiento caries amelodentinarias, en el marco de un programa escolar rural intensivo. **MÉTODOS:** Sobre una población de niños preescolares (4-6 años) se realizó, previo consentimiento informado una historia médico-odontológica. La población fue dividida en cuatro grupos de acuerdo con la escuela a la que concurrían. Fueron excluidos los niños que presentaban piezas dentarias permanentes. *Grupo 1:* remoción de dentina necrótica e infectada y aplicación de diamino fluoruro de plata al 38% (Fluorplat®). Aplicación de barniz de FNa en surcos profundos. *Grupo 2:* limpieza del biofilm de placa dental con brochita y aplicación de diamino fluoruro de plata al 38%. Aplicación de diamino fluoruro de plata al 38% en surcos profundos. *Grupo 3* remoción de dentina necrótica e infectada y la obturación de la cavidad con cemento de ionómero vítreo (Ketac Molar®). Aplicación de barniz de FNa en surcos profundos. *Grupo 4:* remoción de dentina necrótica e infectada y obturación con cemento de ionómero vítreo previa aplicación de diamino fluoruro de plata al 38%. Aplicación de Diamino fluoruro de plata al 38% en surcos profundos. Se registraron las variables: actividad y severidad de caries en dentición primaria y permanente y presencia de biofilm a los 12, 24, 36, 48 y 60 meses. El procesamiento estadístico incluyó distribución de frecuencias y se estableció diferencia entre grupos mediante test de proporciones y prueba de chi cuadrado. **RESULTADOS:** No se observaron diferencias significativas en la variable actividad de caries en dentición primaria entre los grupos en condición basal. El porcentaje de niños con nuevas lesiones en piezas permanentes al cabo de cada periodo de observación fue: Grupo 1: 32%, 68.2%, 61.9%, 71.4% y 58.8% Grupo 2: 18.8%, 12.1%, 32.3%, 25.9% y 52%. Grupo 3: 37.5%, 25.0%, 27.3%, 69.2% y 50.0%. Grupo 4: 26.9%, 61.9%, 66.7%, 59.1% y 56.3%. Se observaron diferencias significativas entre los grupos a los 24, 36 y 48 meses. Se observó relación entre la severidad de caries en dentición primaria y actividad de caries en permanentes en todos los grupos. **CONCLUSION:** El protocolo de intervención está asociado con variaciones en la incidencia de caries.

G12

VARIABLES ASOCIADAS A LA INFECCIÓN CARIOGÉNICA TEMPRANA EN INFANTES DE 6 MESES

Cornejo C*, Pacheco R, Culacciati C, Rossi G, Lazzati R, Ventura F, Tacca F, Gliosca L, Klemonsks G, Squassi A
Catedra de Odontología Preventiva y Comunitaria – Facultad de Odontología – Universidad de Buenos Aires

OBJETIVOS: Estimar la frecuencia de infección cariogénica en infantes cuyas madres presentan alto riesgo cariogénico y analizar la relación entre infección cariogénica temprana y variables con potencial de producir impacto en el ecosistema bucal del infante. **MÉTODOS:** Se reclutaron para este estudio analítico observacional 50 infantes de 6 meses de edad y sus madres, concurrentes a un centro de salud. La condición de infección cariogénica temprana se definió como la presencia de niveles detectables de bacterias con potencial cariogénico en infantes a los 6 meses de edad. La condición de alto riesgo cariogénico en la madre se definió como la presencia de caries activas y niveles de *Sgm* por encima del umbral de riesgo establecido para el test utilizado. Se consideraron variables con capacidad de producir stress en el ecosistema bucal del infante: presencia de superficies dentarias, higiene bucal, consumo de azúcar, uso de chupete y biberón (Marsh, 2006). Se realizaron en el binomio: 1) estudios microbiológicos para la detección de *Sgm* a partir de muestras de saliva (siembra en medio de Gold modificado, incubación en condiciones de capnofilia a 36+1°C por 48hs, lectura por personal calibrado en lupa estereoscópica 50X). 2) exámenes clínicos sistematizados consignando presencia de piezas dentarias y lesiones de caries -criterio ICDAS II; y 3) entrevista estructurada a la madre. Se calcularon las frecuencias de las variables, prueba χ^2 , OR. **RESULTADOS:** Las madres presentaron lesiones activas de caries y niveles de *Sgm* = rango 3,3x10³-542x10⁵. En los infantes se observó: presencia de niveles detectables de *Sgm* en los cultivos en el 60,6% (rango 1000 a 243000 UFC/ml); presencia de superficies dentarias en 24,4%; uso de chupete en el 46,3%; de biberón en el 46,3%; ausencia de prácticas de higiene bucal en el 100%; consumo de azúcar en el 28,2%. Se verificó asociación estadísticamente significativa ($p < 0,05$) entre la presencia de niveles detectables de bacterias cariogénicas en el infante y el consumo de azúcar. OR=6,00 95%IC[1,09-33,02]. **CONCLUSIÓN:** En la muestra estudiada, 60,6% de los infantes con madres en alto riesgo de caries presentaron infección cariogénica temprana. El consumo de azúcar mostró estar relacionado con esta condición. UBACyT 20020120100324BA

G13

ESTUDIO COMPARATIVO: REMINERALIZACIÓN EN DE MANCHA BLANCA EN PACIENTES CON ORTODONCIA

Borjas MI*, Fernández CN, Vuoto I
Facultad de Odontología UNCuyo

OBJETIVO: Establecer diferencias en la efectividad de dos programas basados en la aplicación de dos tipos de fluoruros profesionales en la remineralización de manchas blancas (MB) en pacientes portadores de ortodoncia fija. **MÉTODO:** estudio clínico de intervención de grupos paralelos en 44 individuos entre 12 y 45 años con aparatología de ortodoncia fija y presencia de lesiones de MB. Aleatoriamente se asignaron: grupo 1: 124 MB tratadas con barniz de FINa al 5% y 22.660 ppm (BF). – grupo 2: 132 MB tratadas con Flúor fosfato acidulado (FFA) al 1,23% y pH 3,5. A Ambos grupos se aplicó un programa preventivo básico con enseñanza de THO y asesoramiento dietético. Indicadores: presencia de lesiones tipo 1 y 2 según ICDAS II, índice de Placa bacteriana de Løe (IPB) ex-ante y ex-post, momentos de azúcar, superficie afectada, edad, género y resultado de remineralización. Se calcularon distribución de frecuencias e intervalos de confianza para las variables y pruebas paramétricas y o paramétricas de asociación con $p=0,05$. **RESULTADOS:** el porcentaje de remineralización para BF fue del 64,1% y del 61,4% para el FFA., sin diferencias significativas entre ambos ($\chi^2 = 0,644$, $p=0,702$). El único ítem que mostró asociación con remineralización fue IPB ex-post ($\chi^2 = 0,007$, $p=0,008$). **CONCLUSIONES:** ambos programas fueron efectivos en la remineralización de MB asociada aparatología ortodóntica, destacándose el peso del control de PB sobre la remineralización.

G14

COMPARACIÓN DE DENSIDAD MINERAL APLICANDO FOSFOPÉPTIDO-FOSFATO DE CALCIO AMORFO EN HIPOMINERALIZACIÓN MOLAR INCISIVA

Fridman D*, Cortese S, Biondi AM

Cátedra de Odontología Integral Niños - Universidad de Buenos Aires

Resultados anteriores permitieron sugerir una relación entre el aspecto clínico del esmalte con lesión leve y moderada sin pérdida de sustancia y la densidad mineral (DM) registrada con láser de fluorescencia (LF) en pacientes con Hipomineralización Molar Incisiva (HMI) y que la pérdida de la DM posterior a la aplicación de barnices fluorados (BF) reveló una reducción significativa. **Objetivo:** Evaluar y comparar la DM posterior a la aplicación de Fosfopéptido-Fosfato de Calcio Amorfo (CPP-ACP) en piezas con HMI y compararla con los resultados obtenidos con BF. **Métodos:** Fueron evaluados 16 niños entre 7 y 16 años con HMI que demandaron atención en el período mayo-junio 2014. 33 piezas dentarias con lesiones registradas clínicamente como leves y moderadas fueron evaluadas utilizando DIAGNOdent (KaVo, Biberach, Germany) por un solo operador calibrado en el uso del dispositivo. Después del secado del esmalte se cuantificó la DM en caras libres de esmalte con lesiones simultáneas de color blanco-crema (leve) y amarillo-marrón (moderada) de cada una de las piezas afectadas. Los valores fueron registrados en planillas diseñadas para tal fin. Posteriormente las piezas recibieron 3 aplicaciones con Recaldent™ (Mi Paste™ GC Latinoamérica) y evaluadas a los 15, 30 y 45 días. Los datos de las mediciones con LF fueron procesados estadísticamente a través ANOVA de medidas repetidas y comparados con los de BF por análisis de medias estimadas. **Resultados:** El esmalte con lesión leve (A) presentó un valor medio de DM de $17,37 \pm 7,22$. (IC: 12,64- 22,11) y con lesión moderada (B) $29,53 \pm 17,85$ (24,79-34,27). Los valores medios de DM a los 15 días fueron: 16,18 \pm 5,36 y 28,02 \pm 15,59; a los 30: 15,41 \pm 5,19 y 26,42 \pm 15,50 y a los 45: 15,15 \pm 5,19 y 27,31 \pm 15,77 en A y en B respectivamente. Ambos factores tiempo y esmalte en A y B registraron diferencias estadísticamente significativas ($p < 0,001$). El análisis de las medias estimadas reveló que el efecto tiempo y esmalte es $>$ con BF que con CPP-ACP. **Conclusión:** En esta muestra la pérdida de densidad mineral posterior a la aplicación de CPP-ACP en piezas con HMI reveló una reducción menor en magnitud que la revelada por BF UBACyT 20720120200007BA

G15

PRESENCIA DE CANDIDA EN VOLUNTARIOS ADULTOS DE LA CIUDAD DE CÓRDOBA

Barembaum SR*, Scatena MG, Castillo GV, Azcurra AI, Belardinelli PA, López de Blanc SA

Facultad de odontología UNC

Candida y su presencia en el biofilm bucal, es causa de numerosos estudios en los últimos años, en procura de establecer su relación con la salud bucal, debido a que su presencia constituye un factor de riesgo, que ha sido estudiado particularmente en el cáncer bucal y en lesiones potencialmente malignas.

OBJETIVO: Determinar la prevalencia de especies de *Candida* en voluntarios de la ciudad de Córdoba y analizar correlación con la edad y el sexo.

MÉTODOS: Se trabajó con 189 voluntarios mayores de 18 años, citados a centros de salud municipal, provincial y a la Facultad de odontología de la UNC, en el marco de un estudio epidemiológico de relevamiento de salud bucal en la ciudad de Córdoba. Previa firma del consentimiento, se registraron los datos filiatorios y se completó una historia clínica ad-hoc. Se establecieron los grupos etarios: I: de 18 a 25; II: 26 a 50; III: $>$ 51 años. Se realizó el examen bucal y la recolección de muestras de dorso de lengua para examen micológico directo (coloración de Gram) y cultivo. Se aislaron y tipificaron cepas de *Candida* en medio selectivo de agar Sabourad glucosado e identificaron mediante pruebas bioquímicas y cromogénicas. Los datos se analizaron mediante el test de χ^2 ($p = 0,05$).

RESULTADOS: El 98% de las muestras presentó examen directo positivo para levaduras, y un 60%, para hifas. El aislamiento de *Candida* fue positivo en el 45% de las muestras ($p = 0,06$). El grupo etario III mostró el mayor porcentaje de cultivos positivos de *Candida* ($p = 0,006$). La especie *albicans* fue la de mayor prevalencia (74%). En el 16% de los cultivos positivos para *Candida* se aislaron especies múltiples. No se observaron diferencias significativas al relacionar la presencia de la especie aislada, con la edad y el sexo de los pacientes. Y sólo el 6% de los pacientes presentó lesiones de candidiasis.

CONCLUSIÓN: la alta prevalencia de portadores sanos revela el rol significativo que puede jugar *Candida* en las afecciones bucales.

Subsidiado por SPU-Res. N° 192/13 y SeCyT UNC-Res. N° 1565/14.

G16

ESTUDIO DE SALUD BUCAL EN CÓRDOBA. CARACTERÍSTICAS DE LA POBLACIÓN ADULTA. INFORME PARCIAL.

Zapata M, Bolesina N*, Nuñez R, Liandro F, Meloni N, Barembaum S, López de Blanc S

Cátedra de Estomatología B. Química Biológica B. Facultad de Odontología, U.N.C.

Introducción: Las metas de salud bucal para el año 2020 (FDI – OMS - IADR), recomiendan que cada gobierno analice la situación local para establecer metas reales y concretas. Esta estrategia sigue el espíritu del informe de Desarrollo de las Naciones Unidas "Piensa globalmente, actúa localmente". El conocimiento de la salud bucal desde la perspectiva de la salud pública es crítica y esencial para la salud general y la calidad de vida. Las afecciones bucales más importantes son la caries, la enfermedad periodontal, las maloclusiones y el cáncer.

Objetivo: describir las características socioeconómicas y parámetros de salud de la población adulta de la ciudad de Córdoba. **Material y Métodos:** se realizó un estudio epidemiológico sobre parámetros de salud bucal en la población adulta de la ciudad de Córdoba. Se efectuó un muestreo por conglomerados polietápico, con selección aleatoria de radios censales, bloques, casas y personas (Departamento de Estadística y Demografía de Cs Económicas UNC y del Programa de Estadísticas SAA UNC) **Resultados:** se analizaron 189 voluntarios el 62% eran de sexo femenino, edad promedio de 40 años y un rango de 18-87. El 35% trabajaba y el 34% eran amas de casa. El nivel de instrucción predominante fue el 2río incompleto (47%). El 47% estaba en pareja o casado y el 39% eran solteros. Los antecedentes personales más frecuentes fueron el estrés en el 34%, la hipertensión arterial (HTA) en el 21% de los casos, el 10% era hipotiroideo y solo el 4% manifestó haber padecido patología oncológica. Los antecedentes heredo-familiares más destacados son la HTA en el 59%, la diabetes en el 39% y en el 32% algún tipo de cáncer. El 58% de los encuestados visita al Odontólogo ocasionalmente y el principal motivo de consulta es el dolor en el 63% de los casos. El 50% de los voluntarios concurre habitualmente a establecimientos públicos para su atención odontológica. **Conclusión:** El conocimiento de las características de la población, significará un importante aporte para la planificación de la actividad odontológica y de la salud pública en particular, para el desarrollo de nuevas políticas públicas de promoción de salud.

Subsidiado por SPU res: 192/13 y SeCyT UNC Res 165/14.

G17

HÁBITOS Y FACTORES DE RIESGO PARA LA SALUD BUCAL DE LA POBLACIÓN DE CÓRDOBA

Belardinelli P*, Criscuolo MI, Caciva R, Sauchelli V, Azcurra A, Morelato R, López de Blanc S

Cátedra de Estomatología B. Química Biológica B. Facultad de Odontología, U.N.C.

Introducción: La salud bucal impacta fuertemente sobre la calidad de vida de la población y se ve influenciada por factores ambientales y hábitos característicos de las diferentes regiones.

Objetivo: analizar la presencia de factores de riesgo para la salud bucal y la prevalencia de lesiones estomatológicas. **Métodos:** se analizaron 189 Historias Clínicas de voluntarios que participaron en un estudio epidemiológico en la ciudad de Córdoba. Se analizó la prevalencia de factores de riesgo para el mantenimiento de la salud bucal: consumo de tabaco, mate (temperatura), alcohol (cantidad y tipo de bebida), concentración de nitritos salivales, presencia de lesiones estomatológicas. **Resultados:** de los datos analizados el 62% correspondió al sexo femenino, con una edad promedio de 40 años y un rango de 18-87. El 45% eran fumadores, siendo el cigarrillo rubio con filtro, el tipo de tabaco predominante, con un promedio de consumo de 88241 cigarrillos en la vida. El 42 % consume bebidas alcohólicas, promedio de 537246g, siendo las más frecuentes el vino seguido por la cerveza y el fernet. El 80% toma mate caliente, entre 500 y 1000 mL diarios. La concentración promedio de nitritos salivales fue de 154 µM. El 65% de los voluntarios presentó lesión estomatológica, siendo las más frecuentes las de causa traumática.

Conclusión: El relevamiento de factores de riesgo en la ciudad de Córdoba evidenció una realidad que difiere de los publicados por el Indec en Argentina en relación al consumo de tabaco y alcohol. Se hace necesario analizar la relación entre los hábitos nocivos y su repercusión en el estado de salud buco-dental.

Subsidiado por SPU Res: 192/13 y SeCyT UNC RES: 165/14

G18

SALUD BUCAL DE ADULTOS CON PATOLOGÍAS PSIQUIÁTRICAS AGUDAS Y CRÓNICAS

Morasso AM*, Pérez-Meyer ML, Marseillan M, Müller Davies B, Cobanera A
Doctorado en Ciencias de la Gestión. Facultad de Ciencias Económicas UNLP. Carrera de Especialización en Odontología Legal USAL-AOA

La Salud Bucal es un determinante importante de la salud general de adultos psiquiátricos y puede tener baja prioridad en el contexto de la enfermedad mental.

OBJETIVO: Comparar la situación de Salud Bucal de adultos con patologías psiquiátricas agudas y crónicas en proceso de desinstitucionalización, como evaluación ex-ante de la gestión de un modelo para la reinserción sociolaboral.

MÉTODO: Un estudio descriptivo transversal fue conducido en instituciones psiquiátricas de la provincia de Buenos Aires, Argentina. Se seleccionó una muestra intencionada de 48 pacientes adultos con un rango de edad 30-71 años, 24 con patologías agudas (AG) con una edad media aritmética (SD) de 47.1 (11.45) años y 24 con patologías crónicas (CG) edad 47.5 (11.27) años. El criterio de inclusión fue que ambos grupos recibieran atención odontológica en el mismo centro. La variable observable endógena (Salud Bucal) fue estimada usando el indicador CPOD. Las unidades de análisis fueron pareadas según la variable edad. Se analizó la normalidad de la diferencia con el test Shapiro Wilk.

RESULTADOS: La media aritmética (SD) de permanencia en los programas de desinstitucionalización fue: para AG 7.29 (12.47) y para CG 6.5 (4.47). El valor media (SD) de la diferencia fue -4.7 (8.5), no se rechazó la normalidad de la diferencia $P=0.06$. Los valores CPOD media aritmética (SD) fueron para AG 14.95 (8.71), CG 20 (7.69). Test t de análisis pareado AG-CG $P=0.006$. El componente perdido (P) fue para AG 12 (9.7) y para CG 16 (8.9). La correlación CPOD-edad fue positiva AG $r=0.37$, CG $r=0.58$ (Coeficiente de correlación paramétrico)

CONCLUSIONES: Los datos muestran una condición vulnerable de Salud Bucal significativamente mayor para adultos en proceso de desinstitucionalización con patologías psiquiátricas crónicas.

G19

ANÁLISIS DE TRASTORNOS TÉMPOROMANDIBULARES (TTM) EN NIÑOS DE 10 A 15 AÑOS

Guitelman I*, Farah C, Fridman D, Mondello A, Biondi A, Cortese S
Cátedra de Odontología Integral Niños. FOUBA

Objetivos: Estimar la frecuencia y tipo de trastornos témporomandibulares en niños de 10 a 15 años y vincularlos con la edad, sexo, apretamiento dentario, bruxismo diurno y nocturno.

Métodos: Diseño: prospectivo, descriptivo, transversal, aprobado por el Comité de Ética de FOUBA. Odontopediatras estandarizados (Kappa 0.88) evaluaron con el CDI/TTM eje I a todos los pacientes de 10 a 15 años que concurren a la Cátedra Odontología Integral Niños FOUBA en el período 2012-2013, cuyos responsables brindaron consentimiento. Los registros del cuestionario y examen clínico fueron cargados en una base de datos para su tratamiento estadístico quedando conformados los siguientes grupos: sin TTM, con trastornos musculares (TM), desplazamiento de discos (DD) y artralgias (Ar). Las variables analizadas fueron: sexo, edad, apretamiento dentario, bruxismo diurno y nocturno. Se utilizaron porcentajes y odds ratio con intervalo de confianza (95%), medias, desvío estándar y Test de Bonferroni.

Resultados: La muestra quedó constituida por 299 pacientes (54,51% femeninos) de $12,65 \pm 1,74$ años. El 25,41% (20,56-30,76) presentaron TM, diagnosticándose dolor miofacial en el 23,74% (19,02-28-99) y dolor miofacial con limitación de apertura en el 1,67% (0,54-3,86). El 21,07% (16,57-26,15) de los niños mostraron DD, de los cuales el 15,71% (11,77-20,36) fueron desplazamientos con reducción, 5,01% (2,82-8,14) sin reducción con apertura limitada y 0,33% (0-1,85) sin reducción y sin limitación. Las Ar se presentaron en un 3,34% (1,6-6,07). La edad mostró diferencias significativas entre los grupos ($p < 0,001$). En relación al sexo femenino en TM y DD fue de 69,73%, (58,09-79,78) OR 2,36 (1,35-4,12) y 66,66%, (53,63-78,07) OR 1,90 (1,06-3,40) respectivamente. Se observaron asociaciones de: bruxismo diurno y TM OR 4,23 (2,20-8,15) y DD OR 3,12 (1,62-6); bruxismo nocturno y TM OR 5,28 (2,66-10,45) y DD OR 2,54 (1,29-5); y apretamiento y TM OR 5,13 (2,41-10,93) y DD OR 2,14 (1-4,58). **Conclusión:** En esta muestra los resultados revelaron que los trastornos musculares se presentaron en el 25% de los pacientes y los desplazamientos de discos en el 21%. El sexo femenino, el apretamiento dentario y el bruxismo diurno y nocturno se comportaron como factores de riesgo para TTM.

UBACyT 20720120200008/BA

G20

DETERMINANTES DE RIESGO CARIOGÉNICO EN INFANTES: ANÁLISIS DE VARIABLES DISTALES Y PROXIMALES

Pacheco R*, Cornejo C, Culacciatti C, Rossi G, Lazzati R, Ventura F, Toledo M, Gliosca L, Klemonskis G, Squassi A
Catedra de Odontología Preventiva y Comunitaria / Cátedra de Microbiología y Parasitología - Facultad de Odontología – Universidad de Buenos Aires

A efectos de establecer determinantes de riesgo cariogénico, es necesario combinar el análisis de variables de riesgo distales (no afectan directamente al sujeto pero actúan a través de mediadores) y proximales (interactúan directamente con el sujeto) **OBJETIVO:** Analizar la relación entre variables potenciales de riesgo en los espacios proximal y distal de infantes de 6 meses de edad pertenecientes a grupos vulnerables y su condición de salud bucal. **MÉTODOS:** Se realizó un estudio analítico observacional sobre una muestra de 50 infantes residentes en áreas vulnerables de la CABA. La condición de salud bucal se estableció registrando la presencia de infección cariogénica, superficies dentarias y lesiones de caries. Se consideraron variables del espacio proximal al estado dentario de la madre (presencia y severidad de lesiones de caries y presencia de obturaciones); nivel de infección cariogénica; hábitos de la madre y prácticas de cuidado del niño. Se consideraron variables del espacio distal a la actividad económica y escolaridad de la madre; protección social y vivienda de la familia. Los datos se obtuvieron a partir de estudios microbiológicos (test de adherencia de *Sgm*), exámenes clínicos sistematizados en el binomio (ICDAS II); entrevistas estructuradas y relevamientos de registros. Se calcularon frecuencias, medidas de tendencia central y dispersión; prueba chi cuadrado (χ^2) y comparación de proporciones para muestras independientes. **RESULTADOS:** 60,6% de los infantes presentaron niveles detectables de *Sgm*, 24,4% presentaron superficies dentarias. 1 infante presentó lesiones activas de caries (L2A2). Variables del espacio proximal (dominio prácticas de cuidado del infante): 17,9% de los infantes que usan biberón consume azúcar agregada a la leche, y 23,1% consumen golosinas. El consumo de alimentos/bebidas con azúcar mostró asociación significativa ($p < 0,05$) con la presencia de infección en el infante. Variables del espacio distal: La proporción de infantes que consumen azúcar mostró diferencias significativas ($p < 0,05$) entre madres que estudian/trabajan (75%/25%) respecto de las amas de casa (36,4%/ 65,6%). **CONCLUSIÓN:** La combinación de las variables distales y proximales analizadas contribuiría a establecer determinantes de riesgo biológico en infantes.

G21

NIVEL EDUCATIVO, CONSUMO LÁCTEO, ÍNDICE CPO EN PESCADORES DE COSTA E ISLAS

Esteve S¹, Fournier M¹, García B¹, Merello J¹, Kohli A¹⁻².
Instituto Universitario Italiano de Rosario¹. FOR; UNR².

Los pescadores, se movilizan por la pesca, permanecen fuera del hogar y viven alejados de centros de atención odontológicos. Para evitar caries y enfermedad periodontal, deberían ser aplicados conocimientos de salud dental e incorporar consumo de leche cuyo calcio y fosfatos contribuyen a la integridad dental. Los que residen en la "costa" pueden acceder a centros de atención urbanos y los que viven en islas carecen de odontólogo debiéndose trasladar a centros urbanos para realizar tratamiento. **OBJETIVO:** Determinar y relacionar el consumo lácteo, nivel educativo e índice CPO en pescadores varones de "costa" rosarina e islas ubicadas frente a Rosario. **MÉTODOS:** Con una anamnesis estandarizada incluimos pescadores varones, 15-45 años, indagamos sobre lugar de residencia, edad, consumo de leche, años de estudio formal separados en: GA -hasta 6 años y GB - hasta 12 años o más; se obtuvo el índice CPO promedio por residencia y grupo de estudio. Asociaciones entre variables analizadas con prueba de Independencia de Fisher, significación 5%. **RESULTADOS:** Del total (n=30), 40% son de la "costa" rosarina; 40% de isla "Charigue" y 20% de "Invernada", promedio 33,4 años. En la "costa" el 75% nunca consume leche, en "Charigue" un 58% consume a veces y todos los días un 33%; en "Invernada" el 100% consume a veces ($p < 0,001$). Escolaridad baja en la "costa": 58%, "Charigue": 33% y en "Invernada" 17% ($p = 0,04$). CPO promedio (GA y GB respectivamente): "costa": 15±6,8 y 5.6±5,2; "Charigue": 7.75±2,2 y 6.62±3,5 e "Invernada": 14±1 y 8.4±2,7. **CONCLUSIONES:** En la "costa", la mayoría no consumió leche y el consumo esporádico y a diario se hizo presente en baja proporción, en cambio en islas el no consumo fue menor y predominaron las otras dos modalidades. En la "costa", el grupo con mayor nivel educativo fue menor, a diferencia de los habitantes de islas que tuvieron más años de educación. En los grupos con más años de educación formal el índice CPO fue menor.

G22

NO SE PRESENTA

G23

ANÁLISIS DE SUPERVIVENCIA DE RESTAURACIONES CON IONOMERO VÍTREO EN UN PROGRAMA ESCOLAR

Ferrarini S*; Toral M, Klemonsks G, Salgado Pablo, Squassi
Cátedra de Odontología Preventiva y Comunitaria, FOUBA.

OBJETIVO: Describir la supervivencia a 1 año de restauraciones realizadas con ionómero vítreo en un programa escolar y analizar la asociación entre el estado de las mismas y variables intervinientes.

MÉTODOS: Se realizó un estudio analítico observacional. Se evaluaron 129 restauraciones (en 54 escolares; edad: 6 y 7 años) con ionómero vítreo (Ketac Molar Easymix®). Las restauraciones fueron realizadas por estudiantes del último año de la carrera de odontología en el marco de un programa escolar utilizando tecnología simplificada con una técnica sistematizada basada en los criterios de restauración atraumática (Frenken, 1994). Para la evaluación, al cabo de 1 año, cuatro examinadores basaron sus observaciones en el criterio de Frenken (1996) que establece 7 categorías: 0= presente en buenas condiciones, 1= ligero defecto marginal, 2= ligero desgaste, 3=: defecto marginal $\geq 0,5$ mm, 4= desgaste $\geq 0,5$ mm, 5= restauración partida o parcialmente perdida, y 6= no presente. Para su análisis descriptivo fueron reagrupadas en 3 categorías en términos de necesidad de reintervención: Ni1 (0 y 2) no necesita reintervención, Ni2 (1 y 3) necesita mínima intervención, y Ni3 (4, 5 y 6) requiere reemplazo. Se consideraron variables intervinientes: dentición (primaria / permanente), extensión de la cavidad (1 superficie dentaria / más de 1 superficie dentaria) y condición de la boca post-tratamiento anual (presencia / ausencia de caries activas). Se calcularon las distribuciones de frecuencia y se estudió asociación con la prueba de Chi cuadrado. **RESULTADOS:** 94,6% de las restauraciones estaban presentes. El estado según escala de Frenken mostró: 0 = 19,4%; 1 = 17,10%; 2 = 20,9 %; 3 = 19,4 %; 4 = 4,7 %; 5 = 13,2 %; 6 = 5,4%. En términos de necesidad de intervención se observó: Ni1 = 40,3%; Ni2 = 36,4%; Ni3 = 23,3%. El estado de las restauraciones no mostró asociación estadísticamente significativa con las variables intervinientes estudiadas.

CONCLUSIÓN: En este estudio se observó una alta tasa de supervivencia en las restauraciones con ionómero vítreo realizadas por recurso humano preprofesional. El estado de las mismas mostró ser independiente del tipo de dentición, extensión de la cavidad y condición de la boca post tratamiento anual. *Financiado por Fundación Caminando Juntos.*

G24

CARIES PENETRANTE EN PRIMER MOLAR PERMANENTE. FACTORES DE RIESGO ASOCIADOS A LA DERIVACIÓN TERAPÉUTICA

Nannini A*, Garbarino C, Lezcano C, Romero F, Antequera L
Cátedra de Odontopediatria, F.O.R. - U.N.R.

Objetivo: Comparar los factores asociados a la caries penetrante (CP) en el primer molar permanente (PMP) de pacientes que son derivados para tratamiento exodóntico o endodóntico.

Métodos: Estudio de alcance correlacional, del tipo caso-control, apareados por edad, 3 controles/caso. Pacientes entre 6 y 13 años atendidos en el Servicio de Odontopediatria de la Facultad durante el año 2013. **Caso:** paciente con CP en uno o más de los PMP derivado a endodoncia (Grupo A, n=26) o exodoncia (Grupo B, n=18). **Control:** paciente sin caries en el PMP (Grupo C, n=129). Se registraron las siguientes variables: edad, sexo, lactancia (materna, biberón nocturno), hipovitaminosis, momentos de azúcar, índices (CPO, O'Leary y Löe-Silness), cepillado, actividad laboral del padre/tutor, enfermedades, medicación actual, maloclusiones, topicación con flúor. Evaluación estadística: análisis bivariado con las pruebas no paramétricas de χ^2 ó Fisher ($P < 0.05$).

Resultados: Los PMP inferiores fueron los más afectados. Los grupos fueron comparables en términos de sexo ($P=0.65$), de actividad laboral del padre/tutor ($P=0.09$), de amamantamiento prolongado ($P=0.39$), de biberón nocturno ($P=0.58$), de hipovitaminosis ($P=0.40$), de momentos diarios de azúcar ($P=0.18$), de enfermedades atípicas ($P=0.07$), de índices CPO, O'Leary y Löe-Silness ($P=0.14$, 0.46 y 0.61 , respectivamente), de maloclusiones ($P=0.33$) y de antecedentes de topicación con flúor ($P=0.27$). La medicación concomitante fue significativamente más frecuente en el grupo A ($P=0.0001$), y el cepillado frecuente en el grupo C ($P=0.03$).

Conclusión: En este estudio, sólo el cepillado frecuente (>1 vez/día) y la medicación con adrenoreceptores β se mostraron asociados a la derivación terapéutica del PMP (exodoncia/endodoncia).

G25

RELACIÓN ENTRE CONSUMO DE AZUCARES Y AUTOCUIDADO EN SALUD BUCAL EN UNIVERSITARIOS

Sanchez Dagum M*, Bozzatello J, Elizondo Cassab E, Giligan J, Gosso C
FACULTAD DE ODONTOLOGIA -UN DE CORDOBA

Objetivo: Explicar la asociación entre el consumo de productos azucarados y las prácticas de autocuidado en Salud Bucal, en estudiantes de U.N.C. **Métodos:** Estudio: Cuanti-Cualitativo. Descriptivo. Transversal. Correlacional. Población: estudiantes de grado pertenecientes a las unidades académicas de la U.N.C. ambos sexos, de 19 a 24 años. Muestreo aleatorio por conglomerados de unidades muestrales proporcionales. n: 400 universitarios. El 62,5% de la muestra fueron mujeres y 37,5% varones reflejando la feminización de la matrícula universitaria. Los datos se recolectaron con un formulario ad-hoc (encuesta), pre-codificado, auto-suministrado, validado por expertos y por pares, con consentimiento informado según normas CIEIS Fac. de Odontología. Se excluyeron alumnos de la Fac. de Odontología. Análisis de los datos: medidas de tendencia central, se utilizó el análisis bivariado, y el análisis de tendencia lineal de proporciones $p < 0.05$. **Resultados:** El 98,6% de los estudiantes se cepillan, de ellos 49,8% lo hace dos veces/día, el 35% después de c/comida y el 13,8% una vez/día. Renovación del cepillo: El 65,7% de mujeres renovaba cepillo c/3^{ab}6 meses, en tanto que los varones registraron un porcentaje casi 10% menor (56%). Sólo uno de cada cuatro estudiantes señaló que utilizaba el hilo dental, las mujeres registraron porcentajes de utilización significativamente mayores que los varones (24,5%). Para endulzar sus desayunos y/o meriendas, 70,5% eligió azúcar y el 21,0% edulcorante. Los porcentajes de uso de azúcar fue elevado en ambos sexos. Respecto a las colaciones entre las principales comidas, el 42,6%, manifestó consumir alimentos cariogénicos, Hidratos (galletas, sándwich, criollos, etc.) 34,8% Golosinas 7,8% y 14,3% Frutas. **CONCLUSIONES:** Los estudiantes de la U.N.C., realizan técnicas de higiene oral, utilizan cepillo dental con una frecuencia de al menos una vez al día, no seleccionando el hilo dental como principal aditamento para completar su higiene. Se advirtió la incoherencia entre las prácticas diarias de higiene y el alto consumo de azúcares respecto a "dieta".

G26

DENTÍFRICO CONVENCIONAL ASOCIADO CON HEXAMETAFOFATO DE SODIO: ESTUDIO *IN SITU*

Souza JAS*, Camara DM, Pessan JP, Danelon M, Favretto CO, Percinoto C, Delbem ACB

Odontologia Infantil e Social – UNIVERSIDADE ESTADUAL PAULISTA – ARAÇATUBA

La potenciación del efecto de los dentífricos convencionales es una alternativa para reducir la prevalencia de la caries dental en pacientes de alto riesgo. **Objetivo:** El objetivo del estudio fue evaluar *in situ* el efecto del hexametafosfato de sodio (HMP), añadido a dentífricos convencionales (1100 ppm F) en la desmineralización del esmalte. **Métodos:** Este estudio consistió en 3 fases (7 días cada fase), donde los voluntarios (n=12) utilizaron los aparatos palatinos conteniendo 4 bloques de esmalte de dientes bovinos. Los voluntarios fueron instruidos para cepillarse los dientes con el dispositivo en la boca usando los dentífricos experimentales (placebo; 1100 ppm F y 1100 ppm F + 1% HMP) (3x/día) y para la aplicación de la solución de sacarosa al 30% sobre los bloques durante el período experimental (6x/día). A continuación, se determinó la dureza de superficie para calcular el porcentaje de la pérdida de mineral (%SH), la dureza en la sección longitudinal para el cálculo de la pérdida integrada de la dureza de la subsuperficie (Δ KHN) y la concentración de calcio (Ca), y fluoruro (F) presente en el esmalte. Los datos fueron sometidos al análisis de varianza (1-criterio) seguido del test de Student-Newman-Keuls ($\alpha=0,05$). **Resultados:** El %SH y la pérdida de minerales en profundidad (Δ KHN) del grupo 1100 ppm F + 1% HMP fue menor en comparación con los demás grupos ($p<0,001$). El Ca presente en el esmalte fue mayor en el grupo de 1100 ppm F + 1% HMP seguido por el grupo de 1100 ppm F y placebo, respectivamente ($p<0,001$). El F presente en el esmalte se mostró similar entre los grupos 1100 ppm F y 1100 ppm F + 1% HMP ($p=0,523$). El grupo placebo mostró una menor concentración de flúor en el esmalte. **Conclusión:** Se concluye que la adición de 1% HMP a un dentífrico convencional con 1100 ppm F presentó mayor capacidad anticaries en comparación con el grupo 1100 ppm F.

G27

EFFECTO DE BARNIZ FLUORETADO CON TRIMETAFOFATO DE SODIO SOBRE REMINERALIZACIÓN *IN SITU*

Nagata ME*, Delbem ACB, Manarelli MM, Binhardi TDR, Hall KB, Cunha RF, Percinoto C, Pessan JP

Universidade Estadual Paulista "Júlio de Mesquita Filho" - Faculdade de Odontologia de Araçatuba

OBJETIVO: Evaluar el efecto de un barniz fluoretado que contiene trimetafosfato de sodio (TMP) en la remineralización de lesiones de caries *in situ*. **MÉTODOS:** Se utilizaron bloques de esmalte de bovino, en los cuales se analizó la Dureza Superficial (DS) después de la inducción de lesiones de caries en el laboratorio usando una solución desmineralizadora. Estos bloques fueron divididos en tres grupos experimentales: placebo (sin Fluor o TMP), NaF 5% y NaF 5% + TMP 5%. Doce voluntarios llevaron aparatos palatinos con cuatro bloques de esmalte durante 3 días después de la aplicación del barniz. Dos bloques se retiraron del dispositivo 6 horas después de la aplicación para el análisis de la concentración de fluoreto de calcio (CaF_2) y fluoreto (F) fuertemente adherido. En los dos bloques restantes después de los tres días se midió el porcentaje de recuperación de DS (% RDS), el área integrada de la lesión (Δ KHN) y la cantidad de CaF_2 y F fuertemente adherido al esmalte después de la finalización de la etapa *in situ*. (Protocolo cruzado doble ciego). En total se analizaron 144 bloques de esmalte de bovino. Los datos fueron analizados por ANOVA y la prueba de Student-Newman-Keuls ($p < 0,05$). **RESULTADOS:** El barniz NaF 5% + TMP 5% promovió un % RDS significativamente mayor y un Δ KHN significativamente menor en comparación con los otros grupos, seguido de NaF 5% y el placebo ($p < 0,05$). El efecto del barniz con TMP fue mayor en las áreas más profundas de la lesión (aproximadamente 60%) en comparación con las áreas más externas (9%). Mayores concentraciones de CaF_2 y F se observaron para el barniz NaF 5%, seguido de NaF 5% + TMP 5% y el placebo ($p < 0,05$). **CONCLUSION:** la suplementación de barniz fluoretado con TMP aumentó el efecto de remineralización en las lesiones de caries *in situ*, con mayores efectos en las áreas más profundas en comparación con una formulación convencional de barniz.

Apoyo Financiero: CAPES

G28

EXPERIENCIA DE CARIES EN LA APARICIÓN DE LESIONES PROXIMALES EN MOLARES DECÍDUOS

Favretto CO*, Oliveira DC, Silva MER, Hosida TY, Souza JAS, Delbem ACB, Cunha RF
UNESP- Universidade Estadual Paulista "Júlio de Mesquita Filho" - Faculdade de Odontologia de Araçatuba

OBJETIVO: Verificar la relación de la aparición de lesión de caries proximal y la existencia de la asociación con la experiencia de caries del paciente, el arco dental, así como el diente y la superficie dental más afectada.

MÉTODOS: Participaron del presente estudio 202 niños, de ambos sexos, en el grupo de 5 a 9 años de edad, divididos en 2 grupos. El grupo 1 formado por 98 niños con experiencia de caries dental y el grupo 2 con 104 niños sin experiencia de caries. Los 202 niños fueron radiografiados bilateralmente, en los períodos de 0, 6 y 12 meses, por la técnica interproximal para verificar la aparición de lesión de caries dental en las superficies proximales de los molares deciduos. El análisis de las radiografías fue realizado por dos investigadores que evaluaron la ausencia o presencia de radiotransparencia y el tejido dental afectado.

RESULTADOS: La incidencia de caries a los 0, 6 y 12 meses fue respectivamente en los grupos 1 y 2 de 31,61% / 3,85; 27,96% / 5,88%; 11,49% / 4,21%. Esta diferencia fue estadísticamente significativa en los períodos de 0 y 6 meses. Los dientes superiores fueron los más perjudicados por la lesión de caries proximal (56,1%), siendo el primero y segundo molar deciduo superior derecho los más afectados. Las lesiones cariosas proximales ocurrieron en 67,5% de la superficie distal, siendo la mesial afectada en 32,5% de los casos.

CONCLUSIÓN: Se concluyó que la experiencia de caries dental fue un factor predictor para el desarrollo de la lesión de caries proximal y los molares deciduos superiores fueron los más afectados, con énfasis en la superficie distal del primero molar y mesial del segundo.

G29

NO SE PRESENTA

G30

EFFECTO DE BARNICES FLUORETADOS CON TRIMETAFOSFATO DE SODIO SOBRE REMINERALIZACIÓN IN VITRO

Hall KB*, Delbem ACB, Manarelli MM, Moraes FRN, Nagata ME, Cunha RF, Percinoto C, Pessan JP

Departamento de Odontología Infantil y Social, Facultad de Odontología de Araçatuba, Univ. Estadual Paulista (UNESP), Araçatuba, SP, Brasil

Objetivo: evaluar el efecto de barnices fluoretados que contienen Trimetafosfato de Sodio (TMP) en la desmineralización de esmalte bovino *in vitro*.

Método: discos de esmalte de bovino fueron seleccionados usando una prueba de Dureza Superficial (DS) y divididos aleatoriamente en seis grupos (n=20), de acuerdo con los siguientes barnices: placebo (sin NaF y TMP), NaF 2,5%, NaF 5%, NaF 2,5 %/TMP 5 %, NaF 5%/TMP 5 % y una formulación comercial (Duraphat). Los barnices fueron aplicados sobre los discos de esmalte y mantenidos en una solución desmineralizadora durante 6 horas y removidos subsecuentemente. La mitad de los discos fue utilizada para el análisis de CaF₂ y Flúor fuertemente adherido al esmalte (FFAL) después de realizado el tratamiento. La otra mitad (n=10/grupo) fue sometida a un ciclaje de pH por 7 días y luego se midió la DS, el área integrada de la lesión (?KHN), CaF₂ y FFAL. Los datos fueron analizados por ANOVA y la prueba Student-Newman-Keuls (p<0,05).

Resultados: la menor alteración de la DS y el ?KHN fue observada para el barniz NaF 5%/TMP 5% que mostró una diferencia significativa comparada con los otros grupos. Los barnices que contienen TMP promovieron alteraciones de la DS y el ?KHN significativamente menores cuando se compararon con barnices que tienen la misma concentración de flúor sin TMP. Por otro lado, los barnices que contienen TMP llevaron a la formación de CaF₂ y a la incorporación de FFAL significativamente menores que los barnices de las misma concentración de flúor sin TMP.

Conclusión: el TMP y el flúor tienen un efecto protector sinérgico contra la desmineralización del esmalte *in vitro* cuando son usados en formulaciones de barnices.

G31

HIPOMINERALIZACIONES E HIPOPLASIAS: PREVALENCIA Y POSIBLES FACTORES ASOCIADOS

Crespo M*, Toscano M, Bava E, Ortolani A
Cátedra de Odontología Integral Niños. FOUBA

Objetivo: Estimar la prevalencia de hipomineralizaciones e hipoplasias del esmalte en ambas denticiones y su relación con edad gestacional y peso al nacer. **Métodos:** Estudio prospectivo observacional y transversal. 134 niños de ambos sexos (8.3±3.2 años) que concurren a la Cátedra de Odontología Integral Niños FOUBA (mayo-diciembre 2013) fueron evaluados clínicamente por dos docentes estandarizados (Kappa 0.91) Se excluyeron aquellos que presentaban 3 o más piezas dentarias extraídas, con destrucción coronaria o restauraciones extensas que impidieran un examen clínico adecuado, ortodoncia, fluorosis o sin el consentimiento informado. Las piezas fueron evaluadas luego de profilaxis, secado, en forma visual y táctil con espejo, sonda y luz de foco según Índice Defectos Desarrollo Esmalte (DDE) modificado. En planillas especialmente diseñadas fueron registrados los datos correspondientes al nacimiento y las siguientes variables: presencia y tipo de defecto (hipoplasia-hipomineralización), sexo, año de nacimiento, edad gestacional (>< 37 semanas), peso al nacer (>< 2,5 kg), pieza dentaria (primaria-permanente) conformándose 2 grupos: G1 sin anomalías (n=73) y G2 con anomalías(n=61). Los valores hallados fueron analizados utilizando porcentajes, Odds Ratio (IC 95%) y Chi cuadrado. **Resultados:** 45.5%(36.8-54.3) de los niños presentó alguna anomalía estructural de esmalte. La edad gestacional y peso al nacer no resultaron factores de riesgo significativos para la presencia de anomalías (OR=1.74 0.67-4,46 p=0.24 y 3.16 0.59-16.95 p=0.15 respectivamente). De las 3168 piezas dentarias evaluadas el 9.02%(8.05-10.08) presentó algún defecto, correspondiendo el 15.7%(11.7-20.4) a dentición primaria (p) y el 84.2%(79.5-88.2) a permanente (P). La frecuencia de hipomineralizaciones fue de 1.75% en p y 13.9% en P, la de hipoplasias 1.17% en p y 0.85% en P, estableciéndose una relación estadísticamente significativa entre el tipo de pieza dentaria y la presencia de hipomineralizaciones (p=0.00). **Conclusiones:** Los resultados revelan una alta prevalencia de defectos estructurales del esmalte. Las hipomineralizaciones en dentición permanente constituyen la anomalía más frecuente. El bajo peso al nacer y el nacimiento prematuro no resultaron factores de riesgo significativos

G32

FACTORES DE PERSONALIDAD COMO RIESGO PARA TRASTORNOS TÉMPOROMANDIBULARES (TTM) EN NIÑOS

Farah C*, Guitelman I, Fridman D, Bielsa F, Biondi A, Cortese S
Cátedra de Odontología Integral Niños. Facultad de Odontología Universidad de Buenos Aires.

Objetivos: Identificar las características de personalidad en pacientes de 10 a 15 años que concurren para su atención a la Cátedra Odontología Integral Niños de FOUBA y relacionarla con los TTM. Diseño prospectivo, descriptivo, transversal, interdisciplinario. Aprobado por el Comité de Ética de FOUBA N° 26 / 09 / 2012—27.

Sujetos y Métodos: Pacientes de ambos sexos de 10 a 15 años que concurren para atención integral a la Cátedra Odontología Integral Niños en el periodo 2012 - 2013 evaluados con el CDI/TTM cuyos tutores brindaron consentimiento. Se excluyeron los niños con problemas del desarrollo, compromiso médico, trastornos neurológicos y psiquiátricos. Las características de personalidad fueron analizadas por los psicólogos con la prueba psicométrica Big Five (BFQ-NA) con nivel de aplicación en adolescentes, para evaluar cinco dimensiones de la personalidad: Inestabilidad emocional, extraversión, apertura, amabilidad y conciencia. El test se administra mediante un cuadernillo que consta de 65 ítems y los resultados se obtienen por sistema on-line. Según los criterios diagnósticos del grupo I (trastornos musculares) se conformaron 2 grupos: sin TTM (A) y con TTM (B) para su comparación estadística. Se obtuvieron medias, desvíos estándar, porcentajes con intervalos de confianza del 95%, Test t de Student, y OR.

Resultados: A quedó constituido por 184 niños, edad 12,62±1,67 y B por 66, edad 12,51±1,89 (p=0,65). La diferencia para la inestabilidad emocional fue significativa entre ambos grupos (A: 49,57±10,34, B: 54,01±10,78; p=0,0034). El análisis de los datos reveló: alta inestabilidad emocional OR 2.52 (1.34-4.70); alta apertura OR 1,66 (0.87-3.16), alta conciencia OR 1,55 (0.68-3.53) y baja apertura OR 1,29 (0.61-2.72). No hubo hallazgos en los otros límites de factores (OR<1)

Conclusiones: En la población bajo estudio, la alta inestabilidad emocional puede considerarse factor de riesgo para trastornos témporomandibulares musculares en niños. UBACyT 20720120200008/BA

G33

HIPOMINERALIZACIÓN MOLAR INCISIVA: FACTOR DE RIESGO DE OPACIDADES EN CANINOS PERMANENTES

Toscano M*, Ortolani A, Cortese S, Biondi AM
Cátedra de Odontología Integral Niños, Facultad de Odontología, Universidad de Buenos Aires

La Hipomineralización Molar Incisiva (HMI) fue definida en el año 2001 como una patología sistémica que afecta exclusivamente a los primeros molares permanentes y en ocasiones a los incisivos. Resultados de un trabajo previo revelaron una alta frecuencia de opacidades en segundos molares primarios en pacientes con HMI; el objetivo de este trabajo es estimar el riesgo y la frecuencia de caninos permanentes con lesiones de hipomineralización demarcadas no asociadas a caries en pacientes con y sin HMI que concurren en demanda de atención a la Cátedra Odontología Integral Niños, FOUBA. Métodos: Diseño transversal, observacional. Tres docentes (Kappa 0.933 0.911-0.952) evaluaron durante el período mayo-noviembre 2013 a todos los niños de ambos sexos entre 13 y 15 años usando criterios de EAPD [Weerheijm et al., 2003] para el diagnóstico de HMI en dentición permanente. Fueron excluidos los pacientes que presentaran amelogénesis imperfecta, fluorosis, destrucciones extensas por caries, aparatología ortodóncica o coronas que impidieran su examen clínico y/o cuyos responsables legales estuvieran imposibilitados de firmar el consentimiento informado. Se registraron las siguientes variables: año de nacimiento, sexo, presencia de HMI en primeros molares permanentes y presencia de opacidades en caninos permanentes (HCP). Se conformaron dos grupos: G1 y G2 con y sin HMI respectivamente. Los datos fueron analizados a través de porcentajes con intervalos de confianza 95%, Chi cuadrado y Odds Ratio con intervalo de confianza 95%. Resultados: La muestra quedó conformada por 193 niños, mujeres 56.99%. En G1 (n=81 41.97% 34.90-49.28) la frecuencia de HCP fue 50.62% (39,24-61,94) y en G2 (n=112 58.03% 50.71-65.09) fue de 7.14% (3.11-13.60). OR=13.32 (5.74-30.88) p=0.000. Conclusiones: Estos resultados revelan una alta frecuencia de caninos permanentes con lesiones de hipomineralización demarcadas no asociadas a caries en pacientes con HMI. Se infiere que los portadores de HMI tienen mayor probabilidad de presentar opacidades en caninos permanentes. Subsidio UBACyT 20720120200007BA

G34

VARIACIONES PORCENTUALES DE CALCIO Y FÓSFORO EN DENTINA DESMINERALIZADA POR ADHESIVOS AUTOACONDICIONADORES

Lutri P, Mirotti G*, Magliano R, Caballero A, Crohare L, Sezin M
Facultad de Odontología. UNC

OBJETIVO: determinar las variaciones porcentuales de calcio y fósforo en dentina desmineralizada por adhesivos autoacondicionadores a diferentes profundidades. **MÉTODOS:** en 12 elementos dentarios se tallaron cavidades oclusales. Se dividieron en grupos según el adhesivo empleado: Tetric N-Bond (grupo1), Adper Easy Bond (grupo2), G-BOND (grupo3). Los adhesivos se aplicaron sobre dentina siguiendo las indicaciones del fabricante. Las muestras fueron obturadas con Z100, mediante técnica incremental y polimerizadas por 20 segundos con una unidad LED. Se cortaron longitudinalmente, pulieron y lavaron con ultrasonido. Fueron visualizadas con microscopía electrónica de barrido (FE-SEM SIGMA). Las mediciones de las variaciones porcentuales de los elementos fueron a lo largo de 45µm. Los datos obtenidos se sometieron a la prueba Anova y Test de Tukey. **RESULTADOS:** en general las mayores variaciones medias porcentuales de Ca y P en los 3 adhesivos se observaron a partir del primer micrómetro hasta los 15µm. Las variaciones porcentuales de Ca mostraron, en el primer micrómetro, un comportamiento diferente en los 3 adhesivos. Tetric N-Bond (74,4+/-29,8) y Adper Easy Bond (84,4+/-35,1) fueron los que presentaron mayor porcentaje de Ca y G-BOND (58,8+/-33,8) presentó el menor porcentaje. A los 5µm G-BOND obtuvo el mayor porcentaje (88,0+/-9,4) y Adper Easy Bond (77,6+/-29,5) el menor. En relación al Ca, se registró diferencia significativa solo cuando se valoró el factor profundidad de penetración ($p < 0.05$). Las variaciones porcentuales de P a 1µm fueron Tetric N-Bond (66,5+/-31,6), Adper Easy Bond (67,5+/-19,2), G-BOND (47,4+/-30,5). A los 5µm Tetric N-Bond (88,1+/-20,3), Adper Easy Bond (65,8+/-13,3), G-BOND (88,5+/-5,2). Mientras que desde los 15-45µm las variaciones promedio porcentuales fueron similares en los 3 adhesivos. Adper Easy Bond tuvo el menor porcentaje de variación de P en todas las distancias consideradas. En relación al P, tanto el factor profundidad de penetración como el factor adhesivos, registraron diferencias significativas ($p < 0.05$). **CONCLUSIÓN:** las variaciones porcentuales de calcio y fósforo producidas por la acción desmineralizadora de los autoacondicionadores fué significativa hasta los 15µm dependiendo de la composición química de cada uno de ellos.

G35

POLIMORFISMOS GENÉTICOS EN LAS MMPs, TIMPs Y TGFBS Y LA CRIES DENTAL

Antunes L*, Kuchler E, Lopes L, Antunes L, Abreu F, Amorim L, Paixão I
Universidad Federal Fluminense - Departamento de Formación Específica

Las metaloproteinasas de la matriz (MMPs) y sus inhibidores (TIMPs), así como los factores de crecimiento transformante Beta (TGFBS) participan de la formación del esmalte dental, pudiendo presentar función en el establecimiento y en la progresión de la mancha blanca (MB) y de la caries dental que en los niños se denomina como carie de acometimiento precoz (CAP). **OBJETIVO:** Evaluar la asociación de polimorfismos en los genes *MMP2* (rs243847), *MMP3* (rs522616), *MMP9* (rs17576), *MMP20* (rs1711437 e rs1784418), *TIMP1* (rs4898), *TIMP2* (rs7501477), *TGFB1* (rs1800469) y *TGFB3* (rs2268626) con la experiencia de MB y CAP en dientes deciduos. **MÉTODO:** Un estudio transversal (aprobación CAAE 02463012.1.0000.5243) fue realizado en niños de 2 a 6 años de cunas-jardín públicas de "Nova Friburgo", Rio de Janeiro, Brasil. La muestra constó de 786 niños. Se aplicó también un cuestionario a los responsables sobre datos socio-demográficos, higiene oral y hábitos dietéticos. La presencia de la enfermedad fue evaluada usando el índice ceo-d para CAP (lesiones de carie cavitada) y presencia de mancha blanca (lesiones de caries no cavitadas), realizado por dos profesionales calibrados ($Kappa=0,80$). Posteriormente fue realizada la recolección de muestras de células bucales de los niños para la extracción del DNA y genotipaje de los polimorfismos seleccionados para ser realizado por el método TaqMan PCR en tiempo real. Los datos fueron tabulados y analizados en el programa estadístico Epi Info 3.5.2. Frecuencia de alelos y genótipos fueron comparados entre grupos con y sin enfermedad. El test Qui-cuadrado, odds ratio (OR) y regresión logística, fueron realizados considerándose significativamente estadístico, $p < 0,05$. **RESULTADOS:** En el gene *MMP9* el genotipo GG fue más frecuente en el grupo no afectado, tanto en la variable ECC ($p=0,006$) como en la variable ECC + MB ($p=0,004$). En un modelo recesivo, la MB se encontró asociada con el gene *MMP20* (rs1711437) ($p=0,019$, OR=1,20, 95% CI 1,02-1,42). Para el marcador rs 1784418 del gene *MMP20*, hubo asociación entre distribución alélica para el grupo con MB ($p=0,020$; OR=0,73, 95% CI 0,55-0,96). **CONCLUSIÓN:** La *MMP9* y la *MMP20* están comprometidas en el desarrollo de MB y ECC en dientes deciduos de niños entre 2 y 6 años.

G36

GENES EXPRESADOS EN LA FORMACIÓN DEL ESMALTE Y LA FLUOROSIS DENTAL

Antunes L*, Kuchler E, Granjeiro J, Antunes L
Universidad Federal Fluminense - Departamento de Formación Específica

OBJETIVO: Identificar asociaciones entre polimorfismos en los genes DLX1 (rs788173), DLX2 (rs743605), MMP2 (rs243865, rs243847), MMP9 (rs17576), MMP13 (rs2252070), MMP20 (rs1711437, rs1784418), TIMP1 (rs4898), TIMP2 (rs7501477) y fluorosis dental en la población brasileña.

MÉTODO: Un estudio transversal del tipo caso-control fue realizado en 481 individuos (grupo control = 373 individuos sin fluorosis dental y grupo caso = 108 individuos con fluorosis dental) atendidos en las clínicas dentales, Rio de Janeiro, Brasil. Fue realizada la recolección de muestras de células epiteliales de la mucosa oral como fuente de DNA genómico. Después de la extracción, cuantificación y disolución del DNA, fue realizado el genotipaje de los polimorfismos seleccionados por PCR en tiempo real usando el método de ensayo Taqman. Los datos fueron incluidos y analizados en el programa estadístico Epi Info 3.5.2. Las diferencias en la frecuencia de los genotipos y alelos de cada polimorfismo entre el grupo caso y sus subgrupos y el grupo control fueron analizadas a través del test Qui-cuadrado. Además de eso, fue aplicado el test del Qui-cuadrado para detectar el equilibrio Hardy-Weinberg. **RESULTADOS:** De los 108 individuos con fluorosis dental, 85 (78,7%) presentaron fluorosis dental leve, 18 (16,7%) fluorosis dental moderada y 5 (4,6%) fluorosis dental severa. Para el gene DLX1, se observó diferencia significativa en la frecuencia genotípica cuando se compara el grupo caso (Fluorosis dental moderada + severa) y el grupo control (P = 0.048). Se observó, también, diferencia significativa al compararse la frecuencia de los genotipos del gene DLX2 en el grupo caso (Fluorosis dental moderada + severa) con el grupo control (P = 0.022). No se observó diferencia significativa en la distribución, tanto de los genotipos como de los alelos de los genes MMP2, MMP9, MMP13, MMP20, TIMP1, TIMP2, cuando se ha comparado el grupo caso y sus subgrupos y el grupo control. **CONCLUSIÓN:** Los polimorfismos en los genes DLX1 y DLX2 pueden estar comprometidos en el desarrollo de la fluorosis dental en la población estudiada.

G37

RELACIÓN DE BRUXISMO Y TRASTORNOS TEMPOROMANDIBULARES CON HIPERTROFIA AMIGDALINA

González N*, Carretoni A, Gancedo A, Grinberg J, Biondi A, Cortese S
Cátedra Odontología Integral NIÑOS. FOUBA

Numerosos estudios vinculan la hipertrofia de las amígdalas palatinas con el bruxismo nocturno en niños preescolares. El **objetivo** de este estudio fue evaluar la presencia de hipertrofia amigdalina en niños de 10 a 15 años y vincularla con bruxismo nocturno, trastornos temporomandibulares musculares y desplazamiento de disco. **Sujetos y métodos:** Diseño observacional, prospectivo y transversal aprobado por la Comisión de Ética de FOUBA. 260 niños de ambos sexos de 10 a 15 años que concurren para su atención a la Cátedra Odontología Integral Niños y cuyos responsables legales brindaron consentimiento, fueron evaluados con el eje I del CDI/TTM por odontopediatras estandarizados (Kappa 0.88) y con los criterios de Mallampati por 5 fonaudiólogas para la valoración de hipertrofia amigdalina. En función del desarrollo amigdalino se conformaron 2 grupos: SOA (grados 0 y 1) n=79 y COA (grados 2, 3 y 4) n=121. Las variables analizadas fueron: auto-reporte de bruxismo nocturno (n=37), TTM musculares (n=72) y desplazamientos de disco (n= 58). Los registros obtenidos fueron analizados utilizando porcentajes y Odds Ratio con sus intervalos de confianza (95%). **Resultados:** Se observó desarrollo amigdalina Grado 0= 1.54% (0.41-3.91); Grado 1= 38.99% (33.00-45.24); Grado 2= 46.71% (40.50-53.01); Grado 3= 11.19% (7.61-15.69); Grado 4= 1.54% (0.41-3.91). No se observaron asociaciones significativas entre obstrucción amigdalina (grados 2, 3 y 4) y bruxismo nocturno OR: 1.32 (0.63-2.72); ni entre TTM musculares OR: 0.74 (0.42-1.28) ni desplazamientos de disco OR: 0.87 (0.48-1.57). **Conclusiones:** En este estudio la presencia de hipertrofia amigdalina leve fue la más frecuente no hallándose asociación con bruxismo nocturno, trastornos temporomandibulares musculares y desplazamiento de disco.

G38

ESTADO DE SALUD BUCAL DE PRIMEROS MOLARES PERMANENTES EN PRE-ADOLESCENTES ESCOLARIZADOS

Mandozzi M*, Marega G, Sanchez Dagum M, Sanz A
Cátedra de Odontología Preventiva y Comunitaria I - Fac. de Odontología - U.N. de Córdoba

En la edad escolar el primer molar es el diente permanente más afectado por caries. Su presencia es básica para el equilibrio de la oclusión. **OBJETIVO:** Describir el estado de salud de los Primeros Molares Permanentes (PMP) en alumnos de 6° grado de la Escuela Provincial Agustín. Gallardo de B° Los Bulevares de la Cdad. de Córdoba. **METODO:** Se realizó un estudio descriptivo N= 52 pre-adolescentes de 11 años cumplidos. Se diseñó un formulario Pre-codificado (grilla de observación ad-hoc) para la recolección de datos y con consentimiento informado en aulas de la escuela con luz artificial, instrumental de exploración descartables, se realizó la inspección de la cavidad bucal registrando los datos de Salud- enfermedad. La dimensión de estudio: estado de salud de los PMP, considero las categorías: Cariado, perdido y obturado, variables dependientes de estudio. En tanto que "sexo" fue la variable independiente. **RESULTADOS:** el 51,92% fueron mujeres y el 48,07% varones. El total de niños examinados (52), presentaron los cuatro PMP en boca, 208 elementos dentarios. El 22,60% (47 elementos dentarios) presentaron Caries, el 9,13 % (19 elementos dentarios) estaban obturados y el 68,27% sanos (142 elementos dentarios). **CONCLUSION:** Si bien es significativo el porcentaje de PMP sanos (68,27%), el 31,73% restantes presento o presenta experiencia de caries, al menos 1,26 elementos afectados por niño examinado. Es necesario orientar políticas de salud hacia la generación de programas de salud bucal dirigidos al cuidado y preservación de este elemento dentario importante para el buen desarrollo del sistema estomatognático, teniendo en cuenta que son solo preadolescentes de 11 años de edad, y que la expectativa de vida en el país se ubica en promedio 75,7 años.

G39

GEOLOCALIZACIÓN DE ACCESOS A ATENCIÓN ODONTOLÓGICA RELACIONADA A PREVALENCIA DE CARIES

*Unamuno V¹, Bazáez M², Spadillero M², Brunotto M¹, Zarate A¹

¹Cátedra "A" de Biología Celular, ²Cátedra "B" de Operatoria II. Facultad de Odontología, Universidad Nacional de Córdoba.

OBJETIVO: geolocalizar centros de salud públicos de la Ciudad de Córdoba y pacientes que concurren por atención a la Facultad de Odontología, para establecer si la prevalencia de caries está relacionada al acceso a estos centros de salud. **MÉTODOS:** estudio de Historias Clínicas de pacientes atendidos por demanda espontánea para recibir tratamiento operatorio, en el año 2013, en la cátedra de OPERATORIA II B, Facultad de Odontología, UNC. Se relevaron datos de pacientes (n=198), ambos sexos, con edades entre 13-74 años. Los datos clínicos relevados fueron: presencia de placa bacteriana, características de los elementos dentarios (mal posición, surcos profundos y cemento descubierto), cantidad de elementos cariados, obturados y perdidos y momentos de ingesta azúcar. Se utilizó el software ArcGIS que permitió geo-localizar a los pacientes según su domicilio y establecer la cercanía a los 26 servicios de atención pública que presentan servicio odontológico. Se obtuvieron frecuencias absolutas y relativas y se aplicó análisis multivariado de componentes principales para analizar la relación entre los componentes del CPO en los pacientes con o sin acceso odontológico. **RESULTADOS.** Considerando la salud bucal de los pacientes: el 83% de los pacientes presentó cantidad mínima o regular de placa bacteriana; 37% tenía al menos un diente mal posicionado, 46% al menos 1 diente con surco profundo, 26% presentaba cemento descubierto, 62% tuvo hasta 7 caries, un promedio del 93% presentaban 7 obturaciones y 9 dientes perdidos. Al relacionar la cercanía de los pacientes a los centros de salud y el estado de salud bucal de los mismos se observó una fuerte asociación entre los pacientes sin acceso odontológico con y dientes perdidos y obturados; contrariamente en los que si tenían acceso odontológico, la asociación, entre cariados, perdidos y obturados, fue más débil. **CONCLUSIÓN.** Los resultados demuestran que: los pacientes sin acceso odontológicos presentan una cantidad significativa de obturaciones y dientes perdidos; existe relación entre los surcos profundos, mal posición dentaria y presencia de placa bacteriana con la prevalencia de caries, es probable que estos pacientes concurren a otros servicios para situaciones de urgencia (que derivarían en obturación o extracción); el problema de caries no es atendido en sus fases iniciales ya que no se consideran los factores predisponentes (mal posiciones, surcos profundos y control de la placa bacteriana) ni en zonas donde existen centros públicos de atención odontológica ni en las que no existen.

G40

PERDIDA EROSIVA EN NIÑOS TRATADOS Y NO TRATADOS CON SALBUTAMOL

Sorazabal AL, Passarini L, Castro M*, Salgado P, Argentieri A
Catedra de Odontología Preventiva y comunitaria. Facultad de Odontología.
Universidad de Buenos Aires.

El asma es una enfermedad inflamatoria crónica que provoca que las vías respiratorias se estrechen y dificulta la respiración. La medicación para el asma incluye broncodilatadores y fármacos anticolinérgicos. La mayoría de estos medicamentos se inhalan mediante diversas formas de inhaladores o nebulizadores. Se ha informado que las medicinas tomadas por un inhalador de polvo seco pueden causar erosión dental cambiando el ambiente químico de la boca. **OBJETIVO:** Determinar la prevalencia de erosión dental en los niños que reciben salbutamol como medicación broncodilatadora y establecer diferencias con aquellos sin afecciones respiratorias. **MÉTODOS:** La muestra incluyó 100 niños, 50 de ellos medicados usando un inhalador de salbutamol a lo largo de los 9 meses anteriores al estudio Md 5 años y 6 meses y 50 sin patología respiratoria Md 6 años. Los padres de los niños completaron un cuestionario del consumo de bebidas (jugos y gaseosas). Se llevaron a cabo exámenes dentales y se determinó la pérdida de tejido dental según Índice de Smith y Knight (1984). Procesamiento estadístico: se utilizaron media, mediana, DS, distribución de frecuencias y chi cuadrado. **RESULTADOS:** Se observó erosión dental en el 52% de los niños medicados y en el 42% de los no medicados. Los niños con medicación y consumo de bebidas diarias presentaron erosión en un 64,7%; y consumo fines de semana 50%. Los niños sin medicación y consumo de bebidas diarias presentaron erosión en un 34,8% y consumo fines de semana 31,2%. No se observó asociación entre la medicación y la erosión dental ($\chi^2 = 1,004$, $p < 0,316$). No se observaron diferencias estadísticas entre grupos ni en la frecuencia de consumo de bebidas ácidas. **CONCLUSIÓN:** En ambos grupos existe una alta prevalencia de erosión dental, no mostrando asociación entre la medicación y la erosión dental.

G41

EXPERIENCIA DE CARIES EN DENTICIÓN PRIMARIA COMO PREDICTOR DE CARIES EN PERMANENTES

Lazzati R*, Rossi G, Masoli C, Capuano C
Catedra de Odontología Preventiva y Comunitaria – Facultad de Odontología –
Universidad de Buenos Aires

OBJETIVO: Determinar la capacidad predictiva de experiencia de caries en dentición primaria sobre la incidencia de caries en dentición permanente, en niños pertenecientes a poblaciones rurales con alta vulnerabilidad social bajo programa de atención odontológica. **MÉTODOS:** Fueron incluidos 115 niños (edad. $X=5.23 \pm 0.46$) concurrentes al nivel inicial de escuelas situadas en comunidades rurales del departamento de Montecarlo, provincia de Misiones. Fueron excluidos aquellos niños que presentaban piezas dentarias permanentes en el momento del examen basal. Previo consentimiento informado de los padres, fue efectuado una historia médica, examen clínico dentario y evaluación de la presencia de biofilm. La experiencia pasada de caries en dentición primaria fue considerada como c + e. Las variables fueron observadas en condición basal, a los 12 y 24 meses. Los niños fueron incluidos en un programa de atención odontológica con fuerte componente preventivo estandarizado, que incluyó enseñanza de cepillado, asesoramiento dietético a las madres y a las maestras y aplicación semestral de FFA pH 3,5 1,23%. El procesamiento estadístico incluyó test chi-cuadrado con un $p < 0.05$. **RESULTADOS:** La media de c+e en condición basal fue $X= 4,68 \pm 0,38$. A los 12 meses se observó que el 24% de los niños presentaron lesiones de caries en piezas permanentes. Este grupo registro una media de c+e de $8,08 \pm 0,92$ en condición basal; mientras que para el 74% de niños libres de caries en dentición permanente el c+e basal fue $3,75 \pm 0,75$. A los 24 meses se registró un incremento de caries en 40% de la muestra, correspondiendo para este grupo una media de c+e basal de $6,65 \pm 0,782$; mientras que para el 60% de niños que se mantuvieron libres de caries en dentición permanente el c+e basal fue $3,24 \pm 0,434$. Se observaron diferencias significativas en ambos periodos ($p < 0.001$). El índice de placa registró los siguientes valores: en condición basal $X: 0.85 \pm 0.61$; a los 12 meses $X: 1 \pm 0.05$ y a los 24 meses $X: 1.074 \pm 0.062$. **CONCLUSIÓN:** Los valores de los indicadores de caries en dentición primaria mostraron capacidad predictiva sobre la incidencia de caries en piezas permanentes al cabo de 12 y 24 meses en la población estudiada.

G42

IMPACTO DE UN PROGRAMA ESCOLAR RURAL SOBRE DEMANDA DE ATENCION ODONTOLOGICA FAMILIAR

Fernandez C, Tilke G*, Needleman M, Masoli C, Squassi A, Capuano C
Catedra de Odontología Preventiva y Comunitaria – Facultad de Odontología –
Universidad de Buenos Aires

OBJETIVO: Determinar el impacto de la implementación de un programa escolar intensivo de atención clínica con fuerte componente preventivo en una comunidad rural sobre el motivo de la consulta odontológica de los familiares de los alumnos y adultos de la comunidad. **MÉTODOS:** Sobre la totalidad de familiares concurrentes a consultas odontológicas por demanda espontánea (n=582), en el marco de un programa desarrollado sobre 2 escuelas rurales, se realizó una historia clínica y examen dentario a efectos de implementar tratamientos odontológicos. A partir del análisis retrospectivo de la documentación, se sistematizaron las siguientes variables: edad, género, necesidad de tratamiento de caries (INTC), tiempo de exposición al programa escolar aplicado en la comunidad (años), parentesco con el escolar y motivo de la consulta. Las unidades observacionales fueron agrupadas de acuerdo con el tiempo de exposición al programa escolar. La variable “motivo de la consulta” fue expresada en 3 categorías a partir del análisis de las respuestas obtenidas: I: “Extracción-Dolor”; II: “Arreglo”; y III: “Control” y/o “Limpieza”. Se establecieron distribuciones de frecuencia para cada variable y se analizó la asociación entre las variables de cada grupo mediante la prueba de chi cuadrado y test de proporciones independientes. **RESULTADOS:** En el 1° año se observó un 58,2% de motivo de consulta de “Extracción-Dolor” y disminuye significativamente en el 6° año al 39,1% (p< 0,05). Las consultas por “Arreglo” en el 1° año fueron 26,8%, mientras que en el 6° año se registraron en un 30,4%. Al analizar la categoría “Control” y/o “Limpieza”, se observó el aumento significativo del 15% en el 1° año al 30,4% en el 6° año (p< 0,05). En cuanto a la variable “parentesco con el escolar”, la demanda en la categoría “no familiares” aumenta con los años de exposición al programa, de 19,1% al 50% (p<0.05). Sólo se registraron diferencias significativas entre la categoría I con la II y III en el 1° año del programa (p<0.05). **CONCLUSION:** La implementación de un programa escolar intensivo de atención clínica con fuerte componente preventivo en una comunidad rural impacta sobre el motivo de la consulta de los adultos residentes en las comunidades involucradas en las intervenciones realizadas.

G43

DISOLUCIÓN “IN VITRO” DEL ESMALTE DENTAL POR BEBIDAS DE CONSUMO FRECUENTE

Passarini L*, Castro M, Sorazabal AL, Salgado P, Picca M, Argentieri A
Cátedra de Odontología Preventiva y Comunitaria - Cátedra de Materiales dentales.
Facultad de Odontología de la Universidad de Buenos Aires

En las últimas décadas el consumo de bebidas sin alcohol gasificadas o no se ha incrementado exponencialmente. Un alto porcentaje de la población consume diariamente bebidas cuyo contenido incluye sacarosa o sustitutos, todas ellas con un pH ácido. **OBJETIVO:** evaluar “in vitro” la disolución del esmalte con bebidas regulares y diet no alcohólicas. **MÉTODOS:** Se utilizaron 24 premolares sanos extraídos por razones ortodóncicas, los mismos fueron esterilizados en autoclave. Se seccionaron en dos bloques (vestibular y lingual) con fresa de acero usando alta velocidad y refrigeración. Cada bloque fue pesado en una balanza OHAUS Modelo A5200 con una aproximación o tolerancia de 0.0001g. Las bebidas utilizadas, previa medición del pH, fueron Coca Cola® regular, Coca Cola light®, Gatorade® de naranja y jugo Cepita® de naranja. Se expusieron 10 bloques a cada bebida. Los controles (8) fueron sometidos a agua destilada. Todos los estudios se realizaron a temperatura ambiente. La distancia máxima de pesaje fueron 15 días (1, 8 y 15) en cada uno se renovó la bebida. Procesamiento estadístico: Anova de medidas repetidas y prueba post hoc de Dunnett. **RESULTADOS:** A las 24 hs. las muestras se hidrataron y ese pesaje fue considerado basal. No se encontraron diferencias entre el pesaje basal y la primera medición. Entre la segunda y la tercera se calculó la diferencia en mg de pérdida de peso y luego se compararon con el peso de las piezas en agua vs las bebidas. Se observaron diferencias significativas entre agua y Gatorade® (dif. de 29 mg) (p?0,001) entre agua y Cepita® (dif. de 26 mg) (p?0,001). No se encontraron diferencias significativas entre el agua y la Coca Cola® regular (14 mg) y Coca Cola light® (11 mg) (p?0,001). **CONCLUSIÓN:** A períodos y pH similares las bebidas tienen distintos comportamientos por lo que se podría atribuir a la composición de cada una de ellas. Los datos presentados indican que las bebidas analizadas pueden causar disolución del esmalte a largo plazo.

G44

PRESCRIPCIONES DE MEDICAMENTOS POR ODONTÓLOGOS EN UN INSTITUTO DE SERVICIO SOCIAL

Karaben V*, Rea A, Ramírez L. Morales S
Facultad de Odontología UNNE. Av. Libertad 5450

Objetivo: analizar las prescripciones farmacológicas realizadas por odontólogos. **Metodología:** Estudio de Utilización de Medicamentos de tipo prescripción/indicación donde se describen las indicaciones en las que se utiliza un determinado fármaco o grupo de fármacos. Se analizaron recetas que contenían prescripciones realizadas por odontólogos en un Instituto de Servicios Sociales de la ciudad de Corrientes, sin tomar contacto con el paciente. A partir de la misma se realizó el análisis cuantitativo de los medicamentos prescritos por medio de estadística descriptiva y un análisis cualitativo a través de parámetros de calidad como número de principios activos que contiene el medicamento y el "valor intrínseco terapéutico potencial" (VITP) del medicamento que se basa en pruebas científicas sobre eficacia. Para el análisis crítico de adecuación de la prescripción se tomó como referencia al Formulario Terapéutico COMRA (Confederación Médica de la República Argentina) que consta de un listado de medicamentos con referencias terapéuticas y BNF (British National Formulary) que presentan medicamentos con eficacia y seguridad demostrada. **Resultados:** De un total de 38.772 recetas, n= 416 fueron prescritas por odontólogos para patologías bucodentales. El medicamento más prescrito fue Ibuprofeno (166) 39%; seguido por Azitromicina (129) 31%; indicados por 6 días (83%); ambos son considerados de valor terapéutico elevado. De los medicamentos de valor no elevado (4%), se observó la prescripción de Tirotricina con benzocaína (11) y vitaminas complejo B (3); y asociaciones de medicamentos a dosis fija como Betametasona/diclofenac/vitamina B12 (1) y clorfeniramina/dexametasona (1). De los medicamentos que podrían tener efectos adversos de importancia se considera aketorolac (8%) y diclofenac (2%). **Conclusión:** Las prescripciones farmacológicas observadas en un 96% presentaron buena relación entre beneficio y riesgo; siendo de medicamentos seguros y adecuados, de acuerdo a formularios terapéuticos nacionales e internacionales, como el de la Confederación Médica de la República Argentina (COMRA) y el British National Formulary (BNF). No obstante se observó marcado uso de Azitromicina que no es el antibiótico de primera elección en odontología. Además hay que considerar la prescripción de medicamentos como diclofenac y ketorolac, para indicaciones precisas, dada la mayor frecuencia de efectos adversos que presentan.

G45

ACCESO AL SISTEMA DE SALUD DE TOBAS Y MAPUCHES EN ÁMBITO URBANO

Azcona MS*; Carames R; Brión V
1FOUNR; 2FOUNRN, Cátedras de Odontología Social Y Farmacología

Objetivo: Comparar las estrategias de acceso al sistema de salud entre dos comunidades indígenas migrantes asentadas en ámbitos urbanos. **Metodología:** Estrategia cualitativa. Técnicas empleadas: a) observación en el campo. b) entrevistas semiestructuradas a miembros de centros comunitarios tobas y representantes del parlamento mapuche y de comunidades urbanas (28) c) análisis de fuentes secundarias (datos de centros de salud, informes nacionales, provinciales y municipales). La información obtenida se analiza cualitativamente según los siguientes ejes temáticos: población que asiste; motivos de la consulta; valoraciones respecto del sistema sanitario; modalidades de las prácticas odontológicas; profesionales actuantes nos referimos a recursos humanos en el sentido de cantidad, disponibilidad capacitación para comprensión de variables étnicas culturales. **Resultados:** En ambas comunidades se observó que asisten más a la consulta los niños en edad escolar que los adultos. En relación con las prácticas odontológicas ambos grupos manifiestan que acceden a tratamientos donde la práctica predominante es la exodoncia, para la población adulta y la certificación bucal para los niños. Entre los motivos de consulta reconocidos encontramos situaciones de urgencia; búsqueda de medicamentos y certificaciones de salud. En el grupo Toba se identifican patologías preexistentes (Chagas, TBC) que son motivo de concurrencia, según registro de los centros sanitarios. Ambos grupos refieren barreras etnolingüísticas y dificultades interculturales para comprender y ser comprendidos por el sistema sanitario, que obstaculizan la concurrencia a los servicios. La asistencia odontológica en comunidad Mapuche está mediada por profesionales no odontólogos (enfermeras/os; asistentes sociales) a diferencia de la comunidad Toba donde los profesionales odontólogos son los responsables directos de la atención. La estrategia de creación de Centros Comunitarios es compartida en ambas poblaciones. **Conclusiones:** La comparación indica que ambas comunidades comparten las estrategias de acceso al sistema de salud, en lo referido al tipo de población que asiste, a los motivos de la consulta, y a las percepciones y valoraciones respecto del sistema sanitario, vinculadas a la variable étnica de las poblaciones estudiadas. Se concluye con la existencia de diferencias en las estrategias de acceso con relación a los profesionales intervinientes y las patologías preexistentes.

G46

DENTÍFRICO FLUORADO CON NANOPARTÍCULAS DE TRIMETAFOFATO EN LA DESMINERALIZACIÓN: ESTUDIO IN VITRO

Danelon M*, Pessan JP, Dalpasquale G, Souza Neto FN, Camargo ER, Delbem ACB
Universidade Estadual Paulista "Júlio de Mesquita Filho"- Faculdade de Odontologia de Araçatuba

Objetivo: El objetivo de este estudio fue evaluar los dentífricos convencionales que contienen 1.100 ppm F asociada o no con diferentes concentraciones de trimetafosfato de sodio (TMP) micrométrico o nanométrico en la desmineralización del esmalte, utilizando un modelo de ciclo pH. **Metodos:** Bloques de esmalte bovino (4 mm x 4 mm, n = 96) seleccionados por dureza de la superficie inicial (SHI) se asignaron en ocho grupos (n = 12) de acuerdo con los dentífricos de ensayo: sin fluoruro y TMP (Placebo), 1100 ppm F (1100 ppm F), 1.100 ppm F micrométrico o concentraciones de tamaño nanométrico de TMP al 1% (1100 1%TMP, 1100 1%TMPnano) 3% (1100 3%TMP, 1100 3%TMPnano), y 6% (1100 6%TMP; 1100 6%TMPnano). Bloques fueron tratados 2 x/día con suspensiones de dentífricos y sometidos a ciclos de pH durante cinco días. A continuación, la dureza final superficial (SHF), la pérdida de minerales integrado (IML), diferencial perfil de la pérdida integral mineral (Δ IML) y fluoruro de esmalte (F) se determinaron las concentraciones. Los resultados fueron sometidos a ANOVA seguido por el test de Student-Newman-Keuls ($p < 0,001$). **Resultados:** Bloques tratados con 3% en 1100 TMPnano mostró SHF 30% mayor que los tratados con 1,100 ($p < 0,001$), mientras que este efecto fue de alrededor de 15% después del tratamiento con el 3% en 1100 con TMP ($p < 0,001$). La asociación TMP/F reduce el IML y Δ IML en comparación con pasta dental con fluoruro sin TMP ($p < 0,001$). El 1100 el 3% TMPnano conducen a la pérdida de minerales más bajo, que fue ~ 80% más pequeño si se compara con 1100 ($p < 0,001$). Los resultados de F presente en la cola de esmalte mostraron la adición de 1% y 3% TMP aumento la concentración F en 20% y 50%, respectivamente, en comparación con 1100 ppm grupo F. Con las cremas dentales TMPnano, Aumento de la absorción de fluoruro fue del 90%, 160% y 100%, respectivamente para las concentraciones de 1%, 3% y 6% en comparación con 1100 ppm grupo F. **Conclusion:** Se concluyó la suplementación de dentífrico convencional con 3% TMP nano producir un efecto sinérgico sobre la inhibición de la desmineralización del esmalte en comparación con su contraparte sin TMP y TMP micrométrico.

Fuente de financiamiento: Este estudio fue financiado por el CNPq (Proceso: 158 463 / 2012-9), la FAPESP a través de la RIDC / CDMF y la INCTMN.

G47

ESTUDIO DE LA PREVALENCIA DE UN SERVICIO URGENCIAS. (ESTUDIO PRELIMINAR)

Adá GA*, Tempo D, Basovich JG, Giorgio AO, Lama MA, Maresca BM
Clínica de Urgencias y Derivaciones de la Universidad Argentina John Fitzgerald Kennedy

La clínica de urgencias y derivación de la Universidad Argentina John F. Kennedy inicio sus actividades en el año 2014 con la finalidad de brindar un servicio de atención odontológica a la comunidad a consecuencia de una demanda espontánea por parte de la misma.

Objetivos: determinar la causa de urgencia con mayor prevalencia. Establecer la edad promedio, el género y el lugar de residencia actual de la población que asiste a la clínica.

Método: El diseño es descriptivo de corte transversal, el grupo estuvo constituido por 1643 historias clínicas correspondientes a los pacientes que concurren a la clínica de urgencias y derivación de la U.A.J.F.K. de los cuales 150 asistieron en situación de urgencia, en el período de 10/3 al 10/9 del 2014. A todos se les efectuó una historia clínica médica única y odontológica. Se resolvieron las urgencias pertinentes y se derivó a todos los pacientes a las asignaturas correspondientes de la carrera de grado y posgrado de la universidad para continuar con el tratamiento odontológico. Se relevó edad, sexo, motivo de la consulta, tratamiento realizado en los pacientes con urgencias odontológicas y residencia actual.

Resultados: de las 150 urgencias atendidas el 57% fueron mujeres y el 43% hombres, 80% acudieron por dolor (realizándose 50 aperturas y 67 exodoncias, 2 alveolitis y 1 flemón) y 20% por estética (21 reconstrucciones y 9 provisorios). La edad media de los pacientes fue de 35,81 años. De ellos el 67% residen en Capital Federal y el 33% en la provincia de Buenos Aires.

Conclusiones: la causa de mayor consulta por urgencias fue dolor provocado por piezas dentales con indicación de exodoncia, seguido de dolor de origen pulpar. Concurrieron mayor cantidad de mujeres que de hombres, y la mayoría residía dentro de la Ciudad Autónoma de Buenos Aires. Se demostró que este servicio brinda a la comunidad la posibilidad de resolver las urgencias, sean dolorosas u estéticas, y orientar a los pacientes en su tratamiento a fin de lograr que el mismo llegue al alta integral.

G48

ALTERACIONES POSTURALES COMO FACTOR DE RIESGO PARA TRASTORNOS TÉMPOROMANDIBULARES (TTM) EN NIÑOS

Mondello A*, Galarza R, Fridman D, Biondi A, Cortese S
FOUBA

Objetivo: Valorar la presencia de alteraciones posturales como factor de riesgo para TTM y estimar su frecuencia en pacientes de 10 a 15 años que concurren a la Cátedra Odontología Integral Niños de FOUBA. Diseño prospectivo, descriptivo, transversal, interdisciplinario, aprobado por el Comité de Ética de FOUBA. **Sujetos:** Pacientes de 10 a 15 años que concurren para atención integral a la Cátedra en el periodo 2012-2013, cuyos responsables brindaron consentimiento. **Métodos:** El diagnóstico de TTM lo realizaron odontopediatras estandarizados en el protocolo de Criterios Diagnósticos de Investigación de los Trastornos Témporomandibulares (CDI/TTM) (Kappa = 0,88) Evaluación postural estática: Se procedió a la toma fotográfica con el paciente en postura bípeda relajada, ante una grilla (frente, espalda y ambos perfiles) para su posterior análisis realizado por el kinesiólogo del equipo de acuerdo al modelo establecido por Kendall. Se conformaron 3 grupos: A sin TTM (n=133; 12.56±1.69 años); B con trastornos musculares (n=61; 12,57±1,90 años) y C con desplazamiento de disco (n=49; 12.65±1.82 años). Los registros fueron analizados utilizando; medias, desvío estándar, ANOVA, OR y porcentajes con intervalo de confianza del 95%. Resultados: Los grupos no mostraron diferencias en relación a la edad (p= 0.95) Las alteraciones de curvas vertebrales, cabeza y miembros inferiores mostraron asociación significativa con TTM musculares: OR: 3.40 (1.73-6.69), 2.44 (1.20-4.94), 2.22 (1.19-4.15) respectivamente. Las alteraciones de planos anterior, posterior y lateral mostraron asociaciones no significativas: OR: 1.37 (0.74- 2.53), 1.97 (0.80-4.86), 1.10 (0.58-2.07). En C todas las variables mostraron OR<1. Las alteraciones más frecuentes en A y B fueron: hiperlordosis lumbar: 23.30% (16.40-31.44) y 32.78% (21.27-46.03); antepulsión del cráneo 39.85% (31.44-48.71) y 52.45% (39.23-65.43); genu valgo 33.08% (25.15-41.78) y 45.90% (33.03-59.18) respectivamente. Conclusiones: En esta muestra las alteraciones posturales más frecuentes fueron hiperlordosis; antepulsión del cráneo y genu valgo pudiendo considerarse las de postura de cabeza, las de curvas vertebrales y de los miembros inferiores factores de riesgo para trastornos témporomandibulares musculares. UBACyT 20720120200008/BA

G49

MODIFICACIONES EN LA CRONOLOGÍA DE ERUPCIÓN DENTARIA EN NIÑOS DE DIFERENTES SITUACIONES SOCIOCULTURALES

Gosso C*, Sanchez Dagum M
UNIVERSIDAD NACIONAL DE CORDOBA FACULTAD DE ODONTOLOGIA

OBJETIVO: Describir la cronología de erupción dentaria de niños con diferentes condiciones socioculturales.

METODO: se realizó un estudio transversal de niños (n=100), ambos sexos, con diferentes condiciones socioculturales (zona urbano-marginal-grupo A- y zona urbano clase media-alta-grupo B). Para la recolección de datos sobre ingresos familiares, nivel de escolaridad, acceso a los servicios de salud se utilizó una encuesta semi-estructurada autoadministrada. Además se realizó examen clínico odontológico según criterios de la Organización Mundial de la Salud y se registró la edad cronológica expresada en años ± 6 meses.

RESULTADOS: De un total de 100 niños estudiados (n=50 colegio urbano marginal y n=50 colegio privado) el 47.1% fue del sexo masculino y 52.9% femenino. A los 6 años se observó un porcentaje de erupción diferente de incisivos entre los niños del grupo A y B siendo éste, en general, ligeramente mayor en los niños del grupo A con respecto a los niños del grupo B. En tanto que el porcentaje de niños con caninos inferiores derecho e izquierdo erupcionados, a la edad de 9.5 años era similar en ambos grupos (94.1% y 91.2% A y B respectivamente); este mismo resultado se observó en la erupción de los premolares y primeros molares a la edad de 10 y 11 años. En los segundos molares superiores se observó una erupción total del 65.4% a la edad de 12 años y los inferiores en el 86.8% a los 11 años de edad en el grupo A, y del 50%-superiores- y 80% -inferior- en el grupo B. Por otra parte, según el género se pudo observar que la erupción del sexo femenino es más temprana que la del sexo masculino en ambas poblaciones de estudio.

CONCLUSION: en los niños de zonas urbano-marginales los dientes de la arcada inferior erupcionan a edad más temprana que los de la arcada superior, los primeros molares erupcionan a en mayor porcentaje a los 5 años. El mayor promedio de dientes permanentes se observa en el género femenino, en relación al masculino. La erupción de cada diente permanente se realiza simultáneamente con su homólogo de la misma arcada. En tanto en los niños del grupo B la cronología de erupción de dientes permanentes es más tardía, aunque el orden cronológico de erupción es igual en ambas poblaciones.

G50

SEROTIPOS DE STREPTOCOCCUS MUTANS Y EXPERIENCIA DE CARIES EN ESCOLARES

Ponce A*, Gigena P, Carletto-Körber FPM, Cornejo LS
Facultad de Odontología. Universidad Nacional de Córdoba.

Los serotipos de cepas de *S. mutans* circulantes en la población podrían estar relacionadas con la experiencia de caries de los sujetos infectados.

Objetivo: Relacionar las variantes génicas de los serotipos de cepas de *S. mutans* aisladas de saliva estimulada con la experiencia de caries en escolares de 5 a 7 años de edad.

Método: Participaron 25 escolares, ambos sexos, edad media= 6,28±0,73, concurrentes a la escuela María Transito de Cabanillas, de la ciudad de Córdoba, Argentina. Los directivos de la escuela y los padres de los alumnos dieron su consentimiento informado por escrito para la participación en el estudio

Se realizó relevamiento clínico-odontológico en el ámbito de la institución con metodología simplificada, Se determinó ceod y CPOD. Muestras de saliva estimulada, fueron sembradas en Agar Mitis Salivarius para el desarrollo bacteriano. Las colonias recuperadas en caldo cerebro corazón se incubaron 48 hs. La extracción de ADN se realizó según Bollet. Para determinar los serotipos *c*, *e* y *f*, se aplicó la técnica de PCR multiplex y para el serotipo *k* se utilizó una PCR específica.

Resultados: 84% de los escolares presentó experiencia de caries, con ceod=4,6±3,22 y CPOD=0,2±0,7. Los serotipos se distribuyeron: *c*=52%; *e*=36%; *f*=4% y el *k*=8%

La distribución de serotipos mostró diferencias entre niños ceod=0, ceod ≥1<5 y ceod≥5, aunque sin significación estadística.

Conclusion: Nuestros resultados muestran un patrón de distribución de serotipos de *S. mutans* similar al observado en otros estudios. No se evidencia relación entre fenotipo y nivel de severidad de caries de la OMS.

Beca estímulo a las vocaciones científicas CIN 2014. PIESCI- SPU, Ministerio de Educación. Facultad de Odontología. Universidad Nacional de Córdoba.

G51

RIESGO DE MALOCLUSIÓN EN ESCOLARES DE COMUNIDADES CON VULNERABILIDAD SOCIOAMBIENTAL

Bella M*, Gigena P, Verduci P, Carletto Korber F, Lucero, MF, Cornejo LS
PIESCI- SPU, Ministerio de Educación. Facultad de Odontología. Universidad Nacional de Córdoba.

Es importante detectar tempranamente cualquier alteración del crecimiento óseo de los maxilares y/o de las posiciones dentarias, que impidan una correcta función del sistema estomatognático, por las posibles consecuencias que esta disfunción produce en la salud.

OBJETIVOS: Determinar el riesgo de maloclusión en escolares pertenecientes a comunidades escolares con vulnerabilidad socio-ambiental de la ciudad de Córdoba, Argentina.

MÉTODO: se realizó un estudio descriptivo transversal, a través de un muestreo no probabilístico de conveniencia, en 111 niños de 6 a 8 años y 130 de 10 a 12 años de edad, ambos géneros, concurrentes a dos escuelas con vulnerabilidad socio-ambiental del sector sudeste de la ciudad de Córdoba. El examen clínico se realizó en las instituciones con iluminación natural, las relaciones oclusales se evaluaron en oclusión habitual.

Se determinó el riesgo (OR) de maloclusión por hábito deletéreo, pérdida prematura de elementos dentarios, interferencia dentaria, deglución disfuncional y respiración bucal; y OR de desarrollar protrusión, mordida abierta y mordida cruzada por hábitos deletéreos, deglución disfuncional y respiración bucal.

RESULTADOS: En el grupo de 10 a 12 años la prevalencia de maloclusión fue 69,23%, asociada a interferencia dentaria (OR=6,61). En cuanto al tipo de maloclusión se encontró asociación de protrusión con deglución disfuncional (OR=3,59) y respiración bucal (OR=6,77); de mordida abierta con deglución disfuncional (OR=12,92) y respiración bucal (OR=6,79), de mordida cruzada lateral con respiración bucal (OR=8,23). En el grupo de 6 a 8 años la prevalencia de maloclusión fue 45,94% asociada a interferencia (OR= 8,14). Se encontró asociación para mordida abierta/hábitos deletéreos (OR=2,93).

CONCLUSIONES: en el marco de la atención primaria de la salud La intervención temprana de las condiciones de riesgo detectadas podría disminuir la prevalencia de maloclusión y así evitar las posibles consecuencias que esta disfunción produce en la salud.

PIESCI- SPU, Ministerio de Educación. Facultad de Odontología. Universidad Nacional de Córdoba.

G52

FACTORES SOCIOCULTURALES Y SALUD BUCAL DE JÓVENES EN SITUACIÓN DE ENCIERRO

Barnetche MM*; Cornejo LS

Facultad de Odontología. Universidad Nacional de Córdoba.

OBJETIVO: Indagar la posible interacción de diferentes factores socioculturales y el proceso de salud-enfermedad atención de caries dental en jóvenes en situación de encierro, en Córdoba Argentina.

MÉTODO: Se realizó un estudio transversal exploratorio en 70 jóvenes de ambos sexos, de 14 a 18 años de edad, alojados en centros socioeducativos del Área Correccional de Córdoba, que firmaron su consentimiento informado. El diagnóstico clínico fue realizado por un único operador en el consultorio odontológico del servicio con iluminación artificial, instrumental de exploración y sonda periodontal. Los datos se relevaron siguiendo los criterios diagnósticos de la OMS (1997). Se determinaron medidas de centralización, desviación y frecuencias. Se aplicó Análisis de Correspondencia Múltiple a la siguientes variables: consumo de sustancias psicoactiva, concurrencia al odontólogo, jefe de familia, nivel de instrucción alcanzado por el joven, mancha blanca +CPOD (< 10 y > 10). Los datos fueron procesados con el software Infostat 2012.

RESULTADOS: Se presentan en forma conjunta, los jóvenes cuyo jefe de familia no es el padre o madre, que consumen sustancias psicoactivas, especialmente aquellos que consumen marihuana, que no consultan al odontólogo y que son analfabetos o con nivel de educación primaria, mientras que por otro lado se agrupan aquellos jóvenes que no consumen sustancias psicoactivas, con nivel de instrucción secundaria, cuyo jefe de familia es el padre, que consultan al odontólogo. La categoría mancha blanca +CPOD >10 aparece más próxima al primer grupo.

CONCLUSION: Si bien la variable mancha blanca +CPOD en las categorías consideradas no provoca una medida de discriminación grande, permite inferir que el deterioro dental en estos jóvenes está en relación a sus condiciones socioculturales.

PROCON -Equipo interdisciplinario de investigación PROMOCION CONTEXTUALIZADA FO-UNC, Argentina.

G53

ESTADO DENTAL Y PARADENCIAL DE POBLACIÓN EN TRATAMIENTO POR CONSUMO DE DROGAS

Rotemberg E*, Salveraglio I, Kreiner M, Piovesán S, Smaisik K, Ormaechea R, Varela A

FOUDELAR (Montevideo, Uruguay)

OBJETIVO: Detectar las patologías orales más frecuentes en individuos jóvenes en tratamiento por drogodependencia en el Portal Amarillo.

MÉTODOS: Estudio transversal, descriptivo, prospectivo en una muestra de 72 individuos de ambos sexos de 15 a 35 años con edad promedio 24,3 y relación 8-2 hombre-mujer, que se asisten por adicciones en el Portal Amarillo, Centro de Referencia Nacional de la Red Drogas. Los examinadores fueron calibrados con índice kappa 0,9. Se valoraron las variables CPOD e índice periodontal comunitario. El estudio se realizó en silla convencional, con iluminación natural y artificial, espejo bucal descartable y periodontómetro estéril de punta redondeada recomendado por la OMS.

RESULTADOS: Los datos encontrados fueron: Índice CPOD: 8,04; estado gingival: salud: 16,6%, gingivitis: 65,3%, periodontitis: 18,1%. El índice CPOD entre 15-24 años: 5,31; entre 25-35 años: 11,27. En el Relevamiento Nacional el índice CPOD fue de 4,8 para la franja etaria 15-24 años. La frecuencia absoluta entre primera y segunda franja etaria fue: 8 a 4 con salud gingival y 1 a 12 individuos con periodontitis.

CONCLUSIONES: La prevalencia de caries y enfermedad periodontal se incrementa con la edad al considerar dos franjas etarias. Los probables factores de riesgo son: higiene oral deficitaria, alimentación inadecuada, estrés, consumo de alcohol, tabaco u otras drogas.

G54

REPRESENTACIÓN DE PADRES Y LA INFLUENCIA EN CONDUCTA DE SUS HIJOS EN SITUACIÓN DE ATENCIÓN CLÍNICA-ODONTOLÓGICA

Lucero MF; Larghi C; Porta J; Tula M; Gigena PC*
FOUNC

OBJETIVO: Identificar las representaciones que los padres tienen a cerca de su propia experiencia clínica-odontológica, en relación a la valoración de las conductas de sus hijos en la atención Odontopediátrica. **MÉTODO:** Se realizaron 10 entrevistas semiestructuradas grabadas en audio, previo consentimiento informado, a madres o acompañantes de los niños que asisten a la Cátedra de Integral Niños y Adolescentes para ser atendidos por estudiantes de Odontología de la Universidad Nacional de Córdoba en 2013. Se desgravaron las mismas; se analizaron desde la Teoría Fundamentada. Para conocer las conductas de los niños, se aplicó un cuestionario y la Escala de Observación de Conducta de Frankl. **RESULTADOS:** los padres manifiestan sentimientos de miedo y dolor ante la consulta odontológica, expresan confort ante la accesibilidad y la buena atención del odontólogo (independientemente si es del ámbito público o privado). Reconocen la comunicación unidireccional como obstáculo para la atención odontológica. El dialogo que tienen con sus niños mejora la predisposición al tratamiento. Los niños (edad media $7,3 \pm 1,49$) presentaron un comportamiento según las categorías de comportamiento de la escala de Frankl: el 60 % (n:6): Tipo 4 (definitivamente positivo); 30% (n:3): Tipo 3 (positiva) y el 10% (n:1): Tipo 1 (definitivamente negativa). **CONCLUSIONES:** Los padres manifiestan que la comunicación unidireccional y cerrada que manifiestan tener en general los profesionales odontólogos, es para ellos el mayor obstáculo a la hora de la consulta, generando situaciones de temor, que difiere cuando el modelo de comunicación (estudiante) propone la inclusión como protagonista de la situación odontológica.

G55

VALIDACIÓN DE RECURSOS HUMANOS PREPROFESIONALES PARA LA DETECCIÓN DE BIOFILM EN ESCOLARES

Toledo M*, Racedo J, Farias M, Mariño G, Laszuk T, Algarin S, Salgado P, Squassi A, Klemonsks G, Cohen S
Cátedra Odontología Preventiva y Comunitaria, FOUBA.

OBJETIVO: Estimar la concordancia para la detección de biofilm dental entre recursos humanos que participan de programas de educación para la salud con diferente nivel de formación profesional **MÉTODOS:** Sobre un grupo de 67 escolares que concurren a instituciones educativas de la CABA, entre 7 y 9 años de edad, y previo consentimiento informado de los responsables legales y el asentimiento de los niños/as para su participación en el estudio, se realizó una evaluación para determinar la presencia de biofilm dental. Los examinadores fueron categorizados como: GRUPO A: estudiantes de los primeros años de la carrera de odontología que participan como ayudantes en el curso Educación para la Salud (n= 8); y GRUPO B: odontólogas/docentes universitarias con un año de egresadas que desarrollan acciones sistemáticas de educación para la salud en escuelas públicas de CABA (n= 2). Los examinadores del Grupo A participaron en tres talleres de capacitación previos a la actividad clínica. Las evaluaciones se realizaron en dos etapas bajo condiciones estandarizadas, en la sede escolar y utilizando tecnología simplificada. En la primera etapa, un examinador de cada grupo determinó la presencia de biofilm dental en cada escolar a simple vista (índice de placa visible). En la segunda etapa, los pares de examinadores determinaron en cada escolar la presencia de biofilm dental previa tinción con solución reveladora. (índice de O'Leary). La concordancia se valoró utilizando el coeficiente de correlación intraclass para valores absolutos. La fuerza del grado de acuerdo se valoró según criterio de Landis y Koch. **RESULTADOS:** El coeficiente de correlación intraclass fue: 1) para el índice de placa visible: medidas individuales = 0,71 IC95% [0,56-0,81]; promedios = 0,83 IC95% [0,71-0,90]; y 2) para el índice de O'Leary: medidas individuales = 0,62 IC95% [0,44-0,75]; promedios = 0,77 IC95% [0,61-0,86]. **CONCLUSIÓN:** Los examinadores pertenecientes al grupo de recursos humanos pre-profesionales alcanzaron un grado considerable de concordancia para la detección de placa a simple vista y un grado moderado de concordancia para la detección de placa con solución reveladora con respecto a los recursos humanos profesionales.

G56

EVALUACIÓN DE LA VALIDEZ DEL ÍNDICE DE PLACA VISIBLE EN PROGRAMAS ESCOLARES

Orellana Perez C*, Cotelo L, Raffaelli C, Arteaga S, Carranza S, Herrera M, Lopez B, Salgado P, Squassi A, Klemonsks G, Cohen S
Catedra de Odontología Preventiva y Comunitaria – Facultad de Odontología – Universidad de Buenos Aires

OBJETIVO: Evaluar la validez del índice de placa visible para determinar la presencia de biofilm dental sobre superficies dentarias en un programa de educación para la salud. **MÉTODOS:** Se realizó un estudio observacional de valoración de prueba diagnóstica. Sobre un grupo de 67 escolares concurrentes a escuelas de la CABA, entre 7 y 9 años, y previo consentimiento informado de sus responsables legales y asentimiento de los niños, 2 examinadores calibrados realizaron evaluaciones bajo condiciones estandarizadas en la sede escolar. En una primera etapa, fue determinada la presencia de biofilm dental a simple vista, consignando presencia /ausencia en cada superficie dentaria de cada niño (índice de placa visible). En la segunda etapa, se determinó la presencia de biofilm previa tinción con solución reveladora para obtener el Índice de O'Leary (1970). El índice de O'Leary fue considerado como *gold standard*. Se calcularon los promedios de los índices para la población total y su diferencia (prueba t para muestras relacionadas). Se agruparon los individuos por cuartiles según el nivel del índice de O'Leary. Se seleccionaron 3 individuos al azar por grupo y se analizó la presencia/ausencia de placa en cada superficie dentaria (n=1152). Se calcularon la sensibilidad y especificidad para el total de superficies y para cada superficie dentaria. **RESULTADOS:** El promedio de superficies con presencia de biofilm de acuerdo con el índice de placa visible fue de 63,61% (DS 23,33); mientras que con el índice de O'Leary fue 84,37% (DS 18,21). La diferencia ($p < 0,01$) entre medias de los índices fue 20,76 (IC95% [24,81-16,70]). La sensibilidad para el total de superficies fue 68,52% (IC95% [65,51-71,52]). La sensibilidad para cada superficie fue: vestibular 87,81% (IC95% [83,98-91,65]); mesial 69,90% (IC95% [63,90-75,30]); distal 50,96% (IC95% [44,17-57,76]); lingual 57,46% (IC95% [50,26-64,66]). La especificidad para el total de superficies fue 82,48% (IC95% [77,61-87,35]). La especificidad para cada superficie fue: vestibular 22,22% (IC95% [-4,94-49,38]); mesial 78,95 (IC95% [65,98-98,91]); distal 83,75% (IC95% [75,67-91,83]); lingual 87,85% (IC95% [81,66-94,04]). **CONCLUSIÓN:** El índice de placa visible mostró una alta sensibilidad para la detección de biofilm en superficies vestibulares.

G57

CONDICIONES GINGIVALES Y MICROBIOLÓGICAS DURANTE EL PROCESO ERUPTIVO DE LA DENTICIÓN PERMANENTE

Martinez MC*, Ochonga G, Tolcachir B, Rubio S, Tortolini P, Castillo G, Scatena G, Lehner E, Miranda S, Barembaum S
Cátedras "B" de Integral Niños y Adolescentes, Introducción a la Física y Química Biológicas, Química Biológica y Cátedra "A" de Periodoncia. Facultad Odontología UNC.

Introducción: Las condiciones gingivales clínicas y microbiológicas generadas en la etapa prefuncional del proceso eruptivo de elementos dentarios permanentes aumentan la susceptibilidad de caries a edad temprana. **Objetivo:** Evaluar la asociación entre los indicadores clínicos y microbiológicos gingivales en el proceso eruptivo de piezas permanentes en pacientes de alto y bajo riesgo cariogénico. **Materiales y Métodos:** Se estudiaron las condiciones gingivales y microbiológicas de niños entre 5 y 9 años con elementos dentarios permanentes en fase eruptiva prefuncional (PE). Como control se seleccionaron elementos permanentes homólogos en fase eruptiva funcional (E). Los niños fueron clasificados clínicamente en bajo (BR) y alto riesgo (AR) cariogénico. En cada grupo se determinaron Indicadores Clínicos: edad, sexo, niveles eruptivos, higiene oral, características gingivales de color, consistencia, textura, tamaño, hemorragia. Indicadores Microbiológicos: UFC de *Streptococcus mutans* de superficie dentaria. Se realizó test t y análisis multivariado de correspondencia. Se fija $p < 0,05$ para significación estadística. **Resultados:** Se encontraron diferencias en cuanto a condiciones de color y consistencia entre E y PE de pacientes AR, predominado la encía roja y edematosa en el primer grupo ($p < 0,05$). En relación a la textura y tamaño las formas normales fueron significativamente mayores en el grupo BR. Al comparar los niveles de hemorragia, los valores aumentaron en el grupo AR E y PE ($p < 0,05$). En pruebas de contraste para grupos de riesgo y tipo de erupción resultaron significativas las diferencias de *S mutans* entre BR y AR ($p < 0,05$), mientras que en el subgrupo BR PE-E los niveles microbianos fueron mayores durante el proceso eruptivo ($p < 0,05$). **Conclusiones:** Las condiciones locales de retentividad durante el proceso eruptivo pre funcional de los elementos permanentes en pacientes de AR y BR favorecen el desarrollo de un biofilm cariogénico local con valores de UFC compatibles con los indicadores de AR independientemente de las condiciones generales de vulnerabilidad del paciente. Sin embargo, las alteraciones gingivales observadas en pacientes de AR se asociarían más a condiciones inflamatorias que al proceso eruptivo en sí mismo.

G58

NO SE PRESENTA

G59

EFFECTIVIDAD DE PROGRAMAS DE APLICACIÓN DE FLUORUROS Y CLORHEXIDINA SOBRE CARIES DENTAL

Zimmermann E*, Cachia A, Díaz A, Maino A, Spoletti MJ, Pisterna G, Spoletti P
Cátedra Odontología Social III Facultad de Odontología - U.N.R.- § Bacteriología HNZN

El presente trabajo comparara el efecto sobre el inicio de caries dental en dos programas de promoción de la salud diferenciados solamente por la utilización de fluoruros ó clorhexidina aplicados profesionalmente. Dada la edad temprana de comienzo de la intervención, se ha enfocado en el seguimiento de primeros molares permanentes. **OBJETIVO:** Analizar el impacto a largo plazo sobre caries dental de primeros molares en escolares tratados con geles de fluoruros y clorhexidina. **MÉTODOS:** La muestra se conformó con 40 escolares de tres escuelas públicas de la ciudad de Rosario, asignados aleatoriamente a dos grupos de tratamiento, uno con gel de clorhexidina 1% (C) y otro con gel de flúor fosfato acidulado 1,23% (F). Fueron tratados durante cuatro semanas consecutivas y diagnosticándose todas las piezas dentarias por método visual con luz natural. El mismo protocolo se repitió cada uno de los cuatro años de intervención. Los examinadores se calibraron durante todo el proceso. Se toma como unidad de análisis al escolar. Los datos de primeros molares fueron categorizados como: "A"= ausente por no haber erupcionado; "S"= sano; "E"= enfermo (cariado u obturado). No hubo piezas extraídas. **RESULTADOS:** La muestra quedó constituida por: grupo "C" n=19; grupo "F" n=21. En 2010 el grupo "C" mostró el 42% de todos molares "A" y el "F" el 14 % "A". En 2013 en el grupo "C", el porcentaje de niños con las 4 piezas "S" es 37% y con 4 piezas "E" 19%, en el grupo "F" 29% 4 piezas "S" y 11% 4 piezas "E" respectivamente; además el grupo "C" presenta un promedio de piezas "E" 1,10 y el "F" 1,48. La diferencia es de 34% a favor de grupo "C". Se comparó estadísticamente aplicando el test no paramétrico U de Mann-Whitney para dos muestras independientes con error del 5%, resultando una $p=0,4$. **CONCLUSIÓN** Si bien en el grupo "C" el porcentaje de molares "E" fue menor después de 4 años de tratamiento, las diferencias no mostraron significación estadística. Se propone analizar el comportamiento corregido por el tiempo de presencia de las piezas en la cavidad bucal.

G60

USO DE PIERCING EN ESTUDIANTES DE ODONTOLOGÍA

Sebelli PMF*; Ferraro LE; Cortese SG

CATEDRA DE ODONTOLOGIA INTEGRAL NIÑOS.FOUBA.UNIVERSIDAD DE BS AS

En un trabajo anterior se observó en estudiantes de odontología de FOUBA una frecuencia del 35% uso de piercing, de los cuales el 38 % eran de localización bucal. **Objetivos:** Analizar las opiniones en relación al uso y el interés sobre información de la temática en estudiantes de odontología que inician y finalizan la carrera en la Universidad de Buenos Aires. **Métodos:** Se utilizaron como instrumento de recolección de datos encuestas anónimas voluntarias entregadas a los estudiantes que iniciaban la carrera presentes en el curso introductorio básico (CIB) y los que cursaban en tres comisiones de la asignatura Odontología Integral Niños (6to año) durante el periodo lectivo 2012 que recibieron información preventiva sobre los riesgos y complicaciones del uso. Los registros de las respuestas fueron ingresados a una base de datos para su cuantificación y análisis de las siguientes variables: uso de piercing, complicaciones, utilidad de la información recibida y el cambio de opinión respecto al uso. Se formaron dos grupos: G1 portadores de piercing (n=86) y G2 sin portación (n=161). Para el análisis de los datos se utilizaron medias, desvíos estándar, Test Exacto de Fisher, porcentajes con intervalos de confianza del 95%. **Resultados:** Se recibieron 247 encuestas, edad media 23±4 años, siendo el 84,61% (79.48-88.88) de sexo femenino. El 40,5% (32.65-48.77) de cursantes CIB (n=62) y el 25,5 % (n=24) (17.07-35.59) de 6º año (p=0,0112) fueron portadores de piercing (G1). En G1 refirieron haber tenido complicaciones: 88,37% (79.63-94.30), siendo las más frecuentes: 52,63%(40.81-64.23) inflamación e infección 22,36% (13.58-13.40). La información recibida fue considerada útil para el 81.65% (76.46-86.11) sin diferencias entre G1 y G2 p=0.139. Un 6.19% (3.42-10.18) refiere que utilizaría piercing luego de haber recibido la información, G1 14.66% (7.53-24.75) y G2 3.31% (1.07-7.57) p= 0.0004. **Conclusiones:** En esta muestra el grupo portador de piercing, más numeroso entre quienes iniciaban la carrera, presentó alta frecuencia de complicaciones tales como infección e inflamación. La información sobre los riesgos por el uso fue mayoritariamente considerada de utilidad, siendo el grupo de usuarios el que refiere más intención de colocarse en el futuro.

G61

CARIES DENTAL EN NIÑOS DEL NORDESTE BRASILEÑO SEGUN LOS CRITERIOS ICDAS

Uemura TF*, Delbem ACB, Valença Neto PF, Pessan JP

Universidade Estadual Paulista "Júlio de Mesquita Filho" (UNESP- Araçatuba)

Objetivo: El objetivo de este estudio fue evaluar la prevalencia de caries dental en la dentición decidua en niños de diferentes años de edad de un municipio de Bahia, de acuerdo con los criterios ICDAS. **Métodos:** Se trata de un estudio transversal realizado en un municipio de la región Nordeste de Brasil. De los 357 niños en el grupo etario de 01 a 04 años de edad matriculados en las guarderías municipales, sólo se incluyeron apenas los niños autorizados por sus responsables a participar del estudio (202). Después de un cepillado dental previo, los exámenes clínicos fueron realizados en las instituciones de enseñanza, siguiendo la clasificación de lesiones de caries con base en los criterios de ICDAS. **Resultados:** Se observó que en la población de estudio de 01, 02, 03 y 04 años de edad hay prevalencia de caries dental en cualquier superficie de los incisivos superiores en 50, 36, 40 y 29%, respectivamente y en cualquier superficie lisa, excepto incisivos superiores, en 75, 76, 91 y 94%. Los exámenes clínicos solamente los niños de 02, 03 y 04 años, mostró caries en las superficies oclusales de los primeros molares en prevalencia de 30, 57 y 70%, mientras que la prevalencia para superficies de fosas y fisuras de los segundos molares fue de 42, 78 y 76%, respectivamente. **Conclusión:** La edad puede ser identificada como determinante individual de mayor frecuencia de caries con cavitación en una o más facies de dientes deciduos involucrados por la enfermedad. Los registros de caries de acometimiento precoz en preescolares revelan que se trata de un problema de salud pública, debido a su elevada prevalencia. De esa forma, este estudio ofrece subsidios para la planificación estratégica de acciones de salud bucal, contribuyendo con posibles cambios en la política pública de salud local.

G62

PREVALENCIA DE PIEZAS SUPERNUMERARIAS EN NIÑOS

Safuri F*, Guanzini M, Pavan V
Cátedra Odontología Integral Niños FOUBA

Objetivos: 1) Estimar la prevalencia y analizar las características de piezas supernumerarias en pacientes que concurren a la Cátedra de Odontología Integral Niños FOUBA. 2) Identificar las complicaciones eruptivas en las piezas permanentes. **Métodos:** Diseño observacional retrospectivo. Fueron incluidos en este trabajo solo las historias clínicas (755) de pacientes de ambos sexos entre 6 y 12 años que concurren para su atención entre 2012-2014 que tenían registros completos y radiografías panorámicas. Docentes estandarizados (Kappa 0.97 0.95-0.99) registraron en planillas diseñadas para tal fin: edad, sexo, cantidad, ubicación, orientación, presencia en boca o retención de la pieza permanente relacionada con el supernumerario. Los datos obtenidos fueron analizados utilizando medias y desvíos estándar, porcentajes con IC del 95% y Chi cuadrado. **Resultados:** La muestra quedó conformada por 755 niños edad media 8,82 años, DS 1,91. (51,39% sexo femenino). El 12,58% de los pacientes presentó piezas supernumerarias (62,2% sexo masculino). De ellos 46,3% (35,9-56,8) presentaron una pieza supernumeraria, 17,8 % dos piezas, 3,1% tres piezas, y 2,1% más de cuatro. Del total de supernumerarios (n=95) 89,47%, se presentaron en el maxilar superior. 66,3%, con orientación normal, 21% invertido y 12,6% transversal. 31,5% (22,39-41,1) fueron Mesiodens; 48,2% (38,0-58,9), sobre el incisivo central, 3,1%, sobre el incisivo lateral y 10,5% sobre el canino, 6,3% se observaron a nivel de premolares y molares En el 83,1% (74,0-90,0) el supernumerario se encontraba retenido y la retención de las piezas permanentes fue del 46,3% (35,9-56,8). Se encontraron diferencias significativas entre la no erupción de la pieza permanente y el supernumerario (p=0,00) **Conclusiones:** En este estudio las piezas supernumerarias se presentaron con más frecuencia en varones, retenidas, con un supernumerario por paciente, orientación normal, posición sobre incisivos centrales en el maxilar superior, y falta de erupción de la pieza permanente. Estas características deberán ser tenidas en cuenta para disminuir las consecuencias que provocan.

H01

NO SE PRESENTA

H02

MODELO EXPERIMENTAL PARA LA APLICACIÓN DE VIBRACIÓN MECÁNICA EN EL TRATAMIENTO ORTODONCICO

Benítez Rogé* SC 1•, Steimetz T 2, Troncoso GR 2, Guglielmotti MB 2, 3, Mateu ME 1
Cátedras de Ortodoncia 1 y Anatomía Patológica 2, Facultad de Odontología, UBA.
CONICET 3

En la actualidad se están implementando distintas técnicas con la finalidad de reducir los tiempos de tratamiento ortodóncico. En tal sentido, se ha publicado que la aplicación de la vibración mecánica produciría modificaciones en el remodelado óseo de la cortical periodontal alveolar. Se ha descrito en algunos casos, incremento del remodelado. **Objetivo:** desarrollar un dispositivo “ad hoc” generador de vibraciones constantes con la finalidad de aplicarlo en ratas durante el movimiento ortodóncico. **Materiales y Métodos:** el dispositivo consta de un motor de corriente continua que genera vibraciones que se transmiten a una cubeta de aluminio cubierta con silicona (amortigua la fuerza de la vibración a 3gr). La frecuencia es regulada por una fuente* de corriente continua entre 30Hz(4.5Volt) y 150Hz(12Volt). La frecuencia vibratoria fue medida con un estroboscopio. Se utilizaron 30 ratas Wistar macho de 250g asignadas a 6 grupos (n 5): Control (GC); Vibración 30Hz(GV30); Vibración 150Hz(GV150); Movimiento Ortodóncico (GMO); Movimiento Ortodóncico + Vibración 30Hz(GMO+V30); Movimiento Ortodóncico + Vibración 150Hz (GMO+V150). Bajo anestesia i.p. de 0.15 ml/100g peso de ketamina/xilazina (solución 4:1), se instaló un aparato ortodóncico (Steimetz y Ubios, SAIO 1995), las ratas recibieron dos exposiciones de vibración durante 5 minutos (t0 post instalación y t24). Se practicó la eutanasia a las 48 hs siguiendo las normas del NIH y del Comité de Ética FOUBA. Se obtuvieron modelos de estudio. Se resecaron los maxilares superiores y se procesaron para su estudio histológico obteniendo cortes orientados en sentido V-P a nivel de las raíces distales del primer molar superior, coloreados con H&E. **Resultados:** en función del aumento de la vibración, se incrementa el remodelado óseo de la cortical periodontal alveolar a expensas del aumento de superficies óseas erosivas y por otra parte, del número de osteoclastos, más notables en la cortical vestibular que en la palatina. En ésta última se detectan escasas superficies erosivas y sectores de neoformación. **Conclusión:** El modelo experimental utilizado permitirá evaluar cualitativa y cuantitativamente la respuesta del tejido óseo ante la aplicación de la vibración mecánica. UBACYT 657- CONICET 117. §Beca EVC-CIN. *Interlec®

H03

EVALUACIÓN DE LA CONTAMINACIÓN CON LEVADURAS DE PINZAS ORTODONCICAS POST UTILIZACION

Giraldo Henao KJ*, Calzadilla Bastidas A, Restrepo Ochoa CM, Zapata Puerta JF, Pollo MF, Ucha M, Brusca MI, Labate LM
Carrera Especialización en Ortodoncia UAI.

El manejo inadecuado del instrumental contaminado con fluidos corporales como saliva y sangre, eleva el riesgo de contraer enfermedades y de afectar negativamente la evolución de diferentes tratamientos, además de las complicaciones que cada paciente pueda tener gracias a enfermedades de base.

Objetivo: Evaluar el nivel de contaminación por *Candida spp*, post uso del instrumental de ortodoncia que se utiliza intrabucalmente en pacientes Colombianos y Argentinos.

Materiales y métodos: Se incluyeron pacientes entre 16 y 65 años, de ambos sexos, con armado de brackets superior e inferior. Criterios de Exclusión: pacientes con brackets de autoligado, con enfermedades autoinmunes, con enfermedades sistémicas con manifestaciones en el periodonto, pacientes fumadores, menores de 16 años y con armado de brackets en un solo maxilar.

Se analizaron los alicates de corte distal luego de ser utilizados para seccionar el arco por distal del último tubo presente en boca. Se estudiaron 80 pacientes agrupados en : Grupo A 40 pacientes Colombianos, Grupo B 40 pacientes Argentinos. Se realizó una primer toma intrabucal con un hisopo estéril y se llevo a un tubo con medio de Stuart. Se cortaron las 4 secciones distales de los arcos en boca tardando al menos 1 minuto. Con un segundo hisopo estéril se frota toda la superficie del alicate post uso y se llevaron a otro tubo. Se sembraron en Chromagar *Candida* y se realizaron pruebas microbiológicas convencionales.

Resultados: Las pinzas estériles aparecen contaminadas post corte distal de los alambres en el 95 % de los casos en ambos países. Hubo diferencia entre los pacientes colombianos y los argentinos, respecto a las especies ya que en los primeros al especie con mayor prevalencia fue *Candida tropicalis* tanto en la pinza como en la cavidad bucal, mientras que en los argentinos fue *Candida albicans*.

Conclusión: las pinzas ortodoncias se contaminan con *Candida spp* post utilización en boca y son un fomite a partir del cual puede generarse diseminación sistémica así como infección cruzada

H04

ESTUDIO DE LA ADHESIÓN DE CANDIDA SPP A LIGADURAS DE ORTODONCIA

Delgado Navas L*, Ospina Cruz ON, Pollo MF, Ucha M, Brusca MI, Labate LM
Universidad Abierta Interamericana

OBJETIVO

Evaluar la adhesión de *Candida spp* a diferentes tipos de ligaduras ortodóncicas

MATERIALES Y MÉTODOS

Se incluyeron 30 pacientes de ambos sexos, con edades comprendidas entre los 18 y los 35 años con estado de salud periodontal e indicación para tratamiento de ortodoncia con aparatología fija con técnica de arco recto. Se colocó en piezas 1.4 ligadura alásticos y en piezas 2.4 ligadura metálica. Se evaluaron índices periodontales de dichas piezas antes de colocar las ligaduras y al mes. Con una cureta tipo Gracey se retiró la placa supragingival y con la otra parte de la misma se tomó muestra alrededor del bracket de las piezas en estudio y se colocó en tubo Eppendorff con solución fisiológica estéril. Asimismo al retirarse las ligaduras a los 30 días se colocaron cada una en un tubo con igual solución. Las especies de levaduras se identificaron en medio cromogénico, Api, ID 32 crecimiento a 45 C, y amplificación de ADN por PCR con primers panfúngicos. Se realizó análisis estadístico de los datos

RESULTADOS

La profundidad al sondaje fue de $1 \pm 0,7$ pre-tratamiento y a los 3 meses $\pm 1,14$ en los sitios de segundos premolares derechos. La adherencia de *Candida spp* a las ligaduras alásticos presentó una diferencia estadísticamente significativa (prueba de t de Student, $p < 0,0005$) sobre el metal. La prevalencia de levaduras en placa subgingival en la población estudiada fue de 40%, el 29% de los pacientes estudiados tenían transporte de levadura en los dos nichos simultáneamente. La especie más prevalente fue *Candida albicans* (67% de los casos), seguida por *Candida dubliniensis* (13.5), *Candida glabrata* (7.6%) y otras especies (11.9 %).

CONCLUSIÓN

Las ligaduras alásticos presentan mayor adhesión fúngica que las de metal. Pueden ser nicho a partir del cual se genere diseminación sistémica de dichos microorganismos.

H05

ESTUDIO DE LA PREVALENCIA DE FACTORES OCLUSALES PREDISPONENTES PARA TRASTORNOS temporomandibulares (TTM)

Castillo JJ*, Altamiranda S, Bertolotti C, Folco AA, Mateu ME
Cátedra de Ortodoncia de la FOUBA.

Los TTM son alteraciones del funcionamiento del sistema estomatognático, que afectan diferentes componentes del mismo. Son de etiología multifactorial y sintomatología variada. Algunos tipos de maloclusión tienen un alto grado de asociación con TTM según estudios previos, aunque existen controversias.

Objetivo: Determinar la prevalencia de características oclusales consideradas como factor de riesgo para el desarrollo de TTM en pacientes pre-ortodóncicos.

Métodos: Se analizaron 261 estudios fotográficos diagnósticos iniciales de pacientes entre 11 y 45 años de edad de ambos sexos que ingresaron a la Cátedra de Ortodoncia de la FOUBA para su atención. Se determinó la presencia o ausencia de las siguientes variables oclusales consideradas factores de riesgo para TTM: mordida invertida posterior: unilateral (MIU) y bilateral (MIB), mordida en tijera (MET), mordida invertida anterior (MIA), mordida abierta anterior (MAA) y mordida profunda (MP).

Resultados: Se registraron: 51 pacientes (19,54%) sin factores oclusales pre disponentes, 154 pacientes (59%) con al menos un factor, 52 pacientes (19,92%) con dos factores, 3 pacientes (1,15%) con tres factores y 1 paciente (0,39%) con 4 factores. En total 72 pacientes (27,58%) tuvieron M.I.U.L, 70 pacientes (26,82%) con M.P, 46 pacientes (17,62%) con M.I.A, 38 pacientes (14,55%) con M.A.A, 33 (12,64%) con M.I.B.L y 12 (4,59%) con M.T.

Conclusiones: Es importante realizar un buen examen clínico para evaluar la presencia de TTM previo al tratamiento ortodóncico, ya que sólo el 19,54% de los pacientes evaluados no registró factores oclusales pre disponentes para desarrollar TTM.

H06

VALORACIÓN EN PACIENTES PRE-ORTODÓNCICOS DE LAS CORTICALES ALVEOLARES VESTIBULARES. ESTUDIO PRELIMINAR (CBCT)

Bruno G 1*, Benítez Rogé S 2, Iglesias M 2, Riguero G 2, Minutolo M del C 2, Hecht P 3, Folco AA 2, Mateu ME 2. Cátedras de Ortodoncia², Radiología¹ y Biofísica³ de FOUBA

El tratamiento ortodóncico influye en la relación entre piezas dentarias y su cortical. Con el diagnóstico convencional basado en RX (panorámica, tele-rx o periapicales) la información que tenemos acerca de las corticales es reducida. La utilización de la tomografía computada Cone Beam (CBCT) brinda datos precisos de la relación existente entre tablas óseas y piezas dentarias de los pacientes evaluados. **Objetivo:** Comparar la relación entre incisivos, caninos, premolares con su cortical de la cresta alveolar en tomografías CBCT de pacientes pre-ortodóncicos. **Materiales y Métodos:** Se analizaron CBCT de ambos maxilares de 12 pacientes adultos de ambos sexos pre-ortodóncicos con apiñamiento dentario de la Cátedra de Ortodoncia de la FOUBA. Se empleó un equipo tomográfico Kodak 3D 9000 con brazo cefalométrico. Un operador radiólogo efectuó las mediciones sobre un corte de 200 μ m, axial al eje longitudinal dentario en sentido vestíbulo-palatino. Las piezas sin tabla ósea vestibular se eliminaron de la muestra. Se obtuvo el promedio de la distancia entre el límite amelocementario y la cortical de la cresta alveolar para cada pieza (LAC) en ambos maxilares. **Resultados:** La distancia promedio de LAC en mm, en maxilar superior es: 2° premolar: 1,2 \pm 0,7; 1° premolar: 2,4 \pm 2,6; canino: 2,5 \pm 2,2; inc. lateral: 2,4 \pm 0,9; inc. central: 1,9 \pm 0,9. En maxilar inferior es: 2° premolar: 2,0 \pm 1,9; 1° premolar: 2,6 \pm 2,4; canino: 3,7 \pm 3,5; inc. Lateral: 1,7 \pm 1,2; inc. Central: 1,9 \pm 0,9. No hay diferencias significativas entre maxilares, considerados como un pool entre todos los dientes. Sí hay diferencia estadísticamente significativa entre las piezas consideradas cada una como pool para ambos maxilares ($p= 0.025$). **Conclusión:** En todos los promedios de LAC las piezas dentarias de pacientes con maloclusión y apiñamiento dentario fueron mayores al valor normal de 1mm. El canino inferior presentó la mayor variación entre los valores encontrados de LAC. La CBCT pre-ortodóncica permite observar piezas con la cortical de la cresta disminuida o inexistente.

H07

ANÁLISIS VERTICAL DE LAS ARCADAS EN DENTICIÓN TEMPORARIA Y MIXTA TEMPRANA

Martínez MC*, Ferraris ME

Cátedra de Integral Niños y Adolescentes y de Histología. Facultad Odontología UNC

Introducción: El análisis y seguimiento del crecimiento y desarrollo dental y oclusal del niño, junto a la transferencia de características de una dentición a otra, son considerados elementos fundamentales para el diagnóstico y tratamiento preventivo.

Objetivos: El propósito de este trabajo fue determinar las modificaciones en el desarrollo vertical que se producen entre la dentición temporaria (DT) y la mixta temprana (DM), con la erupción de los primeros molares permanentes.

Material y Método: Se realizó un trabajo descriptivo longitudinal en una población de 152 niños, de ambos sexos, correspondientes al periodo de utilidad y de desgaste en DT y al inicio de la DM considerando las variaciones verticales de las mismas a través de mediciones sobre modelos de yeso obtenidos de impresiones bucales en los tres momentos denticionales mencionados. Se realizó test t y análisis multivariado de correspondencia (paquete estadístico SPSS). Se fija $p < 0,05$ para significación estadística.

Resultados: los valores de Overbite variaron entre la DT y la DM. La muestra en DT presentó la siguiente distribución: leve 18%, moderada, 34%, profunda 40 %, borde a borde 8%, negativa 0% En DM los valores fueron 39%, 38%, 16%, 1% y 6 % respectivamente. Al comparar ambos grupos se observó una disminución de los niveles de sobremordida profunda y un aumento de la sobremordida leve con la variación etaria, la erupción dentaria y la dentición ($p<0,05$).

Conclusión: Las relaciones verticales incisivas profundas y mejoran con la diferencia etaria con una tendencia a establecerse una sobremordida leve a moderada.

H08

EVALUACIÓN DEL ESPESOR DE PELÍCULA GENERADO POR TRES MEDIOS DE FIJACIÓN PARA BRACKETS

Garrofé A*, Asueta M, Gonzalez N, Kaplan

Cátedra Materiales Dentales, Facultad de Odontología, Universidad de Buenos Aires.

Objetivo: El objetivo de este trabajo fue determinar el espesor de película generado por tres resinas reforzadas empleadas en la fijación de brackets. **Materiales y métodos:** Se utilizaron incisivos centrales superiores izquierdos confeccionados con composite nanoparticulado (n=5). Para obtener la misma superficie en todas las probetas se utilizó como modelo un diente de stock. A este se le realizaron indentaciones que correspondían a la medida de la base del bracket para estandarizar la ubicación del mismo. Se tomaron impresiones a este diente y se confeccionaron los modelos con Filtek Z350XT (3M Espe). Sobre la superficie vestibular se cementaron brackets metálicos OptiMim (Ortho Organizers, Inc) utilizando tres materiales distintos: un medio de fijación para restauraciones rígidas (Relyx U200) [G1], un medio de fijación especialmente diseñado para ortodoncia (Transbond XT) [G2] y una resina para restauraciones con la aplicación de sistema adhesivo de grabado independiente (Z100) [G3]. Para la maniobra de fijación del bracket se aplicó una carga equivalente a 50N con un dinamómetro y se polimerizó con lámpara halógena. Las muestras fueron cortadas a nivel del slot y luego observadas y fotografiadas con microscopio metalográfico (Axio Imager A1.N, Carl Zeiss). Las imágenes se analizaron con software para procesamiento de imágenes (UTHSCSA ImageTool) midiendo la distancia existente entre el bracket y el diente, tanto en el extremo mesial como distal. Los resultados obtenidos fueron analizados mediante análisis de varianza. Se estableció el valor de alfa en 5%. **Resultados:** Las medias y los desvíos estándar (mm) para cada grupo fueron: [G1]0,249(±0,019); [G2]0,272(±0,021); [G3]0,239(±0,016). El análisis de varianza mostro la ausencia de influencia significativa entre los diferentes materiales evaluados. **Conclusión:** bajo las condiciones experimentales de este estudio podemos concluir que el espesor de película obtenido en el cementado de brackets no se ve influenciado por el medio de fijación utilizado. Este trabajo fue parcialmente financiado por el subsidio 20020120100109 de la Programación Científica de la UBA.

H09

ANÁLISIS PRELIMINARES DE ARCOS RECTANGULARES DE NITINOL: FUERZAS LINEALES

Pedroso RL, Morata M, Pérez Bazán ME, Politi Mattar CM*, Avellaneda RA, Sosa G, Pedroso LE

Cátedra de Ortodoncia. Facultad de Odontología. Universidad Nacional de Tucumán.

Las aleaciones de Níquel Titanio, se comportan contrayéndose con el aumento de la temperatura, por lo que se los denomina alambres musculares. **Objetivo:** determinar el comportamiento muscular de los arcos de nitinol en un medio líquido según la variación de temperatura. **Material y método:** La muestra consta de 50 arcos, 10 de Níquel Titanio (control) y 20 arcos superelásticos, de 0,017 mm x 0,025 mm y 20 arcos de 0,021 mm x 0,028 mm de GAC (marca comercial Neo Sentalloy). Se cortó una sección lineal de 7,5 cm de cada arco para realizar la medición. A un dinamómetro se fijó un soporte con dos uniones firmes, una al eje de la tracción del dinamómetro y otra a 7cm por debajo; entre ambos se fijó el alambre en estudio y se introdujo en una cuba con un circuito de entrada y salida de agua y un termómetro digital. Partimos de una fuerza tensional de 100 g y luego llevamos al dinamómetro a 0 g para medir la fuerza de contracción. Se realizaron mediciones a 60°C, 50°C, 40°C, 30°C y 20°C, una por cada arco. **Resultados:** Se realizó un análisis descriptivo de las fuerzas musculares o de contracción producidas por dos tipos de arcos (n=15) Nitinol Superelástico y (n=3) para Nitinol. El método estadístico que se utilizó fue el Test t, dando como resultado que no hay diferencias significativas en las fuerzas de contracción de los distintos arcos analizados a diferentes temperaturas ($p > 0,01$). **Conclusiones:** la fuerza máxima se desarrolla a 60°C como fuerza de contracción, ésta disminuye con la temperatura, pero al llegar a 20°C se convierte en fuerza de dilatación, que se puede leer en el display del dinamómetro como fuerza negativa. La respuesta de arcos superelásticos y de nitinol fue similar en todos los casos.

Proyecto Financiado por CIUNT

I01

ASOCIACIÓN ENTRE EL TRABAJO Y LA REGULARIZACIÓN DE HISTOLOGÍA Y EMBRIOLOGÍA, 2013

Sánchez LM*, Coria SH, Gualtieri, AF, Mandalunis PM

Cátedra de Histología y Embriología, FOUBA. * Cátedra de Biofísica, FOUBA

Durante el ciclo lectivo 2013 fue importante la deserción de los estudiantes en las últimas etapas del curso (25.5% de un total de 386 alumnos inscriptos) por no presentarse a rendir los exámenes o por inasistencias. Según el Censo UBA 2011, el 60% de los estudiantes trabaja. En la Facultad de Odontología, el índice de estudiantes trabajadores es menor (42, 6%). Dados nuestros antecedentes del ciclo lectivo 2013, el objetivo de este trabajo fue evaluar si existe una asociación entre la ocupación laboral y la regularización de la asignatura del curso de Histología y Embriología 2013. **Metodología:** Para este estudio, 110 estudiantes divididos en dos grupos (Libres y Regulares) respondieron un breve cuestionario. Los resultados fueron analizados mediante pruebas Chi-cuadrado de asociación y bondad de ajuste. Se fijó un nivel de significación de 0,05. Se calcularon intervalos de confianza al 95 por ciento (IC95) para porcentajes mediante el método score de Wilson. **Resultados:** Se detectó una asociación significativa entre trabajar y la regularización de la asignatura ($P < 0,001$): el porcentaje de regulares fue mayor dentro de los alumnos que no trabajaban (73%; IC95 = 60% a 83%) que dentro de aquellos que sí lo hacían (33%; IC95 = 22% a 47%). No hubo asociación entre la historia de la cursada de histología (cursaba o no por primera vez) y la regularidad de la asignatura ($P = 0,31$). Dentro del total de estudiantes que no regularizaron el curso en el año 2013, el mayor porcentaje logró hacerlo en el año 2014 (60%; IC95 = 46% a 72%). **Conclusión:** Los resultados indican que los alumnos que no trabajan tienen mayor posibilidad de regularizar el curso. Es importante destacar que la mayoría de los alumnos que no regularizan el curso en una primera instancia, pudieron lograrlo el año siguiente. Este seguimiento sugiere la necesidad de evaluar en el futuro, recursos/herramientas alternativos para esta población de estudiantes, como el uso de Campus o Tutorías virtuales.

I02

PERCEPCIÓN DE ESTUDIANTES DE ODONTOLOGÍA REFERIDO AL CONOCIMIENTO DE MEDIDAS PREVENTIVAS

Valdez A*, Medici S, Salgado P, Argentieri A

Cátedra de Odontología Preventiva y Comunitaria. Facultad de odontología de la Universidad de Buenos Aires

OBJETIVO: Aplicar un cuestionario capaz de caracterizar las percepciones de estudiantes de la carrera de odontología respecto de la utilización de medidas preventivas. **MÉTODO** El instrumento utilizado es un cuestionario llevado a cabo en Finlandia traducido y adaptado al español. Consta de 41 ítems. Los dominios fueron: (a) conocimientos sobre Medidas Preventivas y su aplicación (b) conocimientos sobre factores de riesgo referidos a caries dental; (c) actitudes frente a los conocimientos adquiridos. Participaron 100 estudiantes de 6^a año de la FOUBA, quienes completaron el cuestionario empleando una escala de frecuencia tipo Likert de 5 categorías y variable de respuesta múltiple. La estadística empleada fue distribución de frecuencia y porcentaje. **RESULTADOS:** Para el dominio a) la información recibida sobre actividades e indicaciones de medidas preventivas fueron obtenidas con mayor frecuencia para las clases teóricas (79,7%) apoyadas en menor medida por prácticas con demostración y atención clínica, excepto el ítem de comprimidos con fluoruros que fueron obtenidos mediante las prácticas con demostración (94,9%). Según el criterio del alumno la efectividad de la aplicación de medidas preventivas en las distintas situaciones clínicas mencionadas, la respuesta muy efectiva y efectiva tuvo los mayores porcentajes entre 100% y 85,7%; el 70,9% de los alumnos consideró que necesita más información clínica sobre medidas preventivas para caries dental, y el 72,1% de los alumnos respondió que recomienda la aplicación de medidas preventivas. Para el dominio b) la información recibida sobre factores de riesgo como también sobre las patologías sistémicas; las clases teóricas tuvieron el mayor porcentaje entre 91,1% y 100% y entre 70,9 y 98,7%. Para el dominio c) sobre la aplicación clínica, solo el 38% de los alumnos respondió que la información fue muy buena y un 36,7% que fue buena. **CONCLUSIÓN:** El cuestionario elaborado resultó preliminarmente válido, aunque restaría determinar su confiabilidad en función del tiempo de aplicación. Por otro lado, la percepción informada por los estudiantes podría constituir una reestructuración en la enseñanza futura de medidas preventivas.

I03

APRENDIZAJES PREVISTOS Y NO PREVISTOS EN LA ASIGNATURA ARTICULACIÓN DOCENCIA-SERVICIOS DE SALUD

Probe C, Pedemonte Z*

Catedra de Odontología Preventiva y Comunitaria – Facultad de Odontología –
Universidad de Buenos Aires

OBJETIVO: Identificar aprendizajes de relevancia en el trabajo final del curso Articulación Docencia Servicios de Salud (ADSS) del 6º año de Odontología (UBA). **MÉTODOS:** Se analizaron 23 documentos, producción colectiva de 150 alumnos distribuidos en 14 sedes a cargo de 25 docentes. La estrategia de enseñanza de la asignatura Articulación Docencia - Servicios de Salud se planteó desde los modelos: "Aprendizaje Experiencial" (Kolb, 1984) y "Aprendizaje por Invención Guiado por Modelo Accesible" (Bruner, 1987). El registro documental reveló el desempeño de los estudiantes durante un ciclo lectivo. Incluyó el análisis de situación de la población asistida; el programa diseñado para la sede; los resultados alcanzados y su contrastación; el estudio descriptivo socio-epidemiológico: "Situación de salud de la población destinataria del programa al inicio del ciclo 2013" y la formulación de una pregunta que cada alumno enunció con el propósito de contribuir a la mejora y fortalecimiento de la sede a través de la investigación. Para el análisis se seleccionó el Método Comparativo Constante (Teoría Fundamentada de Glaser y col. 1967), que incluyó recolección de información, codificación y análisis simultáneo. **RESULTADOS:** Los determinantes sociales de la salud estuvieron presentes en la descripción del análisis de situación de todas las carpetas. Los estudiantes registraron los resultados del programa: se observaron dificultades en la contrastación con las metas, su interpretación y análisis, que remite a un enfoque de aprendizaje superficial (Entwistle, 1988). El estudio descriptivo socio epidemiológico puso en evidencia dificultades metodológicas en la redacción de la discusión y las conclusiones. El análisis de las preguntas formuladas por los estudiantes admitió la siguiente clasificación: preguntas que interpelan - que permiten comprender el programa, que aportan a la mejora y que tienen la intención de amplificar los alcances del programa (51%) y preguntas "de juguete" (Litwin, 1996) (49%). **CONCLUSIONES:** Los resultados obtenidos, mediante la aplicación del instrumento seleccionado, expresan dificultades de los alumnos para reflexionar sobre la información relevada y requieren la profundización en la formación docente para ayudar a canalizar la densidad conceptual que emana de la estrategia ADSS

I04

CLINICAS INTEGRADAS. TRIANGULACIÓN ANALÍTICA PARA LA VALIDACIÓN DE INVESTIGACIONES DE RÉPLICA EN EDUCACIÓN ODONTOLÓGICA

Argentieri A*, Salgado P, Bordoni N

Odontología Preventiva y Comunitaria, FOUBA e IISAP/UBA

Este estudio constituye la segunda etapa de una investigación sobre educación superior en salud. **Marco teórico:** (a) el modelo de aprendizaje constructivista y (b) la triangulación, como técnica de confrontación y herramienta de comparación entre diferentes tipos de análisis o fuentes de datos. **Objetivo:** Desarrollar un proceso evaluativo de clínicas integrales (CI) y potenciar las conclusiones mediante la triangulación analítica de la percepción en dos grupos de estudiantes de diferentes universidades. **Metodología:** (1) Desarrollo de una encuesta incluyendo preguntas de respuesta cerrada y abierta. (2) Validación de constructo por opinión de expertos. (3) Elección intencionada de dos facultades con diferente estructura curricular. (4) Prueba de comprensión semántica sobre una muestra aleatoria de alumnos. (5) Aplicación de las encuestas en tres grupos de alumnos: total de los alumnos de una comisión de 4º año de la carrera de Odontología de la UNRN (**GA:** n=21) y total de alumnos de comisiones de 4º año y de 6º año de la carrera de FOUBA (**GB:** n=27 y **GC:** n=13). (6) Tratamiento estadístico para preguntas dicotómicas (test χ^2 y pruebas exactas) y análisis semántico estructural de respuestas abiertas. **Resultados:** (a) En todos los grupos: existió reconocimiento de integración clínica para resolver problemáticas bucales complejas; la existencia de asignaturas integradas en el currículo; la responsabilidad asistencial e investigativa que debe asumir el Hospital Universitario. (b) No hubo diferencias significativas entre los grupos al analizar la dependencia/independencia de las asignaturas entre sí ni al reconocer la complejidad creciente entre ellas; (c) Los grupos GA y GC reconocieron el carácter de generalistas de los docentes de asignaturas intramurales. (d) Los GA y GB mostraron mayor reconocimiento de integración clínica en las asignaturas extramurales ($P < 0,001$) así como en su carácter curricular ($p = 0,04$) aplicando test de pruebas exactas. (e) Existieron divergencias no significativas en la percepción de los alumnos respecto del significado y carácter de la integración clínica. **Conclusión:** La percepción de los alumnos en las muestras parece responder al modelo curricular de las unidades analizadas y a las experiencias propias del nivel alcanzado en la carrera.

I05

EVALUAR LA EFICIENCIA DE LAS ESTRATEGIAS UTILIZADAS EN UN PROGRAMA ESCOLAR EDUCATIVO-PREVENTIVO

Manzano M, Brasca N*, Girardi M, Santillán ME, Herrera A, Porta J, Larghi C, Calvimonte C
Facultad de Odontología UNC

Una de las estrategias para alcanzar la salud es mediante el empoderamiento de los ciudadanos por medio de la Educación que implica un proceso mediante el cual se transmiten conocimientos interviniendo la creatividad y la investigación permitiendo, tanto a los educandos como a los educadores, reconocer los problemas y diseñar estrategias para contribuir a su solución. **Objetivo:** Evaluar la influencia del componente educativo-recreativo-asociativo, en la higiene oral y en los conocimientos de salud bucal. **Materiales y Métodos:** se trabajó sobre una población de 82 niños (6-9 años) de la escuela Eloy Gómez, de Falda de los Reartes, Córdoba. Mediante encuestas se determinó el grado de conocimientos previos sobre salud bucal. Se diseñaron y aplicaron actividades lúdicas, prácticas de higiene bucal, recursos visuales, talleres y difusión radial entre otras, en conjunto con docentes, alumnos, padres y comunidad en general. Para medir los conocimientos adquiridos se emplearon cuestionarios y encuestas adaptados a las edades de los niños, ambos instrumentos validados por un grupo de especialistas en el área, donde se evaluaron hábitos y conductas saludables o no. **Resultados** Se utilizó la prueba de chi cuadrado a efectos de establecer la asociación de las características observadas. Las que presentaron diferencias significativas ($p < 0,05$) fue la adquisición de conocimientos de hábitos saludables. El resto de las variables no presentó diferencias significativas excepto el origen del sangrado de las encías y momentos del cepillado ($p < 0,05$). **Conclusión:** podría inferirse que el uso de las distintas estrategias favoreció el conocimiento para el cuidado de la salud bucal de los niños, podrían planificarse nuevas experiencias de enseñanza-aprendizaje

I06

BIOÉTICA ODONTOLÓGICA: INTERVENCIÓN PEDAGÓGICO DIDÁCTICA CON CINE DEBATE EN ALUMNOS DE ODONTOLÓGIA UNCUYO

Giaquinta MA*, Pascucci J, Fracapani M, Pesce E, Conill J
Facultad de Odontología Universidad Nacional de Cuyo

Esta investigación contribuye a la formación de profesionales de la salud odontólogos con sólido perfil humanístico.

OBJETIVOS: 1) Identificar actitudes y valores relacionados con la práctica clínica en alumnos de 3° Odontología. 2) Evaluar la introducción de cambios curriculares con cine debate en el espacio curricular para Bioética como contenido transversal a Periodontología I.

METODOLOGÍA: Se realizó un estudio longitudinal, descriptivo, cualitativo (hermenéutica, grupos focales, observación) y cuantitativo (encuestas), con posterior triangulación de datos y metodología. Sobre el universo de alumnos cohorte 2014 ($n=40$) se realizaron las siguientes actividades: (1) aplicación de encuesta diagnóstica; (2) elaboración de guías para grupos focales y observación de prácticas grupales; (3) desarrollo de talleres en pequeños grupos de alumnos y aplicación de técnica de grupos focales, promoviendo participación e intercambio de opiniones; (4) debate de temáticas bioéticas afines y reflexión en sesión de cine debate; (5) aplicación de una encuesta al finalizar la sesión. Las respuestas se categorizaron (método de Glaser y Strauss) e interpretaron por hermenéutica.

RESULTADOS: (1) Encuesta inicial: los alumnos manifestaron: debatir temas de interés, aplicables a la clínica (Bioética clínica) y para la vida diaria (proyección a su vida personal). (2) Encuesta cine debate: (a) Se identificaron las fortalezas (contenidos importantes, participativos, interesantes). (b) Los alumnos expresaron influencia relevante de la bioética en su formación profesional y su vida personal, resaltando aspectos de las prácticas (comunicación, profesionalismo; actitudes: respeto por las personas y desarrollo de autoestima, autonomía, tolerancia y solidaridad).

CONCLUSIONES: (1) La estrategia del cine debate contribuyó a la comprensión de temáticas bioéticas abordadas (2) La incorporación de la Bioética contribuye a la formación integral de los alumnos de la Carrera de Odontología

I07

AUSENTISMO EN LAS MESAS EXAMINADORAS DE BIOESTADÍSTICA, PERIODO

2005-2012

Tomas L*, Medina M M, Coscarelli N, Rueda L, Papel G, Tissone S, Vera Iturriaga J
FONLNP

OBJETIVO: Determinar el porcentaje de ausentismo registrado en los diferentes turnos de examen de Bioestadística, periodo 2005-2012. **MÉTODOS:** Se analizaron las 11 mesas anuales de exámenes finales registradas en el lapso comprendido entre los años 2005-2012 y el número de ausentes discriminados por año y por llamado en cada uno de los turnos. Sobre un total de 1.444 (100%) inscripciones, 493 (34,14%) correspondieron a la categoría de ausentes. Esta proporción puede considerarse elevada en tanto indica que 1 de cada 3 estudiantes que se inscribe para rendir el examen final no se presenta al mismo. Los datos obtenidos se analizaron por medio del software estadístico InfoStat® utilizando test de Duncan con nivel de significación $\alpha=0,05$. **RESULTADOS:** Al considerar el número de ausentes discriminados por turno y llamado y expresados como proporción del total de las inscripciones efectuadas en el turno respectivo se constató la siguiente distribución: Marzo (43/139=30,94), Abril (48/140=34,29%), Mayo (53/144=36,81%), Junio (54/160=33,75%), Julio (31/99=31,31), Agosto (32/80=40,00%), Septiembre (70/156=44,87%), Octubre (39/111=35,14%), Noviembre (19/56=33,93%), 1° Diciembre (54/142=38,03%), 2° Diciembre (50/217=23,04). Tomando como valor de referencia (493/1444=34,14%) se calcularon las frecuencias esperadas en función del total de inscripciones registradas en cada llamado de cada turno sin constatarse diferencias significativas ($X^2=8,266$; $P=0,603$). Se constató: 2005 (93/205=45,37%), 2006 (67/164=40,85%), 2007 (83/190=43,68%), 2008 (44/155=28,39%), 2009 (50/167=29,94%), 2010 (61/216=28,24%), 2011 (58/180=32,22%), 2012 (37/167=22,15%). Reiterando el análisis basado en el valor de referencia del 34,14% (493/1444) para el cálculo de las frecuencias esperadas en función del total de inscripciones registradas en cada año, se observó una diferencia significativa ($X^2=13,95$; $P=0,05$) con valores mayores de ausentismo en el trienio 2005-2007 (243/559=43,47%) que en el quinquenio 2008-2012 (250/885=28,25%). **CONCLUSION:** El nivel de ausentismo fue elevado con evidencia de reducción en los últimos años.

I08

IMPACTO DEL VINCULO ESTUDIANTE-PACIENTE EN LA PRÁCTICA CLÍNICA.

FACULTAD DE ODONTOLOGÍA. U.N.C. 2013

Marega G*, Sanchez Dagùn, M

Cátedra de Odontología, Facultad de Odontología, UNC

OBJETIVO: conocer aspectos de la relación docente-alumnos-pacientes en las prácticas clínicas odontológicas de pregrado. **MÉTODO:** Cuanti-Cualitativo Retrospectivo. Descriptivo. Transversal. Observacional. La Muestra se obtuvo de alumnos y pacientes del ciclo profesional $N=298$. Se realizó un muestreo aleatorio simple considerando una media del 25% $n=70$, para alumnos y el mismo número para pacientes. El instrumento de recolección de datos fueron dos encuestas individuales semi-estructuradas (una para cada grupo), construidas a los fines de la investigación, validadas por expertos y pares. Las dimensiones de estudio fueron: relación docente- alumno-paciente y calidad de la atención recibida. Las variables de estudio: captación del paciente, tipos de comunicación para la primera dimensión, y percepción de la atención brindada al paciente para la segunda. **RESULTADOS PRELIMINARES:** captación del paciente: por recepción de pacientes (14 personas) el 8,69%; por demanda espontánea a la facultad (9)5,59%, en centros de salud pública (19) el 11,80%, avisos gráficos en la vía pública (59) el 36,64%, por amigos, familiares y allegados (51) el 31,67%, otros (9) el 5,59%. En relación al tipos de comunicación que los alumnos utilizan con sus pacientes: el 13,69%(10) lo hace personalmente, a través de celulares y/o redes sociales el 9,58%(7) y por las dos anteriores, el 76,71%(56); y para percepción del paciente sobre la atención brindada por el alumno: muy buena el 77,14%(54) y buena (16)22,85% de los pacientes encuestados. **CONCLUSIÓN:** la percepción del paciente sobre la atención recibida fue muy buena en un alto porcentaje a pesar de las diferentes fuentes de captación de los mismos y la diversidad de tipos de comunicación establecidos.

I09

VOLUNTARIADO UNIVERSITARIO: UN ESPACIO PARA FORMAR PROFESIONALES COMPROMETIDOS CON LA SOCIEDAD

Azcurrea AI*, Rezzónico MS, Barembaum SR, Scatena MG, Lehner Rosales EMP, Rubio S, Tessio Conca A, Giraudo M, Bisio CL, Carpentieri AR

Facultades de Odontología y de Ciencias Agropecuarias. Universidad Nacional de Córdoba.

Este trabajo presenta la experiencia desarrollada en el marco del Programa de Voluntariado Universitario, de un grupo de alumnos pertenecientes a Odontología, Ciencias Agropecuarias, Ciencias de la Educación, Nutrición y Medicina, comprometidos con una problemática social a fin de garantizar el Derecho a la Salud. La propuesta recupera a la escuela como un espacio para el desarrollo de prácticas que contribuyan a la creación de condiciones favorables para una vida sana y a la adopción de actitudes y comportamientos que favorezcan a la salud. **Objetivo:** Formar a los voluntarios para que desde una mirada integral de los derechos, y a través de un trabajo en red desde la escuela con otras instituciones, sean promotores activos de salud comunitaria. **Métodos:** En un contexto de alta vulnerabilidad se desarrollaron actividades en conjunto con la comunidad educativa Curaca Lino Acevedo que incluyeron: organización de una huerta escolar, desarrollo de talleres focalizados en salud bucal, alimentación sana y prevención de enfermedades infecciosas. Se emplearon las siguientes estrategias: teatralizaciones, juegos, entrega y concientización de uso de un kit personal de higiene, entrega de folletería de apoyo. Con los maestros se trabajaron en las actividades escolares y se realizaron salidas educativas referidas a la problemática del proyecto. **Resultados:** La información recogida a través de entrevistas, encuestas y observación participante, puso en evidencia que: -Se generaron vínculos entre los voluntarios y la comunidad educativa a partir de la visita a una huerta modelo y al vivero de la UNC siendo un paso previo a la confección de la huerta escolar. -Los talleres para niños y padres impactaron positivamente en los voluntarios, ya que los acercó a las necesidades de las familias generando un elevado grado de responsabilidad social. **Conclusión:** Como resultado de un trabajo conjunto entre profesionales de diferentes áreas, los voluntarios pudieron desplegar distintas competencias y habilidades vinculadas con el trabajo en equipo, necesarias para abordar la complejidad de las problemáticas sociales. Las estrategias y acciones de educación para la salud a nivel escolar y familiar, generadas por los voluntarios, contribuirían a la adquisición de hábitos de vida saludable. La responsabilidad con que los voluntarios asumieron las actividades daría cuenta de su compromiso con la realidad social. Financiado por SEU-UNC y SPU

I10

MANIFESTACIONES DEL ESTRÉS AUTOPERCIBIDO EN MOMENTOS DIFERENTES DEL CURSADO DE LA ASIGNATURA INTRODUCCIÓN A LA ODONTOLOGÍA

Aramburú G, Berta MJ, Lissera G, Lorenzo M, Osilio M, Rodríguez I, Scherma ME, Zamar A*

FACULTAD DE ODONTOLOGIA - UNC

Introducción: El ingreso a la Universidad representa para los estudiantes una modificación en su estilo de vida poniéndose en juego una serie de mecanismos de adaptación para hacer frente a las nuevas exigencias. Sin embargo no todos los estudiantes poseen las estrategias adecuadas para afrontar las nuevas demandas. Esta falta de control sobre el nuevo ambiente genera estrés y junto a otros factores son potenciales generadores del fracaso académico. **Objetivo:** Identificar y comparar las reacciones físicas, psicológicas y comportamentales en dos momentos diferentes del cursado de la asignatura. **Materiales y métodos:** Se realizó un estudio exploratorio y descriptivo recolectándose la información con una encuesta en momentos previos al primer y segundo examen parcial. La muestra fue constituida de forma aleatoria por 150 alumnos. Los datos recogidos se analizaron estadísticamente. **Resultados:** Si bien hubo una leve tendencia en aumento hacia el segundo parcial, no hubo diferencias significativas cuando se compararon las reacciones físicas, psicológicas y comportamentales de dichos momentos ($p > 0.05$). Sin embargo podemos inferir que el número de aplazos en el primer parcial fue significativamente mayor que en el segundo ($p < 0.05$). **Conclusión:** A pesar de que los momentos analizados son disímiles entre sí, se detectaron las mismas manifestaciones de estrés autopercebido en ambos momentos. La falta de adaptación al estrés, se deba probablemente a las distintas expectativas y exigencias que guardan las diferentes instancias analizadas.

I12

CONCEPCIONES EPISTEMOLOGICAS PRESENTADAS EN LIBROS DE TEXTO UNIVERSITARIOS

Escandriolo Nackauzi JD*, Peme C, Actis AB

Cátedra B de Anatomía, Facultad de Odontología y Departamento de la Enseñanza de la Ciencia, Facultad de Ciencias Exactas, Físicas y Naturales, Universidad Nacional de Córdoba. Córdoba, Argentina

OBJETIVOS: Analizar las concepciones epistemológicas (CE) sobre la naturaleza de la ciencia reflejadas en algunos libros de texto (LT) de nivel universitario a fin de determinar si son coincidentes con los actuales enfoques teóricos de la enseñanza de las ciencias.

MÉTODOS: Se seleccionaron los capítulos inicial, intermedio y final de la última edición de algunos de los LT utilizados en las asignaturas de Anatomía (Figún-Garino, 2010), Biología celular (Campbell-Reece, 2007) e Histología (Gómez de Ferraris-Campos Muñoz, 2009) del primer año de la carrera de Odontología, Universidad Nacional de Córdoba. Se aplicó un diseño de estudio cualitativo estableciéndose las siguientes categorías de análisis: ciencia; conocimiento científico; progreso de la ciencia; metodología científica; científico; ciencia, tecnología, sociedad y ambiente. Además, se realizó un análisis cuantitativo de la frecuencia de aparición de conceptos o ideas referidas a las CE en los párrafos de los capítulos seleccionados de cada LT. Para la realización de la investigación se utilizó la técnica de análisis de contenido.

RESULTADOS: Las CE presentes en el LT de Anatomía coinciden, en general, con una orientación tradicional y empirista. Sin embargo, se detectan algunos párrafos coherentes con una visión actualizada. En el LT de Biología se aprecia una caracterización de la naturaleza de la ciencia que está vinculada con la visión moderna. Entre las enunciaciones de los contenidos biológicos se encuentran párrafos que proponen una mayor complejización de las cuestiones relacionadas con ella. El LT de Histología presenta, principalmente, una cosmovisión actualizada de la naturaleza de la ciencia, aunque también incluye algunas expresiones que corresponderían a perspectivas positivistas. En cuanto a la cuantificación, se observó que el 8%, 34% y 19% de los párrafos analizados de los LT de Anatomía, Biología e Histología, respectivamente, hace mención a conceptos relacionados con la naturaleza de la ciencia.

CONCLUSIONES: La última edición de cada uno de los libros de texto analizados presenta distintos grados de adecuación a los enfoques teóricos actuales sobre las CE de la naturaleza de la ciencia.

I13

EVALUACIÓN DE UN INFORME DE LABORATORIO Y SU RELACIÓN CON LA CALIFICACIÓN EN EL TRABAJO PRÁCTICO DE TENSIÓN SUPERFICIAL

Merletti SM*, Alderete S, Perez L, Nieman N

Cátedra de Biofísica, FOUNT. Av. Benjamín Aráoz 800. (4000) San Miguel de Tucumán

Un informe de laboratorio bien escrito ayuda a la comprensión de la experiencia de laboratorio. Los alumnos aprenden a:(a) aprender uno del otro, (b) la forma de ayudar a que sus compañeros aprendan;(c) evaluar el trabajo de sus pares, (d) dar retroalimentación constructiva tanto para ellos mismos como para sus compañeros.

Objetivo: evaluar el cumplimiento de los ítems requeridos en la elaboración de un informe de laboratorio y relacionar su desempeño en el desarrollo del trabajo práctico *Medición de la Tensión Superficial* con la calificación promedio obtenida en dichos informes.

Material y método: La experiencia se realizó durante el trabajo práctico *Medición de la Tensión Superficial* en la Cátedra Biofísica(1) Se tomó una muestra al azar de 100 estudiantes distribuidos en grupos de 5 personas. (2) Los grupos realizaron las experiencias de laboratorio con la supervisión de un docente que las evaluó. (3) cada grupo realizó un informe de laboratorio siguiendo las pautas de realización que con anterioridad se entregó por escrito a cada grupo. Se estipuló un tiempo de 5 (cinco) días para la presentación del mismo.(4) En la evaluación se consideró un total de 55 puntos distribuidos así: portada (5), objetivo (5), marco teórico (10), diseño y procedimiento (10), datos observados (5), interpretación de datos (5), conclusiones (10) y bibliografía (5). Se consideraron los siguientes puntajes de evaluación: excelente, 55; muy bueno, 54-44; bueno, 43-33; suficiente, 32-22; desaprobado, menos de 22.

Resultados: El 18,75% de los informes fue desaprobado; el 68,75% cumplió los requisitos mínimos (suficiente y bueno) para aprobar y el 12,5% realizó un muy buen informe. No se registró informe excelente.

Conclusión: La calificación obtenida en los informes de laboratorio fue muy inferior al desempeño de los estudiantes en el desarrollo del trabajo práctico. Si bien los alumnos lograron trabajar en equipo y consensuar opiniones diversas, la falta de lectura previa con desconocimiento de la bibliografía y la falta de experiencia para elaborar un informe limitó a los estudiantes a expresarse correctamente en forma escrita.

I14

ESTRATEGIAS PEDAGÓGICAS PARA LA PROMOCIÓN DE LA SALUD FAMILIAR DESDE EL NIVEL INICIAL

Malberti A 1., Fontana S 1., Gait M.T 1., Rubio S 1., Marconi M.2, Plavnik L.M *1.
1- Facultade de Odontología (FOC) Universidad Nacional de Córdoba, 2- Escuela de ciclo inicial Merceditas de San Martín

Las instituciones de educación superior deberían formar a sus egresados para conocer la realidad nacional, poseer habilidades de razonamiento, tomar decisiones, actuar en base al conocimiento y desarrollar soluciones creativas. Cuando no se tienen en cuenta estas consideraciones los esfuerzos de los profesionales en la implementación de acciones y/o programas preventivos en salud no siempre logran los impactos deseados. Nadie puede transmitir y menos enseñar algo de lo que antes no se ha apropiado. Esto conduce a la necesidad de promover espacios de trabajo con todos los participantes de acciones dirigidas hacia la salud para la identificación de sus representaciones y prácticas. **OBJETIVO:** Generar en una determinada comunidad educativa un espacio óptimo para dinamizar y desarrollar estrategias y recursos didácticos contextualizados para la promoción de la salud bucal. **MÉTODOS:** Se trabajó en la escuela “Merceditas de San Martín”, Carlos Paz (Córdoba), nivel inicial. Se efectuó un reconocimiento del escenario basado en entrevistas con docentes, registro de anticipaciones, encuestas diagnósticas a padres y examen odontológico a los niños. En base a la contextualización de los resultados se diseñaron e implementaron estrategias didácticas que comprendieron talleres con docentes (en la planificación de los contenidos) y con padres. La evaluación de resultados se realizó mediante una encuesta a los padres (n=50) sobre los cambios de hábitos en los niños y sus familias. **RESULTADOS:** se percibió un mejor manejo de información de los padres, reconocieron los conocimientos útiles que poseían en relación a este tema y la necesidad de cambio de otros, recibieron pautas para mejorar la educación de sus niños, manifestaron que al entender sus hijos los mensajes sobre salud bucal aprendidos en la salita, se promovieron cambios a nivel familiar y se logró en ellos una ausencia de temor al examen odontológico. **CONCLUSIÓN:** la actividad pedagógica desarrollada en esa comunidad educativa resultó óptima en el aprendizaje y cambio de hábitos en salud bucal para todos los participantes

I15

PERCEPCIÓN DE LA SALUD BUCAL. EL PERSONAL DE NIVEL INICIAL COMO ACTORES INVOLUCRADOS

Salas A, Copello MN; Gaiteri M*, Condis G
Área de Odontología Social y Ciencias Básicas. Facultad de Odontología.
Universidad Nacional de Rosario

Objetivo: evaluar las percepciones en salud de los maestros y asistentes escolares de un jardín de infantes. **Metodología:** la población de estudio estuvo constituida por 32 docentes, residentes y asistentes escolares de un jardín de infantes de la ciudad de Rosario. Se aplicó un cuestionario autoadministrado, de carácter voluntario, diseñado y validado (Bordoni, 2006). El mismo está organizado en 5 dominios e incluye un total de 25 preguntas que admiten una sola respuesta, estas se contestan según una escala que va de 1 a 9 con intervalo. También se indagó sobre datos sociodemográficos. Para el procesamiento estadístico se utilizó el programa SPSS V. 11.5 y SAS 9.1 a través del test estadístico de Irwin Fisher. **Resultados:** Se obtuvo respuesta de 24 participantes con un promedio de edad de $34,1 \pm 11,5$ años. El nivel de escolaridad se concentra en terciario completo e incompleto. Para el dominio conocimientos el 54,2% refiere la importancia de la alimentación y la prevención en la aparición de las enfermedades bucales; presentándose la “no respuesta” en “los fluoruros impiden la desmineralización” (29,2%). El 70,8% considera importante (todo/siempre) que el odontólogo haya utilizado medidas de bioseguridad en su atención. En el dominio de experiencia personal hay una valoración negativa hacia la respuesta “el odontólogo le explicó por qué se produce la caries y las enfermedades de las encías”. El 58,3 % reconoce la extracción dentaria como la práctica más realizada. Solo el 29,2 % de las familias manifiesta preocupación por la salud bucal. En el dominio expectativas sobre la odontología el 62,5% considera que se aplican poco los programas escolares. En la satisfacción con su rol docente el 70,8% considera “la escuela como un espacio para mejorar la salud”. La antigüedad en el cargo mostró diferencias significativas ($p=0,05$). **Conclusión:** La escuela es reconocida mayoritariamente como ámbito para mejorar la salud y consideran que la familia se preocupa poco por la salud bucal de sus hijos.

I16

INFLUENCIA DE LA ASISTENCIA A CLASES TEÓRICAS EN EL RENDIMIENTO ACADÉMICO DE LOS ALUMNOS DE BIOFÍSICA DE LA FOUNT

Pérez LI*, Molina PE Catalán PE, Rodríguez N, Juárez TA, Córdoba JE, Merletti SM, Alderete MS

Cátedra Biofísica. Facultad de Odontología. Universidad Nacional de Tucumán

El rendimiento académico de los estudiantes universitarios constituye un factor fundamental en la valoración de la calidad educativa en la Enseñanza Superior (Díaz Peio y otros, 2002). Existen aspectos relacionados al rendimiento académico: personales, sociales e institucionales. Los determinantes personales son, por ejemplo, asistencia a clases, motivación, condiciones cognitivas, bienestar psicológico. Pérez y colab. (2000) consideran que la asistencia a clases teóricas es una de las variables más significativas en el rendimiento académico del alumno. **OBJETIVO:** determinar la influencia de la asistencia a las clases teóricas de los alumnos de Biofísica en el rendimiento académico; de acuerdo a la aprobación o no de los exámenes parciales de la materia. **MATERIAL Y MÉTODO:** La muestra quedó constituida por los 235 alumnos que asistieron a clases teóricas de los 367 de la cohorte 2011. Se consideraron 2 (dos) variables: asistencia a clases teóricas (mayor y menor al 50%) y aprobación de los exámenes parciales (aprobado y desaprobado) **RESULTADOS:** Se encontró que el 40,4% (95) de los alumnos que asistieron a menos del 50% de clases teóricas, no aprobó los exámenes parciales; mientras que sólo el 2,2% (5) de los que asistieron a más del 50% de las clases teóricas, desaprobó los mismos. **CONCLUSIÓN:** Se puede afirmar la importancia de la asistencia de las clases teóricas en el buen rendimiento académico de los estudiantes de Biofísica de la FOUNT. Los alumnos que asisten regularmente a clases teóricas tienen mejores calificaciones que los que no asisten. Además es necesario considerar en próximas investigaciones, la influencia de las clases teóricas en el rendimiento en el examen final de la materia.

I17

NO SE PRESENTA

I18

NO SE PRESENTA

I19

LA ADQUISICIÓN DE COMPETENCIAS EN LA CONCEPCIÓN DE APRENDIZAJE DEL POSTGRADO

Campos-Sánchez A1, Rodríguez IÁ*3, Sola M2, Garzón I, Sánchez-Quevedo MC1, Bregains L3, Campos F1, Rodriguez MA3, Alaminos M1
Departamento de Histología¹, Departamento de Didáctica y Organización Escolar²,
Universidad de Granada (España). Cátedra de Histología B. FOUNC (Argentina)³.

Introducción: La identificación de los distintos componentes que en su concepción de aprendizaje posee el estudiante de postgrado constituye un objetivo básico de investigación en relación con su futura estrategia docente. A este respecto es importante identificar dichos componentes en los programas de postgrado de ciencias de la salud en comparación con otros programas y especialmente en relación con la adquisición de competencias y valorar la prevalencia en el momento de inicio. **Objetivo:** Se investiga la incidencia del componente "aprendizaje como adquisición de competencias" en relación con el resto de los componentes que conforman la concepción del aprendizaje en estudiantes de postgrado de programas de ciencias de la salud (medicina y odontología) y de programas de ciencias sociales. **Métodos:** los estudiantes (20 por programa) cumplimentaron un cuestionario validado para determinar el valor de los distintos componentes que los alumnos vinculan a su concepción de aprendizaje. La prueba se realizó al comienzo del periodo formativo y los resultados en ambos grupos se evaluaron mediante la prueba estadística t de Student.

Resultados: Los estudiantes de ciencias de la salud y de Ciencias sociales difieren significativamente, siempre en porcentajes superiores al 50%, en las concepciones de aprendizaje vinculadas a la obtención de información ($P = 0,01901$), al recuerdo, uso y comprensión de la misma ($p = 0,00485$) y a la adquisición de competencias ($p < 0,05$) con mayor valor asignado a la concepción del aprendizaje como adquisición de competencias en los de ciencias de la salud.. Asimismo, existen diferencias significativas ($p < 0,05$) en la preferencia de los estudiantes de ciencias sociales por adquirir competencias sin recibir directrices por parte de los instructores. **Conclusión:** Dado que las concepciones de aprendizaje tienen importantes efectos en la motivación para el establecimiento de las estrategias de aprendizaje por parte de los alumnos, en el diseño didáctico de los programas de postgrado de ciencias de la salud es necesario incorporar específicamente el diferente valor que tiene el componente adquisición de competencias en las concepciones de aprendizaje de los alumnos. Financiado por los proyectos UGR13-115 y UGR13-116, Secretariado de Innovación Docente, UGR.

I20

EVALUACIÓN DE LOS RECURSOS PARA LAS MICROLECCIONES. LA PERSPECTIVA DE LOS ESTUDIANTES

Campos-Sánchez A1, Rodríguez MA2, Garzon I1, Campos F1, Grunberg K2, Alaminos M1, Ferraris ME2, Rodríguez IA*2.

Histología, Universidad de Granada (España)1. Histología B. FOUNC2.

Introducción: El modelo Stanford según el cual, en el aula se deberían utilizar microlecciones de diez a quince minutos, seguidas de una participación activa tutelada por el profesor constituye una de las innovaciones educativas más recientes en ciencias de la salud. La perspectiva de los estudiantes sobre los recursos para elaborar las microlecciones es de interés, dado que la utilización posterior de dichos recursos va a ser el mecanismo que permita implementar futuros programas de autoaprendizaje.

Objetivo: El objetivo de este estudio es conocer la percepción de estudiantes sobre los recursos que utilizarían para elaborar las microlecciones antes de recibirlas y después de haberlas recibido.

Métodos: Estudiantes de histología (n=100) cumplimentaron dos veces un cuestionario sobre la utilización de distintos recursos –libros de texto, internet, revistas científicas y documentos técnicos– antes y después de recibir una microlección de las tipificadas en el modelo Stanford. Los resultados fueron evaluados con el test no paramétrico de Mann-Whitney para identificar diferencias en las respuestas obtenidas antes y después de la microlección.

Resultados: Los resultados ponen de relieve diferencias significativas antes y después de la microlecciones en relación con los libros ($p<0.05$) e internet ($p<0.05$), que son percibidos como los recursos más importantes antes de recibir las microlecciones.

Conclusiones: la identificación de la percepción de los alumnos en relación con los libros e internet en relación a lo que ocurre con las revistas científicas y los documentos técnicos, debe contribuir al diseño de programas de autoaprendizaje posteriores a la recepción de las microlecciones establecidas en el modelo Stanford que tengan en cuenta los recursos identificados por los alumnos participantes en el innovador modelo educativo recientemente postulado para la educación en salud.

Financiado: proyecto UGR13-116, Secretariado de Innovación Docente, UGR.

I21

CONSTRUCCIÓN DE COMPETENCIAS BIOÉTICAS DURANTE LA EDUCACIÓN ODONTOLÓGICA

Miguel R, Sapienza M*, Zemel M, Cocco L, Pólvara B, Iantosca A, Di Girolamo Pinto G
Facultad de Odontología de la Universidad Nacional de La Plata

Los estándares para la acreditación del título de Odontólogo promueven un perfil de graduado ético y moralmente comprometido con la sociedad y con una sólida formación científica, humanista, profesional y bioética. **OBJETIVO:** Evaluar el proceso de construcción de competencias vinculadas con la formación bioética. **MÉTODOS:** Se realizó un estudio observacional descriptivo sobre variables: “contenidos requeridos” y “comportamientos esperados”. Se registró una encuesta cerrada, voluntaria, anónima a una muestra azarosa de 400 estudiantes regulares del tercer nivel de integración de la Carrera de Odontología de la FOUNLP, Argentina. El muestreo comprendió 200 alumnos de prácticas generales (Grupo A) y 200 de prácticas especializadas (Grupo B). Para evaluar el nivel de actitudes se utilizó una escala de Likert agregada al final del instrumento. Los análisis estadísticos fueron realizados con Epi Info™ Versión 3.3.2 y EPIDAT 3.1. **RESULTADOS:** En relación con la primer variable, el indicador reveló una identificación positiva de los contenidos en 177 (88.5%) estudiantes del Grupo A y 167 (83.5%) del Grupo B; $p>0.05$. Respecto a la segunda variable, al evaluar el indicador “nivel de resolución de problemas ético-clínicos” 79 (39.5%) del Grupo A y 11 (5.5%) del Grupo B no alcanzaron el nivel mínimo esperado; $p<0.05$. Al medir el indicador “habilidades comunicacionales requeridas” la distribución positiva fue: Grupo A=114 (57.0%); Grupo B=191 (95.5%); $p<0.05$. Al evaluar el indicador “habilidades técnicas requeridas” la distribución positiva hallada fue: Grupo A=105 (52.5%); Grupo B=199 (99.50%); $p<0.05$. Finalmente, se reveló una favorable “actitud a postulados éticos” siendo: Grupo A=187 (93.5%); Grupo B=192 (96.0%); $p>0.05$.

CONCLUSIÓN: A partir de los datos tomados de la muestra procesada se puede concluir que: a) si bien existió en ambos grupos una significativa identificación de contenidos esperados en la formación de competencias bioéticas, los estudiantes de prácticas generales mostraron dificultades en habilidades comunicacionales, técnicas y aquellas vinculadas con la resolución de dilemas ético-clínicos ($p<0.05$); b) No obstante, ambos grupos presentaron una alta favorabilidad frente a los postulados bioéticos presentados ($p>0.05$). Investigación financiada por UNLP

I22

APLICACIÓN DE RECURSOS VIRTUALES EN LA CONFECCIÓN DE UN INFORME DE LABORATORIO EN BIOFÍSICA DE LA FOUNT

Nieman N, Pérez L*, Catalán P, Merletti S, Alderete S, Juárez T, Córdoba J, Singh F, Molina P

Cátedra de Biofísica, FOUNT. Av. Benjamín Aráoz 800. (4000) San Miguel de Tucumán

El empleo de recursos tecnológicos favorece el desarrollo emocional, psicomotor y social del estudiante. La incorporación de las **tecnologías de la información y la comunicación** (TIC) propicia el desarrollo cognitivo. Las instituciones educativas deben emplear los recursos disponibles, referidos a las nuevas TIC y aplicarlos a la Educación Superior. Es importante estimular el uso de computadoras, que permitan utilizar todos los recursos virtuales en la formación académica del alumno. Así, surge la iniciativa de crear y desarrollar el Aula Virtual en la Cátedra de Biofísica, en primer año de la FOUNT. **Objetivo:** Evaluar la aplicación de los recursos virtuales en la confección de un informe de laboratorio en los alumnos de Biofísica de la FOUNT en 2014. **Material y método:** Se tomó una muestra al azar de 100 estudiantes distribuidos en grupos de 5 personas de la cohorte 2014. Los grupos de trabajo se conformaron a elección de los alumnos. Se entregó, antes del trabajo práctico de Medición de la Tensión Superficial, una guía con las pautas para la realización de un Informe de Laboratorio. Los grupos realizaron las experiencias de laboratorio con la supervisión de un docente que evaluó las mismas. Se estipuló un período de 5 (cinco) días para la presentación del informe. Se habilitaron espacios virtuales (Wiki y foros) en el entorno del Aula Virtual Biofísica Odontología 2014, con soporte en la plataforma Moodle, para su confección. **Resultados:** 13 (trece) grupos emplearon Wiki para confeccionar el informe a modo de trabajo colaborativo a distancia y el historial reveló que sólo tuvieron efectiva participación entre 3 y 5 alumnos por grupo, 2 grupos no utilizaron Wiki y lo elaboraron de manera presencial. Durante la elaboración del informe se produjeron 9 intervenciones en los foros para solicitar informes o consultas. **Conclusiones:** la aplicación de los recursos virtuales para la confección del informe de laboratorio fue insuficiente. Es necesario estimular a los estudiantes para que se acostumbren a su empleo no sólo con fines lúdicos sino para reconocer y valorar la importancia de los mismos en la tarea de aprendizaje.

I23

REPRESENTACIONES CONSTRUIDAS POR ESCOLARES SOBRE IMPLEMENTACION DEL KIOSCO SALUDABLE EN LA ESCUELA

Moncunill I*, Gigena P, Agüero N, Bella M

Facultad de Odontología – Universidad Nacional de Córdoba

En el marco de la Investigación con Intervención se implementó en una comunidad escolar vulnerable de la ciudad de Córdoba, la estrategia de Promoción de salud: “Un kiosco con merienda saludable”, proyecto pedagógico institucional desarrollado por los niños de 6to grado, ambos turnos, sus docentes y equipo de investigación. Las Representaciones Sociales construyen significados en la interacción con el otro moldeando y siendo moldeados el percibir, significar y actuar de las prácticas de salud., tales como las pautas de consumo de alimentos en el recreo escolar. **OBJETIVO** analizar las representaciones construidas por escolares de 6to grado de la escuela Profesor Miguel Luciani, al concluir la implementación de la estrategia de promoción de salud El Kiosco saludable. **MÉTODO:** se indagó acerca de las representaciones construidas por escolares participantes de la implementación del Kiosco con merienda saludable, en la Escuela Profesor Miguel Luciani, Barrio Cárcano, a la que asisten 365 alumnos. Se realizaron dos Grupos Focales cada uno con 8 escolares de 6to grado ambos sexos (12-13 años) con una duración de 1 hora. los que fueron coordinados y observados por el equipo de investigación. Se tomaron registros audiovisuales y notas de campo, procediéndose a la posterior desgravación y análisis de las expresiones verbales y gestuales. **RESULTADOS:** categorías descriptivas: *la oferta de productos del kiosco escolar deben ser saludable y variada; * identifican como saludable a frutas, cereales, yogur y gelatinas; * refieren la importancia de respetar las normas de higiene y bromatología en la elaboración, fraccionamiento y venta de los productos; *lograron aprendizajes múltiples: diseño de propaganda sobre los productos ofertados, proceso de elaboración, de distintas meriendas, saludables organización, trabajo en equipo, compromiso y responsabilidad, solidaridad, cooperación. **CONCLUSIÓN:** la participación activa en el proyecto de promoción de salud permitió a los escolares construir aprendizajes de conductas alimentarias saludables durante la permanencia en la escuela, logrando empoderamiento, para trabajar cooperativamente con autonomía. Estas competencias facilitarán continuidad y sustentabilidad del recreo con alimentación saludable.

FOUNC proyecto subsidiado SCyT 2012 -2014 (162/12)

J01

MATERIALES DE TERCERA GENERACIÓN EN ALVÉOLOS POSTEXTRACCIÓN CON LESION RADIOGRAFICAMENTE VISIBLE. (ESTUDIO PRELIMINAR)

Basovich GJ*, Adá GA, Giorgio AO, Lama MA, Maresca BM
Clínica de Urgencias y Derivaciones de la Escuela de Odontología de la Universidad John Fitzgerald Kennedy.

El uso de biomateriales de tercera generación (Licon-D) implementados en técnicas endodónticas ha demostrado su efectividad en la regeneración de tejido blando y óseo guiado aun en presencia de procesos infecciosos dada su actividad antibacteriana y antiresortiva por la presencia de los iones Calcio e Yodo que modulan la respuesta inmune inflamatoria actuando sobre el sistema Rank/ Rank-L/ OPG y Timps-metaloproteinasas.

Objetivos: Observar el comportamiento del alveolo postextracción con coagulo de fibrina mezclado con Licon-D.

Métodos: Se realizaron trece casos de exodoncias de piezas dentales contiguas con y sin lesiones apicoperirradiculares sobre pacientes que concurrieron voluntariamente a la clínica de urgencia y derivaciones de la U.A.J.F.K. En una de las piezas dentales se coloco Licon-D mezclado con coagulo de fibrina, y en la otra se dejo el coagulo de fibrina solo (testigo). Luego de realizar las exodoncias se procedió a la síntesis de los tejidos blandos por medio de puntos simple en X en ambas extracciones. Se tomaron radiografías periapicales preexodoncia, postexodoncia inmediata, a los 15 días y a los 45 días, evaluando la expresión radiográfica del tejido óseo.

Resultados: En los estudios preliminares por medio de esta técnica de preservación alveolar, se espera reducir la reabsorción ósea post-extracción al colocar un material proosteogénico y antiresortivo.

Conclusiones: Esperamos conservar las dimensiones óseas en sentido vertical y horizontal aun en presencia de procesos infecciosos.

J02

NO SE PRESENTA

J03

ESTUDIO DE LA PORTACIÓN DE CANDIDA SPP EN TERCEROS MOLARES SEMI-RETENIDOS

Romero J*, Garritano M, Balsamo MF, Puia S, Toranzo S, Lucentini M, Virgilito A, Grandinetti JA, Brusca MI
Universidad Abierta Interamericana

La extracción de los terceros molares semiretenidos presenta poca controversia cuando se asocian con cambios patológicos como infecciones, lesiones cariosas no recuperables, quistes, tumores y destrucción de los dientes adyacentes y al hueso. Sin embargo, la justificación de la extirpación profiláctica de estos terceros molares es menos cierta y ha sido objeto de debate durante muchos años. Pero es importante la evaluación de los microorganismos presentes en los mismos y la diseminación de los mismos. **Objetivo:** Estudiar clínica y radiográficamente las posiciones de los terceros molares. **Evaluar** *Candida spp* en bolsas periodontales de terceros molares semiretenidos.

Materiales y Métodos: Se estudiaron 150 pacientes con terceros molares semiretenidos en diferentes posiciones: mesioangular(n=50), distoangular(n=50), y verticales(n=50). Se realizó estudio radiográfico de técnica panorámica analógica. Se tomaron muestras de mucosa bucal con un hisopo y se colocó en un tubo de ensayo con solución fisiológica. Y muestras subgingivales en la zona del tercer molar con cureta tipo Gracey que se colocaron en tubos con solución fisiológica. Simultáneamente se realizaron extendidos para colorear con la técnica de Gram y de Giemsa. Se realizaron pruebas microbiológicas convencionales (siembra en agar Sabouraud cloranfenicol , y medio cromogenico , y en las especies de color verdes se estudio el crecimiento a 45 C , Api ID 32 , PCR con primer panfúngicos). Se realizo análisis estadístico de los datos (Chi cuadrado) con un error alfa de 0.05 (IC 95%) y un poder de 80%. **Resultados:** La portación en mucosa bucal no presento diferencias estadísticamente significativas en las distintas posiciones. Los exámenes microscópicos directos confirmaron la presencia de levaduras que luego se tipificaron con las demás pruebas microbiológicas. Se observaron levaduras y pseudofilamentos en el 81% de los pacientes con molares en posición mesioangular. La diferencia fue estadísticamente significativa ($p = 0,02$) en la portación de *Candida spp* en bolsas periodontales entre los terceros molares mesioangular y las otras dos posiciones. En los mesioangulares se encontró más de una especie de *Candida* en cada molar. La prevalencia de *Candida* en orden decreciente fue *C. albicans*, seguida de *Candida dubliniensis*, *C.glabrata*, y *Candida krusei*. **Conclusiones:** Los pacientes con terceros molares semiretenidos son portadores de *Candida spp* en bolsas periodontales. Las diferentes posiciones inciden en la presencia de *Candida spp*, siendo mayor en los semiretenidos mesiangulados

J04

NO SE PRESENTA

K01

IDENTIFICACIÓN DEL COMPLEJO ROJO EN LA INFECCIÓN ENDODÓNTICA CON PCR

De Schant ME*1, Chiappe V B 2-3, Dejean C B 4, Martínez A B 4, García Puente C1. 1 Carrera de Especialización en Endodoncia, 2 Carrera de Especialización en Periodoncia, 3 Cátedra de Microbiología, 4 (CIO y CEBBAD) Universidad Maimónides, Argentina.

Socransky y col. describieron a la microbiota periodontal agrupada en forma de complejos bacterianos que aparecen juntos y se asocian en salud ó enfermedad. El Complejo Rojo está compuesto por patógenos periodontales como *Porphyromonas gingivalis*, *Treponema denticola* y *Tannerella forsythia*. **Objetivo:** Identificar en las infecciones endodónticas primaria y secundaria la presencia de *P gingivalis*, *T denticola* y *T forsythia* en forma aislada ó formando el Complejo Rojo, utilizando PCR y relacionar la microbiología endodóntica con la de peridontitis crónica. **Métodos:** Se estudiaron 35 tomas microbiológicas realizadas en la Clínica de la Carrera de Especialización en Endodoncia. Se incluyeron 27 dientes con necrosis pulpar, 14 con cámara pulpar cerrada y sellado coronario y 13 con la cámara pulpar abierta, sin sellado coronario. Las 8 muestras restantes fueron de 5 retratamientos con lesión periapical y 3 sin lesión periapical. **Resultados:** las muestras de necrosis cerrada, presentaron una alta prevalencia de *P gingivalis* 78% y *T denticola* 57 % y no se identificó *T forsythia*. No se detectó el Complejo Rojo en este grupo. Las tomas de necrosis abierta mostraron una alta prevalencia de *P gingivalis* 92%, *T denticola* 76 %, y *T forsythia* 76 %. El Complejo Rojo se identificó en un 61 % en este grupo. El análisis estadístico con Fisher exact test mostró diferencias significativas entre los dos grupos $p < 0,05$. Las muestras de los retratamientos con lesión periapical presentaron una alta prevalencia de *P gingivalis* 100% y *T denticola* 80 % y 40% de *T forsythia*, en un caso se detectó el Complejo Rojo. Las tomas sin lesión periapical mostraron 100% de *P gingivalis* y 33% de *T denticola* y *T forsythia*, no se identificó el Complejo Rojo. **Conclusión:** Las muestras de necrosis cerrada no presentaron el Complejo Rojo, mientras que las de necrosis abierta mostraron alta prevalencia. La presencia de *P gingivalis*, *T denticola* y *T forsythia* en forma aislada ó formando el Complejo Rojo, en las infecciones endodónticas primaria y secundaria permitiría relacionar la microbiología endodóntica con la de peridontitis crónica.

K02

EVALUACIÓN DE LA INFLUENCIA DE LA LONGITUD Y ÁNGULO DE CURVATURA EN LA FUERZA DE FLEXIÓN DE INSTRUMENTOS PROTAPER UNIVERSAL

Lopreite G*.1, Basilaki J1, Romero M, Severino L., Hecht P.2
FACULTAD DE ODONTOLOGIA U.B.A.

La flexibilidad es determinante en el empleo de los instrumentos endodónticos, las características del diseño hacen que esta propiedad pueda variar en distintas zonas de los mismos.

OBJETIVO: Evaluar la fuerza de flexión de cada uno de los instrumentos del sistema de preparación mecanizada Protaper Universal (Dentsply-Maillefer- Ballaigues-Suiza) en distintos puntos de su longitud y ángulo de curvatura.

MATERIALES Y METODOS: Se emplearon 40 avíos, del sistema Protaper Universal (Dentsply-Maillefer-Ballaigues-Suiza, un total de 240 instrumentos. Fue evaluada la fuerza de flexión de cada uno de los instrumentos de los sistemas en diferentes angulaciones de 25° y 45° grados y con ajuste de su longitud a 3 y 5mm de la punta. Empleando para la experiencia un torquímetro digital de alta precisión +/- 0.001 Nm (HIOS HT-10 , Hios Inc. Japan) y aparatología desarrollada ad hoc. Se evaluaron los instrumentos entre sí, los ángulos de curvatura y las alturas de fijación. Se obtuvieron un total de 1920 datos

RESULTADOS: Los resultados fueron analizados por medio de un estudio de Anova factorial completo para determinar las diferencias entre Instrumentos, alturas de fijación y ángulos de flexión por un lado y la significación de las interacciones de primer y segundo orden. No se hallaron diferencias significativas entre los mismos tipos de instrumentos de los diferentes avíos en cuanto al análisis de flexión, pero sí entre los distintos instrumentos y en relación a las variables analizadas de ángulo de flexión y altura de ajuste.

CONCLUSIÓN: La evaluación mecánica de la fuerza de flexión de cada uno de los instrumentos no fue significativa entre los distintos avíos, si para su indicación al momento de empleo en cuanto al ángulo de curvatura y punto de fijación durante el trabajo.

K03

TOPOGRAFÍA DEL ÁPICE RADICULAR DE LOS PRIMEROS MOLARES SUPERIORES

Schneider R*, Migueles A, Gualtieri A, Labarta A, Rodriguez P, Sierra L
FOUBA

OBJETIVO: Analizar las características morfológicas del ápice radicular de los primeros molares superiores. Determinar cantidad total de forámenes y foraminas accesorias por raíz, establecer ubicación, analizar forma y tamaño de los mismos. **MATERIALES Y MÉTODOS:** Se utilizaron 444 raíces de primeros molares superiores. El criterio de inclusión requirió piezas sanas o con pequeñas restauraciones, sin destrucciones coronarias, con ápices desarrollados, extraídos de ambos sexos, entre 18-40 años. Se excluyeron piezas con fractura radicular, ápice incompleto y caries penetrante. Las muestras se prepararon y conservaron según protocolo de preparación de CEFOUBA y se observaron en MEB. Se realizaron 444 microfotografías seriadas, magnificación de 25X y 100X. Se utilizó prueba de asociación de Chi cuadrado para evaluar asociación entre variables categóricas. Se utilizó prueba de bondad de ajuste de Chi cuadrado para comparar frecuencias observadas con frecuencias esperadas bajo independencia. Para comparar número de foraminas y tamaño de foramen entre los distintos tipos de raíces se utilizó prueba de Kruskal Wallis. **RESULTADOS:** Se encontró asociación significativa entre el número de forámenes y el tipo de raíz (Chi-cuadrado: 152,14; gl=2; p <0,001). La cantidad de forámenes principales no se distribuyó equitativamente entre los tres tipos de raíces (Chi-cuadrado=24,50; gl=2 p <0,05). Al evaluar distribución de frecuencia de foraminas accesorias, la diferencia fue significativa (prueba para diferencia de proporciones: p <0,05). Las diferencias de frecuencias de foraminas accesorias entre los diferentes tipos de raíz no fueron significativas (Chi-cuadrado=4,00; gl=2; p=0,14). Se encontró asociación significativa entre tipo de raíz y ubicación de los forámenes (Chi-cuadrado=77,58; gl=6; P <0,001). **CONCLUSIÓN:** Esta investigación muestra que el 68 % de las raíces MV presentaron dos forámenes principales, mientras que el 11 % de las raíces DV y P lo presentaban. El 56% de las raíces estudiadas presentaban foraminas accesorias, siendo la raíz MV la que mostró mayor frecuencia (43%), seguida de la DV (36%) y la raíz P (21%). La morfología del foramen más encontrada en la raíz MV fue la redonda (47%), la P (56%), en las raíces DV la forma más común fue la oval (60%).

K04

REMOCIÓN DEL BARRO DENTINARIO CON ÁCIDO FOSFÓRICO Y RC PREP. ESTUDIO CON MEB

Loiacono R*, Gualtieri A, Labarta A, Sierra L
FOUBA

Objetivos: Comparar con MEB el grado de remoción del barro dentinario utilizando ácido fosfórico 37% y RC PREP como irrigantes al instrumentar los conductos con Sistema Protaper Universal y limas K SS. **Materiales y métodos:** Se utilizaron 60 premolares inferiores humanos extraídos. La muestra se dividió aleatoriamente en 3 grupos: 2 experimentales y 1 control. La mitad de cada grupo (n= 10) se preparó con fresas Gattes Glidden y se instrumentó con limas K. La otra mitad se instrumentó con Sistema Protaper Universal. Grupo control se irrigó con 5 ml NaOCl 5,25% durante un minuto. Grupo 1 se irrigó con 5 ml NaOCl 5,25% durante un minuto y 0,5 ml RCPrep durante un minuto. Grupo 2 se irrigó con 5 ml NaOCl 5,25% durante un minuto y 5 ml Ácido fosfórico 37% durante un minuto. En cada muestra se marcó surco longitudinal MD con disco y se seguetó con prensa tipo G. La mitad de cada espécimen se observó en MEBA a 5 kV y 2 Pa. Se tomaron 180 microfotografías a 5000X, en 2, 6 y 10 mm de la LT. Se puntuó según criterio de Rome. Se comparó score entre los 3 grupos, dentro de cada combinación de sistema de instrumentación y tercio. Se utilizó prueba de Kruskal-Wallis, seguida por comparaciones de a pares cuando se detectó diferencia significativa. Se fijó nivel de significancia del 5% ($\alpha=0,05$). **Resultados:** Para todas las combinaciones de instrumentación y tercio, al menos un par de grupos presentaron diferencias significativas en sus valores, excepto para el tercio medio al utilizar Sistema Protaper. Las comparaciones de a pares indican que, en aquellas combinaciones donde se obtuvo un resultado significativo, el score es más bajo en el grupo 2 que en el control y que en el grupo 1, no habiendo diferencias entre el grupo 1 y el control. **Conclusiones:** Instrumentando con diferentes sistemas y evaluando los tres tercios del conducto, el presente estudio sugiere que se obtienen mejores resultados utilizando NaOCl al 5,25 % y Ácido Fosfórico al 37% (Grupo 2) que al utilizar NaOCl al 5,25 % sólo (Control) o NaOCl al 5,25% y RC Prep (Grupo 1). El trabajo también sugiere que no hay diferencias significativas de score entre el Grupo Control y el Grupo 1.

K05

EVALUACIÓN AL MEB DEL DAÑO ESTRUCTURAL SUFRIDO POR INSTRUMENTOS PROTAPER UNIVERSAL LUEGO DE 10 USOS CLÍNICOS

Lopreite G.¹, Basilaki J.¹, Romero M, Severino L., Hecht P.².

Cátedras de Endodoncia 1 y Biofísica 2. Facultad de Odontología UBA.

Durante su empleo los instrumentos endodónticos mecanizados se cargan de daños estructurales visibles microscópicamente que limitan la cantidad de usos

OBJETIVO: Evaluar las alteraciones microscópicas sufridas por los instrumentos del sistema de instrumentación mecanizada Protaper Universal (Dentsply-Maillefer- Ballaiges-Suiza) luego de la utilización de un protocolo de uso modificado en situación de empleo clínico predeterminado.

MATERIALES Y METODOS: Se emplearon 40 avíos, del sistema Protaper Universal (Dentsply-Maillefer-Ballaiges-Suiza), un total de 240 instrumentos, para la realización de 400 preparaciones quirúrgicas mecanizadas de conductos radiculares CON CURVATURA MAXIMA DE 30° de acuerdo a la clasificación de S. Schneider de pacientes con derivación endodóntica. El protocolo quirúrgico desarrollo una técnica corono apical empleándose velocidades en rpm y torques en Ncm. específicos en cada instrumentos siendo SX 300/4, S1 300/3,5, S2 250/1,2, F1 300/1,8, F2 250/2,6 y F3 250/2,6. Las superficies de los instrumentos fueron evaluadas microscópicamente al MEB (200 X) antes y después de finalizada la experiencia en busca de defectos como fisuras, grietas o daños del borde cortante.

RESULTADOS: Se detectaron 5 instrumentos SX, 9 instrumentos S1, 11 instrumentos S2, 7 instrumentos F1, 6 instrumentos F2 y 5 instrumentos F3 con defectos de superficie a nivel microscópico. Los datos fueron analizados por medio de un análisis de varianza para la evaluación de dos factores: instrumentos y avíos. No se detectan diferencias significativas (P=0.05) entre instrumentos ni entre avíos respecto a los datos de escala de grietas. A pesar de no llegar a ser significativas las diferencias entre instrumentos, hay una tendencia a que el instrumento S2 dé valores mayores al resto.

CONCLUSIÓN: Hemos hallado daños estructurales microscópicos al MEB 200X en los instrumentos del sistema Protaper Universal luego de ser empleados en las condiciones de este estudio sin encontrar significancia entre los distintos instrumentos o los avíos empleados con respecto a los mismos instrumentos antes de su uso.

K06

EVALUACIÓN DE CAMBIOS MORFOLÓGICOS MACROSCÓPICOS DE INSTRUMENTOS PROTAPER UNIVERSAL LUEGO DEL USO CLÍNICO

Lopreite G.¹, Basilaki J.¹, Romero M, Severino L., Hecht P.².

Cátedras de Endodoncia 1 y Biofísica 2. Facultad de Odontología UBA.

La evaluación macroscópica es el método más común para la determinación de la integridad de los instrumentos endodónticos luego de su uso clínico. **OBJETIVO:** Evaluar la presencia de cambios macroscópicos sufridos por los instrumentos del sistema de instrumentación mecanizada Protaper Universal (Dentsply-Maillefer- Ballaiges-Suiza) luego de la utilización de un protocolo de uso modificado en situación de empleo clínico predeterminado. **MATERIALES Y METODOS:** Se emplearon 40 avíos, del sistema Protaper Universal (Dentsply-Maillefer-Ballaiges-Suiza), un total de 240 instrumentos, para la realización de 10 preparaciones quirúrgicas de conductos radiculares con cada avío, empleando un protocolo clínico preestablecido en piezas dentales de pacientes con derivación endodóntica. Se buscaron y clasificaron los cambios morfológicos de alteración en el helicoide presentes en los instrumentos, luego de cada uso y hasta el fin de la experiencia empleando fotografías digitales, en aumento 10x y evaluadas en proyección de multimedia en ambiente oscuro, por 3 especialistas en endodoncia en forma independiente. **RESULTADOS:** En lo que respecta a los instrumentos, se informaron 5 hallazgos de defectos en instrumentos SX, 6 para los S1, 11 para los S2, 5 para los F1, 4 para los F2 y 3 para los F3. En relación a los observadores, los defectos encontrados por cada uno fueron, 8 para el 1, 9 para el 2 y 17 para el 3. Los datos fueron analizados estadísticamente por medio de análisis de varianza, buscándose diferencias en los tres factores involucrados: tipo de instrumentos, avíos al que pertenece y observadores. Como resultado del análisis no se detectan diferencias significativas al nivel del 5% entre los instrumentos, siendo que se presenta una tendencia del instrumento S2 a presentar valores mayores al resto (p=0.18). No se detectaron diferencias significativas entre observadores respecto a los datos de escala de deformaciones. A pesar de ello, hay una marcada tendencia diferencial entre el observador 3 y los otros dos (p=0.097). Se han detectado diferencias significativas entre avíos. **CONCLUSIÓN:** Fueron encontrados cambios morfológicos macroscópicos con distinta frecuencia de aparición en los instrumentos Protaper Universal empleados luego de la realización de la experiencia con las condiciones de este trabajo.

K07

EVALUACIÓN DE LA RESISTENCIA FLEXURAL DE INSTRUMENTOS PROTAPER UNIVERSAL NUEVOS Y LUEGO DE SU EMPLEO CLÍNICO

Lopreite G.¹, Basilaki J.*¹, Romero M, Severino L., Hecht P.².
Cátedras de Endodoncia 1 y Biofísica 2. Facultad de Odontología UBA.

El daño acumulativo que sufren los instrumentos endodónticos mecanizados puede alterar sus propiedades mecánicas.

OBJETIVO: Evaluar los cambios en la resistencia flexural de los instrumentos del sistema de instrumentación mecanizada Protaper Universal (Dentsply-Maillefer- Ballaiges-Suiza) luego de la utilización de un protocolo de uso modificado en situación de empleo clínico predeterminado.

MATERIALES Y METODOS: Se emplearon 40 avíos del sistema Protaper Universal (Dentsply-Maillefer-Ballaiges-Suiza), con un total de 240 instrumentos, para la realización de 400 preparaciones quirúrgicas mecanizadas de conductos radiculares con un protocolo clínico preestablecido sobre pacientes con derivación endodóntica. Fue evaluada la fuerza de flexión en Nm. de los mismos antes y luego de su empleo clínico en angulaciones de 25° y 45° y fijaciones a 3 y 5 mm. de su punta, para lo que se empleó un torquímetro digital de alta precisión 0.001 Nm (HIOS HT-10 , Hios Inc. Japan). Quedaron conformados 8 grupos 4 para los instrumentos nuevos y 4 para los usados.

RESULTADOS: Se obtuvieron un total de 1920 datos ,quedando agrupados en 8 grupos para cada instrumentos, 4 de su estado nuevo y 4 de su estado posterior al empleo clínico, correspondientes a las variables de altura de fijación y ángulo de flexión. , fijación a 3 mm y angulado a 25° , fijación a 3mm y angulado 45° , fijación a 5mm y angulado 25° Y fijación a 5 mm y angulado 45°.

Luego de la evaluación de los datos por medio de análisis de Anova de una vía, no se hallaron diferencias significativas (p=0.05) , entre los instrumentos nuevos y usados en cuanto a la resistencia a la flexión en las variables de angulación y altura de ajuste.

CONCLUSIÓN: no se encontraron diferencias en la resistencia flexural de los instrumentos Protaper Universal luego de haber sido ser empleados en el tratamiento clínico de 10 conductos radiculares.

K08

EVALUACIÓN EX VIVO DE LA MICROFILTRACIÓN DE DOS COMPUESTOS DE TRIÓXIDO MINERAL, EN ÁPICES INMADUROS, CON Y SIN PASTA DE CA (OH)2

Gutiérrez M*; Cabral RJ; Menis de Mutal L
Facultad de Odontología. U.N.C

Objetivos Evaluar el grado de microfiltración marginal en la obturación de ápices inmaduros. Observar la influencia o no, de los residuos de pasta de hidróxido de calcio en la adaptación de estos materiales a la pared del conducto **Métodos** se evaluaron 4 grupos de 20 dientes cada uno, dos grupos obturados previamente con Ca(OH)2 y posteriormente re-obturados con cementos MTA-Angelus y CPM-EGEO. Se obturaron los dos grupos restantes con los mismos cementos, de tal manera que cada cemento se evaluó con y sin pasta. Luego se incluyeron en fucsina al 0,2% y se cortaron longitudinalmente y se escanearon. Las zonas con filtraciones se detectaron utilizando el software Image Pro-Plus v.4.5, aplicando un método basado en el espacio colorimétrico HSL. Se midió la profundidad de penetración del colorante y se estableció la ocurrencia o no de filtración. Para el análisis estadístico de la profundidad de filtración según material y tratamiento previo, se utilizó ANOVA de dos vías y para el contraste de porcentajes de filtración, se realizaron pruebas de chi cuadrado. Para todas las pruebas se fijó el nivel de significación estadística en 0.05 **Resultados** Los porcentajes de filtración marginal fueron significativamente menores en los grupos que se utilizó previamente pasta de hidróxido de calcio (23.6%) en contraste con los que no se utilizó dicha pasta (60.5%)(p<0.05). los porcentajes de filtración no difieren significativamente entre los materiales (p>0.05) En términos de profundidad de filtración y al considerar únicamente los casos de filtración positivos, las diferencias entre los grupos no resultaron estadísticamente significativas (p>0.05), pese a que los valores de profundidad fueron algo menores cuando se utilizó hidróxido de calcio (0.67 +/- 0.35), en contraste con los dos materiales analizados (0.61 +/- 0.26) los valores expresan (media +/- error típico) **Conclusión** La utilización de pasta de Ca (HO)2 demostró ser un factor que disminuye significativamente el proceso de filtración en las condiciones experimentales del presente estudio. El material utilizado no demostró ser un factor relevante respecto a la profundidad de filtración ni a la tasa de filtración, registrando valores semejantes en ambos casos.

K09

COMPARACIÓN IN-VITRO DEL SELLADO APICAL DEL IV, MTA Y OZE EN OBTURACIONES RETROGRADAS

Dones V, Casadoumecq AC*, Rodríguez P
Cátedra de Endodoncia - FOUBA

OBJETIVO: Comparar in vitro la capacidad de sellado del IV, MTA y OZE como materiales de obturación en obturaciones retrogradas.

METODO: Se le realizó la apicectomía de los 3 mm apicales a 100 piezas unirradiculares endodónticamente tratadas. Se las dividió en 5 grupos: 1-control positivo (ápice sin sellar), 2-control negativo (ápice impermeabilizado con esmalte de uñas), 3- retroobturado con MTA (Proroot, DESPLY), 4- retroobturado con OZE, 5 retroobturado con IV (GC 9). Se las tiñó con azul de metileno 2% durante 48 horas, se las cortó transversalmente a 1 mm del extremo apical y se analizaron ambas caras del corte con el software IPWIN4 determinando el porcentaje de tinción de cada muestra. Se analizaron los resultados con la prueba de Kruskal-Wallis, seguida por comparaciones de a pares (nivel de significación $p < 0,05$). Se utilizó el programa GraphPad Prism 4.

RESULTADOS: Los datos no cumplieron con supuestos de normalidad (prueba de Shapiro-Wilks: $p < 0,05$) y homogeneidad de varianza (prueba de Levene: $p < 0,05$). Se comparó el porcentaje de tinción entre los cinco tratamientos: Grupo 1 (n=40): Media: $78,54 \pm 8,34$, mediana: 79,89. Grupo 2 (n=40): Media: $3,50 \pm 7,76$, mediana: 0,00. Grupo 3 (n=40): Media: $30,63 \pm 35,46$, mediana: 11,58. Grupo 4 (n=40): Media: $60,61 \pm 31,89$, mediana: 74,99. Grupo 5 (n=40): Media: $30,15 \pm 31,63$, mediana: 14,97. Se detectó una diferencia significativa global del porcentaje de tinción entre los grupos comparados (prueba de Kruskal-Wallis: $H = 105,43$; $gl = 4$; $p < 0,05$). El porcentaje de tinción no difirió significativamente entre los tratamientos con MTA y IV ($p > 0,05$), pero ambos mostraron diferencias con el tratamiento con OZE, siendo este último mayor. No se encontraron diferencias significativas entre el tratamiento con OZE y el control positivo ($p > 0,05$).

CONCLUSIÓN: Podemos concluir que el IV y el MTA tienen similar capacidad de sellado en obturaciones retrogradas in vitro. A su vez, se observó que en iguales condiciones el OZE tiene menor capacidad de sellado.

K10

EFICACIA DE LOS TRATAMIENTOS OSTEO-CONDUCTORES PARA LA REPARACIÓN ÓSEA POST-CIRUGÍA APICAL

Rodríguez PA*, Sierra L, Fernandez-Solari J, Elverdin JC
Cátedras de 1 Endodoncia y de 2 Fisiología, Facultad de Odontología, Universidad de Buenos Aires

La cirugía apical (CA) es un procedimiento quirúrgico que se realiza en el ápice radicular para resolver problemas crónicos que implican procesos infecciosos o complicaciones post-endodoncia.

OBJETIVOS: Evaluar la efectividad de biomateriales que actúan como elementos osteo-conductores para el tratamiento de las lesiones peri-apicales. **MÉTODOS:** Se realizó un seguimiento durante 24 meses de 120 pacientes de ambos sexos con patología apical de las piezas antero-superiores. Los pacientes fueron divididos según el tratamiento: 1) CA convencional (CAC, n=39), 2) CA con colocación de la membrana de fascia lata (MB) (Biotar, Rosario Argentina) (n=41) en el defecto óseo y 3) CA con la colocación de MB y de hueso en polvo liofilizado humano (Ostium Biotar, Rosario, Argentina) (n=39). Criterios de inclusión de los dientes tratados: 1) piezas tratadas endodónticamente, con persistencia o desarrollo de lesión apico-periapical y síntomas clínicos; 2) piezas con lesiones peri-apicales y manifestación clínica, con reconstrucción post- endodoncia con anclaje radicular rígido, cuya remoción pone en riesgo la integridad de la raíz; y 3) piezas con lesión periapical crónica con síntomas clínicos persistentes. Se realizaron registros radiográficos y tomográficos. Para evaluar el éxito general, se siguieron los criterios de von Arx y Kurt, teniendo en cuenta: a) el éxito, cuando la regeneración ósea es igual o mayor que el 50% y ninguno de los valores clínicos es 1, b) el fracaso, cuando la regeneración ósea es menor al 50% y al menos uno de los valores clínicos es 1. Los datos fueron analizados por test de χ^2 de Pearson. **RESULTADOS:** Los resultados muestran una tasa de éxito del 53,85% para el CAC, 92,86% para los pacientes tratados con MB sola ($p < 0,001$ vs CAC), y 94,88% para el tratamiento combinado de MB y hueso liofilizado ($p < 0,001$ vs CAC). Los exámenes histopatológicos asociados al tejido inflamatorio eliminado mostraron una alta frecuencia de quistes epiteliales inflamatorios (27,45%), seguida de granulomas apicales (15,69%), quistes odontogénicos (9,8%) y granulomas inflamatorios (9,8%). **CONCLUSIONES:** Los resultados demuestran la efectividad de los tratamientos osteo-conductores para la reparación ósea peri-radicular y apoyan su uso en cirugía apical.

K11

SEGUNDO CONDUCTO MESIOVESTIBULAR EN LOS PRIMEROS MOLARES SUPERIORES PERMANENTES. ESTUDIO DE FRECUENCIAS

1Martínez PA*, 1Alfie N, 1Buldo MA, 1Corominola PL, 1Lenarduzzi AL, 2Gualtieri Ariel, 3Fernández Solari J, 1Sierra LG, 1Rodríguez PA

Cátedra de 1 Endodoncia, de 2 Biofísica y de 3 Fisiología, Facultad de Odontología, Universidad de Buenos Aires

OBJETIVO: El propósito de este estudio fue determinar clínicamente la frecuencia de aparición del segundo conducto radicular mesiovestibular del primer molar superior y determinar la frecuencia de desembocadura del conducto en uno o más forámenes apicales. **MÉTODOS:** Se realizó el tratamiento de conducto en 55 pacientes con derivación a endodoncia del primer molar superior permanente, realizado siempre por el mismo operador y utilizando magnificación con microscopio clínico. Se consideró la presencia de uno o más conductos radiculares en la raíz mesiovestibular luego de la instrumentación de los conductos y se determinó el número de forámenes apicales cuando se introducían las limas de permeabilidad apical simultáneamente a una longitud mayor a la longitud de trabajo. Se utilizó el método score de Wilson para calcular intervalos de confianza 95% de porcentajes (IC95), **RESULTADOS:** Se registró que de los 55 pacientes tratados, la raíz mesiovestibular presentaba en el 21,82% [IC95=(12,95%; 34,37%)] un solo conducto desembocando en un solo foramen apical, el 30,91% [IC95=(20,28%; 44,03%)] presentaron dos conductos radiculares con un solo foramen apical y el 47,27% [IC95=(34,69%; 60,21%)] presentaron dos conductos radiculares con un foramen apical independiente cada conducto. **CONCLUSION:** La presencia de un segundo conducto mesiovestibular como así la frecuencia de desembocadura en un foramen apical independiente, presentan una alta frecuencia de aparición. Por lo tanto, durante la terapia endodóntica debe realizarse una exploración minuciosa del piso cameral, en busca de localizar y tratar el conducto, aumentando de esta manera las probabilidades de éxito de nuestro tratamiento a largo plazo

K12

ESTUDIO SOBRE RECONSTRUCCIÓN CORONARIA POST-ENDODONCIA, ESTADO DE SALUD PERIODONTAL Y DOLOR

Arena A, Moreno M, Gioino G, Gómez C, Luján G., Carvajal M, Garofletti J*, Brónstein M, Crohare L

Cátedra "B" de Endodoncia. Facultad de Odontología. Universidad Nacional de Córdoba. Argentina

Objetivos: Evaluar dientes con endodoncia, no restaurados, fracturados o reconstruidos y su relación con el estado periodontal y dolor.

Materiales y métodos: Se conformaron dos grupos: Grupo 1: 73 pacientes, (n: 91), casos tratados, concurrentes a la Cátedra de Endodoncia B, FO. U.N.C., atendidos por alumnos de grado año 2006. Grupo 2: 71 pacientes, (n: 83) casos tratados, concurrentes a los cursos de postgrado de endodoncia del COC y al Servicio Asistencial de la Cátedra, atendidos por odontólogos año 2011.

Resultados: De los 144 pacientes que conformaron la muestra total (cohortes 2006/08 y 2011/12), no asistieron a control 74 (51.4%) y de los 70 restantes que asistieron a control, se evaluaron 89 dientes. a) Estado periodontal basal **vs** asistencia a control: 85 casos de pacientes que no asistieron a control, 23 (27%), tuvieron periodontitis grave o complicada, del grupo que asistieron a control, sólo 1 de los 79 casos (1.3%), presentó periodontitis grave y ninguno complicada. Porcentaje de inasistencia a controles y estado periodontal ($p < 0.05$). b) Relación tipo de restauración y estado periodontal en controles: Restauración definitiva, 55.6% periodonto normal, 22.2% gingivitis, 22% periodontitis leve, no se registraron periodontitis graves ni complicadas. Sin restauración permanente, sólo el 3.9% de los pacientes, mostró un estado periodontal normal, un 7.8% gingivitis, el resto presentó algún grado de periodontitis ($p < 0.05$). c) Relación entre el estado dental y el estado periodontal en controles: de los 6 casos con diagnóstico periodontal normal o gingivitis dentro del grupo sin restauración definitiva, sólo uno presentó fractura (16.7%), 12 casos de fracturas asociados a periodontitis leve y grave (35.3%) y finalmente 8 casos de fractura sobre 11 que presentaban periodontitis complicada con presencia de dolor intenso (72.7%), diferencias significativas ($p < 0.05$).

Conclusión: Los resultados sugirieron que cuando se presenta una situación periodontal deteriorada, la probabilidad de no asistir a controles se ve incrementada. No existe asociación entre el estado periodontal basal y fracturas, pero sí los dientes sin restauración permanente experimentan mayores riesgos de fracturas y por consiguiente un aumento en los grados de afecciones periodontales.

K13

ANÁLISIS COMPARATIVO DE DISTINTOS MÉTODOS DE IRRIGACIÓN EN EL CONDUCTO RADICULAR

Arce Brissón G*, Visvisián C
Fac. de Odontología. UNC. Córdoba.

La irrigación del conducto radicular resulta indispensable para limpiar, remover residuos y limallas dentinarias.

OBJETIVO: Comparar la eficacia de la irrigación con presión negativa, con técnicas que utilizan presión positiva, en conductos rectos y curvos de forma circular y achatada.

METODO: Se utilizaron 180 piezas dentarias extraídas de 18 a 22 mm, luego de colocadas en un modelo ad hoc., se instrumentaron con Protaper hasta F3; e irrigaron con NaOCl al 6% y EDTA al 17 %. Posteriormente se dividieron en dos grupos: A: 90 Conductos Rectos y B: 90 Conductos Curvos; estos a su vez en dos subgrupos de 45 piezas dentarias cada uno con conductos circulares y achatados. Cada subgrupo se dividió en 3 grupos para emplear distintos métodos de irrigación: a) Irrigación con jeringa Miraject Endo Rinse 25 G (Presión Positiva), b) Irrigación con activación ultrasónica pta. 20 (Presión Positiva) c) Irrigación con sistema Endo Vac (Presión negativa). Luego, se les inyectó un medio de contraste para la toma de imágenes digitales con radiovisiógrafo. Se midió la penetración del irrigante a 1, 3 y 6mm mediante software Image Pro Plus. Los datos fueron analizados mediante el Test de Chi².

RESULTADOS: El sistema de irrigación Endo-Vac registró porcentajes significativamente mayores que los otros dos sistemas evaluados: irrigación convencional e irrigación ultrasónica, los cuales no se diferenciaron entre sí, ($p > 0.05$). Los dientes con conductos rectos registraron mayores porcentajes de irrigación que los con conductos curvos sólo al nivel de 1mm ($p < 0.05$), pero tanto a los 3mm como a los 6mm no hubo diferencias significativas ($p > 0.05$).

CONCLUSION: La forma y dirección del conducto radicular influye notablemente en la eficacia de la irrigación, siendo los conductos rectos y circulares los que registraron mayor profundidad de penetración del irrigante. El sistema de irrigación con presión negativa resultó ser más favorable comparado con los de presión positiva.

K14

COMPORTAMIENTO DE LOS INSTRUMENTOS ROTATORIOS ENDODÓNTICOS EN PRÁCTICAS PRECLÍNICAS DE GRADO

Miguel A*, Jutkin C, Casadoumécq AC, Ritacco E, Rodríguez AP, Sierra L
Facultad de Odontología - Universidad de Buenos Aires

Objetivos: El objetivo del presente trabajo fue analizar el nivel de eventos (estiramiento/fractura) en el instrumental rotatorio endodóntico de níquel- titanio después del uso en Prácticas Preclínicas de Grado en dientes ex vivos y tacos de acrílico. **Materiales y métodos:** Se seleccionaron alumnos de grado de la materia Endodoncia de cuatro comisiones ($n = 60$) que en las pruebas de apropiación de conocimientos y destrezas, superaron el valor de 7/10. A cada alumno se le entregó un kit de PROTAPER UNIVERSAL, nuevo para la realización de dos prácticas: 1° en tacos de acrílicos simuladores de piezas dentarias y 2° en una pieza unirradicular extraída de baja complejidad. Se evaluaron las series de limas S1, S2, F1, F2 y F3 en cada población. Se realizó una lectura macro de cada instrumento con lupa 4X, efectuada por un operador entrenado. Previamente, se realizó en el MEB una evaluación de los instrumentos sin uso y luego de los estirados o fracturados. Para el análisis de eventos producidos en cada serie de limas se utilizó el Test de Chi cuadrado de homogeneidad con niveles de significación de $p = 0,05$ (software estadístico Infostat) **Resultados:** No se encuentran diferencias significativas entre las distribuciones de los eventos en dientes y en taco. (Test de Chi² $p = 0.0957$). En el primer uso, de un total de 300 instrumentos utilizados 6 sufrieron un evento, siendo en el segundo uso de 270, 12 sufrieron un evento. Para cada instrumento el resultado fue que las diferencias no resultaron estadísticamente significativas (p valor de Irwin Fisher) S1 $p = 0.29$, S2 $p = 0.10$, F1 $p = 0.33$, F2 $p = 0.81$, F3 $p = 0.81$. Observamos la frecuencia de eventos por instrumento, surgiendo que son más frecuentes los eventos con F1 y F2 que con los restantes instrumentos. **Conclusiones:** La naturaleza de los eventos evaluados en operadores en formación de grado en su primera experiencia con sistemas rotatorios de níquel titanio, tuvo un rendimiento satisfactorio. La superficie del instrumento sin uso observada en MEB, presenta irregularidades con un patrón morfológico no repetible, lo que hace imposible predeterminar las variables pre y post uso.

K15

NO SE PRESENTA

K16

ENTEROCOCCUS FAECALIS EN PIEZAS UNIRADICULARES CON DIAGNOSTICO CLÍNICO DE NECROSIS PULPAR ABIERTA

Olivieri D1, Ciolli Ceccato V2, Gliosca L1; Rodriguez P2, Molgatini S1. Laboratorio de Diagnóstico Microbiológico, Cátedra de Microbiología1 y Cátedra de Endodoncia2. Facultad de Odontología – UBA.

Enterococcus faecalis (*Ef*), coco gram positivo (CGP), anaeróbico facultativo, catalasa negativo que presenta resistencia a múltiples antibióticos. *Candida* spp, hongo unicelular integrante de la microbiota bucal accesoria. Ambos presentan capacidad para constituir *biofilms*. **OBJETIVO:** Determinar la colonización de *Ef* y *Candida* spp en piezas uniradiculares con diagnóstico clínico de necrosis pulpar abierta (DC-NPA) previo al tratamiento endodóntico convencional. **METODOLOGÍA:** se seleccionaron diez pacientes adultos con DC-NPA al medio bucal, que dieron su consentimiento voluntario para participar del protocolo. Criterio de inclusión: presencia de piezas uniradiculares rectas con ápices cerrados; sin tratamiento antibiótico en los últimos 30 días. Diagnóstico radiográfico positivo por técnica de cono largo. Toma de material: se realizó buche antiséptico de clorhexidina al 0,12%, aislamiento absoluto y fotodesinfección coronal (FotoSan® 1min,100 mw). Eliminación de caries y remoción del tejido necrótico. Se tomó material con conos de papel estériles N° 15 y se colocaron en medio de transporte RTF. Los conos junto a dos extendidos fueron enviados al laboratorio. Las muestras fueron homogeneizadas y sembradas en caldo hipertónico 6,5% ClNa (CHE), agar bilis esculina suplementado al 0,04% telurito de potasio (BEAtel) incubados por 72 hs a 36°C en capnofilia y CHROMagar® *Candida* en aerobiosis. La biotipificación se realizó con pruebas convencionales (ROSCO®). **RESULTADOS:** El análisis descriptivo evidenció que el 60%(6:10) de las muestras desarrollaron *Ef* (Rto.1,6 10⁴UFC/ml) en BEAtel y el 40% (4:10) desarrolló *Candida* spp. El cultivo en CHE incremento en un 50% (2:4) la recuperación de *Candida* spp. El 20% presentó asociaciones entre *Ef* y *Candida* spp. Los exámenes directos coloreados con Giemsa confirmaron necrosis tisular en el 40% de las muestras y solo el 20% presentó respuesta inflamatoria activa. El 100% de los directos con CGP fueron positivos para *Ef*. **CONCLUSIÓN:** la detección microbiológica de *Ef* y *Candida* sp en muestras de necrosis pulpar previas al tratamiento endodóntico, podría orientar una terapéutica específica que permitiría disminuir las posibilidades de recidivas.

K17

FACTORES QUE INFLUYEN SOBRE LA CONFORMACIÓN APICAL EN CONDUCTOS DE PREMOLARES SUPERIORES

Zampa C*, Croaré L, Gani O
Facultad de Odontología. Universidad Nacional de Córdoba.

Conformar un conducto radicular significa crear en él un espacio limpio y libre de infección que permita una adecuada obturación. **OBJETIVO:** Analizar los factores que influyen sobre la morfometría de los conductos radiculares de premolares superiores (PmS) a 2mm del ápice y las posibilidades de su conformación. **MÉTODO:** Se utilizaron 45 primeros y 45 segundos premolares superiores (1PmS y 2PmS) extraídos, distribuidos en grupos de 15 piezas según la edad: Adolescentes (Ad): 14 a 20 años; Adultos jóvenes (Aj): 30 a 40 años y Adultos Mayores (Am): + de 50 años. En ellos se obtuvo un corte transversal a 2mm del ápice y sobre imágenes digitalizadas se estableció si tenían una o dos raíces y si el conducto era único (CU) o doble: uno palatino (CP) y otro vestibular (CV). En su luz se midió el diámetro mayor y menor y mediante cálculo matemático se estableció su forma (circular, oval, achatada o acintada). Por último se correlacionó el diámetro mayor del conducto con el punto D0 del instrumento requerido para lograr una conformación circular, tomando como parámetro el #40. **RESULTADOS:** Las formas achatadas y acintadas predominaron en ambos PmS con CU en todas las edades; fueron escasas en 2PmS y mínimas en 1PmS con doble conductos. Las posibilidades de conformación (diámetro mayor <0.4mm) en conductos del 1PMS fueron: CU (16.0%), CP (65.6%) y CV (51.6%) con diferencias (Pruebas de Chi cuadrado) significativas ($p < 0.05$) entre ellos. En el 2PMS: CU (20.8%), CP (37.0%) y CV (25.8%) con diferencias no significativas ($p > 0.05$). Considerando grupos etarios, en el 1PmS los valores fueron: Ad=26.5%; Aj=57.7% y Am=60.7% y en el 2PMS: Ad=3.3%, Aj=29.6% y Am=56.0%, con diferencias significativas ($p < 0.05$) entre ambos, salvo entre Ad y Aj del 1PMS y entre los grupos Am de ambos PmS. En un examen generalizado las posibilidades de conformación fueron del 46,6% en 1PMS y del 28,0% en 2PMS, con diferencias significativas ($p < 0.05$) entre ellos. **CONCLUSIÓN:** Conformar los conductos en PmS a 2mm del ápice depende de su morfometría, del factor edad y del calibre del instrumento. Un #40 es escaso en CU en todas las edades. Su efectividad crece con la edad en el CP del 1PmS y en menor grado en su CV. En el 2PmS las posibilidades son significativamente menores.

K18

VARIACIONES TÉRMICAS EN LA SUPERFICIE RADICULAR DURANTE LA DESOBTURACIÓN MECÁNICA DEL CONDUCTO

García Cuerva M*, Horvath L, Pinasco L, Ciparelli V, Tartacovsky H, Gualtieri A, Casadoumeq AC, Rodríguez AP, Gonzalez Zanotto C
Facultad de Odontología - Universidad de Buenos Aires

Objetivo: observar los cambios térmicos in vitro en la superficie externa de la raíz del diente generados durante los procedimientos de desobturación mecánica.

Materiales y Métodos

Se utilizaron 30 premolares inferiores unirradiculares (diámetro $15,5 \pm 2$ mm, se seccionaron en 16 mm desde ápico/coronal) recientemente extraídos. Se realizaron los tratamientos endodónticos de los mismos. Las mediciones fueron realizadas mediante un dispositivo digital con termocupla, en la superficie externa a diferentes tiempos ($t = 0, 8, 10$ y 15 segundos) al desobturar con fresas de Gates Glidden (G1, G2, G3); de Peeso (P1, P2, P3) y la correspondiente a PostecPlus FRC (FRC) siendo de uso único. Se comparó la temperatura ($^{\circ}\text{C}$) mediante pruebas ANOVA de medidas repetidas, seguidas por comparaciones entre pares mediante la prueba de Tukey (nivel de significación = $0,05$).

Resultados: Dentro de todas las fresas se encontró una variación significativa de la temperatura (media \pm DE $^{\circ}\text{C}$) entre los diferentes tiempos ($P < 0.05$). G1: t_0 23 ± 0 , t_8 26 ± 0 , t_{10} 28 ± 0 , t_{15} 29 ± 0 . G2: t_0 23 ± 0 , t_8 28 ± 1 , t_{10} 30 ± 1 , t_{15} 33 ± 1 . G3: t_0 23 ± 0 , t_8 30 ± 1 , t_{10} 32 ± 1 , t_{15} 34 ± 1 . P1: t_0 23 ± 0 , t_8 28 ± 1 , t_{10} 30 ± 1 , t_{15} 33 ± 1 . P2: t_0 23 ± 0 , t_8 30 ± 2 , t_{10} 32 ± 1 , t_{15} 34 ± 1 . P3: t_0 23 ± 0 , t_8 35 ± 1 , t_{10} 37 ± 1 , t_{15} 39 ± 1 . FRC: t_0 23 ± 0 , t_8 30 ± 1 , t_{10} 32 ± 1 , t_{15} 34 ± 1 . Específicamente, las comparaciones entre pares indicaron que la temperatura incrementó con el tiempo en todas las fresas ($P < 0,05$). Se detectaron diferencias significativas de temperatura entre las diferentes fresas después de 8, 10 y 15 segundos ($P < 0.05$).

Conclusión: El aumento de la temperatura de la superficie radicular fue importante ya que con los valores registrados se provocarían daños a nivel de los tejidos circundantes. La utilización de refrigeración, el control del tiempo de acción son parámetros ineludibles debido a que los mismos pueden contribuir a disminuir el calor generado y transmitido hacia la superficie externa de la raíz durante la desobturación.

K19

REACCIÓN DEL TEJIDO CONECTIVO DE RATAS A LA IMPLANTACIÓN DE SELLADORES EXPERIMENTALES

Cintra LT*, Ferreira LL, Benetti F, Rey MI, Valentim D, Sivieri-Araujo G, Jacinto RC, Dezan-Júnior E, Gomes-Filho JE
Faculdade de Odontologia de Araçatuba, Universidade Estadual Paulista – UNESP,
Departamento de Odontologia Restauradora

Objetivo: El propósito de este estudio fue analizar en forma comparativo la reacción del tejido conectivo subcutáneo de ratas a la implantación de tubos de polietileno obturados con Pro Root (MTA) y dos selladores experimentales que contienen hidróxido de calcio.

Metodos: Para este propósito, 30 ratas cepa Wistar fueron divididas en 4 grupos al azar: I – tubo vacío como control; II - tubo obturado con Sealepox; III - tubo obturado con Sealepox RP; IV - tubo obturado con ProRoot MTA (Dentsply Tulsa Dental, USA). Después de 7, 15, 30, 60 y 90 días de la implantación, se sacrificaron los animales y se retiraron los tubos implantados, así como el tejido capsular, que contiene el tubo. Las muestras fueron procesadas para su estudio histológico y coloreados con hematoxilina eosina. La intensidad de la reacción inflamatoria fue evaluada de acuerdo con las recomendaciones del "Council on Dental Materials and Devices", de la Asociación Dental Americana, por medio del establecimiento de scores, de la siguiente manera: nula o no significativa (0), discreta (1), moderada (2) e intensa (3). Este análisis fue realizado llevándose en cuenta la ausencia o presencia de neutrófilos, macrófagos, linfocitos, plasmocitos, células gigantes, cápsula fibrosa, áreas de necrosis y reabsorción, además de la formación de tejido óseo. Los datos obtenidos fueron sometidos al test estadístico de Kruskal-Wallis y Miller con 5% de nivel de significancia.

Resultados: El análisis microscópico mostró reacción inflamatoria más intensa en los períodos de 7 y 15 días. En todos los períodos, la respuesta inflamatoria fue similar entre los tres materiales ensayados ($p>0,05$).

Conclusion: Se puede concluir que, con respecto al potencial irritante, los cementos Sealepox e Sealepox RP se comportaron de manera similar a ProRoot MTA. (Apoyo: FAPESP - 2012/09987-0).



Imágenes odontológicas de alta complejidad

- Tomografía Cone Beam
- Pantomografía digital
- Telerradiografía digital
- Cefalometría digital
- Radiología digital ATM
- DentaScan



En Grupo Gamma brindamos información de alta calidad visual a los profesionales de la odontología, la ortodoncia y la cirugía maxilofacial.

Ofrecemos tecnología de punta, incluyendo la **Tomografía Computada Cone Beam**, el más avanzado sistema de imágenes odontológicas y maxilofaciales.

Nuevos servicios para los profesionales



Envío de imágenes por e-mail: el profesional derivante puede recibir las imágenes para una primera evaluación dentro de las 24 horas de realizado el estudio.



Flexibilidad en la entrega de informes: los estudios pueden entregarse impresos o en CD, además de ser enviados por mail.



Turnos en el día: el paciente puede solicitar un turno para el mismo día, ya sea por teléfono o a través de nuestra central de turnos online.

Más de 35 años de experiencia hacen de Instituto Gamma la Clínica de Diagnóstico por Imágenes líder de la región.



GRUPO GAMMA
RED INTEGRADA DE SALUD



INSTITUTO GAMMA
DIAGNÓSTICO Y TRATAMIENTO AMBULATORIO



Entre Ríos 330, (S2000CRF) Rosario, Santa Fe | Tel: (0341) 440 9090 | Turnos: (0341) 440 8000 | www.grupogamma.com

Grupo Cariología – Salud Pública SAIO



- ✓ Premio Salud Bucal. Grupo Cariología -Salud Pública.
- ✓ Subsidio “Región Latinoamericana” (para asistencia y presentación en Reuniones Científicas de la Región Latinoamericana de la IADR).
- ✓ Suscripto a *Oral Health & Preventive Dentistry*.
- ✓ Inscripto en la Dirección Nacional de Estadísticas e Información de Salud.
- ✓ Inscripto en el Registro de Relaciones Sanitarias e Investigación del Ministerio de Salud de la Nación.
- ✓ Participación en estudios multicéntricos nacionales y regionales.
- ✓ Oportunidad de becas para actividades, cursos y reuniones científicas de la especialidad.

www.saio.org.ar/cariologia.htm

COMISION DIRECTIVA 2013-2015

Presidente: Gabriel Sánchez
Secretaria: Ana Sorozábal
Tesorera: Zulema Pedemonte



Premios que otorga

“SUZEL M. SCOZZARRO” al mejor trabajo de investigación en Periodoncia, que contribuya a esclarecer algún aspecto, ya sea etiopatogénico, diagnóstico, preventivo o terapéutico de la enfermedad periodontal. La investigación podrá ser básica o aplicada.

“FEDERA” al mejor trabajo de investigación en implantes dentales. La investigación podrá ser básica o aplicada.

Condiciones para pertenecer: ser Socio Activo de SAIO (SAIO-IADR)

- TOMOGRAFÍA COMPUTADA EN 3D
- PROMAX PROFACE
- ESCANEADO DE MODELOS 3D
- PRECISIÓN EN EL DIAGNÓSTICO
- EXCELENCIA PROFESIONAL



CIOR
CENTRO DE IMAGENES
ODONTOLÓGICAS ROSARIO

CIOR, es un centro creado y pensado por Odontólogos. Con la adquisición del segundo tomógrafo ProMax 3D Mid, hemos incorporado tecnología de avanzada en el diagnóstico que permite una imagen 3D única y pionera en el sector, combina tres tipos diferentes de datos (foto facial 3D, escaneo de modelo 3D y CBCT). Ofrecemos un lugar integral donde realizar estudios de mediana y alta complejidad con la confianza de un diagnóstico preciso.

3 DE FEBRERO 1744. TEL.0341-4210649. ROSARIO
www.ciorosario.com.ar info@ciorosario.com.ar

www.postersintesis.com
IMPRESIÓN DE PÓSTERS PARA CONGRESOS

Nuestro sistema de carga de archivos a través de nuestra web, te permite recibir tu póster sin mas que cargarnos el archivo y llenar el formulario de contacto. Es un sistema :

SIMPLE SENCILLO EFICIENTE

Agradecemos a los clientes que nos siguen eligiendo y seguimos trabajando para brindarles un óptimo servicio

Implantes Dentales
FEDERA

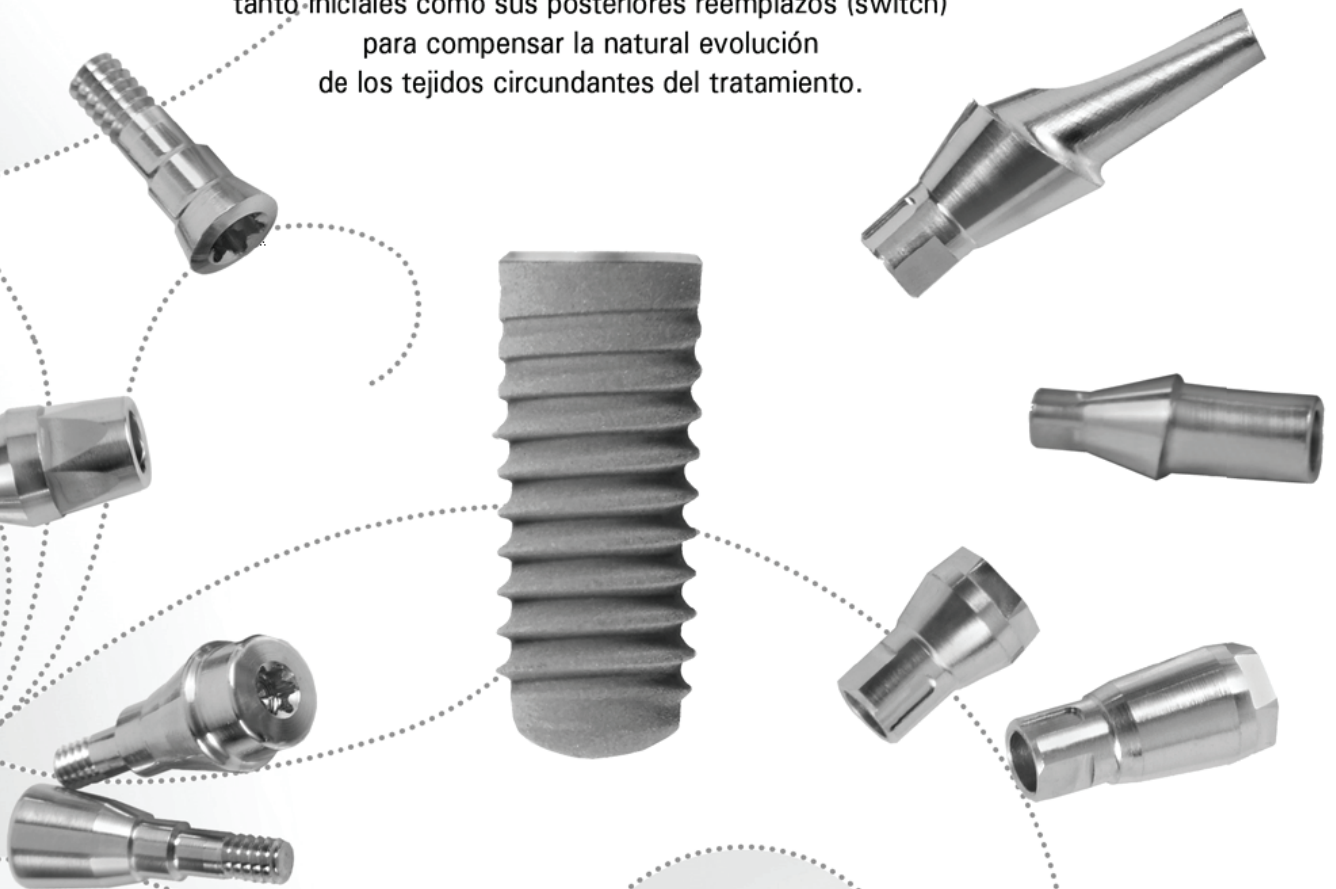
presenta lo último en implantes dinámicos

FIS

Federa implante Switch

El sistema FIS fue concebido para restauraciones Implanto-odontológicas de alta exigencia estética donde se requiere de una gran flexibilización de las opciones protéticas.

La gran variedad de artículos maximiza los resultados tanto iniciales como sus posteriores reemplazos (switch) para compensar la natural evolución de los tejidos circundantes del tratamiento.



FEDERA S.R.L. Av. Córdoba 1856. 4°Piso. Bs As.
Tel/Fax: 011-4815-4467 info@implantesfedera.com

ANMAT Leg.998 Disp.2346/11 Cert.BPF de Prod.Médico N°19352/10-8



Gustavo Tamborini
VENTA DE INSUMOS ODONTOLÓGICOS

Leonor S. de Cortés 3054 - 2170 CASILDA (Sta. Fe)
Tel.: 03464 - 15515922 - E-mail: gustamborini@hotmail.com



En prevención e
higiene bucodental...
**Las mejores
marcas.**



TOP DENTAL
SUCESORES DE COVA DENTAL
SANTA FE 1438 Tel: 448-5981Rosario

INDICE DE AUTORES

ABADIA, MRN	B25	ARANCEGUI, N	B13, B14
ABALLAY, L	A20	ARAUJO, CRP	F32
ABATE, PF	B09, B10	ARAUJO, MAR	F32
ABREU, F	G35	ARCE BRISSÓN , G	K13
ACOSTA HAAB, G	A07	AREDES, JE	B04
ACTIS, AB	D22, E11, E12, I12	ARENA, A	K12
ADÁ, GA	G47, J01	ARGENTIERI, AB	E03, E13, G40, G43, I02, I04,
AGASI, R	G58, I18, J04	ARIAS, SC	G01
AGÜERO ROMERO, A	D20, D21	ARMADA, M	D04
AGÜERO, N	I23	AROMANDO, RF	A04, A09
AGUILAR, J	F01	ARRIAGA, A	A35
AGUILAR, P	F14	ARTEAGA, S	G56
AGUIRRE, MV	C11	ARUAJO, CRP	F32
AGUZZI, A	A29	ASIS ONELL, G	A31
AIMO, A	A36	ASTORT, F	D20
ALAMINOS, M	I19, I20	ASUETA, M	H08
ALBIERO, E	A24	ATALA, J	B12
ALDERETE, MS	I16	ATTORRESI, B	B13
ALDERETE, S	I13, I22	AVELLANEDA, RA	H09
ALFARO, G	B27, E06	AVELLANEDA, RV	A36
ALFIE, N	K11	AZCONA, MS	G45
ALFONSIN, A	G05	AZCURRA, AI	E07, E08, G15, G17, I09
ALGARIN, S	G55	BACHMEIER, E	D01, D02
ALIPPI, RM	A16, D11, D12, D21	BAL DE KIER JOFFE, E	A06
ALLENDE, A	A35, A38	BALCARCEL, NB	D09
ALMEIDA, E	F17, F18, F19, F29	BALSAMO, MF	J03
ALMIRÓN, MS	C11	BARBIERI VAN HAASTER, MM	D09
ALONSO, S	D23	BARBOSA E SILVA, CC	B20
ALTAMIRANDA, S	H05	BAREMBAUM, SR	E07, E08, G15, G16, G57, I09
ALURRALDE, P	A40	BARNETCHE, MM	G52
ÁLVAREZ, C	B19	BARÓ, MA	A31
ÁLVAREZ, E	A27	BARSANTI, A	D23
ALVAREZ, M	D04	BARTHE, D	G58, I18, J04
AMARO, E	B27, E06	BASAL, R	B27
AMATTI, L	A23	BASAL, RL	E06
AMER, M	C03, C04	BASILAKI, J	K02, K05, K06, K07
AMORIM, L	G35	BASOVICH, GJ	J01
ANTEQUERA, L	G24	BASOVICH, JG	G47
ANTONA, ME	D10	BASS PLUER, A	E08
ANTUNES, L	G35, G36	BASUALDO, MM	A29
ANTUNES, L	G35, G36	BAVA, E	G31
ANTUÑA, MV	F08	BAZÁEZ, M	G39
ARAGÓN, HN	A36, A37	BAZZANO, G	F23
ARAMBURÚ, G	I10	BELARDINELLI, PA	G15, G17

BELLA, M	G51, I23	BRUNO, M	A28
BELLONI, D	B27	BRUNOTTO, M	A20, B03, D16, G04, G39
BELLONI, F	E06	BRUSCA, L	A17, F17, F18, F19, F21, F29
BENEDÍ, D	C07	BRUSCA, MI	A17, F14, F15, F17, F18, F19, F21, F27, F29, H03, H04, J03
BENEGAS, R	A17, F17	BRYK, G	D08
BENETTI, F	K19	BULDO, MA	K11
BENITEZ ROGÉ, SC	H02, H06	BURNA, D	F18
BENTIVENGA, N	B27, E06	BUSAMIA, B	A24
BERLANGA DUARTE, ML	B08	BUSCH, L	F22
BERNAL, C	D22	BUSLEIMÁN, FJ	B03
BERNAT, NI	E01, E04, E05	BUTLER, T	B27, E06, I17
BERTA, MG	I10	CABALLERO, A	G34
BERTOLOTI, C	H05	CABRAL, RJ	B01, B12, K08
BERTOLOTTO, P	E11, E12	CABRINI, RL	A07, A10, A25
BIANCHI, L	D04	CACHIA, A	G59
BIELSA, F	G32	CACIVA, R	G17
BINHARDI, TDR	G27	CAIXETA, BS	B24
BINICKI, R	D04	CALAFELL, C	F02, F24, F25
BIONDI, A	G19, G32, G37, G48	CALAMARI, C	A18
BIONDI, AM	B18, G14, G33	CALATAYUD, L	G01
BISIO, CL	I09	CALVANO, C	D04
BOCCIO I	F08	CALVIMONTE, C	I05
BOJANICH, MA	D24, D28	CALVO GUIRADO, JL	B07
BOLESINA, N	G16	CALZADILLA BASTIDAS, A	H03
BONFANTE, EA	B28	CAMARA, DM	G26
BONFANTE, G	B28	CAMARGO, ER	G46
BORDA, E	A41	CAMPOS, A	C06, C09
BORDONI, N	F09, I04	CAMPOS, F	I19, I20
BORJAS, MI	G13	CAMPOS-SÁNCHEZ, A	I19, I20
BOYER, PM	D20, D21	CANTERO, MR	D26
BOZAL, CB	C08	CANTIELLO, HF	D26
BOZANO, P	E01	CANZOBRE, MC	D03
BOZZA, F	F03, F04	CAPUANO, C	G06, G11, G41, G42
BOZZATELLO, J	G25	CAPURRO, A	D18
BOZZINI, C	A16, C10, D05, D11, D12, D17, D20	CAPUSOTTO, A	B09
BOZZINI, CE	A16, D11, D12	CARABAJAL, E	A14
BRAIN, L	B01	CARAMES, R	G45
BRANDIZZI, D	A07, A25	CARBALLO, B	F14, F18, F21
BRASCA, N	I05	CARDOZO, B	A42
BREGAINS, L	I19	CARENA, G	F10
BRIÓN, V	G45	CARLETTO-KÖRBER, FPM	G50, G51
BRISSELLI, V	A17, F27	CARPENTIERI, AR	I09
BRITO, G	A37	CARRANZA, S	G56
BROCHERO, G	B12	CARRETONI, A	G37
BRÓNSTEIN, M	K12	CARVAJAL, M	K12
BRUNO, G	H06		

CASADOUMECQ, AC	K09, K14, K18	CRISCUOLO, MI	G17
CASAL, M	F18, F27, F29	CROHARE, L	B12, G34, K12, K17
CASAÑAS, E	F30	CRUZ, M	A13, A33
CASTILLO, G	G57	CUCCHETTI, D	B27, E06
CASTILLO, GV	G15	CUEVAS, C	B19
CASTILLO, JJ	H05	CULACCIATI, C	G08, G12, G20
CASTRO, M	G40, G43	CUNHA, RF	G27, G28, G30
CASTRO, Y	A40	CUNHA, VS	F32
CATALÁN, P	I22	CUROTTO, P	A04
CATALÁN, PE	I16	DALPASQUALE, G	G46
CATTANEO, M	I17	DANELON, M	G26, G46
CENTENO, VA	D24, D25, D28	DÁVILA, H	C02
CHAMPIN, GM	A16, D11, D20	DAVISON, MR	A01
CHIAPPE, VB	K01	DE ANDRES, A	F30
CHIARAMONI, N	D23	DE BIASSIO, MB	E10
CHIARENZA, A	D21	DE CESARE, A	G09
CINTRA, LT	K19	DE COUTO PITA, A	D18, F22
CIOLLI CECCATO, V	K16	DE LA CAL, C	D15, D31
CIPARELLI, V	K18	DE SCHANT, ME	K01
COBANERA, A	G18	DE VICENTE, JC	F30
COCCO, L	I21	DEGAETANO, S	I17
COELHO, PG	B28	DEJEAN, CB	K01
COGLIATI, G	A18	DELBEM, ACB	B15, B16, G26, G27, G28, G30, G46, G61
COHEN, S	G55, G56	DELGADO NAVAS, L	H04
CONDIS, G	I15	DEMACOPULO	A07
CONILL, J	I06	D'ERAMO, L	D23, F03, F04, G03
CONTI, MI	D05, D17	DEZAN-JUNIOR, E	K19
CONTI, PCR	F32	DI BENEDETTO, S	B13
COPELLO, MN	I15	DI CROCE, DE	D31
CÓRDOBA, J	I22	DI GIROLAMO PINTO, G	I21
CÓRDOBA, JE	I16	DÍAZ, A	G59
CORIA, SH	I01	DIAZ, C	G06
CORNEJO, C	G12, G20	DÍAZ, DH	C05
CORNEJO, LS	G50, G51, G52	DODELSON DE KREMER	D30
COROMINAS, O	A15, A32	DOLONGUEVICH, E	G01
COROMINOLA, PL	K11	DOMINGO, M	A21
CORRARELO, A	G58, I18, J04	DOMINGUEZ, A	A39
CORTESE, SG	B18, G14, G19, G32, G33, G37, G48, G60	DOMINGUEZ, SA	E01
CORTI, S	D15	DONES, V	K09
COSCARELLI, N	I07	DORO, V	F24, F25
COSTA, O	D10	DOUTHAT, W	A15
COSTA, YC	B25	DUBERSARSKY, C	D02
COSTANTINO, E	E11, E12	DULONG, I	F08
COTELO, L	G56	DUQUE, C	B15, B16
COZZARIN, ME	A06	DURAN, JDG	C06
CRESPO, M	G31	ECHAIDE, M	D04

ECHEVERRIA, A	F29	FRIDMAN, D	G14, G19, G32, G48
ELIZONDO CASSAB, E	G25	FRIEDMAN, S	A27, D07, D10, D20, D21
ELVERDIN, JC	A19, D06, D13, D14, D19, K10	FUKS, J	G10
ESCANDRIOLO	D22, E11, E12, I12	FUNOSAS, ER	F08
NACKAUZI, JD		FURCI, N	G06
ESCOVICH, L	A18, A23	FUSTER, I	F06
ESCUDERO, E	B27, E06	GAFFURI, S	A17
ESCUDERO, ND	C05	GAGLIARDI, R	I17
ESTEVE, S	G21	GAIT, MT	I14
ESTEVEZ, A	A14	GAITIERI, M	I15
FABBRO, A	A38	GALARZA, R	G48
FACHILE, JC	A18	GALÍNDEZ, F	A20
FAJARDO, R	F15	GALLARÁ, R	D22, D24, D25, D28
FARAH, C	G19, G32	GALLEANO, S	B13
FARIAS, M	G55	GANCEDO, A	G37
FARIAS, MA	G02	GANDOLFO, M	A02, A07, A08
FARÍAS, R	A04	GANI, O	K17
FASSINA, NA	B04	GANZINELLI, S	A41
FAVRETTO, CO	B15, B16, G26, G28	GARABALINO, MA	A04
FEDELLI, L	F04	GARBARINO, C	G24
FERELLO, A	G09	GARCÉS, MA	B07
FERNÁNDEZ, A	F13	GARCÍA BLANCO, M	F05, F26, F31
FERNÁNDEZ, C	G06, G08, G11, G42	GARCIA CUERVA, M	K18
FERNÁNDEZ, CA	F11	GARCÍA PUENTE, C	A09, K01
FERNANDEZ, CN	G01, G13	GARCÍA, B	G21
FERNÁNDEZ, ER	A22	GAROFLETTI, J	K12
FERNÁNDEZ, R	G29	GARRITANO, M	F15, F17, J03
FERNANDEZ-SOLARI, J	A19, D05, D06, D13, D14, D19, K10, K11	GARROFÉ, A	H08
FERRARI, LE	G60	GARZÓN, M	F19
FERRARINI, S	G07, G23	GIACCO, CA	A07
FERRARIS, ME	C09, H07, I20	GIAQUINTA, MA	I06
FERRARY, T	D04	GIARDINI, A	A40
FERREIRA, LL	K19	GIGENA, C	B02
FERREYRA DE PRATO, RS	A31, A32	GIGENA, PC	G50, G51, G54, I23
FESER G	F08	GILI, J	A40
FINKELBERG, AB	D01, D02	GILI, MA	C11
FINLANDINO, G	G58, I18, J04	GILIGAN, J	G25
FLORES, S	A17, F21	GIMÉNEZ DEL ARCO, ML	A09
FOLCO, AA	H05, H06	GIMENEZ, G	I17
FONTANA, S	A15, A24, I14	GIOINO, G	K12
FONTANETTI, PA	C01, D24, D28	GIORGIO, AO	G47, J01
FORT, A	G10	GIRAL, N	A18
FOURNIER, M	G21	GIRALDO HENAO, KJ	H03
FRACAPANI, M	I06	GIRARDI, M	I05
FRENCKEN, JE	B01	GIRAUDO, M	I09
		GLIOSCA, L	E01, F03, F04, F10, G12, G20, K16

GOBBI, C	A24	HERRERA, A	I05
GOMES, RB	B24	HERRERA, G	G58, J04
GÓMEZ DE FERRARIS, ME	C06	HERRERA, M	F06, G56
GOMEZ, C	K12	HETCH, P	A14
GOMEZ, M	F17	HORVATH, L	K18
GOMEZ, S	F06	HOSIDA, TY	B15, B16, G28
GOMEZ-FILHO, JE	K19	IANTOSCA, A	I17, I21
GONZALES CHAVES, M	D07, D08	IBANEZ MARINO, C	F17
GONZALES CHAVES, MC	D10	IBAÑEZ, C	B12
GONZÁLEZ PÉREZ, SE	B08	IGLESIAS, M	H06
GONZALEZ SEGURA, I	D25	IGLESIAS, MV	E03
GONZALEZ ZANOTTO, C	K18	INTERLANDI, V	D24, D25
GONZÁLEZ, DA	D09	IRIQUIN, SM	G29
GONZÁLEZ, L	J04, G58	ITOIZ, ME	A02, A04, A08, A09
GONZÁLEZ, MM	A22	IVANOV, M	B27, E06
GONZALEZ, N	G37, H08	JACINTO, RC	K19
GONZÁLEZ, NN	A12, A33	JARCHUM, G	D01
GONZÁLEZ, PM	A27	JORRAT, M	A37
GONZÁLEZ, S	A04	JOTKO, C	I17
GORDILLO, ME	A36	JUÁREZ, T	I22
GOSSO, C	G25, G49	JUÁREZ, TA	I16
GOYA, JA	C07	JULIÁN, S	B02
GRANADOS, D	B07	JUTKIN, C	K14
GRANATO, M	B14	KAPLAN, AE	B06, B11, H08
GRANDINETTI, JA	A17, F14, F15, F17, F18, F19, F21, F27, F29, J03	KAPLAN, R	A32
GRANJEIRO, J	G36	KARABEN, V	G44
GRIFO, MB	C03, C04	KESZLER, A	A10
GRINBERG, J	G37	KLEMONSKIS, G	G12, G20, G23, G55, G56
GRUNBERG, K	I20	KOHEN, S	B26
GUALTIERI, A	K03, K04, K11, K18	KOHLI, A	C02, G21
GUALTIERI, AF	F05, F31, I01	KOKUBU, S	B10
GUANCA, F	F07	KREIMANN, EL	A07
GUANZINI, M	G62	KREINER, M	G53
GUGLIELMOTTI, MB	A19, A21, A24, A28, F01, F28, H02	KUCHLER, E	G35, G36
GUITELMAN, I	G19, G32	LABANDEIRA, A	F01
GULINO, M	F08	LABARTA, A	K03, K04
GUTIERREZ, M	K08	LABATE, LM	H03, H04
HALL, KB	G27, G30	LACOVINO, N	B26
HANSEN, A	F21	LAMA, MA	A13, A26, G47, J01
HEBER, EM	A04	LANFRANCHI TIZEIRA, HE	A02, A08, A20, A34
HECHT, P	H06, K02, K05, K06, K07	LAPALMA, M	D27
HEINZE, VM	E11, E12	LARGHI, C	G54, I05
HERANÁDEZ, G	F30	LASZUK, T	G55
HERNÁN, A	A23	LAZO, G	B27, E06
HERNANDEZ, S	A38	LAZO, S	B27, E06
		LAZOS, J	G04

LAZZATI, MR	G11	MAILAND, M	A23
LAZZATI, R	A13, G07, G12, G20, G41	MAINO, A	G59
LEBIÉ, A	F08	MALBERTI, AI	B07, I14
LEE, CM	D05, D17	MANARELLI, MM	G27, G30
LEHNER ROSALES, EMP	I09	MANDALUNIS, PM	C01, C05, C07, C10, D07, D08, D10, D21, I01
LEHNER, E	G57	MANDOZZI, M	G38
LEI, MA	B06	MANTEROLA, ER	G58, I18, J02, J04
LENARDUZZI, A	A11, A12	MANTEROLA, M	I18
LENARDUZZI, AL	K11	MANTO, MC	E13
LEVIN, B	E03	MANZANO, M	I05
LEWICKI, M	C10	MARCHI, R	G06
LEWIN, PG	A11, A12, A13, F07	MARCILLO, OO	B31
LEZCANO, C	G24	MARCKIEVICZ, J	I18
LEZÓN, CE	D20, D21	MARCONI, M	I14
LIANDRO, F	G16	MAREGA, G	G38, I08
LIMA, AA	B23	MARESCA, BM	G47, J01
LINARES, JA	D01, D02	MARIANI, M	A24
LISSERA, G	I10	MARIÑO, G	G55
LISTORTI, A	F29	MARQUIEVICH, J	G58, J04
LOCS, J	F12	MARSEILLAN, M	G18
LOHA, C	F06	MARTÍN, A	B14
LOIACONO, R	K04	MARTÍN, M	G01
LOPES, L	G35	MARTINEZ REINOSO, J	E03, E13
LÓPEZ DE BLANC, SA	G15, G16, G17	MARTINEZ RODRIGUEZ, J	F28
LOPEZ PINTOR, RM	F30	MARTÍNEZ, A	D27
LOPEZ, B	G56	MARTÍNEZ, AB	K01
LÓPEZ, E	A23	MARTÍNEZ, AD	D30
LÓPEZ, ME	A36, A37	MARTÍNEZ, C	F11, F12, F13
LÓPEZ, MM	D01, D02	MARTÍNEZ, D	D04
LÓPEZ-LÓPEZ, MT	C06	MARTINEZ, MC	H07, G57
LOPREITE, G	K02, K05, K06, K07	MARTÍNEZ, MP	D05, D17
LORENZO, M	I10	MARTINEZ, PA	K11
LOYOLA GONZÁLEZ, P	A39	MASOLI, C	G06, G11, G41, G42
LOZINA, L	A42	MASQUIJO BISIO, PA	A08
LUCENTINI, M	F19, F29, J03	MASSON MOLINE, G	G07
LUCERO, MF	G51, G54	MATEO, MT	E03
LUJÁN, G	K12	MATEU, ME	H02, H05, H06
LUNA, I	A17, F15	MAZZEO, MA	D01, D02
LUTRI, P	G34	MAZZOLA, I	B01
LYARDET, L	A01	MEDICI, SA	E13, G02, G03, I02
MACCHI, RL	B04	MEDINA, JA	A37
MACRI, EV	D10	MEDINA, MM	I07
MADZZUDULI, G	D16	MEDINA, V	D13, D14
MAGLIANO, R	G34	MELE, C	F14
MAIA, JSP	B21	MELE, S	I17
MAILAND, D	A23	MELLO JÚNIOR, M	B21

MELONI, N	G16	NAFISSI, C	G01
MÉNDEZ, CF	D18, D23, F22	NAGATA, ME	G27, G30
MENDOZA GONZALEZ, FJ	E02	NALLI, G	A34
MENIS DE MUTUAL, L	K08	NANNINI, A	G24
MENSO, J	F23, F24, F25	NAPOLI, A	G10
MERCADO, G	A40	NAVES, CM	B20
MERELLO, J	G21	NEEDLEMAN, M	G42
MERLETTI, SM	I13, I16, I22	NEPPELENBROEK, KH	B31
MERLO, D	B27, E06	NERVEGNA, MT	C10
MIGUEL, R	I21	NICOLOSI, LN	A11, A12, A13, A26, A27, A33, F07
MIGUELES, A	K03, K14	NIEMAN, N	I13, I22
MINUTOLO, MC	H06	NIETO, A	G04
MIRANDA, AB	F32	NIGG, DW	A04
MIRANDA, S	G57	NOIER, M	F14, F18, F21
MIRANDA, TC	B20	NOME, C	B30
MIROTTI, G	G34	NOSTE, JL	B13
MÓDENA, JC	A33	NUÑEZ, R	G16
MOHN, C	A19, D13, D19	OCAMPO, M	B12
MOLGATINI, SL	E01, E03, E04, E05, F03, F04, F10, K16	OCHOA SALAZAR, C	A30
MOLINA, GF	B01	OCHONGA, G	G57
MOLINA, P	I22	OCHOTORENA, A	G58, J04
MOLINA, PE	I16	OLAVEGOGEOASCOECHEA , P	A17, F17, F29
MONCUNILL, I	I22	OLIVEIRA, DC	G28
MONDELLO, A	G19, G48	OLIVEIRA, DCG	B23
MONOD, MS	A13	OLIVEIRA, DG	B31
MONOD, S	D04	OLIVETO, V	G58, J04
MONTES DE OCA, J	F10	OLIVIERA, MS	A25
MONTI HUGHES, A	A04	OLIVIERI, D	K16
MORAES, EP	B20	OLMEDO, DG	A21, A28, F11
MORAES, FRN	G30	ORELLANA PEREZ, C	G56
MORALES, M	I18	ORMAECHEA, R	G53
MORALES, S	G44	ORMAN, B	D04, D29
MORASSO, AM	G18	OROSCO, FA	B21, B22, B25
MORATA, M	H09	ORTEGA, S	E09
MORELATTO, R	A35, G17	ORTEGA, SM	E10
MORELLO, F	F06	ORTOLANI, A	B18, G31, G33
MORENO DE CALAFELL, M	F02, F24, F25	OSENDE, N	A14
MORENO, M	K12	OSILIO, M	I10
MORO, C	A29	OSPINA CRUZ, ON	H04
MORÓS, CG	A26	OSSOLA, CA	D06, D19
MOYANO, A	F24, F25	OSTUNI, MA	D09
MÜLLER DAVIES, B	G18	OVIEDO, JC	F24, F25
MUÑIZ ACOSTA, A	E02	OZOLS, A	F11, F12, F13
MUSSO, G	F24, F25	PACHECO, R	G12, G20
MUTARELLI, A	F17, F19	PAGÉS, T	D12

PAIXAO, I	G35	PIÑEIRO, AE	D17
PALACIOS, NP	E01, E04, E05	PIOVESÁN, S	G53
PALOMBA, S	G10	PISTERNA, G	G59
PAPARELLA, ML	A02, A06, A08, A09	PISTORESI, MC	E11, E12
PAPEL, G	I07	PITA MARTÍN DE	D08
PAREDES, MV	F30	PORTELA, ML	
PARI, F	C03, C04	PLAVNIK, LM	I14
PASART, J	F26	POLITI MATTAR, CM	H09
PASCUCCI, J	I06	POLLO, MF	H03, H04
PASQUALINI, ME	D16	PÓLVORA, B	I17, I21
PASSARINI, L	G40, G43	POMPEO, M	A13, F07
PAVAN, V	A40, G62	PONCE, A	G50
PAVESI FARDIN, V	B28	PONCE, RH	D24, D25, D28
PAZ, M	A23	PORTA, J	G54, I05
PAZOS, F	B27, E06	PORTO, VC	B31
PAZOS, X	G10	POZZI, ECC	A04
PEDEMONTE, Z	I03	PRADO, M	F11
PEDREIRA, P	F09	PRELIASCO, M	A01
PEDRINI, D	B15, B16	PRESTIFILIPPO, JP	D13, D14
PEDROSO, LE	H09	PROBE, C	I03
PEDROSO, RL	H09	PUIA, SA	F05, F26, F31, J03
PELLEGRINI, GG	A01	PULITANO MANISAGIAN, GE	C07
PELOSSI, PL	B11	PUNTARULO, S	A27
PEME, C	I12	PUTNINS, A	F12
PEÑA, G	A23	QUINTERO, A	F08
PEPE, MB	G11	QUINTEROS VILLARRUEL, E	D29
PERCINOTO, C	G26, G27, G30	RACEDO, J	G55
PEREIRA, LCG	B20, B21, B22, B23, B24, B25	RACIOPPI, M	G58, J04
PÉREZ BAZÁN, ME	H09	RAFFAELLI, C	G56
PEREZ MEYER, ML	G18	RAIMONDI, AR	A06
PEREZ, HV	D19	RAMIREZ, L	G44, G58, J04
PÉREZ, L	I13, I22	RAMÍREZ, MJ	A14
PÉREZ, LI	I16	RAMOS, AR	B25
PÉREZ, MA	A02	RAMOS, C	A27
PÉREZ, PL	D26	REA, A	G44
PEREZ, SR	A42	RENOU, SJ	F01, F28
PERTINO, MR	I17	REPOSSI, G	D22
PESCE, E	I06	RESENDE, NGO	B23
PESSAN, JP	G26, G27, G30, G46, G61	RESTREPO OCHOA, CM	H03
PICASSO, EO	A16	REY, MI	K19
PICCA, M	G43	REYNA MEDINA, LA	B08
PICCIONI, O	A38	REYNOSO, A	D27
PILONI, MJ	F01	REZZÓNICO, MS	I09
PINASCO, L	K18	RHYS, K	A24
PINTOS, PM	D20, D21	RIBOTTA DE ALBERA, E	F06, F23
PIÑEIRO VARINI, R	A35	RICHARD, SB	D31

RIGUERO, G	H06	SAKALIAN, C	C09
RIMERO, M	K07	SALAS, A	I15
RIOS KRISTJÁNSSON	D12	SALGADO, P	G05, G06, G07, G08, G10, G11, G23, G40, G43, G55, G56, I02, I04
RÍOS, CE	D13, D14		
RIOS, H	D03	SALINAS, D	G01
RITACCO, E	K14	SALVERAGLIO, I	G53
RIVERA, A	B19	SANCHEZ DAGUM, M	G25, G38, G49
ROBLEDO, G	A35	SANCHEZ DAGÚN, M	I08
ROBLES, M	F15	SÁNCHEZ, GA	C03, C04, D15, D18, D31, F22, G02, G03
ROCAMUNDI, MR	A15, A31, A32	SÁNCHEZ, LM	A03, I01
ROCHA, C	G58, I18, J04	SANCHEZ-QUEVEDO, MC	I19
ROCHA, SCA	B22	SANTILLÁN, ME	I05
RODAS, JA	C05	SANTOS, J	D23
RODRIGUEZ SANTOS, IP	D26	SANTOS, MG	B24
RODRIGUEZ, AP	K14, K18	SANZ, A	G38
RODRIGUEZ, I	I10	SAPIENZA, M	I21
RODRIGUEZ, IA	B29, B30, C06, C09, I19, I20	SARAVIA, ME	B30
RODRIGUEZ, J	C10	SAUCHELLI, V	G17
RODRIGUEZ, MA	C09, I19, I20	SCARPATTI, N	F21
RODRIGUEZ, N	I16	SCATENA, MG	E07, G15, G57, I09
RODRÍGUEZ, NME	A37	SCHENEIDER, E	A14
RODRÍGUEZ, P	A11, A12, F07, K03, K09, K16	SCHERMA, ME	D16, I10
RODRIGUEZ, PA	K10, K11	SCHNEIDER, R	K03
RODRIGUEZ, PN	E03, E13	SCHNELL, M	F19
ROMERO, F	G24	SCHWINT, AE	A04
ROMERO, J	F19, F27, J03	SCIONTI, G	C06
ROMERO, M	K02, K05, K06, K07	SEBELLI, PMF	G60
ROMERO, S	A29	SECCHI, DG	A20
ROSA, A	D29	SEMBAJ, A	F23
ROSELLA, C	F24, F25	SERAFIM, NG	B22
ROSENDE, RO	A42	SERRA CAPO, T	G08
ROSMINO, MF	E01, E04, E05	SERRANO, V	I17
ROSSI, G	G07, G08, G09, G12, G20, G41	SEVERINO, L	K02, K05, K06, K07
ROTEMBERG, E	G53	SEZIN, M	G34
ROYAS, RT	B24	SIERRA, L	K03, K04, K10, K11, K14
ROZAS, CA	B29, B30, C09	SILVA, CMA	B23
RUBIO, MC	A11, A12, A13, A26, A27, A33, F07	SILVA, DF	B16
RUBIO, S	F24, F25, G57, I09, I14	SILVA, MER	B15, B16, G28
RUDZINSKI, J	A13	SILVA, MTF	B25
RUDZINSKI, JJ	F07	SILVA, PK	B21
RUEDA, L	I07	SILVA, RA	D16
RUFOLO, C	A01, D07, D08	SIN, C	E09
RUGGERI, S	G01	SINGH, F	I22
SAFURI, F	G62	SITTNER, M	A28
SAIEGH, J	A11, A12	SIVIERI-ARAUJO, G	K19

SMAISIK, K	G53	TOLCACHIR, B	G57
SMOLER, M	D26	TOLEDO, M	G20, G55
SOCOLOVSKY, LM	D14	TOMAS, L	I07
SOKEN, L	F03, F04, F10	TOMASETTI, V	A13
SOLA, M	I19	TOMASZUC, R	G09
SOLARI, E	I17	TORAL, M	G23
SOLARI, N	F24, F25	TORANZO, S	J03
SOMAGLIA, L	E01, E04, E05	TORASSA, D	A39
SORAZABAL, A	G07, G08, G09, G40, G43	TORRELIO, J	F29
SOSA, G	H09	TORRES REYES, P	A30, B08, E02
SOUZA NETO, FN	G46	TORRES, M	G11
SOUZA, JAS	G26, G28	TORRES, P	A01
SPADILIERO, MM	B03, G39	TORTOLINI, P	F24, F25, G57
SPOLETI, MJ	G59	TOSCANO, M	G31, G33
SPOLETI, P	G59	TRINKS, PW	C03, C04, D15
SQUASSI, AF	D23, F03, F04, G02, G03, G05, G06, G07, G08, G09, G10, G11, G12, G20, G23, G42, G55, G56	TRIVILLIN, VA	A04
STANCARI, FH	F32	TROJAN-COTUMACCI, AE	C08
STEEMAN, R	D27	TRONCOSO, GR	H02
STEIMETZ, T	A19, A21, H02	TULA, M	G54
STOLBIZER, F	A11, A12, F26	TURCOT, LG	E01, E04, E05
STOPPANI, N	F04	UBERTONE, M	F19, F15
SUBIRAN, B	A14	UBERTONE, R	A17, F14
SURKIN, PN	D06, D19	UBIOS, AM	A03, C08
TABARES, S	F23	UCHA, M	H03, H04
TACCA, F	G12	UEMURA, TF	G61
TADDEO, M	F21	UNAMUNO, V	G39
TAKARA, D	D31	URIBE ECHEVARRÍA, A	B29, B30
TAMINI ELICEGUI, LE	B09, B10, B26	URIBE ECHEVARRÍA, J	B29, B30, C09
TANCREDI, P	D14	URIBE ECHEVARRÍA, LJ	B29
TARTACOVSKY, H	K18	USIN, MM	F23, F24, F25
TASAT, DR	A28, D20	VACULIK, PA	A42
TATTI, S	A34	VALDÉS, C	B14
TÁVORA, FFF	B31	VALDEZ, A	I02
TEIXEIRA, IM	B21	VALENÇA NETO, PF	G61
TEIXEIRA, RM	B22	VALENTIM, D	K19
TEJERINA, D	E13	VARELA, A	G53
TEMPO, D	G47	VARGAS, A	F10
TERRIZZI, AR	D05, D17	VASEK, O	E09
TESSIO CONCA, A	I09	VAZQUEZ, D	A14
THOMPSON, L	B10	VELÁZQUEZ, IF	D26
THORP, S	A04	VENTURA, F	D23, G12, G20
TILKE, G	G42	VERA CUCCHIARO, VS	E08
TIRAO, G	D24	VERA ITURRIAGA, J	I07
TISSONE, S	I07	VERDU, S	A34
		VERDUCI, P	G51
		VERMOUTH, NT	C01

VERTIZ FELIX, K	A30	XIMENES OLIVEIRA, AC	C06, C09
VILCHEZ, J	A32, B29	YAFUL, G	A01
VILLALBA, L	A10	YORIO, M	A24
VILOTTA, SM	E01, E04, E05	ZAFFARONI, M	C02
VIOTTO, JO	A31	ZAGO, V	D10
VIRGA, C	A29	ZAMAR, A	I10
VIRGILITO, A	F18, J03	ZAMARRIPA, E	B19
VISCOR CARRASCO, G	D12	ZAMPA, C	K17
VISCOVIK, C	B27, E06	ZAPATA PUERTA, JF	H03
VISVISIÁN, C	B02, K13	ZAPATA, M	A35, G16
VITULLI, I	A23	ZAPATA, N	C02
VIVIANI, I	F06	ZARAGOZÁ, A	A18
VORNETTI, S	A07	ZARATE, A	G39
VUOTO, I	G13	ZARATE, AM	G04
WIETZ, FM	D01, D02	ZEMEL, M	I21
WILLINER, MR	D22	ZENI CORONEL, M	D08
WINTER, GA	A26	ZENI, SN	A01, D07, D08
WUSCOVI, LF	A37	ZIMMERMANN, E	G59
WYGACHIEWICZ, D	F17		

Ninguna otra supera a Colgate Total[®] 12.

LA ÚNICA CON



Yo la recomiendo.
Comprobalo
Vos también



Dr. Ricardo Horlana

Colgate



LA MARCA N° 1 USADA Y RECOMENDADA POR ODONTÓLOGOS

Colgate®